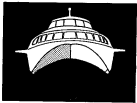


Н·А·ЗАЙЦЕВ , А·И·М·АСКАЛИК

Отечественные суда



на подводных крыльях

Ч. О.

Издание 2-е, переработанное и дополненное

369525

УЧЕБНЫЙ ОТДЕЛ

Библиотека
Академии морского
флота

<http://motorka.org>

В книге систематизированы материалы по проектированию, конструированию и эксплуатации отечественных судов на подводных крыльях, созданных известными конструкторами под руководством д-ра техн. наук Р. Е. Альбимова.

По сравнению с первым изданием книга коренным образом переработана за счет включения в нее новых, ранее не публиковавшихся материалов.

В книге описаны особенности проектирования разных судов на малотоннажные подводные крылья ([«Ракета», «Метеор», «Стрелка»], включаящих суда с частичной герметизацией гребными винтами ([«Ракета-М», «Беларусь»]), суда с водометными движителями ([«Чайка», «Беларусь-В», «Буровспасник»], морские суда ([«Бригантина», «Фрегат»], катера ([«Волк», «Чайка» и др.). Рассмотрены вопросы гидродинамики судов на подводных крыльях, а также на эксплуатационно-экономическом показателе.

Книга предназначена для специалистов, работающих в области проектирования и постройки судов на подводных крыльях, а также может быть использована студентами кораблестроительных вузов и учащимися техникумов.

— 5 —

— 6 —

От авторов

За время, прошедшее после выхода в свет первого издания книги, созданы новые оригинальные образцы отечественных судов на подводных крыльях, представляющие значительный интерес для судостроителей. Данные об этих судах включены во второе издание. Кроме того, при подготовке второго издания авторы, учитывая многочисленные пожелания читателей, включили в книгу материалы по гидромеханическим комплексам, достоинства и недостатки движителей судов на подводных крыльях. Несколько шире представлена также описания судов.

Н. А. Зайцев написал § 1, 2, 6, 7 главы II; § 9 главы III; главу IV; § 20, 21 главы V и главу VI. А. И. Маскалев написал главу I; § 3, 4, 5, 8, подразделы «Капитация подводного крылья» и «Взятие железнодорожного гидродинамические характеристики подводного крылья» § 1 и раздел «Рулевые устройства судов на подводных крыльях» § 2 главы II; § 10, 11, 12, 13, 14 главы III и § 18, 19 главы V. Заключение написано авторами совместно.

Авторы выражают благодарность Л. В. Альбимову, принявшему участие в подготовке материалов § 13 и 14 главы III; Р. Г. Фейгельману и Л. А. Комарову, принявшим участие в подготовке материалов по водометным движителям теплохода «Беларусь», газотурбозадвижки теплохода «Буровспасник» и § 8 главы II, а также З. В. Колесникову за помощь в оформлении графического материала.

Отзывы о книге просим направлять в адрес издательства «Судостроение»: Ленинград, Д-66, ул. Гоголя, д. 8.

ОСНОВНЫЕ ОБОЗНАЧЕНИЯ¹

- b — зорда крыла.
- Γ — размах крыла.
- S — площадь крыла.
- $\frac{b}{S}$ — относительное удлинение крыла.
- δ — подъемная сила крыла.
- α — относительная толщина профиля крыла.
- β — угол спираломидности крыла.
- γ_0 — угол общей V-образности крыла.
- γ_1 — угол местной V-образности крыла.
- $k_{\text{бр}}$ — размах четверти крыла с местной V-образностью.
- v — скорость движения крыла относительно воды.
- α — угол атаки крыла.
- F — подъемная сила крыла.
- X — сопротивление крыла.
- c_s — коэффициент подъемной силы крыла.
- c_x — коэффициент сопротивления крыла.
- $l_{\text{бр}}$ — расстояние между наименее кромками поясного и хормового полозьев крыльев.
- $l_{\text{бр}}^{\text{шт}}$ — расстояние от наивысшей кромки крыла до НГ судна.
- $\frac{c_s}{c_x}$ — гидродинамическое качество крыла.
- l_p — расстояние от наивысшей кромки крыла до крайней коронкой точкой линии редана.
- λ — отстояние от наивысшей кромки крыла до обшивки линии судна.
- P — атмосферное давление.
- τ — аэродинамическое сопротивление судна.
- ζ — удельный вес влаги.

¹ В тексте книги встречаются индексы x , y [в зависимости некоторыми символами]. Они обозначают привязанность соответствия к конкретному судну поясному крылу.

Глава I

КРАТКИЙ ОБЗОР РАЗВИТИЯ СУДОВ НА ПОДВОДНЫХ КРЫЛЬЯХ

Значительные резервы в повышении скоростей судов появляются при использовании новых принципов движения, в частности, основанных на применении гидродинамических сил поддержания. Одним из таких принципов движения судов является глиссирование. Глиссирование представляет собой скольжение судна по поверхности воды, при котором вес судна уравновешивается в основном гидроподъемническими силами.

По результатам произведенного Г. Е. Пащенко анализа [8] можно определить некоторые граничи, характеризующие различные режимы движения в зависимости от безразмерного па-

$$\text{раметра скорости } \frac{v}{\sqrt{g \frac{b}{S}}} : \\ \sqrt{g \frac{b}{S}} \sqrt{\frac{D}{\tau}} ;$$

$$\text{захватка при } \frac{v}{\sqrt{g \frac{b}{S}}} \leq 1 ; \\ \sqrt{g \frac{b}{S}} \sqrt{\frac{D}{\tau}} ;$$

$$\text{переходный режим при } 1 < \frac{v}{\sqrt{g \frac{b}{S}}} < 3 ; \\ \sqrt{g \frac{b}{S}} \sqrt{\frac{D}{\tau}} ;$$

$$\text{глиссирование при } \frac{v}{\sqrt{g \frac{b}{S}}} > 3 ; \\ \sqrt{g \frac{b}{S}} \sqrt{\frac{D}{\tau}} ;$$

Глиссирование позволяет избежать наступления известного для водокузовывающих судов волнового барьера и тем самым открывает возможности для повышения скоростей движения по воде. Однако оно не имеет широкого применения на водном

транспорте из-за крайней ограниченности судов, основанных на этом принципе движения.

Наиболее полно и эффективно используются гидродинамические силы в случае применения подводных крыльев в качестве несущей системы судна. С помощью возникающих на крыльях гидродинамических сил корпус судна поднимается из поверхности воды, способствуя тем самым существенному уменьшению сопротивления движению судна и повышению его мореходности. Воздовое сопротивление у такого судна практически отсутствует, а общее сопротивление значительно меньше сопротивления глиссирующего судна.

Первым патентной заявкой на судно на подводных крыльях принадлежит русскому подданныму Шарлю де Ламберту, который в 1891 г. получил патент на это изобретение во Франции, а в 1894 г. в США. Он же первые построил и испытал судно на подводных крыльях. Однако вплоть до 40-х годов текущего столетия суда на подводных крыльях не получили широкого распространения. Это объясняется многими причинами: малой изученностью вопросов гидродинамики подводного крыла, слабым развитием кораблестроения и машиностроения и др. Одной из причин следует считать также трудность обеспечения удовлетворительной продольной и поперечной остойчивости в сочетании с высоким гидродинамическим качеством судов на подводных крыльях. Даже в 30-х годах, когда промышленность были освоены прочные сплавы с малым удельным весом и легкие высокооборотные двигатели, а также решены некоторые задачи движения подводного крыла, вопросы создания судов на подводных крыльях оставались еще проблемными и виду трудности получения достаточно пригодных для практических целей крыльевых устройств.

Началом эффективных исследований в области создания судов на подводных крыльях следует считать конец 30-х и начало 40-х годов текущего столетия, когда возникли два основных направления развития этих судов: отечественное, которое основывается на использовании мелоногруженных подводных крыльев, и зарубежное, базирующееся на применении V-образных крыльев. Оба эти направления развивались параллельно и теперь наиболее полно представлены отечественными судами, созданными ЦКБ по судам на подводных крыльях, и зарубежными судами фирмы «Сутрамар».

В последние годы большое распространение, особенно в США, получили суда с глубоко загруженными автоматическими управляемыми крыльями. Это третье направление является, по мнению ряда специалистов [23], наиболее перспективным для высокоскоростных морских судов.

В зависимости от принципа обеспечения устойчивости движение и способа сознания независимой подъемной силы крыльев

при изменении скорости (регулирование или саморегулирование) все крыльевые схемы можно условно подразделить на три группы:

1. Схемы, обеспечивающие регулирование за результатом изменения погруженной площади крыльев (рис. 1, а).

2. Схемы с регулированием, которое достигается принудительным изменением углов атаки несущих поверхностей или другими искусственными методами изменения подъемной силы (рис. 1, б).

3. Схемы, обес печивающие регулирование за счет изменения подъемной силы крыльев при приближении или удалении их от свободной поверхности (рис. 1, в). Крылья, работающие при по-

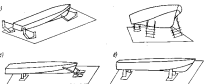


Рис. 1. Планформальные схемы подводных крыльев: а — первая группа; б — вторая группа; в — третья группа.

движениях крыла, меньших чем его хорда, получили название полупогруженных.

Каждая группа крыльевых схем имеет свои преимущества, недостатки и область рационального применения.

Наиболее просто регулирование подъемной силы достигается для крыльев первой группы (V-образные и этажерочные подводные крылья). В то же время крыльевые схемы с V-образными и этажерочными подводными крыльями имеют ряд недостатков:

гидродинамическое качество этих крыльев сравнительно низко, поскольку у V-образных крыльев появляется дополнительное сопротивление от пересечения крылом поверхности воды и наличия значительного градиента давления по размаху крыла, а у этажерочных крыльев — виду неблагоприятного взаимодействия крыльев в системе репетеров;

при обеспечении достаточной остойчивости судна размах таких крыльев оказывается значительным и, как правило, превышает габариты корпуса;

три пересечения V-образным крылом поверхности воды возможен прорыв атмосферного воздуха к засасывающей стенке крыла, проходящей к падению подъемной силы;

наконец, виду V-образной формы крыльев суда имел большую осадку, что значительно затрудняет их прокладку в речных условиях.

Для схем крыльев второй группы характерно использование средств автоматизации с целью стабилизации движения судна.

Главная трудность в осуществлении схем третьей группы заключается в обеспечении принципа саморегулирования.

В работах советских инженеров Н. Е. Корнина, М. В. Кельдыша, М. А. Лаврентьева теоретически показана тенденция снижения подъемной силы при приближении подводного крыла к поверхности воды [9], [14].

После широкого анализа преимуществ и недостатков различных групп крыльев схем спциалисты ЦКБ по судам на подводных крыльях пошли по наиболее перспективному для речного флота пути создания судов с малопогруженными крыльями. Для решения основного вопроса — обеспечения саморегулирования подъемной силы крыльев в зависимости от скорости — были проведены большие работы по исследованию гидродинамических характеристик малопогруженных подводных крыльев.

В 1941—1942 гг. впервые получены приближенные гидродинамические характеристики подводного крыла в зависимости от глубины его погружения и относительной скорости. На основе этих исследований была подтверждена гипотеза о возможности обеспечения достаточной остойчивости судна при помощи малопогруженного подводного крыла в определенных рабочих погружениях такого крыла.

Многотысячные исследования, проведенные в бассейне и открытом водосборе за несмазочных и смазочных моделях, дали положительные результаты. В 1943 г. на заводе «Красное Сормово» был разработан проект и осуществлена постройка первого катера на малопогруженных подводных крыльях (рис. 2). В крыльевом схеме этого катера заложены некоторые элементы саморегулирования подъемной силы подводного крыла в зависимости от скорости. При достижении определенной скорости угол атаки носового крыла увеличивался за счет поворота, в крыло, вследствие возрастания подъемной силы, начинало всплыть, выталкиваяносовую часть корпуса катера из воды в лифференце катер на ходу; углы атаки носового и кормового крыльев при этом увеличивались и подводные крылья получали дополнительную подъемную силу. По мере выхода корпуса катера из воды подъемная сила снижалась вследствие влияния свободной поверхности воды и уменьшения лифференса, а также в результате искусственного изменения угла атаки. Таким образом, элемент саморегулирования в данном случае вы-

ражался в увеличении и уменьшении подъемной силы при выходе катера на крылья. Испытания прошли успешно, но одновременно показали, что искусственная регулировка угла атаки подводных крыльев наимного усложняет конструкцию судна, и для осуществления такой регулировки требуется специальная подготовка водителя. Поэтому необходимо было создать более простую и достаточно надежную схему крыльевого устройства с малопогруженными, жестко закрепленными на корпусе подводными крыльями.

В этот период были проведены также многочисленные эксперименты по отработке отдельных узлов крыльевого устройства, оказывающих влияние на гидравлическое качество, устойчивость движений, маневренность и мореходность судна на подводных крыльях.



Рис. 2. Схема катера на малопогруженных подводных крыльях. 1943 г.

водных крыльях, создана серия оптимальных профилей для малопогруженных подводных крыльев, серия оптимальных профилей для выступающих частей (стойки), пересекающих поверхность воды, кронштейны гребных валов и т. д., найдены оптимальные образования корпуса судна и т. д. Все это позволило к 1945 г. получить необходимые данные для разработки проекта катера на малопогруженных подводных крыльях с жестким креплением крыльев к корпусу при обеспечении продольной и поперечной устойчивости на всех режимах движения. В 1946 г. такой катер был построен (рис. 3). Носовое крыльевое устройство катера состояло из трех ступенчатых, а ходовое из двух ступенчатых крыльев. Саморегулирование подъемной силы крыльев при различных скоростях достигалось в результате:

изменения углов атаки при дифферентовке катера;

выхода отдельных крыльев из воды;

изменения свободной поверхности воды на гидродинамические характеристики подводных крыльев.

Ступенчатое расположение крыльев в схеме длинного катера обеспечивает остойчивость в переходном режиме — при выходе катера на крылья. В водоизмещением состоянии (на плаву) остойчивость судна достигается гидростатическими силами корпуса; при ходе судна на подводных крыльях — гидродинамическими силами крыльев. Переходный режим характеризуется тем, что в определенный момент корпус отрывается от воды и не принимает участия в обеспечении остойчивости, а подводные крылья еще погружены глубоко и не реагируют на изменение погружения (отсутствует эффект влияния свободной поверхности). В этом случае остойчивость должна обеспечиваться до-



Рис. 3. Схема катера на малопогруженных жестко закрепленных за корпусе подводных крыльях, 1946 г.

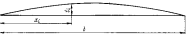
положительными средствами. Именно с этой целью на данном катере применимы дополнительные высоко расположенные крылья, которые с ростом скорости выходят из воды и на эксплуатационных скоростях катера находятся в воздухе.

В том же 1946 г. катер был испытан. Он развил скорость до 87 км/час, рекордную по тому времени для размызговых катеров. Гидродинамическое качество катера за этой скорости составило 10 (против 5 у глиссера).

Дальнейшие работы были направлены на совершенствование конструкции судна на подводных крыльях, повышение гидродинамического качества, совершенствование средств обеспечения поперечной остойчивости, устойчивости движения, улучшение маневреных характеристик и т. д. К этому времени относятся создание профилей, наиболее пригодных для судов с малопогруженными подводными крыльями (рис. 4). Такие профили обладают высоким гидродинамическим качеством, большим диапазоном бесстремовых углов атаки обтекаемой свободной поверхности воды; они малоизуменчивы к зонам атмосферного воздуха и пересечению крылом свободной поверхности

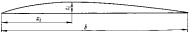
воды, имеют повышенную скорость бескавитационного обтекания.

Параллельно с отработкой оптимального профиля решались вопросы взаимодействия подводных крыльев, крыльев и корпуса, крыла и стоек, крепящих крыло к корпусу, взаимодействия крыльев с другими выступающими частями судна на подводных крыльях и т. д. Все это находило отражение в новых проектах.



Геометрические характеристики (в % от хорды)

$\frac{x}{l}$	0	10	20	30	40	50	60	70	80	90	100
$\frac{z}{b}$	0	2,4	4,1	5,0	6	6,3	6	5,3	4,1	2,4	0
$\frac{l}{b}$	0	2,4	4,1	5,0	6	6,3	6	5,3	4,1	2,4	0



$\frac{x}{l}$	0	10	20	30	40	50	60	70	80	90	100
$\frac{z}{b}$	0	3,5	6,2	6	4	5,8	5,1	4,1	3	1,7	0
$\frac{l}{b}$	0	3,5	6,2	6	4	5,8	5,1	4,1	3	1,7	0

Рис. 4. Оптимальные профили для малопогруженных подводных крыльев.

В 1947 г. был разработан проект судна (рис. 5), изначально прообразом будущих отечественных пассажирских теплоходов на подводных крыльях. В этом же году крыльевым устройством был оборудован глиссерующий корпус одного из судов. Испытания показали его высокие гидродинамические, мореходные и маневренные качества. Схема крылевого устройства данного судна представляет собой два малопогруженных подводных крыла. Простая в конструкционном отношении она оказалась в то же время наиболее приемлемой с гидродинамической точки

зрения, обеспечив судку устойчивое движение и высокое гидродинамическое качество. Дальнейшие работы по созданию новых более совершенных судов на подводных крыльях основывались на этой принципиальной схеме и были направлены на разработку новых обводов корпуса, отвечающих требованиям оптимального взаимодействия с крыльями, а также новых гидродинамически оптимальных малогруженых подводных крыльев и выступающих частей.

В 1949 г. был разработан первый проект пассажирского теплохода на подводных крыльях. В этом же году на заводе «Красное Сормово» была построена самодельная модель теплохода

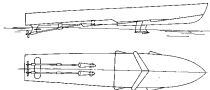


Рис. 5. Схема судна на малогруженых подводных крыльях, 1947 г.

(рис. 6). Испытания самодельной модели показали ее высокое гидродинамическое качество, равное 14 при скорости 60 км/час. При схеме крыльевого устройства, близкой к схеме предыдущего судна на подводных крыльях, самодельная модель пассажирского теплохода имела новые, в отличие от предыдущих моделей, обводы корпуса, отвечающие требованиям оптимального взаимодействия с подводными крыльями и использующие скоростной якорь набегающего воздуха. Применение новых обводов корпуса позволило значительно уменьшить удары воды в скуль и днище за счет амортизирующего действия подводных крыльев и воздушной подушки, образующейся под плоским днищем. Новая часть корпуса (лыжеборенной формы с противоподводными реданами) обеспечивала хорошую всплыжность из воды.

В 1950 г. был разработан ложный проект судна на подводных крыльях (рис. 7). В этом проекте произведены доработка конструкции, уточнены место расположения и форма малогруженых подводных крыльев. В том же году судно было построено и испытано. Испытания показали повышенные по сравнению с предыдущими судами на подводных крыльях гидродинамические и мореходные качества.

Таким образом, разработка принципиальной схемы судна с малогружеными подводными крыльями была успешно завершена.

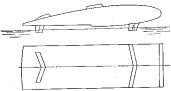


Рис. 6. Схема первого отечественного пассажирского теплохода на малогруженых подводных крыльях, 1949 г.

В этот период на заводе «Красное Сормово» начинаются работы по созданию первых в мире речных пассажирских судов на малогруженых подводных крыльях.

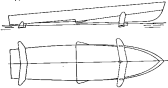


Рис. 7. Схема судна на малогруженых подводных крыльях, 1950 г.

Предъявляемые к пассажирским судам требования обусловили необходимость проведения новых больших исследований. Нужно было более тщательно решить вопросы устойчивости движения, ходкости, остойчивости, маневренности, мореходности, непотопляемости, надежности, безопасности, прочности в любых условиях эксплуатации; на тихой воде, волнении и при движении в условиях ограничивающего фарватера. Теоретические и экспериментальные исследования, проводившиеся в течение 1950—1954 гг. при испытаниях в гидроканале и открытом

воздействие несамоходных и самоходных моделей и образцов судов на подводных крыльях, позволили приступить к разработке проектов речных пассажирских судов на подводных крыльях.

В последующие годы на основе ранее выполненных многочисленных исследований и опыта эксплуатации экспериментальных образцов судов на подводных крыльях были разработаны



Группа заслуженных конструкторов ЦКБ по судам на подводных крыльях.
Слева направо: Б. А. Зубков, И. М. Шашков, Р. Е. Алексеев, Н. А. Зайцев.

проекты и построены головные образцы первых отечественных пассажирских судов на подводных крыльях: речного теплохода «Ракета» (1957 г.), катера «Волга» (1958 г.), речных и озерных теплоходов «Метеор» (1960 г.), «Спутник» (1961 г.), «Чайка» (1962 г.), «Беларусь» (1963 г.), турбокатера «Буревестник» (1964 г.), морских теплоходов «Комета» (1961 г.), «Вихрь» (1962 г.) и др. Многие из этих судов строятся серийно.

Глава II

ОСОБЕННОСТИ ПРОЕКТИРОВАНИЯ СУДОВ НА МАЛОПОГРУЖЕННЫХ ПОДВОДНЫХ КРЫЛЬЯХ

§ 6. ГИДРОДИНАМИКА МАЛОПОГРУЖЕННЫХ ПОДВОДНЫХ КРЫЛЬЕВ Подъемная сила

Подъемная сила крыла выражается известной формулой

$$Y = c_y \frac{\rho_0^2}{2} \cdot S,$$

Эта сила возникает вследствие разности давлений на нижней (выгнутающей) и верхней (засасывающей) стенах крыла, обусловленной в соответствии с уравнением Бернулли, разностью скоростей обтекания (рис. 8). При приближении крыла к поверхности воды, ввиду граничного условия на свободной поверхности $\rho_2 = \text{const}$, на засасывающей стенке крыла происходит подстопраживание частиц жидкости. В результате снижения скорости частиц давление на засасывающей стенке крыла повышается, а общая разность давлений, обуславливающая величину подъемной силы, уменьшается по сравнению с той, которая наблюдается при обтекании крыла в безграничной жидкости.

На рис. 9 приведены результаты испытаний оптимального для малопогруженных подводных крыльев профиля в виде зависимости $c_y = f(a)$ и $c_x = f(a)$ для разных погружений профиля относительно свободной поверхности воды. Как следует из рисунка, с приближением к поверхности воды c_y падает во всем диапазоне углов атаки крыла, причем угол нулем подъемной силы также уменьшается.

Существует ряд приближенных методов аналитического определения коэффициентов подъемной силы малопогруженного крыла по данным испытаний крыла в безграничной жидкости. Отдельные коэффициенты определяются на основании обобщения многочисленных испытаний крыльев с различными параметрами вблизи поверхности воды.

Работа подводного крыла в системе гидродинамического комплекса судна имеет ряд особенностей, которые на разных

режимах движения приводят к значительным отклонениям гидродинамических характеристик комплекса от характеристик плоского крыла. Основная особенность работы подводных крыльев в системе гидродинамического комплекса судна — взаимодействие их с корпусом, выступающими частями и между собой. Поэтому окончательная оценка гидродинамических характеристик, в частности, подъемной силы подводного крыла, производится экспериментально в комплексе с прочими элементами.



Рис. 8. Схема образования подъемной силы крыла.

Многолетний опыт проектирования судов на малонагруженных подводных крыльях показывает, что влияние свободной поверхности воды на гидродинамические характеристики подводного крыла с достаточной для практических целей точностью можно оценить по формуле

$$Y = c_{y_0} \frac{\delta^2}{2} \cdot S.$$

По данным многочисленных экспериментов коэффициент подъемной силы крыла за глубиной \bar{h}

$$c_{y_0} = c_y \left(1 - 0.5e^{-2.5\bar{h}}\right).$$

Здесь

c_y — коэффициент подъемной силы крыла при $\bar{h} \rightarrow \infty$;
 $\bar{h} = \frac{h}{\delta}$ — относительная глубина погружения носка крыла;
 e — основание натуральных логарифмов ($e=2.73$).

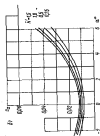
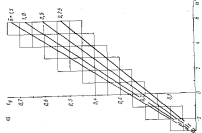


Рис. 9. Кривые $c_{l,0} = f(\bar{h})$ в $c_{l,0} = f(h)$ при $\delta = 0.005$ и $c_{l,0} = f(h, \lambda)$ — для различных значений λ .



Для более точной оценки c_{y_0} можно рекомендовать известную формулу

$$c_{y_0} = \left(\frac{dc_y}{d\alpha} \right)_{\bar{\delta}} [\alpha - (\alpha_0 + \Delta\alpha_0)],$$

где $\left(\frac{dc_y}{d\alpha} \right)_{\bar{\delta}}$ — тангенс угла между осью α и касательной к кривой $c_{y_0} = f(\alpha)$ при заданном относительном погружении;

α_0 — угол нулевой подъемной силы;

$\Delta\alpha_0$ — поправка на угол нулевой подъемной силы вблизи поверхности воды.

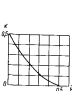


Рис. 10. Коэффициент k в зависимости от относительной глубины погружения.

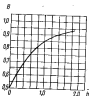


Рис. 11. Коэффициент B в функции от относительной глубины погружения.

На основании обработки экспериментальных материалов по малопогруженности крыльям [5] для $\Delta\alpha_0$ получена следующая импиратическая формула:

$$\Delta\alpha_0 = 0,87\bar{\lambda},$$

где $\bar{\lambda} = f(\bar{b})$;

\bar{b} — относительная толщина крыла.

Величина $\left(\frac{dc_y}{d\alpha} \right)_{\bar{\delta}}$ выражается в виде

$$\left(\frac{dc_y}{d\alpha} \right)_{\bar{\delta}} = \frac{5,478}{1 - 5,478 \left(\frac{1 + \bar{b} - \bar{\lambda}}{\bar{b}\bar{\lambda}} \right)}.$$

На рис. 10—13 приведены графики зависимостей $k=f(\bar{b})$, $B=f(\bar{b})$, $\alpha=f(\lambda)$, $t=f(\lambda)$, построенные по данным [5]. С по-

мощью этих графиков можно в каждом конкретном случае рассчитать значение $\left(\frac{dc_y}{d\alpha} \right)_{\bar{\delta}}$.

Некоторые результаты экспериментальных исследований плоского подводных крыльев на разных относительных погружениях показаны на рис. 14 и 15. Эти данные относятся к крыльям сегментного профиля с относительной толщиной $\delta=0,06$; 0,075 и удлинением $\lambda=5,1$; 5,84. На рис. 16 приведены результаты экспериментальных исследований распределения давления по залесывающей и погревающей стенкам подводного крыла при разных относительных погружениях для сегментного про-

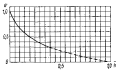


Рис. 12. Коэффициент t в зависимости от относительной глубины погружения.

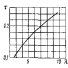


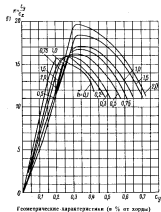
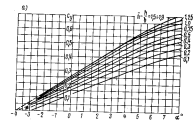
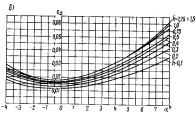
Рис. 13. Коэффициент k в функции от угла атаки.

филя и профиля NACA [5]. Как следует из рис. 10—16, заметное влияние свободной поверхности воды на гидродинамические характеристики крыла начинает сказываться при относительных погружениях крыла $\bar{b} < 0,5$.

Исходя из опыта эксплуатации судов на малопогруженных подводных крыльях можно рекомендовать следующие оптимальные значения величин c_y малопогруженного подводного крыла:

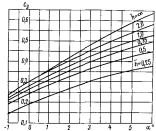
Для скоростей 30—70 км/час:	
изогнутое крыло	0,20—0,16
изогнутое "	0,24—0,20
Для скоростей 70—90 км/час:	
изогнутое крыло	0,12—0,08
изогнутое "	0,16—0,12

Эти значения c_y , соответствующие относительным погружениям подводных крыльев $\bar{b}=0,15—0,95$ и углам атаки малопогруженных крыльев $0,5—1,5^\circ$, оказываются наиболее эффективными для обеспечения высоких значений гидродинамического качества в устойчивости дромеции.



$\frac{x}{b}$	0	5	10	20	30	40	50	60	70	80	90	95	100
$\frac{y_0}{b}$	0	1.11	2.16	3.84	5.06	5.76	6.0	6.76	6.14	5.84	5.18	4.14	0
$\frac{y_0}{b}$	0	0	0	0	0	0	0	0	0	0	0	0	0

Рис. 11. Характеристики эпандер-надфотографического крыла симметричного профиля ($\delta=0.06$; $\lambda=5.3$): a — для $C_L=[\alpha, \lambda]$; $b = 254$; $x_0 = f[\alpha, \delta]$; c — для $\delta=f(c_0, \delta)$
 $\beta = y_0$ — ординаты верхней и нижней поверхности крыла.



Геометрические характеристики (\times % от хорды)

$\frac{x}{b}$	$\frac{y_0}{b}$	$\frac{y_0}{b}$	$\frac{y_{02}}{b}$	δ	$\frac{x}{b}$	$\frac{y_0}{b}$	$\frac{y_{02}}{b}$	δ_{02}	β
0	0	0	0	0	80	7.2	0	3.6	7.2
1.25	0.37	0	0.185	0.37	50	7.5	0	3.75	7.5
2.5	0.73	0	0.365	0.73	60	7.2	0	3.6	7.2
3.75	1.03	0	0.715	1.43	70	6.3	0	3.15	6.3
5	2.05	0	1.025	2.05	80	4.8	0	2.4	4.8
6.25	2.7	0	1.25	2.7	90	2.7	0	1.35	2.7
7.5	3.02	0	1.91	3.82	95	1.43	0	0.715	1.43
8.75	4.3	0	2.6	4.8	100	0	0	0	0
10	5.6	0	2.8	5.6					
11.25	6.3	0	3.15	6.3					

Рис. 15. Характеристики заднего малоизогнутого края сегментного профиля ($\delta=0.075$, $\lambda=0.81$).

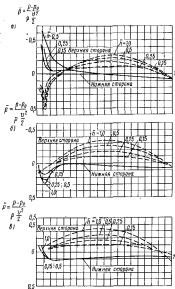


Рис. 16. Распределение линейной арки различных погружений в углах атаки: а — при $\alpha=-3^\circ$; б — при $\alpha=0^\circ$; в — при $\alpha=3^\circ$.

Сопротивление

Сопротивление подводного крыла

$$X = c_x \frac{\rho U^2}{2} \cdot S,$$

где $c_x = c_{x_p} + c_{x_f} + c_{x_\theta}$ — коэффициент сопротивления.

Здесь $c_{x_p} = c_{x_{\text{тр}}} + c_{x_{\theta}}$ — коэффициент профильного сопротивления крыла;

$c_{x_{\text{тр}}}$ — коэффициент сопротивления трения крыла;

c_{x_θ} — коэффициент сопротивления формы крыла;

c_{x_w} — коэффициент индуктивного сопротивления крыла;

c_{x_s} — коэффициент волнового сопротивления крыла.

Профильное сопротивление крыла возникает из-за вязкости жидкости. Это сопротивление можно подразделить на сопротивление трения и сопротивление формы. В свою очередь, сопротивление трения можно представить как сопротивление бесконечно тонкого симметричного профиля и сопротивление трения, обусловленное толщиной профиля по сравнению с плоской пластиной. Последнее зависит от формы профиля и его геометрических характеристик.

Можно представить также, что

$$c_{x_p} = c_{x_{\text{тр}} \min} + \Delta c_{x_p},$$

где $c_{x_{\text{тр}} \min}$ — коэффициент минимального профильного сопротивления;

Δc_{x_p} — приращение коэффициента профильного сопротивления при изменении угла атаки по сравнению с углом атаки, соответствующим $c_{x_{\text{тр}} \min}$.

На основании изложенного выше

$$c_{x_{\text{тр}} \min} = c_{x_{\text{тр}}} - \Delta c_{x_p} + c_{x_\theta} + \Delta c_{x_\theta},$$

где $c_{x_{\text{тр}}}$ — коэффициент трения плоской пластины;

Δc_{x_p} — поправка к коэффициенту сопротивления трения, учитывающая кривизну профиля. Для подводных крыльев она исключительна и не может пренебречь.

Для турбулентного режима обтекания по Прандтлю

$$c_{x_{\text{тр}}} = \frac{0.425}{(\log Re)^{2.58}},$$

Величина Δc_{x_p} зависит от угла атаки крыла. Ввиду малости улов атаки на судах с малонесущими крыльями величину Δc_{x_p} , в ряде случаев можно пренебречь.

Зависимость $c_{x_{\text{тр}} \min}$ от числа Рейнольдса крыла $(Re = \frac{U S}{v})$ определяется по графикам [15] Ф. Г. Гласса (рис. 17).

При обтекании крыла косвенного размаха вдаль перед крылом направление потока совпадает с направлением движения

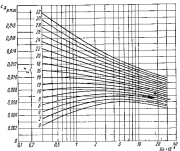


Рис. 17. Диаграмма Ф. Гласса для определения $c_{x_{\text{тр}} \min} = f(Re)$, $c = \delta + 0.015 \theta, \delta$ — относительная величина средней толщины ($\% \cdot 10^{-4}$).

крыла (рис. 18). Близко крыла пахревые пинты, образующиеся вследствие перетекания жидкости из области повышенного давления загнетающей стойки крыла в область пониженного давления засасывающей стенки, отбрасывают вниз набегающий на крыло поток; последний склоняется вблизи крыла на некоторый угол $\Delta \alpha$, именуемый углом склона потока. Из-за склона потока фактический угол атаки крыла уменьшается на величину $\Delta \alpha$ и полная гидродинамическая сила, направление которой в удаленной (невязкой) жидкости должно быть перпендикулярно направлению движения, также отклоняется на угол $\Delta \alpha$. Разложение полной гидродинамической силы на вертикальную и горизонтальную составляющие, можно получить в направлении

скорости и составляющую X_0 , называемую индуктивной сопротивлением.

Для малогруженного крыла ($\bar{b} < 1$) вводится поправка, учитывающая влияние погружения за заэмультивное сопротивление.

Коэффициент индуктивного сопротивления малогруженного крыла

$$c_{x_{\text{in}}} = c_{x_0} + \Delta c_{x_0}$$

Коэффициент индуктивного сопротивления при $\bar{b} \rightarrow \infty$ выражается формулой [15]



$$c_{x_0} = \frac{1 + k}{\pi} \cdot \left(\frac{\delta}{k} \right)^2$$

где δ — коэффициент, учитывающий влияние формы крыла в плане

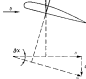


Рис. 18. Схема кривой у крыла в кинематическом разложении.

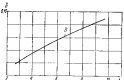


Рис. 19. Зависимость коэффициента δ для треугольных крыльев от удлинения λ .

на индуктивное сопротивление; зависимость $\delta = f(\lambda)$ показана на рис. 19.

На основе обработки многочисленных экспериментальных данных получено выражение для определения Δc_{x_0} :

$$\Delta c_{x_0} = \frac{1}{\lambda} \left(c_{x_0}^2 - c_{x_0}^2 \right),$$

где c_{x_0} соответствует погружению $\bar{b} \rightarrow \infty$; c_{x_0} — заданному погружению.

Движение малогруженного крыла сопровождается волнобразованием на поверхности жидкости. Поскольку хорда подводного крыла значительно меньше, чем длина судна, число

Фруда $(Fr = \frac{V}{U g^2})$ для крыла при той же скорости значительно больше, чем для водонизмещающих судов. В связи с большими абсолютными скоростями и очень высокими значительными числами Фруда волновые процессы для судов из подводных крыльев имеют второстепенное значение.

Оценка коэффициента волнового сопротивления может быть произведена по формуле Н. Е. Коцина, полученной в предположении относительной малости амплитуды волны [14]

$$c_{x_b} = \frac{1}{2} \frac{1 - \frac{2k}{Fr^2}}{Fr^2} \cdot \frac{c_{x_0}^2}{\delta},$$

Коэффициент полного сопротивления малогруженного подводного крыла оптимальных геометрических параметров за относительном погружении $\bar{b} = 0,15 \dots 0,25$ составляет $0,009 \dots 0,010$.

Пересчет гидродинамических характеристик малогруженного подводного крыла с одного удлинения на другое

Пересчет гидродинамических характеристик малогруженного подводного крыла с одного удлинения на другое при заданном относительном погружении можно приближенно провести (при одинаковых профильных сечениях крыла, форме в плане и проекции на вертикальную плоскость) по методу А. Н. Владимирова или по другим известным методам [6].

По методу А. Н. Владимирова сначала рассчитываются характеристики крыла бесконечного размаха c_x и c_n на относительном погружении \bar{b} . Затем определяется скос потока за крылом

$$\beta = \frac{2k}{\delta} (1 + \gamma),$$

где

$$\gamma = \frac{1}{\delta} \ln \frac{1,057AM + 4}{0,00025\delta^{1/4}};$$

$$k = \frac{\delta}{\bar{b}}.$$

По экспериментальной кривой $c_x = f(\alpha)$ для $\lambda \rightarrow \infty$ строится кривая $c_x = f(\alpha)$ для заданного λ . Коэффициенты c_x и c_n определяются по ранее приведенным формулам.

Можно также рекомендовать другой метод пересчета. На основании известных формул [5] записаны выражения для

коэффициента подъемной силы крыла с заданным удлинением и погружением:

$$c_{y_{\lambda_0}} = \left(\frac{dc_y}{ds} \right)_{\lambda_0, \bar{h}} [x - (x_0 + \lambda_0 \bar{h})],$$

$$c_{y_{\lambda_0}} = \left(\frac{dc_y}{ds} \right)_{\lambda_0, \bar{h}} [x - (x_0 + \lambda_0 \bar{h})],$$

где $c_{y_{\lambda_0}}$ — коэффициент подъемной силы крыла с удлинением λ_0 на глубине \bar{h} ;

$c_{y_{\lambda_0}}$ — то же для крыла с λ_0 и \bar{h} .

Экспериментально установлено, что при одинаковых относительных погружениях и углах атаки у крыльев с разными удлинениями λ_0 в $c_{y_{\lambda_0}}$ равны. Поэтому выражение для $c_{y_{\lambda_0, \bar{h}}}$ можно представить в виде

$$c_{y_{\lambda_0, \bar{h}}} = c_{y_{\lambda_0}} \frac{\left(\frac{dc_y}{ds} \right)_{\lambda_0, \bar{h}}}{\left(\frac{dc_y}{ds} \right)_{\lambda_0, \bar{h}}},$$

Значения коэффициентов $c_{y_{\lambda_0, \bar{h}}}$ и $\left(\frac{dc_y}{ds} \right)_{\lambda_0, \bar{h}}$ определяют экспериментальным путем. Коэффициент $\left(\frac{dc_y}{ds} \right)_{\lambda_0, \bar{h}}$ рассчитывается по формуле

$$\left(\frac{dc_y}{ds} \right)_{\lambda_0, \bar{h}} = \frac{5,47B}{1 + 5,47B \left(\frac{1 - \gamma - \epsilon}{\rho_0} \right)}.$$

Значение коэффициентов B , γ и ϵ находят по графикам, представленным на рис. 11—13. Величины коэффициентов $c_{y_{\lambda_0}}$ и $c_{y_{\lambda_0}}$ можно рассчитать по приведенным ранее формулам.

Кавитация подводного крыла

В соответствии с уравнением Бернулли давление в любой точке профиля

$$\rho_1 = \rho - \frac{\gamma}{2} (v_1^2 - v^2),$$

Из этого выражения следует, что с увеличением скорости в данной точке (v_1) давление ρ_1 может стать равным нулю и отрицательным.

Коэффициент разрежения, характеризующий изменение давления на поверхности профиля, можно в соответствии с уравнением Бернулли выразить в виде:

$$t = \left[\left(\frac{\rho_1}{\rho} \right)^2 - 1 \right]$$

или

$$t = \frac{2(p - p_1)}{\rho v^2},$$

По мере увеличения скорости v_1 до v_0 давление (разрежение) на засасывающей стенке крыла достигает величины p_0 — давления насыщенных паров воды, при котором начинается汽化 влаги. Из воды выделяется растворенный в ней воздух. При дальнейшем увеличении скорости к плоскости воздуха начнут проникать пузырьки водяного пара. На крыле образуются волости, заполненные парами воды, нарушается обтекание, издается коэффициент подъемной силы, увеличивается сопротивление.

Выделяющиеся пузырьки воздуха уносятся потоком воды (их движение сопровождается шумом), а пузырьки пара весьма быстро конденсируются, попадая в зоны повышенного давления. Конденсация их сопровождается сильными изменениями давления в жидкости и возникновением шума. Непрерывное появление новых пузырьков пара и их конденсация обусловливают мощные и частые удары жидкости о поверхность крыла, вызывающие разрушение этой поверхности — кавитацию. Конденсация пузырьков пара может привести также к значительной вибрации.

Процесс кавитации начинается в зоне максимального разрежения крыла (рис. 20). При дальнейшем увеличении скорости обтекания постепенно по всей засасывающей стенке крыла давление станет равным (или меньшим) давлению насыщенных паров воды p_0 . Это приведет к тому, что зона, заполненная пузырьками воды, охватит всю засасывающую стенку крыла.

Различают две стадии кавитации — первую и вторую. Первая стадия кавитации характеризуется местными очагами

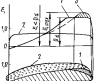


Рис. 20. Схема возникновения кавитации в зоне максимального разрежения.

1 — первая стадия кавитации; 2 — вторая стадия кавитации.

зинник. Образующиеся пароводяные каверзы замыкаются на поверхности крыла. Гидродинамические характеристики крыла практически не меняются, однако возможно появление звуков. Вторая стадия кавитации характеризуется развитием кипения по всей поверхности засасывающей стеки крыла. В этом случае каверза замыкается за крылом. На данной стадии кавитации существенно ухудшаются гидродинамические характеристики крыла, а звуков исчезает.

На рис. 21 приведены кривые c_y и c_x крыла сегментного профиля с относительной толщиной $\delta = 0,0385$ при угле атаки $\alpha = 3^\circ$.

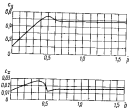


Рис. 21. Изменение коэффициентов c_y и c_x в зависимости от числа кавитации p .

В зависимости от числа кавитации $\bar{p} = \frac{p - p_d}{\rho_0 v_1^2}$, полученные Вальхшером в кавитационной трубе (p_d — давление насыщенных паров воды).

Б. М. Лаврентьев [16] вывел следующую формулу для коэффициента максимального разрежения на профилях типа сегментов:

$$\bar{\epsilon} = 4,82 + 0,4c_p,$$

где δ — относительная толщина профиля.

Когда давление в данной точке профиля достигнет значения p_d ,

$$\bar{\epsilon} = \frac{2(p - p_d)}{\rho_0 v^2} = \bar{p},$$

В случае $\bar{p} > \bar{\epsilon}_{\max}$ кавитации отсутствует; при $\bar{p} < \bar{\epsilon}_{\max}$ наступает первая стадия кавитации.

Во второй стадии кавитации, когда вся засасывающая стека крыла находится под давлением p_d , формула для коэффициента подъемной силы плоско-выпуклого сегментного профиля имеет вид

$$c_{y_{kp}} = 1,5\bar{p} - 2,65,$$

где $c_{y_{kp}}$ — критическое значение c_y , при котором начинается второй стадии кавитации.

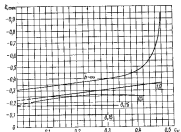


Рис. 22. Изменение максимального разрежения на передней кромке крыла по относительному загружению.

На рис. 22 приведены экспериментальные кривые $\bar{\epsilon}_{\max} = \frac{\bar{\epsilon}_{\max} - \bar{p}_d}{\frac{v^2}{2}}$ (безразмерное максимальное разрежение) в зависи-

мости от c_y для разных погружений крыла сегментного профиля с относительной толщиной $\delta = 0,06$. Как следует из этого рисунка, с уменьшением загружения давление из засасывающей стеки повышается, что способствует отдалению (по скорости) момента начала кавитации. Таким образом, если глубоко погруженное крыло имело границу наступления кавитации по скорости v_2 , то с приближением к поверхности эта скорость увеличивается до $v_2 > v_1$.

Определение наступления второй стадии кавитации на малопогруженном подводном крыле можно производить по характеристике критического значения величины коэффициента

подъемной силы. Метод расчета заключается в сравнении двух коэффициентов: коэффициента $c_{y_{sp}}$ по формуле

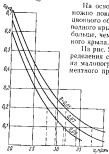
$$c_{y_{sp}} = 3,18 \frac{Re - Re_0}{Re^2} - 2,654$$

и действительного коэффициента подъемной силы подводного крыла при заданном погружении.

В случае $c_y > c_{y_{sp}}$ наступает второй стадии кавитации. Условие $c_y < c_{y_{sp}}$ соответствует бескавитационному обтеканию крыла.

На основании расчета данным методом можно показать, что граница бескавитационного обтекания малопогруженного подводного крыла по скорости на 30–40 км/час больше, чем глубина погруженного подводного крыла.

На рис. 23 приведена диаграмма для определения скорости наступления кавитации на малопогруженном подводном крыле сегментного профиля.



Влияние мелководья на гидродинамические характеристики подводного крыла

В связи с эксплуатацией судов на подводных крыльях на мелководьях раках представляет интерес вопрос о влиянии мелководья на гидродинамические характеристики крыла.

Изменяя, что водонемещающие суда при движении в мелководье имеют экспериментальные исследования, проведенные с подводными крыльями близко к твердой стенке, показали, что при отстояниях крыла от твердой стены $h_c < b$ (h_c — отстояние носка крыла от стены, b — хорда крыла). Подъемная сила крыла возрастает по мере приближения крыла к стенке и сопротивление уменьшается. Это приводит к росту гидродинамического качества.

Рост коэффициента подъемной силы по мере приближения крыла к твердой стенке объясняется дополнительным подстриганием потока у стены и повышенением давления на погре-

тающей стенке крыла. Этот вывод приводят к интересному результату: мелководье положительно влияет на ходовые качества судов на подводных крыльях.

Для приближенной оценки влияния мелководья на гидродинамические характеристики подводного крыла можно рекомендовать способ проф. Я. М. Серебрянского, разработанный на основе экспериментальных исследований крыла вблизи твердой стены методом зеркального отображения [17]. Согласно этому способу изменение гидродинамических характеристик крыла за мелководье происходит под влиянием трех факторов: системы свободных оконечностей крыла, хорды крыла и толщины профиля. Поправка к коэффициенту подъемной силы крыла при переходе от

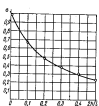


Рис. 24. Зависимость $\sigma = f\left(\frac{2h}{b}\right)$.

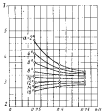


Рис. 25. Зависимость $u_1 = f\left(\frac{b}{a}\right)$.

крыла, движущегося на глубокой воде, к крылу на мелководье, выражается в виде

$$\Delta c_y = \Delta c_{y_0} + \Delta c_{y_1} + \Delta c_{y_2},$$

где Δc_{y_0} , Δc_{y_1} , Δc_{y_2} — поправки, учитывающие влияние соответственно системы свободных оконечностей крыла, хорды крыла, толщины профиля.

Величины поправок могут быть рассчитаны следующим образом:

$$\Delta c_{y_0} = \frac{6a^2}{a^2 + a_b(1-z)} c_{y_0},$$

$$\Delta c_{y_1} = r(z-1)c_{y_0},$$

$$\Delta c_{y_2} = -a_b/b,$$

где $\sigma = f\left(\frac{2h}{b}\right)$, график для определения σ приведен на рис. 24;

369525.

БИБЛИОТЕКА

$a_0 = \frac{d_{\infty}}{A_0}$ — для крыла бесконечного размаха;

$$r = \sqrt{1 + \frac{4a_0}{B} - \frac{2a_0}{L}};$$

$\tau = \frac{a_0}{a_0}$, график для определения ψ_0 приведен на рис. 25;

$$k = 0.03 \frac{A_0}{B} \left[\frac{1}{\left(\frac{B^2}{8\pi} + \frac{1}{64} \right)^{\frac{1}{2}}} + \frac{1}{\left(\frac{B^2}{8\pi} - \frac{9}{64} \right)^{\frac{1}{2}}} \right].$$

Соответствующая поправка к коэффициенту сопротивления $\Delta c_x = \Delta x - c_{x_0}$.

Расчет по этой формуле производится в следующем порядке:

1. Строится кривая $c_y = f(\alpha)$ для $k_0 \rightarrow \infty$ и для k_0 расчетной.
2. Строится колпак — кривая $c_y = f(c_{x_0})$ для $k \rightarrow \infty$.

3. Перестраивается поляра. Определяется эквивалентное приращение угла атаки $\Delta\alpha$, которое получается при переходе от кривой $c_y = f(\alpha)$ при $k_0 \rightarrow \infty$ к кривой $c_y = f(\alpha)$ при конечном k_0 , если сохранить $c_y = \text{const}$.

4. По изменившимся значениям $\Delta\alpha$ и c_y определяется исходная поправка Δc_x .

Для оценки влияния маловодности на c_x подводного крыла рекомендуется также метод М. И. Френкеля [18].

Геометрия малопогруженных подводных крыльев

К основным геометрическим характеристикам подводного крыла могут быть отнесены: форма в плане, форма среднестатистического сечения, относительное удлинение и профиль сечения, площадь, размах, хорда.

Форма крыла в плане может быть разнообразной (рис. 26): прямоугольной, стреловидной, ромбовидной и т. д. На судах с малопогруженными крыльями наибольшее распространение получили прямоугольные и стреловидные в плане крылья. Носовому крылу рекомендуется придавать стреловидность $15-40^\circ$ в зависимости от скорости движения, причем большей скорости, как правило, соответствует большая стреловидность. Кормовое крыло обычно прямоугольное или имеет небольшую стреловидность ($5-10^\circ$):

Благодаря стреловидности малопогруженного крыла улучшаются следующие качества судна на подводных крыльях:

1. Устойчивость на курсе. При отклонении от курса одна половина крыла получает дополнительное сопротивление вследствие увеличения относительной толщины профиля крыла, обтекаемого потоком. Сопротивление другой половины снижается, так как

относительная толщина профиля в этом случае уменьшается (рис. 27). В результате при отклонении судна от курса крыло способствует восстановлению прежнего курса.

2. Мореходность. Стреловидное крыло имеет большую проницаемость во длине судна, чем призматическое, поэтому оно

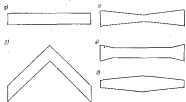


Рис. 26. Формы крыльев в плане: а — прямоугольное; б — стреловидное; в — с различной стреловидностью передней и задней кромок; г — прямоугольное с универсальными кромками; д — ромбовидное.

в большей мере перекрывает волну, уменьшая тем самым возможность одновременного ограждения всей площади крыла в момент пересечения волны.

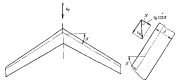


Рис. 27. Схема обтекания стреловидного крыла.

3. Стреловидность крыла способствует повышению скорости бескавитационного обтекания крыла. Характеристики кавитации зависят непосредственно от относительной толщины профиля. Чем больше относительная толщина профиля, тем меньше скорость обтекания, при которой начинается кавитация. При

одинаковой толщины прямогоугольного и стреловидного крыльев обтекание стреловидного профиля по большей горде (размер по течению), что приводит к снижению относительной толщины обтекаемого профиля, а следовательно, к повышенной скорости бескапиллярного обтекания.

4. Благодаря стреловидности удар при встрече крыла с плавающими предметами защищается косым и предметы отбрасываются. Тем самым повышаются эксплуатационные качества судна.

Относительное удлинение крыла ($\lambda = \frac{S}{b}$) для судов на подводных крыльях меняется в широких пределах. Для малопогруженных подводных крыльев рекомендуется принимать $\lambda > 4$. При меньших значениях λ величина индуктивного сопротивления крыла оказывается большой, что приводит к существенному падению гидродинамического качества крыла. По условиям прочности величина λ , как правило, принимается не более двадцати.

Килеватость (V-образность) малопогруженного крыла позволяет улучшить некоторые мореходные качества судов на подводных крыльях. Так, в результате более значительного перераспределения подъемных сил по размаху крыла при налетеении остойчивость судна улучшается. Килеватость крыла способствует уменьшению ветрового сноса. При широких же носовом килем крыле возникают горизонтальные составляющие, способствующие повтору судна с внутренним креном. Увеличение местной (по размаху) килеватости в средней части крыла позволяет улучшить кореектируемость судна, так как в этом случае крыло при пересечении волны не склоняется полностью; тем самым исключается полная потеря подъемной силы.

Килеватость малопогруженных подводных крыльев может составлять:

для судов ограниченной мореходности I—II²,

Таблица 7

Сравнительные характеристики общей и местной V-образности подводных крыльев некоторых отечественных судов

Тип судна	E_0^*	E_0^*	E_0^*	E_0^*	E_{IV}^*	E_{IV}^*
«Медея»	2'50'	2'25'	30'30'	9'15'	2,80	1,50
«Служебка»	1'50'	2'25'	11'10'	11'00'	3,33	1,50
«Комета»	10'62'	2'09'	27'00'	10'00'	3,30	1,60
«Владимир»	10'30'	2'00'	25'27'	11'40'	4,20	1,60
«Чайка»	6'12'	2'17'	—	—	—	—
«Беларусь»	2'00'	2'00'	—	—	—	1,80
«Броварстанец»	12'00'	3'06'	—	7'36'	—	4,25
«Волга», 1966 г.	0'12'	5'45'	—	11'00'	—	0,62

для мореходных судов I—II³ на концах крыла в 10—25% в средней части.

Размах средней части крыла с увеличенной килеватостью принимается равным (0,2—0,3) b . В табл. 8 приведены сравнительные характеристики общей и местной V-образности подводных крыльев некоторых отечественных судов.

Профиль сечения крыла. Оптимальными профилеми малопогруженных подводных крыльев обычно считают плоско-



Геометрические характеристики (δ % от b)

$\frac{\delta}{b}$	0	1/10	2/10	3/10	4/10	5/10	10	20
$\frac{\delta}{b}$	0	0,46	0,82	1,12	1,40	1,64	2,38	4,32

Продолжение

$\frac{\delta}{b}$	30	40	50	60	70	80	90	100
$\frac{\delta}{b}$	5,21	5,50	5,31	4,77	3,90	2,80	1,48	0,006

Рис. 28. Оптимальный профиль малопогруженного крыла.

выпуклые профили с относительными толщинами $\delta=0,04—0,08$ и с максимальной толщиной на расстоянии (0,4—0,5) b от носка крыла. Диапазон относительных толщин $\delta=0,08—0,04$ соответствует диапазону скоростей $v=50—100$ км/час.

На рис. 28 показан наиболее совершенный профиль малопогруженного крыла для диапазона скоростей 50—120 км/час, который обладает высокими гидродинамическими качествами и широким диапазоном беспроблемных углов атаки вблизи свободной поверхности воды. Профиль имеет повышенные антикавитационные характеристики вблизи поверхности воды.

Площадь, размах, хорда крыла. Площадь крыла выражается формулой

$$S = \frac{2v^2}{\rho g b^2}$$

Для определения площади подводного крыла необходимо знать нагрузку Y , приходящуюся на крыло, расчетную скорость c и коэффициент подъемной силы c_y . Нагрузку на крыло находят в соответствии со схемой усилий, действующих на судно при установленном движении (рис. 29). Составляя уравнения сил и моментов и решая его относительно нагрузки, определяют Y . Распределение нагрузки между носовым и кормовым крыльями может приниматься в пределах 45–55% веса судна на каждое крыло. Но рассчитанной на основании приведенных данных площади носового и кормового подводных крыльев определяют хорды и размы.

Многочисленные экспериментальные исследования и опыт эксплуатации судов на малотрассированных подводных крыльях показали, что размы носового и кормового подводных крыльев,

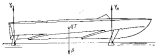


Рис. 29. Схема сил, действующих за судно в периоде установления движения при установившемся движении.

важно разный ширине корпуса, может быть достаточным для обеспечения необходимой стойкости судна и наиболее приемлем по эксплуатационным соображениям. Исходя из этого, размы подводных крыльев в первом приближении допустимо принимать равным габаритной ширине корпуса в месте расположения крыла. В дальнейшем, при доводке схемы крыльевого устройства и изменяясь с корпусом и выступающими частями размы крыльев может быть несколько изменен.

При выборе места расположения кормового крыла по длине корпуса следует учитывать размеры и форму носового крыла, а также величину размаха кормового крыла. При обтекании носового крыла поток волнистое колебание движущееся на образование которого затрачивается определенная мощность механической установки. Потерянную мощность можно частично компенсировать при правильном расположении носового и кормового подводных крыльев. Кормовое крыло должно подавать в район восходящей ветви требуя волны от носового крыла (рис. 30). В этом случае эффективный угол атаки кормового крыла увеличивается, его подъемная сила и гидродинамическое качество повышаются, что приводят к росту общего гидродинамического качества судна.

Таблица 2

Параметры подводных крыльев судов с кормовыми подводными крыльями

Название	$S_{\text{пл}}$	$S_{\text{нс}}$	$S_{\text{кн}}$	$S_{\text{нк}}$	$L_{\text{пл}}$	$L_{\text{нс}}$	$L_{\text{кн}}$	$L_{\text{нк}}$	$c_{y\text{пл}}$	$c_{y\text{нс}}$	$c_{y\text{кн}}$	$c_{y\text{нк}}$
«Рыбак»	5,54	4,29	1,2	1,03	4,42	3,70	1,34	1,03	18,00	—	1,00	—
«Балтика»	0,43	0,34	0,25	0,22	1,73	0,90	0,50	0,30	15,48	0,12	0,12	—
«Метелица»	11,50	8,20	0,98	0,86	1,03	0,50	0,30	0,20	40,00	0,14	0,14	—
«Сургут»	14,00	10,00	1,24	1,00	1,00	0,50	0,30	0,20	30,11	0,14	0,14	—
«Каспий»	14,70	13,24	1,24	1,00	1,00	0,50	0,30	0,20	31,03	—	—	—
«Волга»	17,75	13,24	1,00	1,00	1,00	0,50	0,30	0,20	30,80	—	—	—
«Азия»	2,00	1,40	0,38	0,38	0,46	2,50	2,10	2,00	40,00	—	—	—
«Балтика»	2,00	1,00	0,69	0,65	0,65	4,20	2,90	2,00	40,00	0,49	0,49	—
«Буревестник»	3,48	4,76	0,45	0,45	0,65	7,00	5,60	3,00	30,00	0,58	0,58	—
«Волга», 1986 г.	0,40	0,36	0,19	0,20	0,20	2,00	1,80	1,00	20,00	—	—	—

Приложение

Название	$S_{\text{пл}}$	$S_{\text{нс}}$	$S_{\text{кн}}$	$L_{\text{пл}}$	$L_{\text{нс}}$	$L_{\text{кн}}$	$L_{\text{нк}}$	$c_{y\text{пл}}$	$c_{y\text{нс}}$	$c_{y\text{кн}}$	$c_{y\text{нк}}$
«Рыбак»	1,90*	2,10	1,00	11,62	1,00	17,45	3,88	0,75	0,35	0,16	0,16
«Балтика»	0,45	0,34	0,25	1,66	2,47	3,47	3,22	0,20	0,13	0,13	0,13
«Метелица»	11,50	8,20	0,98	13,88	10,23	12,45	1,00	0,05	0,50	0,12	0,16
«Сургут»	14,00	10,00	1,24	1,66	12,10	28,20	4,05	0,68	0,68	0,13	0,17
«Каспий»	14,70	13,24	1,24	1,66	10,70	28,20	4,05	0,68	0,68	0,18	0,20
«Волга»	17,75	13,24	1,00	1,66	13,71	26,34	6,00	2,70	0,83	0,18	0,20
«Азия»	2,00	1,40	0,38	0,69	6,00	—	—	0,35	0,35	0,10	0,18
«Балтика»	2,00	1,00	0,69	0,65	0,65	13,10	0,30	0,30	0,46	0,16	0,28
«Буревестник»	3,48	4,76	0,45	0,45	0,65	14,40	0,30	0,30	0,46	0,16	0,28
«Волга», 1986 г.	0,40	0,36	0,19	0,19	0,19	13,85	—	—	0,30	0,27	0,18
«Балтика», 1986 г.	0,35	0,12	0,12	0,12	0,12	1,90	1,90	—	—	0,20	0,15

Приложение. Для всех типов судов $L_{\text{нк}} = 0$.

Величину размаха кормового крыла выбирают обычно с таким расчетом, чтобы концы крыла не выходили в свободный, невозмущенный носовым крылом поток, т. е. чтобы режим обтекания кормового крыла сохранялся по размаху. На судах с заэлеворуженными подводными крыльями отношение размахов кормового и носового крыльев b_k/b_n составляет обычно 0,8—0,9. Расстояние между крыльями по длине для этого случая соответствует (20—25) b_n , где b_n — хорда носового крыла.



Рис. 30. Схема расположения кормового подводного крыла и вылетом носового крыла.

В табл. 2 приведены сравнительные характеристики подводных крыльев отечественных судов на подводных крыльях.

§ 2. ОСОБЕННОСТИ ОБВОДОВ КОРПУСА И ВЫСТУПАЮЩИХ ЧАСТЕЙ СУДОВ НА ПОДВОДНЫХ КРЫЛЬЯХ

Суда на малогруженных подводных крыльях имеют высокое гидродинамическое качество на эксплуатационных скоростях. У современных отечественных судов оно колеблется в пределах 12—16. Однако возможность реализации этого качества связана с режимом выхода судна из подводных крыльев. Как показано на рис. 31, в районе (0,4+0,6) b_n судно на подводных крыльях имеет минимальное гидродинамическое качество. В этом диапазоне расположена так называемая «горба» сопротивления. На «горбе» гидродинамическое качество отечественных судов на подводных крыльях составляет 8 : 11.

Наличие «горбы» сопротивления, как правило, не позволяет реализовать максимальное гидродинамическое качество при ходе из подводных крыльев, так как параметры движителя выбираются не только из условия его оптимальности в районе максимального гидродинамического качества, но и из условия обеспечения судну упора, необходимого для преодоления «горбы» сопротивления, т. е. выхода судна из крыльев. Таким образом, одна из важных задач при проектировании судна на подводных крыльях — повышение гидродинамического качества на режиме выхода судна из крыльев (снижение «горбы» сопротивления).

Исследования показывают, что зонами, прилегающими к составляющей сопротивления судна из подводных крыльев на малых скоростях, включая режим выхода, оказывается сопротивление его корпуса. Поэтому правильный выбор формы и обводов корпуса — одна из главных задач, обеспечивающих

успешное проектирование судна за подводных крыльях. Проектируя корпус, следует учитывать необходимость придания судну хороших мореходных качеств при движении на волнении.

Разработанные для отечественных судов на малогруженных подводных крыльях формы и обводы корпуса существенно отличаются от известных обводов водонесущающих и галерссирующих судов. Корпуса судов на крыльях свойственны килеватость днища, наличие резко выраженных скосов и реданов. Килеватость днища, форма и количество реданов, полнота носовой и кормовой оконечностей зависят от назначения судна и в каждом конкретном случае выбираются исходи из условий оптимального взаимодействия с крыльевым устройством и выступающими частями. Например, корпус катера «Волга» для обеспечения наибольшего гидродинамического качества при выходе из крыльев и повышении мореходности снабжен четырьмя реданами. Реданы имеют клиновидную форму, что обуславливает при ходе катера на волнении (в случае замыкания корпуса или провала подводного крыла) вход в воду относительно небольшой части днища. Этому же способствует и килеватость шпангоутов из реданов, которая меняется в пределах 12—25°, причем кормовым реданам соответствуют меньшие углы. Большое значение при движении за волнением имеет носовой редан, улучшающий склонность катера на волну.

Корпус катера «Волга» — первый многореданный корпус, созданный применительно к судну на подводных крыльях, — показал во взаимодействии с подводными крыльями и выступающими частями высокие гидродинамические характеристики и мореходные качества.

Корпус теплохода «Ракета» имеет один клиновидный редан с углом килеватости 8°, расположенный на расстоянии 0,7 b_n от носового крыла. В кормовой части за реданом расположен кормовой срыгиватель. Такие обводы корпуса обеспечивают во взаимодействии с подводными крыльями необходимую дифферентацию корпуса при выходе из крыльев и высокое гидродинамическое качество.

Корпус теплохода «Метеор», рассчитанный на плавание в подводнозаданных, имеет увеличенную килеватость и дополнительный носовой редан. Корпуса морских судов «Комета» и «Вихрь» обладают увеличенной килеватостью во сравнению с корпусами речных и озерных судов.

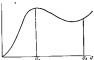


Рис. 31. Зависимость сопротивления воды лаважного судна от скорости: V — скорость, соответствующая $R_{\text{горб}}$; b_n — максимальная скорость.

В каждом конкретном случае выбранные в первом приближении форма и обводы корпуса в комплексе с подводными крыльями и выступающими частями должны быть доработаны экспериментально.

Для повышения гидродинамического качества при выходе судна на крылья на морских судах «Комета» и «Вихрь» впервые применено среднее крыло. При выходе судна из крыльев и замыкании корпуса водной средой среднее крыло работает аналогично редану, значительно снижая сопротивление на этих режимах движений. Параметры и расположение среднего подводного крыла выбирают для конкретных форм и обводов корпуса с учетом взаимодействия с носовым крылом и кормовым комплексом судна.

К выступающим частям судна из подводных крыльев относятся стойки крыльев, кронштейны, гребные вальные, обтекатели, рули и т. д.

Сопротивление выступающим частям у отечественных судов на малоглубоких подводных крыльях составляет (в процентах от полного сопротивления):



Рис. 32. Сопротивление подводного крыла со стойкой или кронштейном.

авианесущие суда	15—30
десантные	20—40
чайка-самолет	35—50

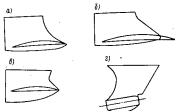
Эти значения соответствуют скорости 60—100 км/час, причем, минимальные значения скорости соответствуют меньшие значения сопротивления.

Выступающие части выбираются с учетом требований, предъявляемых к гидродинамике и прочности. Проектируя стойки крыльев и кронштейны, соединенные с крыльями, следует исключить возможность попадания воздуха за засасывающую стенку крыла при срывном обтекании стоеч на высоких скоростях движения или за циркуляции. Для этого носок стойки и других выступающих частей необходимо перекрывать горизонтальным козырьком или ставить стойки так, чтобы их носки располагались не ближе $\frac{1}{3}$ хорды от носка крыла. При таком расположении точки максимальных разрежений на поверхности профиля крыла и профиля стойки смешены. Заднюю кромку стоеч следует выпускать за заднюю кромку крыла и для высоких скоростей делать ее тупой (рис. 32). Этим достигается отрывное обтекание стоеч, и воздух, проникающий по стойкам, уходит в образованную за стойкой каверну, не попадая на крыло.

Заметное влияние на величину сопротивления выступающих частей оказывает свободная поверхность. Ввиду образования волн к брызг при пересечении выступающими частями поверх-

ности воды сопротивление движению увеличивается. Применяющиеся формы стоеч крыльев и кронштейнов гребных валов, а также типовой профиль сечения стойки показаны на рис. 33.

Условия работы рулей судов на подводных крыльях имеют специфическую особенность, заключающуюся в том, что при ходе судна из подводных крыльев руль пересекает поверхность



Геометрические характеристики (в % от хорд)

$\frac{x}{x_0}$	0	1,25	2,5	3,75	5	10	15	20	25	30	35	40	50
$\frac{x_m}{x_0}$	0	0,316	0,67	0,98	1,21	0,918	1,118	1,365	1,312	1,303	1,286	1,276	1,255
$\frac{x_{\alpha}}{x_0}$	0	0,316	0,67	0,98	1,21	0,918	1,118	1,365	1,312	1,303	1,286	1,276	1,255

Рис. 33. Применяемые формы стоеч и кронштейнов: а — бортовая стойка носового крыла; б — бортовая стойка кормового крыла; в — средняя стойка; г — кронштейн.

$x_0 = x_0 + \alpha x_0$ — практическая константа (вершина дуги кривой начальной стойки кронштейна).

воды. Поэтому при выборе геометрии и места расположения руля следуют стремиться к тому, чтобы требуемые усилия на руле, обеспечивающие необходимые зволниации судна, достигались в бесперебойном диапазоне угла перекладки руля. Угол срыва потока с руля, пересекающего поверхность воды, в широком диапазоне изменения удлинений x профилей сечений составляет 12—15°.

Гидродинамические характеристики рулей, пересекающих поверхность воды, в каждом конкретном случае определяются

экспериментально. Исследования [29] показывают, что в случае пересечения свободной поверхности срыва потока с рулем происходит при меньших углах атаки, чем у глубокопогруженных рулей, и более резко выражен (рис. 34).

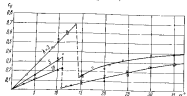


Рис. 34. Функция $C_d=f(\alpha^2)$ для рулей, пересекающих поверхность воды в исходах различные относительные углы атаки.

Для повышения эффективности рулей на отечественных теплоходах ставят защелки горизонтальные козырьки (рис. 35), которые при движении находятся в воде и предотвращают ранний срыв потока с наиболее эффективной подводной части руля.

Наиболее сложен выбор рулевого устройства на мелкосидящих судах. При наличии водометного движителя он не вызывает трудностей — используются рулевые створки, отклоняющие реактивную струю водомета. В случае применения толувогруженнего гребного винта число рулей приходится увеличивать (это эквивалентно увеличению площади руля) или использовать два руля, чтобы обеспечить управляемость за счет отклонения струи гребного винта (рис. 36). Некоторые гидродинамические характеристики рулей теплоходов «Ракета», «Метеор» и «Спутник» показаны на рис. 37.

5.2. ДВИЖИТЕЛИ СУДОВ НА ПОДВОДНЫХ КРЫЛЬЯХ

ПОЛНОСТЬЮ ПОГРУЖЕННЫЕ ГРЕБНЫЕ ВИНТЫ

Гребной винт — наиболее распространенный тип движителя для судов на подводных крыльях (рис. 38). Достоинства гребного винта являются высокий коэффициент полезного действия и простота конструкции. Выбор параметров гребного

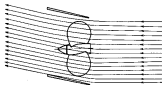


Рис. 36. Схема установки рулей, обтекающих струю гребного винта для создания боковой силы.

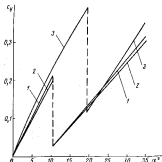


Рис. 37. Функция $C_d=f(\alpha^2)$ для рулей теплоходов «Ракета» (1), «Метеор» (2) и «Спутник» (3).

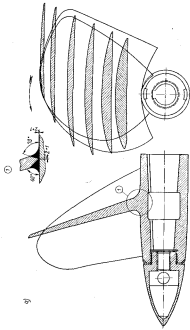


Рис. 28. Гребной моторно-редуктор «Джонсон»: 1 — лопасти винта; 2 — вал.

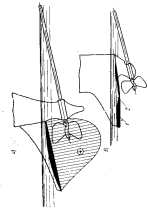
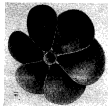


Рис. 29. Гребной моторно-редуктор «Форд»: 1 — лопасти винта; 2 — вал; 3 — подшипник опорный; 4 — картер винта; 5 — болты.



внита производится во известным методом [4] с учетом специфических особенностей, характерных для данного типа судов. К этим особенностям относятся: косое обтекание гребного винта, кавитация и засасывание атмосферного воздуха в области работы гребного винта. Как известно, косое обтекание ускоряет застужение кавитации, а засасывание атмосферного воздуха в область работы гребного винта обуславливает качественное изменение характера кавитации (конвекция паро воздушной кавитации) и т. д.

Угол наклона гребного вала на отечественных судах с малопогруженными подводными крыльями принимается обычно 8–12°. Это связано с необходимостью сохранять достаточную нагружку винта при ходе судна на крыльях. Ввиду того, что гребной вал при ходе судна на крыльях пересекает поверхность воды, к винту во зоне разрежения за вала может попадать атмосферный воздух, который отрицательно влияет на гидродинамические и эксплуатационные характеристики гребного винта (падение упора и к. п.д., выбросы, троши и т. д.). С целью устранения или сведения к минимуму этого явления гребной винт обычно устанавливается (рис. 39, а) под корневым крылом в зоне повышенного давления. В ряде случаев над гребным винтом помещают пластину, служащую преградой прохождению атмосферного воздуха (рис. 39, б).

Для получения наибольшего коэффициента полезного действия относительная толщина лопастей гребного винта должна быть минимальной ($\delta=0,02 \dots 0,03$), а число лопастей 3–4. Однако условия эксплуатации гребного винта судов на подводных крыльях выдвигают дополнительные требования к выбору геометрических характеристик винта. Попытка прочесть гребного винта, работающего на бланке поверхности воды,— необходимое условие беззарядной эксплуатации его в засоренном фарватере. Она обеспечивается за счет увеличения толщины лопастей, винта и установкой перед винтом защитных «костылей» (см. рис. 39). Это в свою очередь отрицательно оказывается на гидродинамических характеристиках гребного винта.

С целью максимального снижения выбросов, вызываемых косым обтеканием гребного винта, качество лопастей его выбирается наименьшим по условиям технологии изготовления (обычно 5–6), а форма лопастей принимается саблевидной.

При создании гребных винтов для судов на подводных крыльях серьезной проблемой оказывается борьба с эрозией — разрушением лопастей от кавитации. Эрозия выделяет новые требования к геометрии гребного винта. В частности, если эрозия вызывается взаимодействием гребного винта с выступающими частями судна, рекомендуется отклонение лопастей в корну за угол до 20°, что не приводит к заметному изменению гидродинамических характеристик винта.

Расчет элементов гребного винта с учетом специфики его работы в составе гидромеханического комплекса судна на подводных крыльях может производиться по интегральной теории или при помощи диаграмм, составленных по результатам систематических испытаний серий гребных винтов.

Частично погруженные гребные винты

При использовании судов на подводных крыльях на медленных реках необходимо максимальное снижение их осадки. Это достигается применением частично погруженных гребных винтов.

В связи с тем, что гребные винты у судов на подводных крыльях расположены обычно под плоскостью кормового подводного крыла, осадка судна на подводных крыльях определяется нижней точкой гребного винта. Поэтому при погружении гребного винта осадка уменьшается, но гребной винт из эксплуатационных скоростей работает в условиях неполного (частичного) погружения. Максимальное снижение осадки судна на подводных крыльях за счет гребного винта возможно, очевидно, тогда, когда нижняя точка винта расположена на одном уровне с плоскостью крыла или другой выступающей частью крыльевого устройства. Помимо снижения осадки подъем гребного винта уменьшает снос потока и район гребного винта и погруженную в воду часть вала при движении судна на крыльях. При таком расположении гребной винт защищен крылом от столкновений с плавающими в воде предметами.

Однако серьезным недостатком частично погруженных винтов по сравнению с полностью погруженными гребными винтами является ухудшение их гидромеханических характеристик. Основные причины этого следующие:

- 1) уменьшение гидравлического сечения из-за частичного погружения или понижения уровня воды перед винтом;
- 2) засасывание воздуха из атмосферы и поверхности кавитации;
- 3) волнобразование, вызываемое гребным винтом;
- 4) нестационарность развития подъемной силы на лопастях гребного винта.

В общем виде задача о частично погруженном гребном винте решена д-ром тех. наук проф. А. М. Басиным [4]. Известны и некоторые экспериментальные исследования, проведенные с частично погруженными винтами. Однако использование результатов этих исследований с целью выбора параметров частично погруженных винтов для судов на подводных крыльях оказалось невозможным, так как эксперименты носили случайный характер, конструктивные элементы исследованных винтов выбирались без учета специфических условий работы в частично

погруженном состоянии, движение по различным испытаниям в ряде случаев оказались противоречивыми и т. п.

На основе анализа материалов о частично погруженных имитах ЦКБ по судам на подводных крыльях совместно с Ленинградским институтом водного транспорта (руководители работ д-р техн. наук проф. А. М. Босин и инж. А. И. Маскалик) разработали серию моделей в программу испытаний частично по-

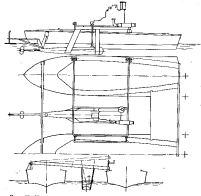


Рис. 40. Экспериментальная установка для исследования частично погруженных гребных винтов.

груженных гребных винтов с целью выявления возможности их эффективного применения для судов на подводных крыльях [3]. Программа испытаний винтов предусматривала вариации шагового отношения винтов H/D , дискового отношения θ , числа лопастей z , погружения и числа U/D при независимой форме (сегментами) и профиле сечения (сегмент) лопастей, обеспечивающих различные условия работы пилота на всех режимах и загружениях.

Экспериментальная установка, построенная по проекту ЦКБ в ЛИВТе (рис. 40), представляла собой катамаран из двух

жестко связанных лодок, между которыми была расположена катящаяся платформа, несущая двигатель для привода испытываемых винтов и сигарообразный водонепроницаемый корпус с заключенными в нем динамометрами для измерения упора и момента. Система регулировки карбюраторного двигателя обеспечивала получение устойчивых оборотов в пределах от 200 до 4000 об/мин.

Катамаран приводился в движение с помощью четырех подвесных моторов типа «Москва» мощностью 10 л. с. каждый. Регулировка числа оборотов и комбинация различных режимов работы моторов допускала получение скоростей движения катамарана в пределах от 0,7 до 4 м/сек с пролетками в 0,2 м/глех. Измерение скорости движением производилось с помощью вертушки, установленной в носовой части катамарана и тарирован-



Рис. 41. Схема расположения динамометров упора и момента.

ной на мерном участке. Для измерения числа оборотов винта использовался индукционный датчик.

Измерение упора и момента производилось механическими устройствами, состоящими из гребного вала 1 (рис. 41) с упорным подшипником, подвешенным на пружине 2, промежуточного вала 8 в опорно-упорных подшипниках 6, подвешенных на пружине 5, полумуфты 5, обеспечивающих передачу момента, и полумуфты 7, преобразующих окружное усилие T в осевую силу N . Упор, создаваемый гребным винтом, передавался корпусу подшипника 3, который вследствие деформации пружины 2 получал осевое смещение относительно неподвижного основания 9. Смещение фиксировалось индуктивным датчиком упора. Момент, создаваемый гребным винтом, передавался через вал 1 полумуфты 4 и вал 8 полумуфты 7, где происходила трансформация окружных сил T и осевую силу N . Под действием сил N вал 8 к, следовательно, корпусу подшипников 6 за счет деформации пружин 5 смешалась влево. Величина смещения фиксировалась индуктивным датчиком момента. Полумуфты 4, за передающие осевые силы, обеспечили независимость осевых перемещений валов 1 и 8. Сигналы датчиков скорости, числа оборотов, упора и момента поступали на щиты осциллографа марки К-12-21.

Погружение антена фиксировалось с помощью иглы, установленной впереди винта на расстоянии $2D$ от его диска (см. рис. 40 и 41). Регулировка погружения в процессе испытаний осуществлялась с помощью винтового механизма.

Программа исследований предусматривала испытания двух моделей винтов диаметром $D=0.2$ м с сегментными профилем и саблевидной формой лопасти. Элементы моделей винтов приведены в табл. 3. Для оценки влияния погружения исследованы четыре винта с различными $H/D = 4715, 4721, 4724, 4726$ при постоянном $\pi\sqrt{D}=4.56$ и относительных погружениях $T/D = 0.5; 0.65; 0.80; 1.0, 2.0$ (T — погружение винта по нижней точке). Результаты испытаний этих винтов были представлены в виде зависимостей $k_1=f(\lambda_p)$ и $\eta=f(\lambda_p)$. На рис. 42 показаны кривые деформации винта № 4712.

Таблица 3

Характеристики исследованных винтов

№ винта	H/D	δ	α	№ винта	H/D	δ	α
4715	1.140	1.080	4	4725	1.380	0.685	4
4721	1.250	0.995	4	4724	1.400	1.285	4
4712	1.380	0.975	4	4705	1.305	1.000	3
4724	1.460	1.038	4	4707	1.365	1.049	6
4726	1.570	1.043	4				

Исследование влияния дискового отношения Θ проводилось на трех винтах № 4705, 4712, 4714, испытанных при погружениях $T/D=0.8; 2.0$ и числе $\pi\sqrt{D}=4.56$. Влияние числа лопастей оценивалось по работе трех винтов № 4703, 4712, 4707, испытанных при погружениях $T/D=0.8; 2.0$ и числе $\pi\sqrt{D}=4.56$. По результатам испытаний винта № 4710 проведено исследование влияния параметра $\pi\sqrt{D}$. Винт испытывался при постоянном погружении $T/D=0.8$ и числах $\pi\sqrt{D}=4.56; 6.08; 7.70; 9.08$. На рис. 43 показаны результаты испытаний этого винта.

На основании проведенной работы были получены материалы для проектирования частично погруженных гребных винтов, а также сделаны некоторые выводы.

В частности, оказалось, что при некотором значении относительной поступи λ_p частично погруженного винта, коэффициенты его упора и момента имеют наибольшее значение. Обозначив эту поступь через λ_{\max} , по результатам эксперимента можно установить приближенную зависимость

$$\lambda_{\max} \approx \lambda_1 - 0.55,$$

где λ_1 — поступь кулевого упора.

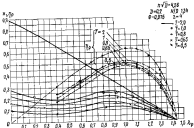


Рис. 42. Кривые действия винта № 4712

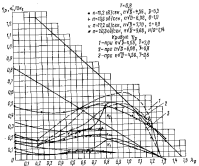


Рис. 43. Кривые действия винта № 4710.

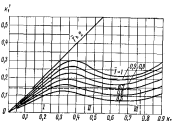


Рис. 46. Зависимость коэффициента упора k_t' , частично погруженного винта от k_d в свободной воде (для винта $z=4, \Theta=1$ при $\sqrt{D}=4,56$).

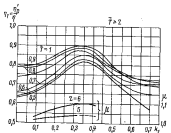


Рис. 47. Зависимость коэффициента k_t от коэффициента упора k_d винта в свободной воде в симметричном погружении T для винта $z=4, \Theta=1$ при $\sqrt{D}=4,56$. Зависимость относительного коэффициента $\mu = k_t / k_{t, \text{ст}}$ от k_d и числа лопастей z .

Величина $k_{\text{уп}}$ мало зависит от погружения. При $k_d < k_{\text{уп}}$ коэффициенты упора и момента k_d, k_p частично погруженного винта значительно уменьшаются. Это происходит в основном из-за полёса воздуха к винту. Интенсивность полёса воздуха с увеличением числа $n\sqrt{D}$ повышается. При $k_d > k_{\text{уп}}$ коэффициенты k_d, k_p значительно возрастают.

Количественная оценка влияния погружения и конструктивных элементов винта на его гидродинамические характеристики дана на рис. 44 и 45, на которых приведены зависимости k_t' и η_T для различных погружений при $\Theta=1$ и $z=4$ (k_t' — коэффициент упора частично погруженного винта; $\eta_T = \eta_T'/\eta_0$ — коэффициент относительного уменьшения к п. д. частично погруженного винта в сравнении с глубоким погружением).

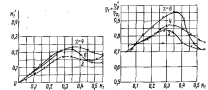


Рис. 48. Зависимость k_t' и η_T от k_d для винта с числом лопастей $z=3$; 4; 6 при $\sqrt{D}=4,56$ и $T=0,0$.

На рис. 46 и 47 приведены кривые k_t' и η_T для винтов с различным числом лопастей z в локальном отношении Θ . С возрастанием числа лопастей упор и к. п. д. частично погруженного винта возрастают. Если $k_d > k_{\text{уп}}$ ($k_t' < k_{\text{уп}}$), характер влияния Θ практически не зависит от погружения винта. В области малых поступей при больших Θ коэффициенты k_t' и η_T заметно повышаются. Из рис. 43 видно, что в области малых поступей $k_d < k_{\text{уп}}$ увеличение числа $n\sqrt{D}$ отрицательно сказывается на работе винта.

На основании результатов эксперимента д-ром техн. наук А. М. Васиным и канд. техн. наук Г. А. Гошевым [8] дали рекомендации по проектированию и предложили приближенный метод расчета частично погруженных гребных винтов.

Основные рекомендации сводятся к следующему:

1. Режим работы частично погруженного винта следует выбирать исходя из неравенства $k_d > k_{\text{уп}}$.

2. Относительное погружение должно приниматься не менее $T/D > 0.4$, так как при $T/D < 0.4$ k_1 и η_T настолько падают, что винт становится неэффективным движителем.

3. Длительное отключение В при работе частично погруженного винта в области поступки $\lambda_p > \lambda_{\text{up}}$ следует принимать таким же, как и для глубоко погруженного некавитирующего винта.

4. С целью повышения к.п.д. и уменьшения вибрации число лопастей винта должно быть наибольшим ($z=5-6$).

5. Профиль сечения лопастей частично погруженного винта следует выбирать в виде плоско-выпуклого сегмента.

6. Форму лопастей нужно принимать саблевидной.

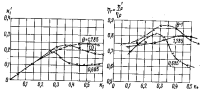


Рис. 47. Зависимость K_1' и η_T от λ_1 для винтов с лопастями следующих профилей: $\theta=0.685$; 1.0 ; 1.285 при $\pi\sqrt{D}=4.56$ и $T=0.8$.

Схему расчета частично погруженных гребных винтов можно представить в таком виде:

1. В первом приближении задается ожидаемая скорость движения v_b и определяется сопротивление судна R .

2. Рассчитывается коэффициент упора винта

$$K_1 = \frac{R}{\rho v^2 D^2}$$

и поступь

$$\lambda_p = \frac{v_p}{v_D}$$

3. По графику (см. рис. 44) в зависимости от K_1' и T/D определяется коэффициент упора винта в свободной воде k_1 .

4. По графику (см. рис. 45) в зависимости от k_1 и T/D определяется коэффициент относительного уменьшения к.п.д. η_T и поправка на число лопастей μ .

5. По выбранной диаграмме в зависимости от k_1 и λ_p находит шатковое отношение H/D , к.п.д. η_B , поступь нулевого упора λ_0 .

6. Рассчитывается мощность, подводимая к винту,

$$N_p = \frac{Rv_p}{75c_p \eta_B k}$$

Расчет производится методом последовательных приближений, пока определяемая мощность не совпадает с мощностью установленной на судне двигателей.

Гребной винт, выбранный по такому методу и рассчитанный применительно к режиму эксплуатационной скорости судна, может оказаться, однако, неприводимым на малых скоростях, где он находится в условиях полного погружения. Поэтому при выборе характеристик частично погруженного винта необходимо рассматривать все режимы движения как полного, так и частичного погружения. Как показал опыт проектирования и эксплуатации частично погруженных винтов на теплоходах «Ракета-М», «Беларусь» в катере «Волга-М», эту задачу можно решить успешно.

Водометные движители

До недавнего времени область применения водометного движителя оставалась ограниченной малыми скоростями. Это мнение основывалось на том, что с ростом скорости судна, а следовательно, и скорости струи, проходящей через рабочее сечение водометного движителя, значительно возрастают гидравлические потери в движителе, приводящие к существенному падению к.п.д. водомета. Существенным препятствием в развитии скоростных водометных движителей считалась также кавитация рабочего органа, которая, по мнению ряда специалистов, в условиях работы винта в трубе наступает при меньших скоростях, чем для винта в свободной воде.

В 1947 г. специалисты ЦКБ по судам на подводных крыльях предложили использовать на судне с подводными крыльями водометный движитель с осевым пропеллерным насосом. Необходимость создания водометного движителя для скоростного судна была обусловлена такими недостатками гребного винта, как некая живучесть, повышенная вибрация и износ в ходом потоке, значительная габаритная осадка судна и т. п. В 1947—1951 гг. в ЦКБ проводились большие экспериментальные исследования по скоростным водометным движителям. При этом для ярко выраженных геометрических характеристик элементов водометных движителей (в частности, подзаборника, насосной части, рабочего колеса, сопла), отыскивались оптимальные расположение подзаборников, определялось влияние числа

ступней и т. д. На основании проведенных исследований получены необходимые материалы для создания скоростного водометного двигателя.

В 1950 г. был разработан проект и построен экспериментальный катер на подводных крыльях с водометным двигателем. Общий компоновка катера показана на рис. 48.

Шелевидное подводное отверстие двигателя своеобразно скомпоновано с коренным подводным крылом. Такая компоновка рассчитана на использование для работы подводного двигателя повышенного давления магнитной стенки коренного подводного крыла. Катер с водометным двигателем успешно прошел испытания, разрыв скорости смыте 70 км/час.

Как известно, водометный двигатель уступает гребному винту по величине к. п. д. Однако надежность в эксплуатации, уменьшение габаритной осадки и вибрации катера компенсируют в известной мере потери.

Развитие водометных двигателей для судов на подводных крыльях и дальнейшеешло по двум основным направлениям: разработка симметричных конструкций подводных приводов применительно к судовым двигателям и заимствование принципиальной схемы водометного двигателя, применительно к авиационным одновальванным газовым турбинам.

Результатом работ по первому направлению было создание теплохода «Чайка» на подводных крыльях с водометным двигателем (1962 г.). Теплоход «Чайка» достиг скорости 95 км/час. Создание водометного двигателя этого теплохода предполагало многоточечные экспериментальные исследования на самоходных моделях водометных двигателей различных вариантов.

Водометный двигатель теплохода «Чайка» при натурных скоростях проработал на большом скоростном катере на подводных крыльях, развивавшим скорость до 110 км/час.

Внедрению на скоростных судах серийно стоявших и отложенных недорогих авиационных одновальных газовых турбин (второе направление) препятствует отсутствие приемлемого для работы с турбиной судового двигателя. Дело в том, что на рабочем режиме авиационные турбины работают при постоянных числах оборотов (рис. 49). Использовать для совместной работы с такой турбиной обычный гребной винт нельзя, поскольку в этом случае, с одной стороны, требуется большая, чем располагает турбина, мощность на его раскрутку до необходимых чисел оборотов и, с другой стороны, он не позволяет регулировать упор (а следовательно, скорость судна) из-за постоянства чисел оборотов турбины. Наиболее приемлемым двигателем мог бы оказаться гребной винт регулируемого шага (ВРШ) или винт изменяющего шага (ВИШ). Применение воздушного винта при сравнительно непысоких скоростях движения

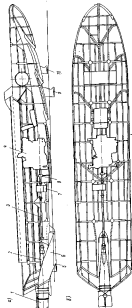


Рис. 48. Схема общей компоновки водометного катера: а — продольный разрез; б — план. 1 — подводное крыло; 2 — опоры; 3 — антенна; 4 — двигатель; 5 — воздуховод; 6 — винт; 7 — коренные крылья; 8 — винт регулируемого шага; 9 — винт изменяющего шага; 10 — винт противотока; 11 — винт штурвального канала.

судов из подводных крыльях невыгоден из-за малого К.п.д. Кроме того, воздушный гинг имеет повышенную шумность. Целесообразность использования ВРШ для судов на подводных крыльях также не бесспорна, поскольку создание механизма поворота лопастей при малых габаритах винта весьма сложно и дорого. Необходимо также учитывать и низкую износостойкость гребного винта у судов из подводных крыльях, эксплуатируемых в условиях загоренного фарватера.

Для разработки водометных движителей, работающих совместно с одновальной газовой турбиной, потребовалось проведение большого объема экспериментальных исследований. Были созданы различные варианты водометов, имеющих разные принципиальные схемы. Модели этих водометов неоднократно испытывались на несамоходных и самоходных судах с имитацией совместной работы движителя и турбины. Наиболее оптимальные варианты водометных движителей выбраны совместно с газовой турбиной типа АИ-20 на натурных стендах со скоростью более 50 км/час.

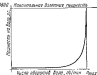
Рис. 49. Зависимость мощности от числа оборотов одновальной газовой турбины типа АИ-20.

Эти работы позволили создать новый тип водометного движителя, который в настоящее время введен в газотурбодвигатель подводных крыльев «Буревестник». Работы в области развития скоростных водометных движителей продолжаются.

Рассмотрим некоторые особенности расчета и проектирования скоростных водометных движителей.

Для характеристики работы водометного движительного комплекса необходимо знать следующие величины: полезную тягу комплекса, упор винта, среднюю скорость протекания воды в диске винта, полезную мощность, количество оборотов винта, скорость перемещения комплекса, гидравлические и другие потери в струе движителя. В зависимости от характеристики задания за проектирование часть этих величин оказывается известной, а остальные определяются расчетом. Первый этап такого расчета может быть произведен по методу А. М. Басина и М. И. Френкеля, изложенному ниже [2].

Тяга комплекса (отличающаяся от сопротивления судна на величину силы засасывания, возникающей между движителем и судном) определяется по формуле



$$P_r = \rho w \cdot \rho F_{\text{ср}} v_r w - \rho F_v (v_r + w) w,$$

а упор винтов водомета по формуле

$$P = \rho F_{\text{ср}} \left(v_r + \frac{w}{2} \right) w + \tau^* \frac{\rho}{2} F_{\text{ср}} v_r^2 + t_b \frac{\rho}{2} F_{\text{ср}} v_r^2,$$

В этих формулах:

ρ — масса воды, отbrasываемая движителем в секунду;
 w — массовая плотность воды;
 $F_{\text{ср}}$ — сечевая площадь винтом машина (площадь диска винта за единицу времени);

F_v — площадь струи на бесконечности за движителем;

v_r — скорость движения комплекса (скорость судна, исправленная на понутный поток);

v_s — скорость протекания жидкости через диск движителя;

w — осевая вызванная скорость на бесконечности за движителем;

τ^* — коэффициент гидравлических потерь водометной трубы; потеря давления отнесена к скоростному напору на выходе из сопла (рис. 50);

$$t_b = \frac{2gh}{v_r^2}$$

коэффициент потерь напора на подъем струи (h — высота подъема струи над ватерлинией, g — ускорение силы тяжести).

Мощность, затрачиваемую на создание струи движителя, можно определить по формуле

$$N_r = P v_r = \rho w \left(v_r + \frac{w}{2} \right) + m \tau^* \frac{v_r^2}{2} + m t_b \frac{v_r^2}{2},$$



Рис. 50. Функции $t = t(h)$; $t^* = t^*(h)$.

Тогда коэффициент полезного действия струи движителя зависит в виде

$$\eta_c = \frac{P_{\rho_2}}{N_c} = \frac{P_{\rho_2}}{P_{\rho_2}} = \frac{1}{1 + \frac{\alpha_c}{4\beta_j} + \frac{\beta_j}{\alpha_c} (\zeta_{\rho_2}^2 - \zeta_{\rho_1}^2)},$$

где $\bar{v}_2 = \frac{v_2}{v_0}$ — относительная скорость протекания в диске пакта.

Если обозначить через N мощность, подведенную к движителю, то коэффициент полезного действия комплекса

$$\eta_c = \frac{P_{\rho_2}}{N} = \frac{P_{\rho_2}}{P_{\rho_2}} \cdot \frac{P_N}{N} = \eta \eta_M,$$

где $\eta_M = \frac{P_N}{N}$ может быть назван коэффициентом полезного действия насоса.

Относительная скорость протекания жидкости в диске движителя связана с коэффициентом нагрузки движителя по тяге $\alpha_c = \frac{2P_{\rho_2}}{\mu_2^2 F_{ext}}$ зависимостью

$$\bar{v}_2 = \frac{\alpha_c}{2} \left(\sqrt{1 + \frac{2\gamma}{\alpha_c}} + 1 \right),$$

где $\alpha = \frac{F_{ext}}{F_{max}}$ — коэффициент поджатия струи на бесконечности (отношение площади струи на бесконечности к площади выбрасываемого отверстия водометной трубы);

β — коэффициент конструктивного поджатия.

Введен обозначение:

$v'_2 = v_2/\beta$ — относительная скорость струи из выброса из водометной трубы;

$$\alpha'_c = \frac{2P_{\rho_2}}{\mu_2^2 F_{max}} = \frac{\alpha_c}{\beta} \text{ — коэффициент нагрузки движителя по тяге (определенный по площади выброса);}$$

$\zeta = \zeta^2 + \beta^2$ — коэффициент гидравлических потерь водометной трубы (потери давления относительно к скоростному напору на выбросе из трубы).

Тогда можно записать:

$$\eta_c = \frac{1}{1 + \frac{\alpha'_c}{4\beta_j} + \frac{\beta_j}{\alpha'_c} (\zeta_{\rho_2}^2 - \zeta_{\rho_1}^2)}.$$

$$\bar{v}_2 = \frac{\alpha}{2} \left(\sqrt{1 + \frac{2\gamma}{\alpha}} + 1 \right).$$

Для практического использования этих формул необходимо предварительное определение коэффициентов α и β . На основа-



Рис. 51. Функция $\alpha = f(p_r)$.

ние результатов эксперимента [2] предлагается принимать коэффициент α постоянным и равным 0,935 (рис. 51).

Коэффициент гидравлических потерь в водометной трубе может быть найден по таблицам гидравлических справочников. С целью определения этого коэффициента для трубы сложной конфигурации в аэродинамической трубе была проделана модель водометной трубы, близкая по форме водозаборника к водометной трубе теплохода «Чайка». По результатам этого эксперимента при изменении β от 0,35 до 1,0 коэффициент ζ менялся соответственно в пределах 0,33—0,25 (см. рис. 50).

Если величины α и β известны, две последние формулы позволяют определить основные геометрические и гидродинамические характеристики движителя. На рис. 52 и 53 представлены построенные по этим формулам зависимости η_c и соответствующие \bar{v}_2 значения α'_c в функции от коэффициента нагрузки движителя по колцевой тяге α'_c при $\zeta = 0,25$ и $\alpha = 0,935$. Подобные кривые могут быть легко построены и при других значениях ζ и α .

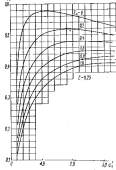


Рис. 52. Функция $\zeta = f(\alpha'_c)$.

Взаимодействие гребного винта и подводной трубы характеризуется коэффициентом засасывания ζ , определяемым выражением:

$$\zeta = 1 - \frac{P_d}{P}.$$

На основании приведенных выше формул можно записать, где

$$\zeta = \frac{2\bar{\sigma}_x \left(\frac{\bar{\sigma}_y}{\sigma} - 1 \right)}{\left(\frac{\bar{\sigma}_y^2}{\sigma^2} - 1 \right) + \left(\bar{\sigma}_x^2 + \bar{\sigma}_y \right)}.$$

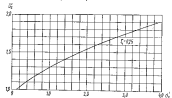


Рис. 54. Функция $\zeta = f(\alpha)$.

На рис. 54 и 55 показаны зависимости коэффициента γ от коэффициентов нагрузки по узлу винта и тяге движителя; соответственно $\gamma_x = \frac{2P_d}{P}$ и $\gamma_y = \frac{2P}{P_{двиг}}$ при $\zeta = 0,25$ и $\alpha = 0,25$. Такими графиками удобно пользоваться для повернутого расчета движителя.

При выборе главных двигателей величину потребной мощности в первом приближении можно определить, исходя из приближенного значения пропульсивного коэффициента $\eta_p = 0,40 - 0,50$ (при больших скоростях следует принимать большие значения η_p из указанного диапазона). После выбора главных двигателей производится уточненный расчет движителя по приведенной здесь расчетной схеме.

Заданными считаются следующие величины:

скорость судна (задается последовательными приближениями) v ;

коэффициент попутного потока корпуса (крыльевого устройства) $\Psi_{вд}$

коэффициент засасывания корпуса (крыльевого устройства) ζ_b ;

мощность главного движителя N ;

число оборотов гребного винта (лоптот) n ;

зависимость сопротивления движению от скорости $R = f(v)$;

Для обоснованного назначения величин Ψ_b и ζ_b требуются специальные экспериментальные исследования. При отсутствии обоснованных данных для выбора этих коэффициентов можно приблизительно принимать $\Psi_b = \zeta_b = 0$. Это допущение оправдывается на следующем соображении. При ходе на крыльях попутный поток корпуса отсутствует, а влияние относительно незначительного попутного потока крыльевого устройства мало из-за удаленности движителя от носового края и различия в геометрических образованиях подводного оперения и крыльев. По тем же причинам допустимо пренебречь силовым воздействием крыльевого устройства на движитель (однако это не значит, что можно не принимать во внимание влияние движителя на характеристики крыла).

Выбор основных геометрических характеристик должен производиться таким образом, чтобы оба сопротивления в выражении $\eta_p = \eta_p \cdot \eta_t$ по возможности достигали максимального или близкого к нему значения.

Коэффициент нагрузки движителя η_p' определяется по графику на рис. 52 исходя из наибольшего значения ψ_c (или по аналогичному графику при других значениях α и β). Максимальное значение ψ_c и соответствующие значения α и β , можно получить дифференциальными выражениями для ψ_c . Однако более удобно в данном случае использовать графическую зависимость $\psi_c = f(\alpha')$. Это позволяет производить оценку влияния отклонения ψ_c от максимального значения на величину общего К.М.Д. движителя.

Отступление от максимального значения ψ_c и, следовательно, от соответствующей скорости протекания v , может иногда оказаться целесообразным (например для отдаления момента застулкиания кавитации). Относительную скорость протекания из выброса из трубы находят по рис. 53.

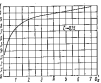


Рис. 55. Функция $\gamma = f(\alpha')$.

Площадь выбрасывающего отверстия подводной трубы определяется по формуле

$$F_{\text{выбр}} = \frac{2P_t}{v_t^2 \rho_t^2},$$

где

$$P_t = \frac{R}{1 - I_t};$$

$$v_t = v(1 - \Psi_t).$$

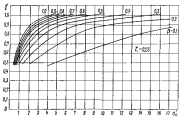


Рис. 85. Функция $\tau = f(R_t)$.

Перепад давлений в диске зинта можно найти по формуле

$$\Delta p = \frac{\nu_t^2}{2d} (1 + \zeta) - \frac{\nu_d^2}{2} + \gamma h$$

(γ — удельный вес воды).

Теоретический перепад давлений, учитывающий вязкостные потери на спиральных аппаратах и на ступице, а также потери на закручивание струн, определяется как

$$\Delta p_t = \frac{\Delta p}{\tau_b},$$

На этой стадии расчета величину τ_b принимают приближенно равной 0,80—0,85.

Определение оптимальной скорости протекания в диске зинта (винта) v_t можно произвести дифференцированием выражения для к.п.д. насоса τ_b по v_t . Однако ввиду отсутствия достоверных аналитических зависимостей τ_b от v_t , особенно характери-

зующих потерю в насосе (вязкостные потери на вихрях и спиральных аппаратах), такой путь оказывается недостаточно точным.

Для определение скорости протекания v_t более целесообразно пользоваться нормативными материалами, разработанными в насосной технике. В частности, может быть использована формула С. С. Руднева

$$v_t = (0,06 + 0,08) \sqrt[3]{Q d^2},$$

где

$$Q = F_{\text{выбр}} \cdot \bar{d} \cdot v_t.$$

Практика создания осевых насосов и движителей показывает также, что при произвольном соотношении скорости протекания в диске движителя к окружной скорости могут возникнуть значительные трудности в проектировании лопастей зинта. В соответствии с нормативными материалами целесообразно принять

$$\bar{v}_{\text{зинт}} = \frac{v_t}{v_{\text{окр}}} \approx 0,27 + 0,36.$$

В этом случае диаметр зинта определяется по формуле

$$D = \frac{v_t}{\bar{v}_{\text{зинт}} \pi d},$$

а сечемая цинтом площадь

$$F_{\text{зинт}} = \frac{Q}{v_t}.$$

Коэффициент конструктивного поджатия

$$\beta = \frac{F_{\text{зинт}} \tau_b}{Q},$$

а относительный диаметр ступицы

$$\bar{d} = \frac{d}{D} = \sqrt{1 - \frac{4F_{\text{зинт}}}{\pi D^2}}.$$

Для водометных движителей, проектированных специалистами ЦКБ по судам на подводных крыльях, характерны следующие значения этих величин: $d = 0,6\text{--}0,8$; $\beta = 0,25\text{--}0,35$.

После определения площади $F_{\text{зинт}}$ упор зинта (винта) подсчета выражается в виде

$$p = \Delta p_t F_{\text{зинт}},$$

На этом заканчивается первый этап проектировочного расчета водометного движителя.

Цель следующего этапа расчета — определение геометрических характеристик зинта. Этот расчет производится как

с использованием схем и методов, разработанных в теории гребных винтов, так и с использованием методов теории решеток, получающих распространение в науках техники. И те и другие методы хорошо освещены в литературе [16].

Поверочный расчет гребного винта (ротора) водометного движителя в первом приближении можно произвести по методу В. В. Колесецкого [11], разработанному в предположении, что гребной винт работает в трубе бесконечной длины. Не оставалось подробно на теоретических основах данного метода, приведем лишь схему поверочного расчета [16].

1. Основные данные по гребному винту и коэффициенты вспомогательных решеток κ_1 и κ_2 записываются в табл. 4.

Таблица 4

Основные данные для расчета винта

δ (число лопастей) =	δ (дисковое отклонение)							
Относительный радиус $r = \frac{r}{R}$	0,30	0,40	0,50	0,60	0,70	0,80	0,90	0,95
Шаговое отклонение H/D								
Шаговый угол $\varphi = \arctg\left(\frac{1}{\pi} \frac{H}{D} \cdot \frac{R}{r}\right)$								
Относительная широта лопасти $\delta = \frac{\delta}{4\pi r}$								
Относительная полушка лопасти δ								
Относительный шаг решетки $\frac{\delta}{\delta} = \frac{r}{2\pi R}$								
Коэффициент линий решетки κ_1 [11]								
Коэффициент линий решетки κ_2 [13]								
Нулевой угол φ_0								

2. Для нескольких значений относительной поступи гребного винта $\lambda_e = \frac{v_e}{c_{\infty}}$, в табл. 5 и 6 производится расчет коэффициентов F в свободных членах φ следующей системы линейных уравнений, полученной решением интегроодифференциального уравнения для винта:

$$F_{11}A_1 + F_{12}A_2 + F_{13}A_3 = \tau_1,$$

$$F_{21}A_1 + F_{22}A_2 + F_{23}A_3 = \tau_2,$$

$$F_{31}A_1 + F_{32}A_2 + F_{33}A_3 = \tau_3.$$

В табл. 5 коэффициенты F и φ определяются для работы винта в свободной воде, в табл. 6 — для работы винта в трубе. Знак коэффициентов F и φ , позади коэффициентов A .

Значения скоростей w_1 , w_2 , w_3 приведены на рис. 56—58 в зависимости от коэффициента

$$\alpha = \frac{\lambda_e}{\sqrt{1 + \lambda_e^2}}.$$

Величины $\Delta\bar{w}_1$, $\Delta\bar{w}_2$, $\Delta\bar{w}_3$ определяют расчетом по формуле

$$\Delta w_k = \frac{2\pi}{\lambda_e \delta R} \left(\frac{R}{R_1} \right)^2 B_m,$$

$$\text{где } B_1 = \frac{5\pi}{32}; B_2 = \frac{\pi}{6}; B_3 = \frac{\pi}{32};$$

$$\bar{w} \approx \sqrt{w_1^2 + \left(\frac{r}{R} \right)^2}.$$

3. В виде табл. 7 подсчитывают распределение импульсии зводы лопасти и распределение коэффициентов упора и момента винта $\frac{d\bar{k}_1}{dr}$ и $\frac{d\bar{k}_2}{dr}$ вдоль его радиуса.

Величину $v(c_0 \bar{w})$ определяют по графику (рис. 59).

4. Строят графики зависимости $\frac{d\bar{k}_1}{dr}$ и $\frac{d\bar{k}_2}{dr}$ от \bar{r} для различных λ_e .

5. Интегрированием краевых (п. 4) определяют различные коэффициенты упора k_1 и момента k_2 для различных λ_e .

Таблица 8

Схема расчета коэффициентов F и φ при работе линии в свободной зоне

$R/R_1 = 0$	$\lambda_F =$		
$\bar{r} = \frac{r}{R}$	0,40	0,70	0,90
$\lg \bar{\delta} = \frac{\lambda_F}{r}$			
$(\varphi + \alpha_0)^2$			
β^2			
$(\varphi + \alpha_0 - \beta)^2$			
$(\varphi + \alpha_0 - \beta) \text{ рад.}$			
$\left(\frac{\partial c_p}{\partial u_1} \right)_0 \bar{w}_1$			
$(\partial c_p / \partial u_1)_0 \bar{w}_1 (\varphi + \alpha_0 - \beta)$			
$\bar{w}_1 \in \text{рас. 58}$			
$2\bar{r}_1$			
$(\partial c_p / \partial u_1)_0 \bar{w}_1$			
$2\bar{r}_1 + (\partial c_p / \partial u_1)_0 \bar{w}_1$			
$\bar{w}_2 \in \text{рас. 57}$			
$2\bar{r}_2$			
$(\partial c_p / \partial u_1)_0 \bar{w}_2$			
$2\bar{r}_2 + (\partial c_p / \partial u_1)_0 \bar{w}_2$			
$\bar{w}_3 \in \text{рас. 58}$			
$2\bar{r}_3$			
$(\partial c_p / \partial u_1)_0 \bar{w}_3$			
$2\bar{r}_3 + (\partial c_p / \partial u_1)_0 \bar{w}_3$			
$\bar{w} = \sqrt{\lambda_F^2 - r^2}$			

Схема расчета коэффициентов F и φ при работе линии
в трубе при заданном R/R_1

R/R_1	λ_F		
$\bar{r} = \frac{r}{R}$	0,40	0,70	0,90
$\lg \bar{\delta} = \frac{\lambda_F}{r}$			
$(\varphi + \alpha_0)^2$			
β^2			
$(\varphi + \alpha_0 - \beta)^2$			
$(\varphi + \alpha_0 - \beta) \text{ рад.}$			
$(\partial c_p / \partial u_1)_0 \bar{w}_1 \bar{\delta}$			
$(\partial c_p / \partial u_1)_0 \bar{w}_1 \bar{\delta} (\varphi + \alpha_0 - \beta)$			
$\bar{w}_1 \in \text{рас. 58}$			
$2\bar{r}_1 - 10 \cdot \bar{\delta} \cdot \bar{w}_1$			
$\bar{w}_2 - 10 \cdot \bar{\delta} \cdot \bar{w}_1$			
$2\bar{r}_1$			
$(\partial c_p / \partial u_1)_0 \bar{w}_2 \bar{\delta} (\bar{w}_2 - 2\bar{w}_1)$			
$2\bar{r}_1 + (\partial c_p / \partial u_1)_0 \bar{w}_2 \bar{\delta} (\bar{w}_2 - 2\bar{w}_1)$			
$\bar{w}_3 \in \text{рас. 57}$			
$2\bar{r}_2 - 10 \cdot \bar{\delta} \cdot \bar{w}_2$			
$\bar{w}_3 - 10 \cdot \bar{\delta} \cdot \bar{w}_2$			
$2\bar{r}_2$			
$(\partial c_p / \partial u_1)_0 \bar{w}_3 \bar{\delta} (\bar{w}_3 - 2\bar{w}_2)$			
$2\bar{r}_2 + (\partial c_p / \partial u_1)_0 \bar{w}_3 \bar{\delta} (\bar{w}_3 - 2\bar{w}_2)$			
$\bar{w}_4 \in \text{рас. 58}$			

Приложение

$\Im\omega_2 = -\alpha \Phi \omega_0$		
$\bar{\omega}_2 = \bar{\omega}\omega_0$		
$2\Gamma_2$		
$(\partial c_p / \partial \omega_1)_0 \bar{\omega} (\bar{\omega}_2 - 2\bar{\omega}_2)$		
$2\Gamma_3 + (\partial c_p / \partial \omega_1) \bar{\omega} (\bar{\omega}_2 - 2\bar{\omega}_2)$		
$\bar{\omega} = \sqrt{c_p^2 + \tau^2}$		

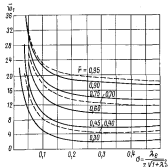


Рис. 56. Функция $\bar{\omega}_1 = f(\omega)$.

б. Полученные значения k_1 и k_2 исправляют на действительные дисковые отношения по формулам:

$$k_1 = k_1 \sqrt{\frac{\Theta'}{\Theta}}, \quad k_2 = k_2 \sqrt{\frac{\Theta'}{\Theta}},$$

где Θ и Θ' — соответственно расчетное и действительное дисковое отношение линзы.

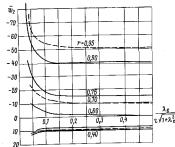


Рис. 57. Функция $\bar{\omega}_2 = f(\omega)$.

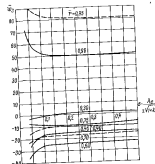


Рис. 58. Функция $\bar{\omega}_2 = f(\omega)$.

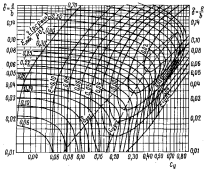
Таблица 7

Схема расчета $\frac{dk_1}{dr} \approx \frac{dk_2}{dr}$

$\frac{R}{R_0} =$	$k_2 =$	$A_1 =$	$A_2 =$	$A_3 =$
$\frac{r}{R} \approx r$	0,30	0,49	0,60	0,70
	0,80	0,90	0,95	
$\Gamma_1 = (1 - \cos \theta) \sin 2\theta$				
$\Gamma_2 = (1 - \cos \theta) \sin 2\theta$				
$A_1 \Gamma_1$				
$A_2 \Gamma_2$				
$A_3 \Gamma_3$				
$\bar{T} = A_1 \bar{T}_1 + A_2 \bar{T}_2 + A_3 \bar{T}_3$				
$\bar{w} = \sqrt{\lambda_y^2 + \bar{T}^2}$				
$c_y = \frac{\partial \bar{T}}{\partial \theta}$				
$\eta^2 = \frac{11,0}{\pi_0} c_y$				
$\beta_1 = \gamma + \alpha_0 - \alpha_1$				
$\lg \beta_1$				
$r = \{r, \beta\}$ (рис. 89)				
$\cos \beta$				
$\sin \beta$				
$\frac{1}{r^2} \frac{dk_1}{dr} = \bar{T} \bar{w} \cos \beta / (2 - \lg \beta)^2$				
$\frac{2}{r^2} \frac{dk_2}{dr} = \bar{T} \bar{w} \sin \beta \left(1 + \frac{2}{\lg \beta} \right)$				

7. По полученным значениям k_1 и k_2 строят кривые действий гибкости:

$$k_1 = f(c_y), \quad k_2 = f(\bar{c}_y), \quad \lambda = f(\bar{c}_y) \left(\lambda_0 = \frac{r_0}{\mu D} \right).$$

Рис. 90. Функция $e = f(c_y, \beta)$.

8. Переход от коэффициента упора анта $k_1 = \frac{P}{\mu D R^2}$ к коэффициенту тяги $k_t = \frac{P_t}{\mu D R^2}$ и, следовательно, переход от упора анта к тяге движителя не вызывает затруднений, так как

$$\frac{k_t}{k_1} = 1 - t = k_2^2.$$

После выполнения расчетов по приведенной схеме может быть построена обычным способом паспортная диаграмма судна.

Вопросы зернистых гребных винтов судов на подводных крыльях

Эксплуатация кавитирующихся гребных винтов, работающих в первичном поле скоростей, сопутствует, как правило, зернистым лопастям.

В связи с тем, что отсутствует достаточно надежная методика расчета кавитирующихся гребных винтов, работающих в косом потоке, выбор параметров движителя, исключающих зернистые лопасти, затруднен. Поскольку в гребному винту судна на подводных крыльях возможен присос атмосферного воздуха подъя гребного вала, пересекающего при движении поверхность воды, постановка эксперимента по изучению особенностей работы гребного винта, работающего в подобных условиях, также достаточно сложна.

При создании первых судов на подводных крыльях целесообразностью оказалась приближенные расчеты кавитирующихся гребных винтов, работающих в косом потоке, и выбор из основания этих расчетов параметров серии гребных винтов в широком диапазоне изменения основных геометрических характеристик: шагового отношения H/D , дискового отношения Θ , профиля сетевин лопастей и т. д. Эти гребные винты испытывали на головных судах. По итогам испытаний делали выводы о влиянии того или иного параметра на интенсивность зернистости.

На рис. 60 показаны гребные винты судов на подводных крыльях с зернистыми разрушениями. Как правило, зернистые разрушения расположены на нагнетающей поверхности лопастей гребного винта.

В результате ряда исследований удалось повысить срок службы гребных винтов до 300–500 час. без заметных следов зернистости вместо 100–200 час. Однако полностью устранить зернистость метод проектирования гребных винтов оказался затруднительным.

В 1962 г. начался разработывать мероприятия, исключающие зернистые вибрации судов на подводных крыльях. Внедрение этих мероприятий привело к положительным результатам.

Теоретические и экспериментальные исследования позволили разработать метод определения момента возникновения кавитации на нагнетающей поверхности кавитирующего гребного винта, работающего в косом потоке, а следовательно, и метод борьбы с зернистостью¹.

Схема расчета (предложенная Е. П. Георгиевской и О. В. Рождественским) заключается в следующем.

1. Определяют момент возникновения кавитации на задней кромке загасывающей и поглащающей вакуумности профилей в рассматриваемом сечении по формуле:

¹ См. журнал «Судостроение», № 7, 1966.

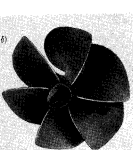
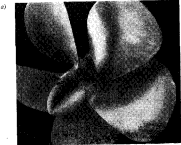


Рис. 60. Зернистые разрушения гребных винтов теплохода «Ракета»: а — погасывающий винт; б — неогасывающий винт.

для засасывающей поверхности местное число кавитации

$$\sigma = (0,5 - \delta) (s_x - 205) + 36,$$

для нагнетающей поверхности

$$\sigma = -(0,5 - \delta) (205_2 + s_y) + 36,$$

где δ — относительная толщина сечения лопасти;

δ_1 — относительная толщина засасывающей поверхности;

δ_2 — относительная толщина нагнетающей поверхности, причем знак минус соответствует выпуклости;

s_{xy} — кромочный угол атаки.

Далее находят величину

$$s_{\min} = 0,2 + 6(0,53 - \delta_2)$$

и строят зависимость

$$s_x = f(\sigma).$$

2. Подсчитывают максимальное и минимальное значения относительной постуки зинта при заданном значении угла скоса потока по формуле

$$\lambda_p = \frac{\lambda_p \cos \varphi}{1 + \frac{\lambda_p}{cr} \sin \varphi \cos \psi},$$

где λ_p — относительная постука гребного зинта;

ψ — угол скоса потока;

φ — угол поворота лопасти;

r — относительный радиус сечения.

3. Определяют зависимость (для профилей в рассматриваемом сечении) относительной постуки от кромочного угла атаки δ , а также колебание угла атаки профиля за один оборот лопасти гребного зинта по уточненной схеме Э. Э. Павмеля [4].

4. Производят подсчет местных чисел кавитации σ , соответствующих заданным числам кавитации χ зинта в целом, по формуле

$$\sigma = \chi - \frac{\lambda_p^2}{\lambda_p^2 + (\pi r)^2}.$$

5. Найденные предельные значения углов атаки наносят на график $s_x = f(\sigma)$ для соответствующего числа кавитации, определенного в п. 4.

Если максимальное и минимальное значения углов атаки для местного числа кавитации σ расположаются по обе стороны границы кавитации на вращающей кромке в течение одного оборота лопасти гребного зинта, то это свидетельствует о периодическом возникновении и исчезновении кавитации и возможностях появления зирин.

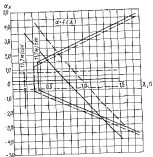


Рис. 11. Зависимость $\sigma_x = f(\chi, \delta)$ для $\bar{\alpha}=0,54$,
 $\bar{c}=0,000; \bar{c}_1=0,004; \bar{c}_2=0; \bar{c}_3=0,008; \bar{c}_4=0,012; \bar{c}_5=0,016$.

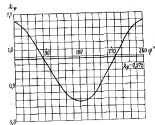


Рис. 12. Колебание местной относительной постуки в течение одного оборота:
 $\bar{\alpha}=f(\chi); \lambda_p=0,473$.

Таблица 4

Схема к примеру расчета элементов гребного винта

$\bar{r} = 0,54$	$x = R_0$	$\frac{A}{Ad} = 1,03$	$\frac{H}{D} = 1,22$				
$1 = 0,055$	$b_2 = D_0$						
$x = \frac{R_0}{2\pi r} = 1,06$	$k_2 = 1 - \frac{\sqrt{1 + H^2/D^2}}{\lg v} = 0,836$						
$T = \frac{H}{2\pi r} = 0,103$	$\lg v = \frac{H}{2\pi r} = 0,02$; $v = 35.45^\circ$; $c_0 = 115$						
$a_0 = \frac{r_0}{2} (k_1 - k_2) = 3.46$							
x_0^0	-3,16	-2,0	0	2,0	4,0	6,0	
$x^0 - x_0 - a_0$	0	1,16	3,16	5,16	7,16	9,16	
$\delta = v - x_0$	30°51'	32°04'	33°45'	37°01'	31°44'	29°41'	
$\lg \delta$	0,805	0,773	0,718	0,667	0,617	0,579	
$\tilde{x} = \lg \delta / \bar{r}$	0,435	0,417	0,388	0,366	0,335	0,308	
$\bar{r} = \frac{x}{2} \sqrt{1 - \frac{H^2}{D^2}}$	7,56	7,77	8,27	8,86	9,47	10,15	
$k_2 = f(\tilde{x})$	0,980	0,983	0,995	0,976	0,975	0,980	
$b_2 = \frac{41.5k_2 b_1}{x^0 - 1 + \lg \delta}$	13,15	13,46	13,80	14,30	14,80	15,00	
$b_2 = \frac{28.81g / \bar{r}}{\tilde{x} + k_2}$	14,65	13,90	13,66	13,25	12,85	12,40	
$x = -\frac{\pi^2}{b_2 - b_1}$	0	0,043	0,185	0,388	0,661	0,934	
$a_0 = -\frac{N}{1 - x}$	0	0,048	0,103	0,139	0,197	0,250	
$y' = \frac{x}{\lg^2 v}$	-	0,071	0,221	0,423	0,698	1,030	

Продолжение

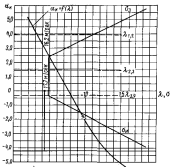
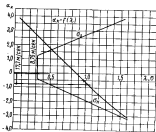
$a_0' = \frac{y'}{1 - y^2}$	0	0,005	0,388	0,731	2,200	-
$\frac{a_0}{x_0 - a_0}$	0,004	0,015	0,038	0,049	0,063	-
$\frac{1,1a_0 - a_0}{x^2}$	-	0,056	0,125	0,186	0,250	-
$y = \frac{y'}{1 - x}$	-	0,575	0,339	0,521	0,900	-
$a_1 = \frac{y}{1 - y}$	-	0,082	0,490	1,090	9,000	-
$k = \bar{r} \lg \delta \frac{1 - a_0}{1 + a_0}$	1,308	1,165	0,735	0,456	0,083	-

На рис. 61 приведены результаты расчета через капитацию, характеризующие возникновение капитации для сечений лопастей, расположенного на $\bar{r}=0,54$. Величины колебаний угловой относительной поступки $\dot{\theta}_2$ в течение одного оборота показаны на рис. 62. В табл. 8 дан пример расчета функции $a_0 = f(\bar{r})$ для этого случая по схеме Э. Э. Патемеля [4]. Из рассмотрения данных расчета для сечений, расположенных на относительных радиусах \bar{r} , равных соответственно 0,54, 0,2, 0,845 (рис. 62, 63 и 64), следует, что гребной винт работает в режиме капитации загибающей поверхности.

Как показали результаты выполненных расчетов и проведенного анализа, можно исключить капитацию нагибающейся поверхности и, следовательно, зеркало, уменьшив кривизну профиля сечений лопастей. Однако для сохранения неизменной величины упора гребного винта в этом случае требуется увеличить шаг винта.

С целью определения параметров винта, при которых зеркало отсутствует, произведен расчет распределения шага и кривизны средней линии профиля для гребного винта (табл. 9). Как видно из таблицы, выбранный гребной винт не должен подвергаться зеркалю. Гребной винт, имеющий параметры, определенные расчетом по приведенной схеме с учетом материалов патрульных экспериментальных исследований, был изготовлен в 1954 г. и установлен на одновинтовом теплоходе «Ракета». Осмотр гребного винта после 1536 час. эксплуатации показал, что следы зеркаля на его лопастях отсутствуют.

Схема и пример расчета элементов требуемого звена

Рис. 63. Функция $\alpha_x = f(\lambda_x, \sigma)$ для $r=0.2$.Рис. 64. Функция $\alpha_x = f(\lambda_x, \sigma)$ для $r=0.845$.

$k_1 = 0,18$	$\frac{H}{D} = 1,3$
$x = 5$	$i_p = 1,04$
$\frac{A}{Ad} = 0,968$	$D = 0,7 \text{ м}, h = 1600 \text{ см}/\text{мм}$
τ	0,24 0,39 0,54 0,69 0,84 0,99
t	26,8 23,5 19,3 15,6 12,0 9,8
h/D	0,411 0,305 0,588 0,621 0,296 0,479
$\operatorname{tg} \varphi$	1,72 1,06 0,705 0,599 0,493 0,485
γ	59'50" 45'40" 37'25" 30'55" 26'15" 23'58"
$\lambda_{\text{пер}} = \frac{\pi \bar{v}_E}{x^2 - x} \frac{t}{D \operatorname{sin} \varphi}$	1,325 1,199 1,155 1,112 1,10 1,08
$i_p = \frac{8k_1}{\pi \lambda_{\text{пер}}^2}$	0,362 0,330 0,342 0,364 0,379 0,393
γ_1	0,87 0,86 0,86 0,86 0,86 0,86
$\frac{H}{D} = \frac{2 \rho_{\text{пер}}}{\gamma_1}$	1,300 1,340 1,665 1,280 1,270
$T = \frac{2}{\pi} \bar{v}_E \left(\frac{1}{\gamma_1} - 1 \right) \frac{T^2}{T^2 + i_p^2}$	0,00036 0,0124 0,016 0,0173 0,0159 0,013
$\operatorname{tg} \beta_1 = \frac{i_p}{\tau}$	2,03 1,135 0,790 0,601 0,485 0,433

Продолжение

$\lg \beta = \frac{b_p}{c}$	1,769	0,977	0,680	0,518	0,458	0,370
b_m	0,390	0,385	0,430	0,440	0,476	0,505
$c_p = 2\pi \bar{P} \frac{\sin \beta D}{\cos (\beta_0 - \beta) b}$	0,0965	0,103	0,097	0,081	0,062	0,0399
$\beta_0 =$ $\left(\frac{1}{\beta_0} - 1 \right) \cos \beta_0 \sin \beta = \frac{b_m}{4}$	0,008	0,0093	0,00799	0,00687	0,00575	0,004
$\beta = \frac{c}{b}$	0,0394	0,0655	0,0476	0,0357	0,0288	0,0293
$\beta_0' = \beta_0 + \beta_0$	0,0136	0,0123	0,0067	0,0067	0,0033	0,0126
$\beta_0' = 0,54 - \beta_0'$	0,0394	0,0119	0,007	0,0011	0,0061	—

§ 8. СОПРОТИВЛЕНИЕ ВОДЫ ДВИЖЕНИЮ СУДОВ НА ПОДВОДНЫХ КРЫЛЯХ

Рассмотрим основные режимы движения судна на малогруженных подводных крыльях (рис. 65).

На малых скоростях движения такое судно практически не отличается от аэродинамического. Подъемная сила и сопротивление подводных крыльев в этом режиме движения незначительны. В дальнейшем с увеличением скорости движения подъемная сила подводных крыльев начинает существенно увеличиваться. Наступает второй, характерный для такого судна режим — режим выхода на крылья.

Выход судна на крылья происходит следующим образом. При уменьшении скорости на подводных крыльях возникают подъемные силы, причем коэффициенты подъемных сил носового и кормового подводных крыльев выбираются так, чтобы сначала «вытолкнуть» носовое крыло. За счет этого судно получает значительный дифферент на корму. Увеличение дифферента способствует также клиновидные обводы корпуса. При дифференте судна на корму углы атаки крыльев увеличиваются, подъемная сила подводных крыльев значительно возрастает и корпус поднимается над водой.

По мере дальнейшего увеличения скорости прирост подъемной силы носового крыла прекращается из-за того, что крыло приближается к поверхности воды и уменьшается угол атаки из-за подъема кормового крыла. На этом заканчивается режим выхода судна на крылья и наступает третий, основной, режим — движение на подводных крыльях.

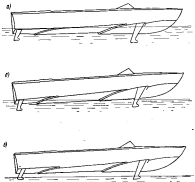


Рис. 65. Основные режимы движения судна на малогруженных подводных крыльях: а — движение по земле; б — выход на крылья; в — ход на крыльях.

Важнейшей задачей при проектировании судна на подводных крыльях является получение оптимальных гидродинамических характеристик всего гидродинамического комплекса судна во взаимодействии корпуса, подводных крыльев и выступающих частей. Эта сложная задача может быть решена только на основе тщательного проведенного эксперимента.

При выборе оптимальной формы и обводов корпуса судна на подводных крыльях необходимо заботиться о оптимальном взаимодействии корпуса с подводными крыльями и выступающими частями, а также необходимой дифферентовке судна при

различной скорости с целью обеспечения наиболее благоприятных условий для выхода на крылья. Выбирая параметры подводных крыльев, также следует стремиться к оптимальному взаимодействию крыльев с корпусом, выступающими частями и движителем. Это необходимо для обеспечения минимального сопротивления, саморегулирования подъемной силы крыльев по скорости, продольной и поперечной остойчивости, устойчивости движения в архитектурной плоскости и из курса, достаточной мореходности. Геометрические характеристики выступающих частей (стойки, кронштейны, киль) выбирают таким образом, чтобы сопротивление судна было минимальным и чтобы эти части оптимально взаимодействовали с крыльями. Необходимо исключить возможность оголения плоскости крыла вследствие попадания воздуха через пересекающий поверхность воды гребной вала.

При выборе параметров гидродинамического комплекса судна на подводных крыльях главной целью является получение минимального сопротивления (или максимального гидродинамического качества). В первом приближении расчет сопротивления судна на маловосзужденных крыльях можно произвести аналитически с использованием экспериментальных материалов.

Расчет сопротивления судна на подводных крыльях

Полное сопротивление движению судна из подводных крыльев выражается в виде

$$R = R_{\text{кор}} + R_{\text{кр}} + R_{\text{в.ч.}} + R_{\text{ст}} + R_{\text{возд}},$$

где $R_{\text{кор}}$ — сопротивление корпуса;

$R_{\text{кр}}$ — сопротивление подводных крыльев;

$R_{\text{в.ч.}}$ — сопротивление выступающих частей (рули, гребные вальные, кронштейны и т. д.);

$R_{\text{ст}}$ — сопротивление стабилизаторов (закрылок, стабилизирующие крылья малого удлинения и т. д.);

$R_{\text{возд}}$ — воздушное сопротивление.

Рассмотрим сопротивление на основных режимах движения. Режим движения на плосу. Этому режиму соответствуют числа Фруда по водонизмещению

$$Fr_p = \frac{v}{\sqrt{\frac{g}{s} \sqrt{\frac{D}{T}}}} \approx 0 \sim 1,$$

Вследствие относительной малости скоростей движущихся выступающих на подводных крыльях подъемные силы незначительны. Величиной их с достаточностью для практических расчетов точностью можно пренебречь. Поэтому на данном режиме дви-

жения подводные крылья рассматриваются как выступающие части и полное сопротивление движению

$$R = R_{\text{кор}} + R_{\text{в.ч.}}$$

Здесь в величину $R_{\text{в.ч.}}$ включено также и $R_{\text{ст}}$. В свою очередь, состоящие полного сопротивления $R_{\text{кор}}$ и $R_{\text{в.ч.}}$ можно выразить формулами:

$$R_{\text{кор}} = \zeta_{\text{кор}} \frac{\rho^2}{2} S_{\text{кор}},$$

$$R_{\text{в.ч.}} = \zeta_{\text{в.ч.}} \frac{\rho^2}{2} S_{\text{в.ч.}},$$

где $\zeta_{\text{кор}}$, $\zeta_{\text{в.ч.}}$ — коэффициенты полного сопротивления соответственно корпуса и выступающих частей, определяемые известными методами [7].

$S_{\text{кор}}$, $S_{\text{в.ч.}}$ — смоченные поверхности соответственно корпуса и выступающих частей.

Режим выхода судна на крылья. Этому режиму движения соответствуют числа $Fr_p=1 \sim 2,3$.

Данный режим движения характеризуется значительным ростом гидродинамических сил, возникающих за корпусом и подводных крыльев. Корпус в этом режиме движения глиссирует. Полное сопротивление движения можно представить в виде

$$R = R_{\text{кор}} + R_{\text{в.ч.}} + R_{\text{в.ч.}} \cdot R_{\text{тр}}.$$

Рассмотрим составляющие полного сопротивления.

Сопротивление корпуса в соответствии с известными зависимостями теории глиссирования выражается [7]

$$R_{\text{кор}} = \Delta \cdot \lg \alpha_p + R_{\text{тр}},$$

где $\Delta = D - (Y_h + Y_v)$ — нагрузка на редан;

$\Delta \cdot \lg \alpha_p$ — сопротивление давления (α_p — угол атаки редана);

$R_{\text{тр}}$ — сопротивление трения.

$$R_{\text{тр}} = (\zeta_{\text{тр.ч.}} + \zeta_{\text{тр.в.ч.}}) \frac{\rho^2}{2} S_{\text{тр.ч.}} \text{ Здесь } \zeta_{\text{тр.ч.}}$$

— коэффициент сопротивления трения эквивалентной гладкой пластины; $\zeta_{\text{тр.в.ч.}}$ — надбавка к коэффициенту $\zeta_{\text{тр.ч.}}$, учитывающая шероховатость корпуса.

Для турбулентного режима обтекания по формуле Прандтля — Шаэстнинга

$$\zeta_{\text{тр.ч.}} = \frac{0,425}{(\log Re)^{0,25}}.$$

Надбавку на шероховатость $\zeta_{\text{тр.в.ч.}}$ в соответствии с работой [7] можно принять равной $(0,3 : 0,5) \cdot 10^{-3}$ для сырой обшивки и $(0,65 : 1,0) \cdot 10^{-3}$ для клепаной обшивки или сырой со зажимательными волнами на поверхности.

Сопротивление подводных крыльев можно рассчитать по формуле

$$R_{xy} = c_{x_0} \frac{\rho^2}{2} S_{xy} + c_{x_k} \frac{\rho^2}{2} S_{xk},$$

где c_{x_0} , c_{x_k} — коэффициенты сопротивления соответственно носового и кормового крыльев.

Сопротивление выступающих частей определяют по формуле

$$R_{x_{\text{вн}}} = c_{x_{\text{вн}}} \frac{\rho^2}{2} S_{x_{\text{вн}}},$$

где $c_{x_{\text{вн}}}$ — коэффициент сопротивления выступающих частей.

В первом приближении коэффициенты сопротивления крыльев и выступающих частей можно принять следующими:

Подводное крыло	$0,009 \pm 0,010$
Стойка крыла	$0,09 \pm 0,31$
Руль	$0,10 \pm 0,30$
Кронштейн гребного вала	$0,016 \pm 0,008$
Гребной вал	$0,03 \pm 0,05$

Сопротивление стабилизатора типа гляссирующей пластины

$$R_{ca.m} = Y_{ca} T_{ca} x_m + c_{ca} \frac{\rho^2}{2} S_{ca},$$

где Y_{ca} — подъемная сила стабилизатора;

x_m — угол атаки стабилизатора;

S_{ca} — склонная площадь стабилизатора.

Принятые значения коэффициентов сопротивления дают возможность при знании погруженных площадей определить сопротивление крыльев и выступающих частей для различных скоростей движения судна.

Режим движения на подводных крыльях. Этому режиму движения соответствуют числа $F_D > 2 \sim 3$. При таких значениях относительной скорости движения погруженных подводных крыльев, часть стоек, кронштейнов, рулей, корпус судна находится над водой. Полное сопротивление движению в данном случае выражается в виде

$$R = R_{xy} + R_{x_{\text{вн}}} + R_{ca.m}.$$

Воздушное сопротивление можно определить по формуле

$$R_{air} = c_{x_0} \frac{\rho_0^2 \nu + 2^2}{2} S_{B^*},$$

где c_{x_0} — коэффициент воздушного сопротивления судна (для существующих типов судов на подводных крыльях $c_{x_0} = 0,4 \pm 0,6$);

ρ_0 — массовая плотность воздуха, $\rho_0 = 0,125 \text{ кг} \cdot \text{см}^{-3}/\text{м}^3$;

S_{B^*} — площадь продольного сечения судна.

Необходимое условие для расчета сопротивления судна — определение посадки (осадки носом и кормой) судна при различных значениях скорости. Существует несколько методов определения посадки судна. Ниже приведен один из них. С помощью этого метода можно приближенно определить посадку судна на подводных крыльях в зависимости от скорости движения.

На рис. 46 приведена схема сил, действующих на судно на подводных крыльях. Если судно движется в вер-

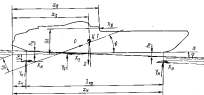


Рис. 46. Схема сил, действующих на судно на подводных крыльях при движении.

тикальной плоскости, то уравнения его движения записываются в следующем виде:

$$m \frac{dv_x}{dt} = P \cos(\varphi + \psi) - \sum R_i,$$

$$m \frac{dv_y}{dt} = P \sin(\varphi + \psi) - \sum V_i - D,$$

$$I_p \frac{d\varphi}{dt} = -P z_p - M_v - M_p,$$

где m — масса судна с учётом присоединенной массы воды; v_x , v_y — проекции скорости ЦГ судна на соответствующие оси координат;

I_p — момент инерции судна, включая присоединенный момент относительно поперечной оси, проходящей через ЦГ;

M_v — момент подъемных сил относительно поперечной оси;

M_p — момент сил сопротивления относительно поперечной оси;

z_p — плавко силы упора относительно поперечной оси.

С принадлежащей для практических расчетов точностью (при установившемся движении судна) величинами σ_y ; dv_y/dt ; d^2v_y/dt^2 ; d^3v_y/dt^3 можно пренебречь. Тогда уравнение установившегося движения записывается в виде:

$$\sum Y_i + P \sin(\varphi + \psi) = D,$$

$$P \cos(\varphi + \psi) - \sum R_i = 0,$$

$$Px_g + M_g + M_R = D(x_g - z_g \varphi).$$

Эта система уравнений выражает условие равновесия судна и является исходной для определения посадок. Исключив из уравнений P , получим:

$$\sum Y_i + \lg(\varphi + \psi) \sum R_i = D,$$

$$M_g + M_R - \frac{\sum R_i \sigma_p}{\cos(\varphi + \psi)} = D(x_g - z_g \varphi).$$

При каждом значении скорости можно наметать ряд положений судна, охватывающих весь возможный диапазон посадок, и затем для каждого положения судна определить величину подъемных сил и сопротивлений. Далее приведенные уравнения решаются графически в следующем порядке.

1. При скорости v задаются рядом погружений кормового и носового крыльев $h_{k_1}, h_{k_2}, h_{k_3}, \dots, h_{k_n}, h_{n_1}, h_{n_2}, \dots$. Угол дифферента φ определяется по формуле

$$\varphi = \frac{h_k - h_n - H_k - H_n}{E_{sp}}.$$

2. Для принятых погружений крыльев подъемные силы и сопротивления вычисляются ранее рассмотренными способами.

3. На диаграмме (рис. 67) в координатах φ и h_k, h_n строятся значения правых частей уравнений движения:

$$\sum Y_i + \lg(\varphi + \psi) \sum R_i,$$

$$M_g + M_R - \frac{\sum R_i \sigma_p}{\cos(\varphi + \psi)},$$

где $M_g = \sum Y_i \cdot (x_i - y_i \cdot \varphi)$; $M_R = \sum R_i \cdot (y_i - x_i \varphi)$.

На верхней части диаграммы, служащей графическим изображением первого уравнения, кривые, соответствующие $\dot{h} = \text{const}$, пересечены прямой $D = \text{const}$. Спроектировав их точки пересечения на кривые нижней части диаграммы, получим также линию $D = \text{const}$. Пользуясь такой диаграммой, можно определять положение равновесия при заданном D и \dot{v} . Для этого нужно величину Dx_g отложить по оси ординат и провести

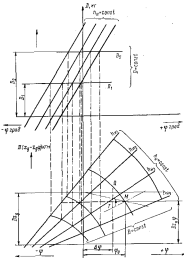


Рис. 67. Диаграмма эколог.

прямую под углом $Dx_{\text{сп}}$. Точка пересечения данной прямой с соответствующей $D = \text{const}$ даст угол дифферента ϕ и глубину погружения h_0 .

Зная посадки судна по скорости, можно определить сночечные площади корабля, выступающих частей и погружения крыльев.

Метод пересчета бунксировочного сопротивления с модели на натурное судно

Наиболее надежный метод определения сопротивления судна — пересчет сопротивления с модели на натуре. Если приближенный метод аналитического расчета используется на первой стадии проектирования, когда необходимо предварительно оценить характеристики судна, то метод пересчета является конечным этапом, по которому производится окончательная оценка сопротивления судна на подводных крыльях, на основании которой выбирается способ установки судна и параметры движителя.

Для получения надежных результатов при пересчете сопротивления на натурные условия нужно обеспечить условия моделирования, достаточную точность замеров при испытании модели и выбрать правильный метод пересчета результатов испытаний с моделью на катеру.

При испытании моделей судов на подводных крыльях осуществляют частичное моделирование, определяя скорость движения модели только из условия равенства числа Фруда у модели и у катера. Влияние несоответствия чисел Рейнольдса во время таких испытаний можно учесть с некоторым приближением, если расчетами путем найти сопротивление трения. Итак,

$$Fr_m = Fr_n,$$

$$Fr_m = \frac{U_m}{\sqrt{\frac{g}{s} \sqrt{\frac{D_m}{T_m}}}},$$

$$Fr_n = \frac{U_n}{\sqrt{\frac{g}{s} \sqrt{\frac{D_n}{T_n}}}},$$

Полагая $T_m = T_n$, запишем формулы для пересчета скорости и сопротивления в виде

$$U_n = U_m \sqrt{\frac{T_n}{T_m}},$$

$$R_n = R_m m^2,$$

где $m = \sqrt{\frac{D_n}{D_m}}$ — масштаб.

Предполагается, что геометрическое подобие поддерживается.

$$L_n = \frac{L_m}{m}, \quad S_n = \frac{S_m}{m^2}.$$

Испытания моделей судов на подводных крыльях проводятся обычно в опытном бассейне либо на открытом водолее. При испытаниях моделей в опытных бассейнах рабочий участок, на котором производятся измерения, ограничен, время наблюдения за погружением модели небольшое, скорость движения модели низкая. На открытом водолее с помощью буксирозажки модели специальным скоростным катером можно значительно увеличить

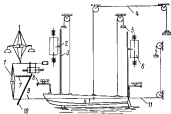


Рис. 68. Схема буксирозажки модели в бассейне.

г — датчик сопротивления; 2 — корма; 3 — спуск; 4 — разрывной трос; 5 — мачта; 6 — трос для транспортировки; 7 — корма транспортного судна; 8 — спуск транспортного судна; 9 — кран; 10 — опорная палуба.

масштаб модели, скорость и время наблюдения за моделью в процессе испытаний.

Во избежание масштабного эффекта, который может скрываться при пересчете бунксировочного сопротивления и посадок судна, масштаб модели выбирается из условия получения числа Рейнольдса для крыльев ($Re_p = \frac{U_p D}{v}$) не менее 5-10%. Опытные бассейны часто не в состоянии удовлетворять данному условию.

Испытание моделей в бассейне производится следующим образом. Модель, установленную под корму перед бунксировочной тележкой (рис. 68), буксируют за размы, расположенный в районе ЦТ. Буксировка осуществляется с помощью тягового троса. Трос

связывает модель с динамометром сопротивлений и отрицательной тягой.

Погружения подводных крыльев фиксируются трансмиттерами, стержни которых установлены над крыльями. Запись производится с помощью пера и барографа. Углы дифферента φ определяются по разности погружений носового h_n и кормового h_k подводных крыльев, расстоянию между крыльями и основной линией корпуса $y_n - y_k$ и расположению между стержнями трансмиттеров.

Крылья устанавливаются к основной линии корпуса под углом α . Геометрический угол атаки крыльев

$$\beta = \alpha + \pi_{\text{ст}}$$

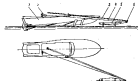


Рис. 69. Схема испытаний модели на открытом водосме.

Г — ватер-бронзовая пластина; 2 — динамометр; 3 — буксироподъемный трос; 4 — рулевая система; 5 — киль; 6 — направляющий блок.

Положение ЦТ модели в процессе испытаний изменяется посредством специальных моментных грузов. Вес модели уменьшается разгрузочными трюсами с помощью гири. Модель может свободно перемещаться по дифференту, крену и в вертикальном направлении. Рискание модели препятствует носовому и кормовому заправляющим каталиям.

На рис. 69 приведена схема испытаний модели на открытом водосме. В качестве буксировщика применяется обычно судно на подводных крыльях или специальный скоростной буксировщик. Модель при буксировке располагается, как правило, сбоку или позади буксировщика (рис. 70).

Сопротивление модели определяется динамометром, укрепленным на буксировщике, усилия к динамометру передаются буксировочным тросом, проходящим через направляющие блоки. Одни из направляющих блоков закреплены на буксироподъемной штанге, другой — на вертикальной трубе, жестко связанной со штангой. При буксировке линии действия силы тяги протекают

через ЦТ модели. Угол дифферента модели устанавливается с помощью дифферентомера. Погружение крыльев измеряется по отметкам на стойках крыла.

Пересчет сопротивления с модели на натурное судно для различных режимов движения производится следующим образом.



Рис. 70. Буксировка модели на открытом водосме: а — момент водосме; б — модель.

Режим плавания. Формула пересчета для данного режима движения может быть представлена в виде

$$R_a = (R_a - R_{n_0}) m^2 + R_{n_0}$$

Здесь $(R_a - R_{n_0})$ — остаточное сопротивление модели; R_{n_0} — сопротивление трения натурного судна.

В свою очередь, остаточное сопротивление

$$R_{\text{rest}} = C_{\text{rest}} \frac{\rho^2}{2} \sum S_i$$

где $\sum S_i$ — суммарная смоченная площадь корпуса, крыльев и выступающих частей.

Расчет остаточного сопротивления, таким образом, производится исходя из равенства коэффициентов остаточного сопротивления модели и натурного судна

$$\tau_{\text{om}} = \tau_{\text{on}}$$

Полное сопротивление модели R_{m} определяется по результатам буксировки модели с крыльями и выступающими частями в бассейне или на открытом вододме.

Сопротивление трения модели R_{trm} в затяг натурного судна R_{trn} рассчитывается как сопротивление трения эквивалентной плавающей частицы. Формулы для расчета сопротивления трения модели и натурного судна имеют вид:

$$R_{\text{trm}} = R_{\text{trкор. m}} + R_{\text{trкры. m}} + R_{\text{trвсп. m}}$$

$$R_{\text{trn}} = R_{\text{trкор. n}} + R_{\text{trкры. n}} + R_{\text{trвсп. n}}$$

где $R_{\text{trкор.}}$ — сопротивление трения корпуса;

$R_{\text{trкры.}}$ — сопротивление трения крыльев;

$R_{\text{trвсп.}}$ — сопротивление трения выступающих частей (стойки, рули, гребные винты и т. д.).

Составляющие сопротивления трения модели R_{trm} в натурном судне R_{trn} находятся по формулам:

$$R_{\text{trn}} = \tau_{\text{trn}} \cdot \frac{\rho v^2}{2} S_{\text{tr}}$$

$$R_{\text{trm}} = (\tau_{\text{trm}} + \tau_{\text{trv}}) \frac{\rho v^2}{2} S_{\text{tr}}$$

где τ_{trn} — коэффициент сопротивления трения эквивалентной гладкой плавающей;

S_{tr} — соответствующая смоченная площадь.

Коэффициент сопротивления трения определяется в функции от числа Рейнольдса

$$Re_j = \frac{v_0}{v}$$

Здесь v_0 — длина судна, хорда крыла и т. п. в зависимости от того, сопротивление какого элемента рассчитывается.

Режим выхода на крылья. Результаты экспериментов показывают, что некоторое уменьшение сопротивления трения в дальнем режиме движения подводных крыльев и выступающих частей компенсируется дополнительным сопротивлением, возникающим при пересечении стойками крыльев и другими

выступающими частями поверхности воды, причем у затянутого судна такое сопротивление более ощущимо вследствие более интенсивного брызгообразования.

Применительно к этому режиму движения формула пересчета несколько видоизменяется

$$R_n = (R_m - R_{\text{trкор. m}}) m^2 + R_{\text{trкры. m}}$$

Остаточное сопротивление

$$R_{\text{rest}} = R_n - R_{\text{trкры. m}}$$

Режим движения на подводных крыльях. Формула пересчета для этого режима движения записывается в виде

$$R_n = (R_m - R_{\text{trкор. m}}) m^2 + R_{\text{trкры. m}}$$

Остаточное сопротивление имеет вид

$$R_{\text{rest}} = R_n - R_{\text{trкры. m}}$$

Порядок определения сопротивления натурного судна при наличии модели обычно такой:

- 1) задается ряд значений скорости натурного судна;
- 2) скорости пересчитываются с натурного судна на модель;
- 3) проводятся эксперименты модели с выполнением всех необходимых замеров;

4) рассчитываются числа Рейнольдса корпуса, крыльев и выступающих частей модели и натурного судна;

5) определяются соответствующие коэффициенты трения сопротивления для модели и натурного судна

$$\tau_{\text{tr}} = f(\text{Re}_j)$$

Далее для каждого режима движения по соответствующей формуле подсчитываются остаточные сопротивления и сопротивления трения и затем определяется полное сопротивление натурного судна.

Метод определения сопротивления натурного судна по результатам испытаний модели с переменной скоростью

Этот метод еще не получил широкого распространения, но представляется весьма перспективным для судов на подводных крыльях.

Обычно сопротивление модели определяют на установленных режимах с постоянной скоростью буксировки. Однако на режиме выхода на подводные крылья получить установленный режим сложно, а постоянную скорость, соответствующую

максимальному значению сопротивления (горб сопротивления), при сохранении посадки модели практически невозможно. Для этих режимов движения наиболее приемлем метод буксировки моделей с переменной скоростью. Данный метод применяется также для изучения процесса разгона и торможения судна.

Рассмотрим режим движения судна с переменной скоростью [7].

Уравнение неуставновившегося движения судна при неработающем движителе имеет вид

$$(m + \lambda_{\text{ш}}) \frac{dv}{dt} = -R_n,$$

где m — масса судна;

$\lambda_{\text{ш}}$ — присоединенная масса воды с учетом влияния свободной поверхности;

R_n — сопротивление судна при неуставновившемся движении.

Теоретические исследования показывают, что величина $\lambda_{\text{ш}}$ зависит от ускорения судна и вязкости жидкости. Ее можно определить экспериментально путем обработки, например записи изменения скорости модели при буксировке с постоянным ускорением (метод гравитационных испытаний).

В этом случае величина присоединенной массы $\lambda_{\text{ш}}$ определяется в виде

$$\lambda_{\text{ш}} = \frac{P}{\frac{dv}{dt}} = m,$$

Сопротивление R_n можно представить как

$$R_n = R + \Delta R_s,$$

где R — сопротивление судна при установившемся движении;

ΔR_s — дополнительное сопротивление, связанное с наличием укоренения.

Если величину ΔR_s объединить с инерционной силой, которая выражена через присоединенную массу, то уравнение движения примет вид

$$m(1 + \kappa) \frac{dv}{dt} = -R,$$

где

$$\kappa = \frac{\lambda_{\text{ш}} - \lambda R}{m} = \frac{dv}{dt}.$$

Коэффициент κ зависит от типа и формы судна и определяется инерционными испытаниями моделей в бассейне с записью скорости модели во времени. Задан коэффициент κ и ускорение dv/dt , по испытаниям модели с массой m можно установить сопротивление в любой точке модели по скорости и произвести соответствующий пересчет на натурное судно. Этот метод позволяет при уже найденном коэффициенте κ определить сопротивление модели $R_n = f(v_n)$ за одну пробежку в бассейне.

§ 5. ВОПРОСЫ ОСТОЙЧИВОСТИ СУДОВ НА МАЛОПОГРУЖЕННЫХ ПОДВОДНЫХ КРЫЛЯХ

Остойчивость судов на подводных крыльях в основном режиме обеспечивается за счет дополнительных гидродинамических сил, возникающих на крыльях при возмущениях по крену в дифферент. Рассмотрим поперечную остойчивость судна в режиме движения его на подводных крыльях.

При накренении на малый угол Θ (рис. 71) на судно действуют следующие силы:

F_n, Y_k — волнемная сила соответственно носового и кормового крыла;

$Y_{\text{д}, k}^n, Y_{\text{д}, k}^k$ — сила дрейфа соответственно носового и кормового крыла;

$R_{x, n}^k, R_{x, k}^k, R_p^n, R_p^k$ — сила сопротивления дрейфу соответственно носового и кормового крыла, стоеч крыльев, руля, кронштейнов.

Указанныя система сил, действующих на судно, должна приподняться к паре, момент которой, называемый восстановлением, характеризует остойчивость судна при заданных углах крена Θ и скорости v .

Горизонтальные составляющие подъемных сил крыльев, направленные в сторону накрененного борта, вызывают дрейф судна. В начальный момент накренения, когда дрейф отсутствует, сумму моментов всех сил относительно продольной оси,



Рис. 71. Схема сил, действующих на судно при накренении.

проходящей через ЦТ судна при накренинии на угол θ , можно записать в виде

$$M(\theta) = M(Y_u) + M(Y_d),$$

где $M(Y_u)$ — момент силы Y_u ;

$M(Y_d)$ — момент силы Y_d .

При установленном дрейфе судна силы, вызывающие дрейф, $Y_{x,z}^u$, $Y_{x,z}^d$ вызывают силу сопротивления дрейфу судна $R_{x,z}$, которая равна $R_{x,z}^u = Y_{x,z}^u$ и направлена в сторону, противоположную дрейфу.

Выражение для определения восстанавливющего момента судна в этом случае имеет вид

$$M(\theta) = M(Y_u) + M(Y_d) - M(R_d).$$

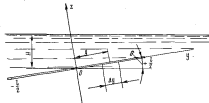


Рис. 72. Восстанавливющий момент накрененного малопогруженного крыла.

Начальная поперечная метанентрическая высота может быть определена из условия равенства восстанавливющего момента произведению $D \cdot b \cdot \sin \theta$

$$k = \frac{M(Y_u) + M(Y_d) - M(R_d)}{D \cdot b \cdot \sin \theta}.$$

Рассмотрим составляющие восстанавливющего момента.

Восстанавливющий момент крыла. В зависимости от погружения коэффициент подъемной силы малопогруженного подводного крыла

$$c_p = c_{p_0} [1 - 0,5e^{-2,5\delta}]$$

При накренинении на угол θ (рис. 72) одна половина крыла приближается к поверхности воды, а вторая удаляется. В ре-

зультате разности погружений крыла по размаху образуется разность в подъемных силах для разных сечений крыла, что является причиной возникновения восстанавливющего момента накрененного крыла.

Подъемная сила малопогруженного крыла

$$Y = c_{p_0} \frac{\rho g^2}{2} S = c_{p_0} \left[1 - 0,5e^{-2,5\delta} \right] \frac{\rho g^2}{2} S.$$

Соответственно приращение подъемной силы накрененного крыла по размаху

$$\Delta Y = c_{p_0} \frac{\rho g^2}{2} b \left(1 - 0,5e^{-2,5\delta} \right) \Delta y.$$

Момент этой силы относительно точки О (рис. 72)

$$\Delta M_u = \Delta Y y = c_{p_0} \frac{\rho g^2}{2} b \left(1 - 0,5e^{-2,5\delta} \right) y \Delta y.$$

Интегрируем по размаху крыла

$$M_u = c_{p_0} \frac{\rho g^2}{2} b^2 \frac{e^{-2,5\delta}}{50} \left\{ e^{-2,5\delta} \frac{1}{25} \left(\frac{1}{25} - \frac{1}{2,5e^{\delta}} \right) + \right. \\ \left. + e^{-2,5\delta} \frac{1}{25} \left(\frac{1}{25} - \frac{1}{2,5e^{\delta}} \right) \right\}.$$

При знании экспериментальных значений коэффициента подъемной силы c_p в зависимости от загружения крыла выражение для определения M_u можно представить в более простой виде

$$M_u = c_p \frac{\rho g^2}{2} S l,$$

Крайний момент сил сопротивления дрейфу судна. Из рис. 71 следует, что

$$Y_{x,z}^u = Y_x \sin \Theta,$$

$$Y_{x,z}^d = Y_x \sin \Theta,$$

то

$$R_d = Y_{x,z}^u + Y_{x,z}^d,$$

поэтому

$$R_d = Y_x \sin \Theta + Y_x \sin \Theta = (Y_x + Y_d) \sin \Theta.$$

С другой стороны,

$$R_d = R_{x,z}^u + R_{x,z}^d + R_t + R_p + R_{sp}.$$

Рассмотрим составляющие этого выражения: силу сопротивления дрейфу крыла и силу сопротивления дрейфу выступающих частей.

Сила сопротивления дрейфу крыла

$$R_{x,k} = R_k \sin \phi$$

или

$$R_{x,k} = c_x \frac{\rho^2}{2} S \sin \phi \approx c_x \frac{\rho^2}{2} S \dot{\phi} (\dot{\phi} \text{ мало}).$$

Здесь R_k — лобовое сопротивление крыла;

$\dot{\phi}$ — угол дрейфа крыла.

С гидродинамической точки зрения выступающие части судна на подводных крыльях (стойки, руль, кронштейны) представляют собой крылья, ориентированные относительно судна в вертикальной плоскости. Следовательно, общее выражение для сил сопротивления в данном случае может быть записано в виде

$$R_{x,a} = \sum_{i=1}^n c_{x_i} \frac{\rho^2}{2} S_i,$$

где $R_{x,a}$ — суммарное сопротивление выступающих частей; n — число выступающих частей.

Учитывая, что угол откачки выступающих частей равен углу дрейфа $\dot{\phi}$, выражение для $R_{x,a}$ ориентировано можно представить как

$$R_{x,a} = \dot{\phi} \frac{\rho^2}{2} \sum_{i=1}^n \left(\frac{\partial c_x}{\partial \dot{\phi}} \right)_i S_i.$$

Тогда суммарная сила сопротивления дрейфу судна будет

$$R_x = R_{x,k} + R_{x,a} + R_s^a + R_p^a + R_{sp}^a - \left(c_{x_a} S_a + c_{x_k} S_k \right) \frac{\rho^2}{2} \dot{\phi} + 1.$$

$$+ \dot{\phi} \frac{\rho^2}{2} \sum_{i=1}^n \left(\frac{\partial c_x}{\partial \dot{\phi}} \right)_i S_i$$

или

$$R_x = \dot{\phi} \left[c_{x_a} S_a + c_{x_k} S_k + \sum_{i=1}^n \left(\frac{\partial c_x}{\partial \dot{\phi}} \right)_i S_i \right] \frac{\rho^2}{2}.$$

Принимая во внимание, что $R_x = (V_x + V_k) \sin \Theta$, определим угол дрейфа

$$\dot{\phi} = \frac{2(V_x + V_k) \sin \Theta}{\left[c_{x_a} S_a + c_{x_k} S_k + \sum_{i=1}^n \left(\frac{\partial c_x}{\partial \dot{\phi}} \right)_i S_i \right] \frac{\rho^2}{2}}$$

и суммарный кренящий момент сил сопротивления дрейфу судна

$$M_x = \dot{\phi} \left[c_{x_a} S_a I_x + c_{x_k} S_k I_k + \sum_{i=1}^n \left(\frac{\partial c_x}{\partial \dot{\phi}} \right)_i S_i I_i \right] \frac{\rho^2}{2}.$$

Теперь можно рассчитать восстанавливающий момент судна к начальной поперечной метacentрической высоте

$$M(\Theta) = M_x + M_s - M_m,$$

$$h = \frac{M(\Theta)}{B \sin \Theta},$$

Построив графическую зависимость $h=f(\Theta)$ для различных углов Θ , получим представление о поперечной остойчивости судна на подводных крыльях при малых накренениях (рис. 73).

Анализ выражений для оценки начальной поперечной остойчивости судна на подводных крыльях позволяет сделать некоторые выводы:

поперечная остойчивость судна на малопогруженных подводных крыльях обеспечивается гидродинамическим восстанавливающим моментом подводных крыльев;

при уменьшении погружения крыльев улучшается остойчивость судна;

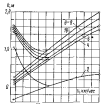
излишнее заглубление выступающих частей приводит к уменьшению поперечной остойчивости судна.

На рис. 73 показаны кривые $h=f(\Theta)$, рассчитанные для разных углов крена теплохода «Ржета» по приведенным формулам. Эти расчетные данные согласуются с результатами эксперимента, проведенного на затурмованном судне.

Как следует из анализа кривых, наиболее неблагоприятный режим в отношении поперечной остойчивости — режим выхода судна на подводные крылья, когда корпус уже не участвует в обеспечении остойчивости, а крылья еще слабо реагируют на изменение погружения, поскольку глубина погружения крыльев составляет половину длины. В этом режиме длина поперечной остойчивости достигается обычно с помощью различных дополнительных устройств: высоко расположенных подводных крыльев, глиссирующих плавней и т. д.

На теплоходе «Ракета» применены гангоширующие панки-закрылки, которые установлены под углом 4° к основной линии корпуса и расположены над носовым крылом на расстоянии, равном хорде крыла. Когда корпус выходит из воды, а крыло погружено еще глубоко и не реагирует на изменение погружения, закрылки работают как гангоширующие пластины.

На катере «Болгар» устройство, обеспечивающее остойчивость при выходе судна на крылья, служит дополнительное высоко расположение носового крыла. Это крыло устанавливается впереди основного крыла на расстоянии, равном двум хордам, и выше его на величину хорды несущего крыла. В случае такого расположения в момент выхода катера на крылья дополнительное высоко расположение крыло оказывается малогруженным и обеспечивает остойчивость на лавовом режиме. При эксплуатационной скорости дополнительное крыло, как и закрылки у теплохода «Ракета», находится в воздухе. Дополнительное крыло улучшает, кроме того, мореходные качества катера — помогает ему на волне и способствует уменьшению амплитуды килевой качки.



дополнительных устройств для обеспечения остойчивости при выходе судна за крылья.

Предолимпийская остойчивость достигается также гидродинамическими силами, возникающими на крыльях благодаря эффекту шинения свободной поверхности при перемещении крыльев. В случае возмущения по дифференту якорные и кормовые подводные крылья меняют глубину погружения и возникающие восстанавливающие моменты приводят судно к первоначальному положению.

Характерной особенностью маловодгруженых подводных крыльев является то, что в большинстве случаев достаточная остойчивость судна достигается при размахе крыльев, сопоставимом с габаритной шириной судна.

Важным фактором в обеспечении остойчивости судна оказывается также оптимальное взаимодействие крыльев с выступающими частями, благодаря которому исключаются профиль к крылу атмосферного воздуха, местные срывы и т. д.

5.6. АРХИТЕКТУРНО-КОНСТРУКТИВНЫЕ ОСОБЕННОСТИ СУДОВ НА ПОДВОДНЫХ КРЫЛЯХ

Внедрение нового принципа движения на воде заставительно потребовало пересмотреть внешнюю и внутреннюю архитектуру и планировку судов, разработать и выбрать новые конструкции и материалы.

Резкий рост скорости движения, подъем всего корпуса судна над водной поверхностью привел к тому, что с целью снижения аэродинамического сопротивления и улучшения экстерьера корпусу, надстройке, рубке и выступающим частям судна приданы обтекаемые стройственные формы.

Судно на подводных крыльях можно назвать скоростным водным автобусом, назначение которого — быстрая доставка пассажиров на короткие и средние расстояния (до 500–600 км) с использованием самых длинных дорог — рек, водозаправщиков и морей. По общему расположению судна на подводных крыльях также напоминают самолет или автобус.

Учитывая кратковременность пребывания пассажира на борту пассажирские помещения судов на подводных крыльях выполняются в виде салонов, оборудованных индивидуальными креслами авиационного типа с откидывающимися спинками для облегчения мигающих кресел или диванами. Салон располагают с учетом обеспечения максимальных удобств пассажиров, хорошего обзора и достаточного удаления от основного источника шума — машинного отделения.

Рулевая рубка — центральный пост управления — находится, как правило, в носовой части судна, что обуславливает нормаль-

ное управление судном даже в условиях извилистых и загоренных рек.

Машинное отделение следует по возможности удалять и изолировать от пассажирских помещений. Наиболее рационально располагать машинное отделение в кормовых отсеках судна. Это связано, однако, с необходимостью приложения угловых редукторов или вертикальных передач мощности от двигателя к гребному винту.

На некоторых судах («Чайка», «Беларусь» и «Буревестник») кормовое расположение машинного отделения достигнуто в результате применения водометных двигателей. Таким путем удалось значительно улучшить условия обитаемости этих судов по сравнению с судами, у которых машинное отделение находится в средних отсеках.

Вспомогательные служебные и бытовые помещения (кладовые, санузлы, дежурные каюты, буфеты и др.) необходимо размещать между машинным отделением и пассажирскими салонами, создавая тем самым дополнительную звукоизоляцию от источников шума. При расположении машинного отделения в средних отсеках теплохода над ними можно предусматривать только вспомогательные помещения или трюговые палубы.

Основные места посадки и высадки на теплоходе необходимо проектировать с учетом максимального приближения их к посту управления, т. е. рулевой рубке, с целью минимизации потери времени на проведение операций по швартовке судна, высадке и посадке пассажиров и выходу судна от причала.

На крылатых теплоходах целесообразно предусматривать для пассажиров открытие пассажирской или прогулочной палубы. При планировке помещений должны также учитываться определенные требования к положению ЦТ судна по длине. Наиболее целесообразное расположение ЦТ по длине — 2–4% длины в хорду от миделя. Разница в положении ЦТ при полном водоизмещении и порожнем не должна превышать 4% длины.

Оборудование и архитектурное решение помещений теплохода на подводных крыльях подчинено одной задаче — обеспечению хороших условий обитаемости при изменяющихся затратах.

Для отделки внутренних помещений применяются синтетические материалы, такие как пакеты (на стеклопластике), гладкий пластик, полихлорвиниловый линолеум, отличительной особенностью которых является относительно малый удельный вес, долговечность, способность к воздействию внешней среды и простота ухода в период эксплуатации. Эти материалы, выпускаемые в большом разнообразии как по цвету, так и по рисунку, позволяют составить любое сочетание красок и рисунков при отделке помещений. Цвета подбираются с учетом объектов, обивки и покрытия помещений, а также температурного режима района плавания теплохода. Как правило, подволоки, борта, переборки

салонной затянуты до обрешетику завивкой; занавеси по бортам и переборкам изготовлены из сложного пластика; палуба закрыта полизолированной либо поливинилом либо синтетическим ковром на резиновой основе. Обивка кресел выполняется обычно из лавсана. Для тепло- и звукоизоляции помещений применяется или вспененная пена или ультратонкое стекловолокно АТМ-1; последнее обладает лучшими тепло- и звукоизоляционными свойствами и меньшим удельным весом.

Введение новых материалов и учет специфических условий эксплуатации судов на подводных крыльях обусловили создание новых методов расчета прочности. В результате большой научно-исследовательской работы и обобщения опыта смежных областей техники были получены приближенные методы оценки прочности судов на подводных крыльях, позволяющие разработать конструкцию корпуса современных судов на подводных крыльях.

Характерная особенность судов на подводных крыльях — значительное увеличение динамической составляющей изгибающего момента, который в несколько раз превышает статическую составляющую. Кроме того, конструкции должны обеспечивать достаточную прочность при ударе о волну. Существующие методы расчета ударных нагрузок, возникающих при посадке гидросамолета и движении глиссера на волнении, не могли быть применены для судов на подводных крыльях. Поэтому в сотрудничестве с учеными Горьковского политехнического института и Института инженеров водного транспорта (под руководством дра техн. наук проф. Н. В. Маттеса) была разработана приближенная методика расчета внешних сил при движении судна на волнах.

Как показали многочисленные исследования, динамический изгибающий момент и давление на днище судна в значительной степени зависят от схемы крыльевого устройства, и в особенности от весового крыльевого устройства. В результате применения новых конструкций крыльевых устройств, разработанных применительно к конкретным условиям эксплуатации каждого судна, введение нагрузки, действующие на корпус, удалось уменьшить на 50—60% (по сравнению с нагрузками глиссирующих судов).

Многие мореходные суда на подводных крыльях имеют тяжелую мощность 28—32 л. с. на 1 м подъема при скорости около 60 км/час. Однако для колесной нагрузки у этих судов не превышает 30—32% (с учетом толщины) от полного веса судна. Для повышения доли полезной нагрузки, а следовательно, и увеличения экономической эффективности судна на подводных крыльях необходимо искать путь дальнейшего снижения веса корпуса, крыльев, механизмов установки, оборудо-

вания и др. В табл. 11 приведены данные по весовой нагрузке встроенных судов на подводных крыльях.

Корпуса и крыльевые устройства судна на подводных крыльях составляют в среднем 45—55% от веса его погружения, и поэтому особое внимание при проектировании следует обращать на возможные большие уменьшения именно этих составляющих нагрузки. Анализ характеристик различных материалов показал, что наиболее приемлемы для судов на подводных крыльях такие материалы, как дюральюминий, используемый для изготовления клепанных корпусов, алюминиевомагниевые сплавы различных марок, применяемые для корпусов в спаренном исполнении, а также верхниеющие стали, используемые для изготовления крыльевых устройств.

Снижение веса корпуса и крыльевого устройства судна на подводных крыльях во многом зависит от рационального выбора элементов конструкции корпуса и крыльевого устройства из основных примененных действующих внешних нагрузок. Для крыльевого устройства дополнительные резервы в снижение веса можно найти также в результате применения других (запас меркавшей стали) материалов. На теплоходах «Чайка», «Беларусь» и «Буревестник» крыльевые устройства выполнены из алюминиевомагниевых сплавов типа АМг-6L. При этом экономия составляет 50—65% от веса крыльевого устройства из нержавеющей стали. Опыт эксплуатации этих судов в 1963—1964 гг. показал достаточную прочность крыльевого устройства из алюминиевомагниевых сплавов не только при горизонтальной эксплуатации, но и в случае ударов о плавающие бревна, а также при посадке на мель. В настоящее время необходимо экспериментально установить характеристики усталостной прочности и долговечность крыльевых устройств, выполненных из алюминиевомагниевых сплавов.

Большая экономия в весе может быть получена также в результате применения пластиков для изготовления крыльевых устройств. Расчеты показывают, что изготовленные из стеклопластиков с армированием крыльевые устройства обеспечивают экономию в весе для теплохода типа «Ракета» ~700 кг, типа «Метеор» ~2000 кг, типа «Комета» ~2300 кг (по сравнению с крыльевыми устройствами из нержавеющей стали).

Экономия в весе при создании изоляции при отделке судов достигается благодаря применению пленочных материалов, а также менее тяжелых механизмов и устройств, что позволяет уменьшить вес материала, излучающего звуковую волну.

Учитывая сравнительную высокую стоимость материалов и оборудования, используемых на скоростных судах, необходимо, параллель с экономией веса, стремиться к упрощению технологии и уменьшению стоимости постройки этих судов. В некоторых случаях целесообразноойти на ухудшение гидродинамических ч

Бесшовные наплавки (в %) толщина которых не превышает 10 мм

Сталь носовой палубы	«Риветс»	«Фоллетт»	«Монтер»	«Сортимент»	«Сибка»	«Комета»	«Вестра»	«Белорусь»	«Буревестник»
Коррозия	6,7	0,34	23,4	30,6	2,95	14,6	32,63	2,93	14,662
Коррозия, испытываемая в зоне якоря	2,0	0,16	5,5	11,8	0,62	7,1	17,11	0,60	4,031
Судовые устройства в зоне якоря	1,3	0,12	3,4	8,4	0,91	2,3	4,39	0,73	3,032
Оборудование, изолированные в грузу	2,9	0,17	4,8	30,9	1,36	4,6	11,57	1,26	4,536
Наклонные и трубопроводы	3,4	0,43	5,8	13,1	3,12	6,5	13,67	2,84	9,128
Судовые краны	0,3	—	0,8	1,8	0,79	1,2	1,83	0,16	1,037
Задвижки подводных, спасательных и трубоукладчиков	0,5	0,04	1,3	0,46	1,3	2,39	0,30	—	2,035
Сифоны	0,4	0,06	0,8	1,4	0,21	1,5	4,38	0,29	0,894
Жидкое топливо в системе подачи	0,2	0,03	1,1	1,8	0,42	0,9	1,65	0,35	0,590
Задвижки подводных	—	—	0,1	—	—	0,4	—	0,10	—
Воздушно-акустические коробки для дыхания, в том числе:	17,4	1,34	36,5	76,0	9,94	49,4	69,91	9,95	39,660
а) винты (накидки с бандажами) и прорезиненные стяжки	7,2	0,34	17,0	34,0	4,34	15,4	31,74	4,96	26,732
б) герметизирующий герметик	0,6	0,08	0,6	0,9	0,20	0,6	1,20	0,20	0,600
Погружаемый герметик (гидростатический, герметик), когда подводное плавание	5,0	0,49	12,9	26,1	3,00	11,4	23,80	4,00	16,280
Бесшовные наплавки	1,5	0,06	3,6	7,0	1,14	3,7	6,64	0,73	11,892
Бесшовные наплавки, когда	29,0	1,68	52,9	110,0	14,56	56,8	121,34	14,500	85,6

других качеств судна. Так, в последние времена клепанные корпуса из дюралюминия стали заменяться сварными корпусами из алюминиевомагниевых сплавов. Это приводит к некоторому упрощению конструкции. Механические свойства алюминиевомагниевых сплавов типа АМг-61 хуже, чем у дюралюминия; у Д16АТ $\sigma_u = 3000 \text{ кг/мм}^2$, $\sigma_b = 4400 \text{ кг/мм}^2$, у АМг-61 $\sigma_u = 1800 \text{ кг/мм}^2$, $\sigma_b = 3400 \text{ кг/мм}^2$), однако оправдано тем, что снижаются трудоемкость и стоимость изготовления, а также улучшаются условия труда рабочих.

Применение клессыарных конструкций из дюралюминия позволяет сохранить как весовые, так и прочностные качества конструкции при значительном снижении трудоемкости их изготовления. Такие конструкции применены на судах типа «Комета» и «Воресестник». В недавнем будущем клессыарные конструкции, как наиболее перспективные, найдут широкое применение в конструкциях из легких сплавов. Очень перспективно использование в конструкциях судов из подводных крыльях прессованных панелей. Особенно выгодно применение прессованных панелей для корпусов с панельной системой набора.

Навесная система (рис. 74) характеризуется тем, что шлангоуты «изнешневые» на продольные ребра жесткости. Применение такой конструкции позволило значительно уменьшить прочность заклепочных или сварных швов и снизить трудоемкость постройки.

Металлические конструкции судов на подводных крыльях, выполненные из алюминиевых сплавов, с целью защиты от коррозии покрывают снаружи и изнутри грунтами ВЛ-02. Наружные поверхности дополнительно окрашивают: надводную часть — красками типа ПФ, подводную — красками ЭШЭЛ, ХВ.

Кроме лакокрасочных покрытий подводная часть корпуса морских судов защищается от коррозии электропротивным способом. Благодаря установке на судах типа «Комета» магнитных протекторов МЛ-4 или МЛ-5 (на днищевой части корпуса и кронштейнах крыльевого устройства) корпус оказывается



Рис. 74. Схема кавитной системы набора. 1 — продольные ребра жесткости; 2 — палуба; 3 — фарс; 4 — горизонтальные панели; 5 — обшивка днища.

полностью защищенным от коррозии. Однако при этом на подводные крылья, выполненные из нержавеющей стали и электрически не изолированные от алюминиевомагниевого корпуса, интенсивно нападают солевые отложения, не смываемые водой. Через 20—25 лет слой солей крупнозернистой структуры, отложившийся на поверхности крыльевого устройства, приводит к тому, что теплоход выходит за крылья со значительной перегрузкой плавающих двигателей или вовсе не выходит по крыльям. На преодоление дополнительного сопротивления требуется 100—150 л. с. Для очистки крыльев необходим подъем теплохода. Очистка с солей производится механически (с помощью насадочной шкурки, скребков, шлифовальной машинки) или химически — 3—4%-ным раствором серной кислоты.

Борьба с накиплением солей ведется двумя способами. Первый — покрытие алюминиевых крыльев и стоек красками типа ЭСКДП, т. е. изоляция крыльев от корпуса путем окраски.

Хотя такой окраска и не устранила полностью накипление солевых осадков, однако сцепление солей с поверхностью крыла значительно уменьшается, в результате соли легко смываются водой при ежедневной эксплуатации или могут удаляться периодически через 20—30 дней аквалангистами с помощью юбкой щетки.

Второй способ — электровозложение от корпуса крыльевого устройства и выступающих частей, выполненных из металла с другим антикоррозионом, нежели корпусный металл. Изоляция агрегата случае производится с помощью прокладок и штук, устанавливаемых под пластины и болты крепления. Этот способ более трудоемкий и сложный, но, во-всюдимому, и более эффективный. Оба способа по предотвращению солеотложений проверяются в эксплуатации.

§ 7. СИЛОВЫЕ УСТАНОВКИ СУДОВ НА ПОДВОДНЫХ КРЫЛЬЯХ

Многие встроенные суда на подводных крыльях укомплектованы высокооборотными судовыми дизелями типа М-50. Дизели этого типа отличаются относительно небольшим удельным весом. При максимальной мощности дизеля 1200 л. с. вес его составляет 1800 кг, т. е. 1,5 кг/л. с. Это наиболее легкий из всех выпускаемых в мире дизелей такого класса. Весовая и ограничительные характеристики дизеля типа М-50 показаны на рис. 75.

На мелких судах на подводных крыльях можно встретить силовую установку с автомобильным (контрактрапланом) бензиновым двигателем или с подвесным мотором. В последнее время начали строить суда с газотурбинными двигателями.

Что же предопределяет выбор типа силовой установки? Прежде всего — необходимая мощность в одном агрегате при

минимальном весе, малый удельный расход топлива, небольшие габариты, возможность рекерсирования и свободного хода; высокая эксплуатационная надежность, большой моторесурс, низкая стоимость. В настоящее время трудно найти двигатель, отвечающий одновременно всем перечисленным требованиям. Рассмотрим особенности двигателей различных типов.

Двигатель внутреннего горения. Из двигателей внутреннего горения наиболее целесообразно применение дизелей, работающих на относительно безопасном топливе (по сравнению с бензиновым двигателем). Выпускаемые промышленностью быстроточных дизелей небольших габаритов мало расходуют топлива, имеют сравнительно невысокую строительную стоимость. Резервные муфты их обладают свободным ходом, в большие числа оборотов позволяют выбрать требуемый зигант с высокими пропульсивными характеристиками при относительно небольшом диаметре.

Последнее (диаметр требуемого зиганта) особенно важно для речных судов на подводных крыльях, осадка которых ограничена. Однако небольшая моторесурс быстроточных высоковоротных дизелей (500—1000 час.) в отношении небольшой мощности в одном агрегате ограничивает применение дизелей на судах с подводными крыльями, особенно при водоизмещении судов свыше 100 т.

Турбовентильные двигатели (ТВД), используемые в авиаии, имеют небольшие габариты, обладают очень малым удельным весом (0,15—0,3 кг/л. с.), большой мощностью в одном агрегате и значительным моторесурсом. Однако применение этих двигателей в судостроении связано с необходимостью ряда переделок.

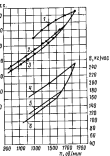


Рис. 75. Весовая и ограничительные характеристики дизелей типа М-50.

1 — максимальная характеристика дизеля; 2 — ограничительная характеристика зиганта; 3 — ограничительная характеристика зиганта с муфтой; 4, 5 — частоты резонанса турбины соответственно для 1, 2, 3 л.

Использование выпускаемых отечественной промышленностью одновальными турбин с приводом на воздушный винт нерационально, поскольку при скоростях 60—70 км/час к. в. д. воздушного винта крайне мал. Возможна установка ТВД с приводом из гребной винт регулируемого шага (ВРИШ). Однако в этом случае необходимо учитывать сложность, повышенную стоимость и недостаточную надежность (особенно в речных засторонних водах) винтов регулируемого шага.

Наиболее реальная силовая установка с одновальной ТВД и с приводом из водометного движителя. Такая установка предусмотрена на турбокомоде «Буревестник» и находится в опытной эксплуатации. Двухваловые турбовинтовые двигатели могут быть применены с приводом из гребной винт фиксированного шага, но в этом случае требуются дополнительные средства для обеспечения заднего хода судна.

Кроме отмеченного, к недостаткам ТВД надо отнести их сравнительно высокую стартовую стоимость и больший удельный расход топлива. При использовании подобных двигателей на судах всегда нужно помнить о необходимости приспособления ТВД к работе в морских условиях.

Применение на крылатых судах реактивных двигателей нецелесообразно ввиду значительного удельного расхода топлива и большой шумности этих двигателей.

На многих встроенных судах передача мощности от двигателя к гребному винту осуществляется через наклонный валопровод. Для нормальной работы двигателя и гребного винта на конец валовой линии вала не должен превышать 12—15°. Поэтому силовая установка размещается в средних отсеках судна, т. е. близко от пассажирских помещений. При таком расположении валопровод имеет большую длину и значительный вес, создает дополнительное сопротивление движению, а гребной винт работает в косях потока. Но несмотря на отмеченные недостатки передача мощности через наклонный валопровод оказывается относительно дешевой, надежной и легко осущест-
ствляемой.

Создание вертикальных передач мощности позволило бы не только улучшить условия работы гребного винта и расположить силовую установку в кормовых отсеках судна, но и дало бы возможность значительно увеличить подъем корпуса судна над водой, а следовательно, повысить мореходность судов.

С некоторыми потерями к. в. д. движители силовой установки можно расположить в кормовых отсеках судна при установке водометного движителя. Такие силовые установки с водометными движителями применены на судах «Чайка» (с дизелем типа М-50) и «Буревестник» (с газотурбинным двигателем АН-20). Кроме возможности расположения силовой установки в кормовых отсеках судна, использование водометных движите-

лей позволяет повысить эксплуатационную надежность движительно-рулевого комплекса, наиболее уязвимого в условиях засоренных фарватеров.

Независимо от расположения по длине судна силовой установки должна управляться из рулевой рубки. Управление силовой установкой — запуск, изменение подачи топлива, реверс и останов — могут осуществляться с помощью гидравлической, электрической или гидроэлектрической систем или с помощью жгутов тяг. На построенных судах применяют электри-

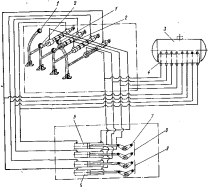


Рис. 76. Типовая принципиальная схема управления подачей топлива и реверсом для двигателей типа М-50.

1 — рулевые тяги; 2 — гребной винт; 3 — продольная ось; 4 — крестовая коробка; 5, 6 — цилиндрические актуаторы; 7 — насосный модуль управления; 8 — главный двигатель; 9 — главный движитель.

ческий привод пускового клапана и гидравлический привод для управления подачей топлива и реверсом. На рис. 76 показана типовая для всех построенных судов принципиальная схема управления подачей топлива и реверсом движителей типа М-50.

Обеспечение эксплуатационных удобств в обслуживании и выбор размеров машинного отделения опровергается противопо-

речными предпосылками. Учитывая, что практическое вес машинное отделение имеет звукоизоляцию в противожарные щиты, целесообразно с целью снижения веса стремиться к уменьшению его размеров. Однако для эксплуатационного обслуживания установки (смена фильтров, смена масла, осмотр соединений системы, работы с вспомогательным энергогенератором) необходимо предусмотреть проходы во всем механизме (главном и вспомогательном) и оборудование сквозной установки. При обеспечении дистанционного управления не только главными двигателями, но и вспомогательными, эти противоречия практически исключаются.

Жесткие требования предъявляются также к системам, обслуживающим силовую установку. Чтобы вес трубопроводов и оборудования был minimized, они должны изготавливаться из легких сплавов или из пластика. Кроме того, оборудование должно быть расположено так, чтобы длина трубопроводов была минимальной. Иногда целесообразно некоторое снижение долговечности отдельных деталей или узлов с целью значительного уменьшения их веса.

§ 8. ЭКСПЛУАТАЦИОННО-ЭКОНОМИЧЕСКИЕ ПОКАЗАТЕЛИ¹

25 августа 1967 г. была открыта первая в Советском Союзе регулярная экспрессная пассажирская линия Горький—Казань протяженностью 419 км. Теплоход на подводных крыльях «Ракета-Б» успешно прошел прытную эксплуатацию на этой линии, подтвердив экономическую целесообразность внедрения подводных судов. Спустя три года в эксплуатацию вступили 10 теплоходов типа «Ракета», теплоход «Метеор» пассажировместимостью 124 чел., а еще через год — теплоход «Спутник», имеющий 260 пассажиров.

В короткий срок суда на подводных крыльях становятся одним из наиболее популярных транспортных средств, которые по своим технико-экономическим показателям превосходят другие виды транспорта.

Применение судов на подводных крыльях позволяет уменьшить в 2—3 раза капиталовложения в пассажирский флот (из расчета на 1 пасс. км), сократить время поездки пассажира в 3—4 раза, уменьшить затраты труда администрации примерно в 7—8 раз и увеличить провозную способность пассажирских судов в 2—3 раза.

В настоящее время Советский Союз обладает самым большим в мире флотом крылатых судов.

В 1966 г. в эксплуатации находилось несколько сотен судов на подводных крыльях, в том числе катера типа «Волга», тепло-

ходы типа «Ракета», «Метеор», «Комета», «Беларусь». Кроме того, в опытной эксплуатации находится морской теплоход «Визирь», теплоход «Чайка» и газотурбодвигатель «Буревестник». Динамика строительства скоростного флота по годам отражена на рис. 77.

Судами на подводных крыльях в настоящее время обслуживается более 100 линий пятнадцати речных и одного морского пароходства. На рис. 78 показана схема размещения районов эксплуатации судов на подводных крыльях на внутренних водных и морских путях СССР.

За годы в год увеличивается объем перевозки пассажиров судами на подводных крыльях. В 1957—1968 гг. было перевезено 13,5 тыс. пассажиров, в 1960 г. — 662,2 тыс., а в направлении

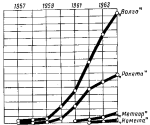


Рис. 77. Динамика строительства судов на подводных крыльях в СССР (1957—1964 гг.).

1964 г. только речные суда перевезли 4 622,5 тыс. пассажиров и прошли 375,0 млн. пасс. км. Чистая прибыль от эксплуатации в 1964 г. составила 536,7 тыс. руб.

Высокие скорости движения крылатого флота в сочетании со сравнительно низкими тарифами на перевозку позволяют судам на подводных крыльях успешно конкурировать с другими видами транспорта. Но продолжительность поездки и стоимость проезда суда на подводных крыльях не уступают другим видам пассажирского транспорта (табл. 12). Опыт эксплуатации судов на подводных крыльях и анализ экономических показателей за ряд лет показывают, что скоростной флот — эффективное и высоко-рентабельное средство пассажирского сообщения.

¹ По материалам [10], [12], [13], [21].

Таблица 12
Приложимость и стоимость проезда различными видами транспорта

Линия	Приложимость (в руб./км)	Стоимость проезда, руб.: в экономиче- ском тарифе — кроме поездок час. и т.д.					
		на железнодорож- ной стоянке		на автомобиле транзитом старт и/или конечный		автобусе*	
		за машину	за пассажира	за машину	за пассажира	за машину	за пассажира
Ярославль — Рыбинск	66	1-34	5-58	—	—	1-40	1-83
		1-35	4-00			3-30	3-30
Горький — Казань	419	4-98	9-98	10-00	7-58	—	—
		8-20	24-30	3-90	15-80		
Казань — Чебоксары	141	2-62	6-98	3-15	4-90	4-50	—
		2-50	6-85	2-80	4-30	3-00	
Куйбышев — Саратов	441	5-50	9-87	10-00	9-90	—	—
		7-50	21-80	3-35	18-90		
Волгоград — Астрахань	506	5-40	11-18	10-15	6-20	—	—
		8-35	22-00	8-15	13-00		

* Время поездок с выездом из города с учетом затрат на переходы от го-
рода до конечного и обратно.

В табл. 13 приведены данные, характеризующие работу скоп-
ростного флота Волжского объединенного речного пароходства
(ВОРП) за 1957—1965 гг. Отрицательный финансовый результат
первых трех лет эксплуатации объясняется большими амор-

Таблица 13
Экономические результаты эксплуатации судов на водных путях
Волжского объединенного речного пароходства

Показатели	1957 г.	1958 г.	1959 г.	1960 г.	1961 г.	1962 г.	1963 г.*	1964 г.*
Приложимость зас- тавляемых пасс. чл. высокосезон. цен. км., тыс.	2,1	11,46	11,1	65,2	357,8	468,9	1119,0	1540,6
Финансовый результат т.т. тыс. руб. + прибыль — убыток	-1,5	-28,9	-13,8	-13,4	+146,7	+217,9	+325,8	+455,9
Себестоимость 1 тыс. км, тыс.	5,1	4,48	2,82	1,77	2,02	1,98	1,87	1,35

* За этот результат работы теплохода «Спутник». Рассматривается в отдельной эксплуатации.

тизационными обчислениями, связанными с относительной высокой стоимостью постройки опытных головных образцов. В последние годы работа судов на подводных крыльях стала рентабельной.

Эффективность скоростных судов обусловлена относительно низким уровнем эксплуатационных затрат. Среднее значение показателя производительности работы скоростного флота по данным ВОРПа в 1964 г. составило 316 пасс., как на одно пассажирское место в сутки, а по отдельным теплоходам более 400, например, у теплохода «Ракета-6» (линия Куйбышев—Саратов) — 459, у теплохода «Ракета-4б» (линия Казань—Чебоксары) — 488 и т. д.

Высокая производительность работы судов на подводных крыльях обеспечивается в свою очередь большой загрузкой крылатого флота и высокой скоростью доставки. Так, средний коэффициент использования пассажировместимости за пятилетие 1964 г. по данным ВОРПа составил 0,74, что примерно в два раза выше, чем по аналогичному флоту местного сообщения.

Увеличение серийности постройки скоростных судов, наряду с повышением эксплуатационной надежности конструкции и механизмов, приводят к закономерному снижению стоимости постройки и в значительной степени к уменьшению эксплуатационных затрат. На рис. 79 показано изменение затрат на постройку судов на подводных крыльях в зависимости от количества их в серии.

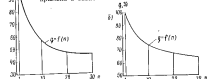


Рис. 79. Затраты на строительство судов на подводных крыльях в зависимости от количества судов в серии: $g = f(n)$ — теплоход «Ракета-6»; $h = f(n)$ — теплоход «Метеор».

Наряду с облегчением пассажироперевозок на внутренних водных путях на морских прибрежных линиях Черноморского пароходства успешно эксплуатируются суда на подводных крыльях типа «Комета», «Вихрь», прогулочные катера типа «Волга» и др.

Скоростными морскими судами за время их эксплуатации перевезено около миллиона пассажиров и сделано 30 млн. пас.

Таблица 14

Экономические результаты эксплуатации морских судов на морских краинах

Показатель	Тип скоростного судна			
	«Комета»			«Вихрь»
	№ 1	№ 2	№ 3	
Перевезено пассажиров, тыс. чел.	301,8	156,5	53,8	96,5
Сделано пасс. миль, тыс.	10922,0	5822,0	2905,0	6274,0
Коэффициент использования пас- сажироемкости	0,75	0,71	0,6	0,5
Финансовый результат, тыс. руб. + прибыль; — убыток	-26,8	-14,0	+27,41	-228,0

Таблица 15

Продолжительность и стоимость проезда различными видами транспорта

Линия	Расстояние между пунктами	Стоимость проезда, руб.; в экономичес- ком режиме — время в пути, час.				
		на морских судах	на областных тракторных судах	на автобусе	автомобилем	пешком
Одесса — Херсон	86	3—35 3,0	3—70 10,0	4—15 5,0	5—00 0,7	9—50 10 (автобус- ный каток)
Ялта — Севастополь	63	2—08 2,5	5—18 8,0	1—40 3,0	3—00 0,8 (перевозка)	Нет сооб- щения
Ялта — Феодосия	74	2—74 3,56	4—59 7,5	2—33 5,0	4—00 1,0	То же
Сочи — Сухуми	72	2—92 2—50	5—81 8,0	2,65 6,0	3—00 0,8	2—15 4,0 (автострелка)

миль. Экономико-экономические показатели работы этих судов за плавацию 1964 г. приведены в табл. 14.

Отрицательный финансовый результат работы теплоходов «Комета-1», «Комета-2» и «Вихрь» можно объяснить в значитель-

ной мере высокой балансовой стоимостью их и соответствующими амортизационными отчислениями. Удельный вес последних составляет до 50% в общей сумме эксплуатационных расходов. Теплоход «Комета-3», балансовая стоимость которого ниже стоимости опытного образца на 35%, для порта Ялта 27,0 тыс. руб. чистой прибыли несмотря на относительно меньшую загрузку этого судна.

Дальнейшее снижение строительной стоимости морских судов, а также реализация мероприятий по уменьшению простое судов и сокращению доли ходового времени в общем эксплуатационном периоде значительно повысит экономическую эффективность морских судов на подводных крыльях.

Сравнительные данные о стоимости и времени проезда (табл. 15) показывают, что морские суда на подводных крыльях могут конкурировать с другими видами транспорта.

В ближайшие годы пассажирские перевозки на скоростных судах должны возрасти. Дальнейшее повышение экономической эффективности крымского флота связано с решением ряда технических задач, среди которых важнейшими являются:

1. Увеличение ходового времени, в том числе и за счет внедрения круглогодичной эксплуатации скоростных судов, повышенной из экономичности на 30—40%.

2. Повышение надежности и ресурса главных двигателей, оборудования и конструкций судов на подводных крыльях.

3. Совершенствование эксплуатации таких судов (улучшение технического обслуживания, обеспечение ремонтно-подвижными базами и т. д.).

Глава III

РЕЧНЫЕ СУДА НА МАЛОПОГРУЖЕННЫХ ПОДВОДНЫХ КРЫЛЬЯХ

§ 9. ПАССАЖИРСКИЙ ТЕПЛОХОД «РАКЕТА»

Теплоход «Ракета» (рис. 80) предназначен для речных скоростных пассажирских перевозок на пригородных и местных линиях протяженностью до 600 км.

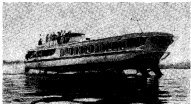


Рис. 80. Пассажирский теплоход на подводных крыльях «Ракета». Скорость хода 65 км/час.

Основные характеристики теплохода

Габаритные размеры, м:	
длина	37
ширина	5
высота	4,5
Осадка габаритная, м:	
на палубе	1,8
при ходе на крыльях	1,1
Водонемощенное водоизмещение, т	17,8
Осадка при водонемощенном водоизмещении (по вертексу), м:	
предельная	0,43
нормальная	0,26
минимальная	0,09

Водонемощенное водоизмещение, т	25,0
Осадка при водонемощенном водоизмещении (по вертексу), м:	
средняя	0,52
нормальная	0,26
минимальная	0,09
Мощность силовой установки (двигатели типа М-50) в л. с.:	
нормальная	1200
эксплуатационная	890
Скорость ходу:	
эксплуатационная	60
нормальная	70
Пасажироемкость, чел.	66

Нос теплохода — ложкообразный с наклонным форштевнем; корма — трапециевидной формы; борта — вертикальные. При пересечении с днищем борта образуют острую скруглу.

Днище имеет в средней части небольшую выпуклость, которая уменьшается к носовой части теплохода. На днище расположены клиновидный редан высотой 100 мм (рис. 81).

При полном водонемощенном водоизмещении основные коэффициенты тепературного чертежа равны:

Коэффициент общей ширины	0,47
коэффициент затопления	0,86
коэффициент огнища	0,67

Общее расположение

Схема общего расположения теплохода показана на рис. 82. Корпус теплохода разделен по длине шестью поперечными водонепроницаемыми переборками на семь отсеков.

Первый отсек (формик) используется для размещения центрального ящика. Вход в отсек осуществляется через прямоугольный люк в палубе полубака.

Второй, третий и четвертый отсеки представляют собой отсеки плавучести. Доступ в них производится через люки в палубе переборок.

В пятом отсеке размещается моторное отделение. Вход в него осуществляется с палубы через дверь.

Шестой и седьмой — отсеки плавучести. В шестом отсеке, кроме того, расположена фекальная инсталляция. Доступ в отсек осуществляется через установленные в палубе горловины.

На полубаке расположены: якорное устройство, швартовные блоки и вертикальный траП, поднявший на тентовую палубу. Далее в корму до моторного отделения находятся пассажирский салон, в котором размещены 66 кресел авиационного типа и буфет (рис. 83). Пассажирский салон имеет два выхода из прогулочной палубы и один выход на полубак. В корму от

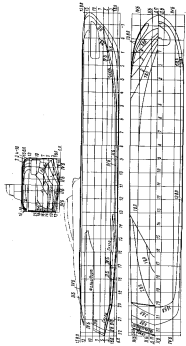


Рис. 81. Термостатичекие напряжения температура спуска.

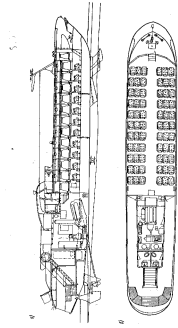


Рис. 82. Схема общей расчетной схемы судна «Баренц». а — продольная, б — поперечная, плава.: & — имеющиеся, & — расчетные, & — расчетные, плавающие.

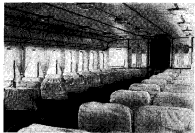


Рис. 83. Пассажирский салон теплохода «Ракета» (вид в нос).



Рис. 84. Пассажирская палуба теплохода «Ракета» (вид в нос).

пассажирского салона расположена прогулочная палуба (рис. 84), на которой размещены: шахта моторного отсека, сварка, динамики для пассажиров и посадочный трап, ведущий на тентовую палубу. Под посадочным трапом находятся кладовая.

В носовой части тентовой палубы установлено металлическая масти и предусмотрены крепления для памятки и отпорного крюка. В носовой части тентовой палубы расположены: ходовая рубка, полуоткрытное моторное отделение, воздухозаборники, системы вентиляции салона, леерное устройство, швартовые клеммы и гран-сходня для посадки и высадки пассажиров.

Конструкция корпуса и надстройки

Конструктивная схема корпуса и надстройки, а также модель-шпангоут теплохода «Ракета» показаны на рис. 85 и 86.

Корпус и надстройка теплохода полностью клепаны и изготовлены из дюралюминия марки Д16. Некоторые детали и подкрепления корпуса выполнены из стали. В целях повышения коррозионной стойкости детали из дюралюминия оксидированы, а соприкасающиеся с ними стальные — «цинкованы». Для обеспечения герметичности соединений корпуса и надстройки, а также соединений алюминиевых деталей со стальными применены прокладки из тексколопной ленты, тексколевой уплотнительной заглушки или прокладки из брези, пропитанной цинковыми белилами.

Корпус теплохода имеет двойное дно, причем зеркальное двойного дна является наливной аэротероркой. Надстройка составляет с корпусом единое целое. Поперечный набор над двойным дном (надстройка) состоит из рамных шпангоутов, установленных через одну пяницу, продольный набор — из ребер жесткости, установленных одно от другого на расстоянии 200 мм, и рамных срезов — карнизов.

Обшивка днища и бортов до палубы переборок изготовлена из листов толщиной 3 мм; обшивка бортов выше палубы переборок, а также обшивка трапца — из листов толщиной 2 мм. Впоследствии обшивка бортов и районе окон выполнена из листов толщиной 4 мм с целью устранения трещин, появившихся в перемычках окна. Настил палубы переборок и настил палубы составлен из листов толщиной 2 и 3 мм. Для изготавливания тентовой палубы применены листы толщиной 1 и 2 мм.

Поперечный набор корпуса выполнен следующим образом. На каждом шпангоуте установлены флоры, высота которых переменна по ширине судна. Средняя высота флоров составляет 150 мм. На 1, 6—9, 29—38 и 45—47 шт. флоры прикрепляются к обшивке днища угольниками из дюралюминия размером 25×25×2 мм. Стенки флоров изготовлены из листов

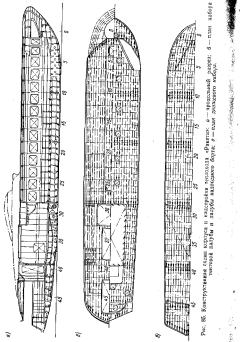


Рис. 85. Конструктивные планы короба и наливных танковых фланцев: а — плоский фланец; б — плоский палуба и защуба наливного бака; в — плоский бортик.

дюралюминия толщиной 1,5 мм на 7—9, 11—17, 19—27, 40—44 шп., толщиной 2 мм на 29—38, 48 шп. и толщиной 1,5 и 2 мм на 1,0 и 2—6 шп. Верхняя кромка у всех фланцев окантована уголником размером 25×25×2 мм.

Фланцы на 7—9, 11—17 и 19—27 шп. установлены на продольные ребра жесткости. Нижняя кромка этих фланцев окантована трапециевидным профилем размером 40×35×2 мм. Шпангоуты под палубой переборок у борта и в ДП у кильсонов прикреплены к обшивке днища коротышами из профиля размером 40×25×1,5×2 мм. Стены рамных шпангоутов изготовлены из листов

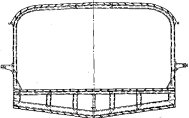


Рис. 86. Модель-изделие танкодеска «Росток».

толщиной 1,5 мм с отогнутым фланцем размером 20 мм. Высота стеки составляет 200 мм. Рамный шпангоут прикрепляется к борту уголником размером 25×25×2 мм.

Бортовые палубы переборок изготовлены из профиля ПК размером 98×25×3 мм. У борта и в ДП они прикрепляются к заборке коротышами Z-образного профиля, пущенного из листа толщиной 2 мм.

На всех шпангоутах (кроме шпангоутов моторного отделения) в плоскости кильсовых установлены пиллерсы из уголника размером 30×30×2 мм. Бортовые пиллерсы изготовлены из листа толщиной 1,5 мм, шириной 100 мм с отогнутыми фланцами размером 20 мм по обеим кромкам. Пиллерсы установлены от ДП на расстояние: 450 мм на 5—8, 11—17 и 19—27 шп.; 1050 мм на 7—9 шп.; 1200 мм на 11—17, 19—27 и 46 шп.; 1000 мм на 42—44 шп. и 650 мм на 46 шп. В районе 29—40 шп.

бортовом пиллером установлены под комингсом шахты моторного отделения.

Шланги от нулевого в изогнутом виде и бимсы на 1–2 шт. изготовлены из листа толщиной 1,5 мм. Обделочные уголники по верхней и нижней кромкам выполнены из уголника размером 25×25×2 мм. Шланги от низких палуб переборок в бимсы в районе 4–26 шт. изготовлены из листа толщиной 1,5 мм, высотой 100 мм и окантованы по кромкам уголниками размером 25×25×2 мм.

В районе 29–42 шт. бимсы по спуску тентовой палубы имеют высоту 80 мм и изготовлены из листа толщиной 2 мм, окантованного по кромкам уголниками размером 25×25×2 мм. В районе шахты моторного отделения высота бимсов равна 160 мм. В районе 42–50 шт. бимсы изготовлены из углобульба размером 40×25×2,5 мм, приклешенного к продольным ребрам жесткости тентовой палубы.

Установленные за 34, 36, 38, 40, 42, 44, 45 $\frac{1}{2}$, 46 $\frac{1}{2}$ и 47 $\frac{1}{2}$ шт. контфорсы выполнены из листа толщиной 2 мм и доведены до 920 мм под палубой переборок. Эти контфорсы приклешены уголниками размером 25×25×2 мм, а со свободной кромкой окантованы лигами уголниками размером 25×25×2 мм, склепанными в тавр. Ребра жесткости по транцу изготовлены из уголника размером 25×25×2 мм.

Предельный набор корпса состоит из киансиона, карлингса и ребер жесткости. По длине от форштевня до 28 шт. установлен инвертирующий кильсон из листов толщиной 2 мм, имеющий высоту 275 мм в районе 7 $\frac{1}{2}$ –28 шт. В районе 1–7 $\frac{1}{2}$ шт. высота кильсона равна высоте междуудонного пространства. В районе 7 $\frac{1}{2}$ –28 шт. в ДП под вторым дном установлен карлингс высотой 165 мм. Толщина листов карлингса – 2 мм, обделочные уголники карлинга имеют размеры 25×25×2 мм (нижний) и 30×20×2,5 мм (верхний).

На тентовой палубе в районе 1–28 шт. установлены два карлингса на расстояния 500 мм от ДП. Стакан карлингса изготовлен из листов размером 1,5×123 мм. Карлингсы склеены разрезными на шлангоутах. Обделочные уголники имеют размеры 25×25×2 мм.

В районе 39–45 шт. установлены два кильсона на расстоянии 276 мм от ДП. Кильсоны изготовлены из листа размером 3×276 мм с обделочными уголниками размером 40×40×3 мм. Кильсоны креются к переборкам щинами 150×200×3 мм с фланцем 20 мм по свободной кромке.

По длине от поса по норме установлены на расстоянии 200 мм ребра жесткости Z-образного профиля размером 40×25×1,5 мм. К поперечным переборкам ребра жесткости крепятся щинами размером 130×100×2 мм с фланцем 15 мм по свободной кромке. Продольные ребра жесткости борта под па-

любой переборок сделаны разрезными на шлангоутах. Профиль ребер – углобульб размером 35×20×2 мм. Ребра выше палубы переборок – неразрезные. Профиль ребер – углобульб размером 35×20×2 мм. По палубе переборок установлены ребра жесткости из швеллера размером 30×20×2 мм, а по тентовой палубе – из Z-образного профиля размером 25×15×1,5 мм.

Поперечные переборки под палубой на 1, 10, 18, 28 и 39 шт. изготовлены из листов толщиной 1,5 мм, а на 45 шт. – из листов толщиной 2 мм. Стойки переборок сделаны из уголников разрезом 30×30×2×2,5 мм. Размер обделочного уголника по контуру переборок составляет 30×30×2 мм. Поперечные переборки в надстройке на 1 × 28 шт. изготовлены из листов толщиной 2 мм и толщиной 1,5 мм – на 39 шт. Ребра жесткости переборок избраны из Z-образного профиля размером 40×25×2,5×2 мм. Обделочные уголники имеют размер 25×25×2 мм. Поперечная переборка на 42 шт. сделана из листов толщиной 2 мм, с ребрами жесткости из Z-образного профиля 40×35×2×2 мм и швеллера 40×25×2 мм. Размер обделочного уголника по контуру составляет 25×25×2 мм.

Продольные переборки шахты машинного отделения в районе 28–42 шт. изготовлены из листов толщиной 1,5 мм с проклешенными ребрами жесткости Z-образного профиля размером 40×25×2 мм и швеллера размером 40×25×2 мм. Обделочные уголники по кромкам имеют размер 25×25×2 мм.

Для выгородок и платформ рубки и буфета (район 28–32 шт.) применены листы толщиной 1,5 и 2 мм, ребра жесткости из углобульба размером 40×25×2,5 мм в Z-образного профиля размером 40×25×2 мм. Обделочные уголники имеют размер 25×25×2 мм. Для выгородок под косадочным трюмом (район 42–45 шт.) использованы листы толщиной 1,5 мм, ребра жесткости из уголников размером 20×15×1,5 мм и обделочные уголники размером 25×25×2 мм. Для выгородок под аккумуляторные батареи (район 35 $\frac{1}{2}$ –37 шт.) применяют листы толщиной 1,5 мм и ребра жесткости из уголника размером 25×25×2 мм.

Фундаментные балки под главный двигатель изготовлены из листов толщиной 4 мм. Обделочные уголники по верхней и нижней кромкам листов имеют размер 50×50×5 мм. По верхней кромке фундамент покрыт такими же листами размером 4×104 мм в районе 35–39 шт. и листом 4×200 мм в районе 30–35 шт. В районе переборки 28 шт. фундаментные балки соединены с палубой переборок горизонтальными листами размером 3×700×1000 мм. На шлангоутах фундаментные балки подкреплены щинами из листов толщиной 2 и 3 мм с отогнутой свободной кромкой. За переборкой фундаментные балки заканчиваются щинами длиной в одну щину. Фундамент под вспомогательный двигатель сделан из двух уголников

размером $50 \times 50 \times 5$ мм, установленных горизонтально в пластины разных шпангоутов и соединенных с последними кинцами из листов толщиной 3–4 мм и угольников размерами $25 \times 25 \times 2$ и $40 \times 40 \times 3$ мм. Фундамент под башмаком изготовлен из листов толщиной 4 мм и угольников размером $40 \times 40 \times 3$ мм.

На шпангоутах $1\frac{1}{2}$, $2\frac{1}{2}$, $3\frac{1}{2}$, $4\frac{1}{2}$, $43\frac{1}{2}$ и $44\frac{1}{2}$ в ДП установлены бракеты, а на шпангоутах $2\frac{1}{2}$, $3\frac{1}{2}$, $4\frac{1}{2}$, $5\frac{1}{2}$, $8\frac{1}{2}$, $9\frac{1}{2}$, $47\frac{1}{2}$ и контрафорсах $45\frac{1}{2}$, $46\frac{1}{2}$ — киницы, подкрепляющие днище в местах присоединения стоеч крьльев. Бракеты и киницы сделаны из листов толщиной 2–3 мм и обделочных уголников размером $25 \times 25 \times 2$ мм.

Рубка теплохода изготовлена из листов толщиной 1 мм с набором из продольных ребер жесткости и рамных шпангоутов. Рамные шпангоуты переменной высоты забраны из листов толщиной 1,0 и 1,5 мм с отогнутыми фланцами по обеим кромкам. Продольный набор рубки изготовлен из ребер жесткости: по краям рубки — из углобудиль размером $25 \times 18 \times 1,8$ мм, а по бортовым стенкам — из Z-образного двофигурного размером $25 \times 18 \times 1,5 \times 2$ мм. Поперечная переборка рубки из 26 шт. сделана из листов толщиной 2–2,5 мм и ребер жесткости из угольника размером $20 \times 15 \times 1,5 \times 2$ мм.

Форпакет теплохода сварен из стальных листов толщиной 3 и 4 мм. Редан изготовлен из дюралиюминиевого листа толщиной 3 мм переменной высоты и угольников размером $30 \times 30 \times 3$ мм. Хвостовые настилы сделаны из листов толщиной 1 мм, угольников размерами $20 \times 15 \times 1,5$ и $25 \times 25 \times 2$ мм и Z-образного профиля размером $25 \times 18 \times 1,5 \times 2$ мм. Слэйв в вторичном отделении выполнен из дюралиевых рифленых листов толщиной 3 мм. Верхний горизонтальный и вертикальный листы кронштейн приavalьного бруса имеют толщину 2–3 мм, нижний изложенный лист — толщину 1–1,5 мм, а соединительные угольники — размер $25 \times 25 \times 2$ мм.

Изоляция, покрытия, отделка и окраска

Обрешетник и различные поделки кагетоведены из ели и березовой ёжиноподобной фанеры. Прокладки обрешетника настила сделаны в моторном отделении выполнены из бакелитированной фанеры. Все дерево, примененное для постройки судна, пропитано огнезащитными составами.

Приavalьный брус изготовлен из ели. Размеры его сечения составляют 30×90 мм. В носовой и кормовой оконечности приavalьный брус склеен из пяти реек толщиной по 6 мм. По трапу установлен приavalьный брус размером 30×90 мм. Верхний приavalьный брус (под окнами) в носовой части также склеен из пяти реек. Приavalьный брус обделан дюрализованной полосой размером 3×75 мм.

Цепной ящик сделан из досок размером 20×120 мм и брусков размером 40×80 мм.

Обрешетки подволока салона и по бортам изготовлены из брусьев размерами 22×35 , 25×25 и 30×35 мм; в рубке и туваletах обрешетки сделаны из брусьев размерами 25×20 , 25×40 , 25×50 и 40×50 мм. Борта салона, а также поперечные выгородки выше палубы переборок обшиты фанерой толщиной 2 мм. В качестве тепло- и звукоизолирующих материалов на судне применены:

термоизолирующий материал марки ВТ-4С (капроновая вата) толщиной 20 мм;

термоизолирующий картон;

асбестовый картон (в районе глушителя выхлова главного двигателя);

перфорированные дюралевые листы.

Теплоизолирующие прокладки привлекаются противодумкой мастикой или силиконовым клеем. Борта и подволок салона изолированы двумя слоями капроновой ваты марки ВТ-4С. Для изоляции стен туалета используется один слой капроновой ваты марки ВТ-4С (наклеивается по металлу); подволок изолирован двумя слоями этого материала.

Звукоизолация стен в подволоке машинного отделения выполнена следующим образом. На металл на克莱яется при помощи противодумкой мастики слой ваты марки ВТ-4С и положен лист термоизолирующего картона толщиной 5 мм. Затем сверху уложено два слоя пены марки ВТ-4С и на克莱яется слой паклинова. По стенам машинного отделения общего перфорированными дюралевыми листами толщиной 0,8 мм. В местах нагрева дополнительно сверху паклинова укладывается асбестовый картон толщиной 6 мм. Продольные переборки ниже палубы изолированы паклиновыми щитами размером 460×500 мм, изготовленными из дюралевого листа толщиной 1 мм, покрытого двумя слоями ваты марки ВТ-4С и слоем паклинова.

Для отделки помещений применен цветной паклинов и слоистый пластик. Пассажирский салон оклеен по бортам и переборкам паклиновом. Бортовая панель до сюда изготовлена из паклинова или пластика. Подволок салона обшит паклиновом. Стены паклинова закрыты дюралевыми раскладками (в последнее время начинает применяться безраскладочная отделка салона). Тумбы по стенкам отделаны паклиновой толщиной 1,5 мм, а подволок — пластиком толщиной 3 мм; стены пластика закрываются дюралиюминиевыми раскладками. Стенки рубки отделаны паклиновой толщиной 1,5 мм, а подволок — паклиновым. Пол салона покрыт линолеумом толщиной 2,5 мм. К настилу палубы линолеум проклеивается клеем марки ЛН-1. Пол рубки покрыт войлоком толщиной 14 мм, а сверху — линолеумом толщиной 2,5 мм. Пол в туваletах покрыт слоистым паклиновым

толщиной 3 мм. Пластик уложен на горячий каменноугольный бек. Прогулочная палуба от 28 шт. в корму, посадочная площадка с проходами из рубки на тентовой палубе покрыты листовой рифленой резиной толщиной 2 мм. Резина приклеена kleem марки Б-88-4 по всей площади.

Подводная часть якоря ниже ГВЛ окрашена грунтом АЛГ-5 и краской ЭЖС-40, надводная — эмалью марки ПФ-56. Подводная часть судна, строившаяся с 1965 г., покрывается красками марки ЭШЭЛ. Машинное отделение, переборки и надстройки и подводные окраинны эмалью марки ПФ-56.

Пассажирской салоне оборудованы индивидуальными креслами. Ножки кресел крепятся к настилу калубы болтами. Крепление выполнено непроницаемым и антикоррозионным с резиновыми уплотнителями. Над окнами салона установлены полки для ручного багажа, выполненные из доралюминиевых алюминиевых труб, за которые натянута капроновая сетка. У кормовой переборки салона в районе 26—28 шп. расположены буфет, состоящий из шкафа в нише переборки на 28 шп. и буфетной стойки, в которую монтируется холодаильник. Ходовая рубка оборудована двумя металлическими ящиками размером 1850×630 мм, пластиковыми шкафами, шкафами для личных вещей, шкафом для рации, раскладушками табуретами и вентилятором тяжелого для вентиляции.

Дельные вещи

Люк в форштевне сплошной непрокладываемый. Его размер в свету составляет 410×600 мм. Крышка люка выполнена откидывающейся на ветвях и снабжена клиновыми задраиваками. Она состоит из листов толщиной 2 мм и швеллеров размером 25×15×5,5 мм. По контуру крышки имеет уплотнительную резиновую прокладку. Для сообщения с междудонным пространством в районе 42—43 шп. сделан непрокладываемый люк с размером в свету 450×450 мм. Он закрывается крышкой из листа толщиной 2 мм. Крышка по контуру окантована швеллером размером 25×15×1,5 мм с резиновым уплотнением и имеет устройство для задраивания. Комингс люка изготовлен из уголника размером 30×20×2×2,5 мм. В поясной части рубки (под козодолизаборником) имеется непрокладываемый люк размером в свету 600×800 мм. Крышка люка изготовлена из листа толщиной 2 мм из уголников размером 25×15×1,5×2 мм. По контуру ее имеется резиновое уплотнение. Крышка снабжена ходирбаками.

Для съемы двигателя над машинным отделением в районе 32—38 шп. устроен непрокладываемый люк размером в свету 1400×2550 мм. Толщина листов съемной крышки люка 2 мм. Набор крышки состоит из продольных ребер жесткости Z-образ-

ного профиля размером 25×18×1,5×2 мм, поперечных рамок в комингсе, собранного из листов толщиной 2 мм и уголников размером 25×25×2 мм. Крышка крепится болтами из машинного отделения.

Горизонтальное и междудонное пространство в районе 1—28 и 43—44 шп. изотоплены непроницаемыми, размерами в свету 418×418 мм. Крышки горизонтальные изготовлены заподлицо с палубой и крепятся к палубе при помощи анодов и анкерных гаек. Крышки сделаны из листов толщиной 2 мм, подкрепленных по контуру уголниками размером 25×25×2 мм. Сверху крышки оклеены линолеумом (в районе 1—28 шп.) и рифленой резиной (в районе 43—44 шп.), а также окантованы по контуру двери лентой. Горизонты в палубе второго дна в районе 39—44 шп. изотоплены круглыми, диаметром в свету 268 мм. В настиле в районе 45—47 шп. предусмотрены проницаемые лючки для осмотра; два из них имеют размеры в свету 360—390 мм, а один — 190×310 мм. Крышки люков сделаны заподлицо настилом.

Окна салона — глухие размером 690—800 мм. Они остеклены пленгисглазом, который вставлен в рамы на уплотнительном резиновом жгуте, как у автобусов. На судах последующей постройки на окнах салона предусмотрены сдвижные форточки. В ходовой рубке бортовые окна сделаны из пленгисглаза и вставлены на резиновом уплотнении. Переднее окно размером 470×965 мм открывается из рубан.

Двери салона в переборке на 28 шп. имеют размеры 800×1960 мм. Толщина двери — 45 мм. Рамы двери изготовлены из Z-образного профиля размером 40×25×15×2 мм и швеллера размером 40×25×2 мм. Наружное полотно двери состоит из люралюминиевых листов толщиной 2 мм. Внутренняя сторона двери облицована пластиком. Верхняя часть двери застеклена пленгисглазом с наружной и внутренней сторон; стекло вставлено из резинового уплотнения. Между наружной и внутренней обшивкой двери проложен свой изолитционный матерната марки ВТ-4С, а по контуру двери поставлена уплотнительная резина. По обеим сторонам двери на высоте 1000 мм установлены поручни из доралевых труб диаметром 20 мм.

Двери машинного отделения и туалета имеют размеры 695×1850 мм. Конструкция этих дверей аналогична конструкции дверей в переборке 28 шп. за исключением внутренней обшивки, которая выполнена из доралевого листа толщиной 2 мм. Дверь в кессоборке на первом яхце имеет размеры 750×1357 мм. Конструкция двери подобна конструкции двери машинного отделения. Внутренняя сторона двери облицована пленгисглазом. Двери ходовой рубки имеют размеры 716×1104 мм и изготовлены из доралевых листов толщиной 10—15 мм и утолщением 20×15×1,5×2 мм. Верхняя часть дверей застеклена

органическим стеклом. Стекло сделано гладким с резиновым уплотнением.

Посадочный трап в районе 41—45 ми., имеющий ширину 1200 мм, устанавливается симметрично относительно ДП под углом 43° к палубе. Трапы трапов шириной 250 мм выполнены из листа толщиной 2 мм с обделочными уголниками по кромкам размером 30×30×2 мм. Ступени трапов имеют ширину 300 мм и сделаны из дюралюминиевого листа толщиной 2 мм в уголниках по кромкам размером 25×25×2 мм. Расстояние между ступенями по высоте составляет 194 мм. На ступени наложена резина.

Трап, ведущий из салона на полурак, имеет ширину 780 мм и установлен под углом 60° к палубе. Ступени шириной 214 мм изготовлены из слоевых досок толщиной 20 мм и покрыты сперху алюминиумом, прикрепленным к доскам с помощью обделочного уголника. Расстояние между ступенями по высоте составляет 230 мм. На переборке первого шпангоута установлен перпендикулярный трап, ведущий с полурака на текстильную палубу. Трап имеет ширину 250 мм и изготовлен из дюралюминиевых труб диаметром 26 мм. Расстояние между ступенями по высоте составляет 230 мм.

Съемный забортный трап имеет ширину 436 мм и сделан из дюралюминиевых труб диаметром 36 мм. Ступени изготовлены из труб диаметром 26 мм и расположены одна от другой на расстоянии 300 мм. В рабочем положении трап ниссит с каркасной стороны борта в районе 42—44 ми. Трап-сходня изготовлен из сосновых досок размером 35×135 мм, скрепленных при помощи шурупов доплеречными брусками размером 80×50 мм. Ширина трапа — 610 мм, плита — 2500 мм.

Судовые устройства

Крыльевое устройство состоит из двух крыльев: носового и кормового (рис. 87—89).

Профиль крыла — плоско-пилонный с заостренной входящей кромкой. Крылья крепятся к корпусу тремя стойками. Две из них расположены по бортам на концах крыла в один с ДП. Для кормового крыла в качестве опоры в ДП использован кронштейн гребного вала. Стойки крыльев сделаны разъемными. Нижняя часть стоек приварена к крылу, а верхняя крепится болтами к корпусу. Соединение стоек на фланце — болтовое. Изменение установочного угла атаки крыла производится застопоркой клиньев между фланцами нижней и верхней частей стоек.

На бортовых стойках носового крыла расположены щитки-закрылки, служащие для улучшения остойчивости судна в момент выхода на крыло.



Рис. 87. Схема крыльевого устройства и расположение частей трапов на «Роднике»: 4 — пал. г. 600мм; 5 — пал. г. 600мм; 6 — пал. г. 800мм; 7 — пал. г. 600мм; 8 — пал. г. 800мм; 1 — пал. г. 400мм; 2 — стойка; 3 — палуба; 4 — палуба; 5 — стойка; 6 — палуба; 7 — палуба; 8 — палуба.

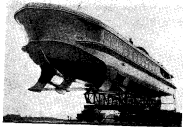


Рис. 88. Технодек «Ракет» из салюта

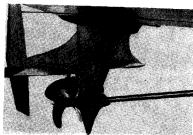


Рис. 89. Кормовое кило и дифференциальная рулевая композиция теплохода «Ракета».

Крылья и стойки крыльев, а также кронштейн гребного вала изготовлены сварными. В качестве материала применена нержавеющая сталь марки Х18Н9Т. Закрышки и их стойки выполнены из дюралюминия. Конструкция их клепаная. Крылья изготовлены из листов толщиной 4,5 мм, подкрепленных с внутренней стороны ребрами жесткости из полос толщиной 3 мм. Носовые и кормовые кронштейны крыльев выполнены в виде кильватерных ножей, к которым привариваются листы обшивки крыла. В местах соединения крыльев со стойками листы крыльев утолщены полосами размером 8×180 мм. Внутреннее пространство крыльев заполнено гекконоластом марки ПС-4.

Нижние части стоек крыльев изготовлены из листов толщиной 20 мм, фланцы стоек — из листов толщиной 12 мм. Верхние части стоек (мачты) и фланцы сделаны из листов толщиной 3 мм. Закрышки и стойки их изготовлены из дюралевых листов толщиной 2—3 мм в угольниках размерами 25×25×2, 30×30×2 и 40×40×3 мм.

На телескопе установлен один спарной балансирный руль общей площадью 1,4 м². При ходе на крыльях площадь погруженной части пера руля равна 0,7 м². Баллер руля диаметром 65 мм изготовлен из стали марки Ст. 3, а перо руля — из листовой нержавеющей стали толщиной 5 мм. Перо руля крепится на двух опорах. Верхней опорой является баллер, врашающийся в люльшиннике с бронзовой втулкой, нижней опорой — ветлан, укрепленный на кормовом крыле. Подшипник нижней ветви имеет резиновую втулку. На баллер руля наложен сектор радиусом 500 мм, который изготовлен из стали марки Ст. 3.

Перекладка руля осуществляется при помощи установленной в ходовой рубке ручной рулевой машины со штуртросовой проводкой к сектору баллера. Угол перекладки руля на каждый борт составляет 45°. Штуртросовая проводка выполнена из троса диаметром 11 мм. На теплоходе предусмотрен ручной аварийный румпель. С 1963 г. на теплоходах устанавливается гидравлическая система управления рулем.

Основные характеристики ручной рулевой машинки

диаметр штурвала, мм	625
Наибольший ход штурвала, м	1,956
Число оборотов штурвала при полной ходе	
шага руля с борта на борт	3,5

Теплоход «Ракета» сконструирован носовым якорем зонтичной лежащей силы весом 35 кг и кормовой цепью каниброном 9 мм и длиной 40 м. Подъем якоря осуществляется арматурой якорной лебедкой с тяговым усилием 300 кг; цепь убирается в цепной ящик через палубный ящик. Конец якорной цепи закреплен в цепном ящике, имеющем устройство для быстрой отдачи якоря. Якорный ящик расположен в ДП (в носовом

фальшборте) и снабжен спиральным роликом. Между якорной лебедкой и клюном устанавливается эксцентриковый стяжка для крепления цепи при стоянке на якоре. Для этой же цели используется тормоз якорной лебедки. Крепление якоря по-ходному осуществляется набоем стяжком с тарелкой. Ручная якорная лебедка (брешиниль) оборудована турникетом для швартовки.

Основные характеристики лебедки

Тяговое усилие, кН	
на заслонках	310
на турнике	415
Скорость, мин ⁻¹	
погоника якоря	1,68
выбросина трека на турнике	0,17
Усилие на рукоятке (при давлении рукава 200 кПа), кН	7
Передаточное соотношение лебедки	14,5

Теплоход снабжен швартовками из манильского каната сечностью 100 мм. Общая длина швартов 20 м. Хранятся канаты в специальных ящиках, предохраненных бортиками. Для швартовки судна предусмотрены четыре арестовных люфтовых киевта с трубами диаметром 70 мм, расположенные по два в районе 29—30 шп. на тентовой палубе и в районе 41—42 шп. на обводах (по одному с каждого борта). На комингсе имеется в тентовой палубе над полубаком установка две утки. Кроме того, на полубаке установлены для битенга диаметром 100 мм, за которые осуществляется буксировка и швартовка теплохода, и кийфас-блок, служащий для заправления швартовного каната на турачии брашилии. Все киевты, утки и битенги изготовлены литыми из алюминиевого сплава марки АЛ8.

Лестничное ограждение на тентовой палубе и поручень посадочного трапа имеют высоту 900 мм. Лестр и лесерны стойки изготовлены из дюралюминиевых труб диаметром 45 мм и толщиной 2 мм. Тентовые скобы и поручень в районе прогулочной палубы забраны из труб диаметром 50 и 45 мм соответственно. Толщина труб равна 2 мм. По борту судна, от носа до прегруженной палубы над окнами, а также по краю рубки установлены поручни из трубы диаметром 22 мм и толщиной 1,5 мм. В качестве лестр служат также антenna, патрубки между мачтой и рубкой на высоте 1250 мм над тентовой палубой.

На тентовой палубе, в районе 6 шп. установлены металлические масти длиной 2400 мм для несения ходовых огней. Масти имеют обтекаемый профиль и заканчиваются в корму на угол 56°. В кормовой части тентовой палубы на 47 шп. установлены слепанный из кевла флагшток высотой 1100 мм и диаметром 40 мм.

В качестве спасательных средств на судне имеется 70 спасательных жилетиков и четыре спасательных круга; 66 жилетиков для пассажиров крепятся под креслами; четыре па-

трудинка для команды размещены в рубке и в машинном отделении. Спасательные круги находятся: два на тентовой палубе (на леере) и два на фальшборте, в районе прогулочной палубы (по одному с каждого борта).

Судовые системы

Для устранения опасов пожара на теплоходе «Ракета» имеется четыре огнетушителя марки ОП-3 и восемь огнетушителей марки ОУ-2. Огнетушители установлены:

в машинном отделении на продольной переборке правого борта в районе 32 и 34 шп. (два огнетушителя ОП-3);

на переборке 1 шп. (два огнетушителя ОУ-2);

по бортам в районе 29—30 шп. (два огнетушителя ОУ-2);

на переборке 42 шп. (три огнетушителя — один огнетушитель ОП-3 и два огнетушителя ОУ-2).

Для осушения отсеков на теплоходе имеется переносный ручной осушительный насос Р31-20 производительностью 1,2 м³/час. Насос хранится на продольной переборке машинного отделения в районе 31—32 шп. по правому борту. Осушительный насос снабжен лорвортовым шлангом длиной 10 м с армированной стекой. Откатка магнита происходит через палубные втулки отсеков по отливному шлангу за борт. Дождевая вода удаляется из актериума через сливной клапан.

Для обеспечения водой санузлов, мытья палубы, промывки фекальной цистерны и унитазов на теплоходе имеется система мытьевой воды. К умывальникам вода подается после фильтрования в песчаном фильтре. Для смысла унитазов, промывки фекальной цистерны и мытья заливы используется забортная фильтрованная вода.

Система мытьевой воды состоит из расходного бака мытьевой воды емкостью 30 л, песчаного фильтра, насоса марки ЭЦН-104 и трубопровода с арматурой. Расходный бак пополняется на ходу за счет использования скоростного напора из системы забортной воды главного двигателя, а на стоянке и при малой скорости хода судна — при помощи санитарного насоса марки ЭЦДЗ-104. Попадание нефтепродуктов воды к умывальникам при режимах работы системы (в том числе и в случае промывки) исключается. Расходный бак оборудован указательной колонкой, запирающимися поплавковым устройством и электрическим манометром, включающим и выключающим санитарный насос. Трубопровод системы выполнен из алюминиевых труб. Трубы соединены между собой в присоединении к оборудованию мытьевой системы с помощью дюропластовых шлангов.

Система питьевой воды обеспечивает потребителей горячей либо охлажденной кипяченой водой. Эта система состоит из следующих элементов: бака запасной воды; кипятильника,

использования тепло выхлопных газов; сборника питьевой воды (тиганиной головки), бака кинетической воды емкостью 25 л, электробака емкостью 8 л и трубопровода с арматурой. Трубопровод системы изготовлен из алюминиевых труб, соединенных сваркой швейцарии, кипятильник — из нержавеющей стали, холодильник и баки — из алюминиевого сплава марки АМд. Общая емкость всех сборников питьевой воды на судне составляет 123 л, из которых 33 л кинетической воды находится в санитарных бачках, установленных в буфете судна, 10 л — в сборнике питьевой воды кипятильника непрерывного действия и 80 л питьевой воды — в запасном баке питьевой воды. Водонагреватель на судне заключается в кипячении воды, охлаждение ее, а также в подогреве кипячим, но остывшей воде в электробаке типа БП-8 емкостью 8 л. Вода в систему питьевой воды из городского водопровода закачивается во время остановок судна.

Сточно-фекальная система состоит из сточно-фекального трубопровода с арматурой и фекальной цистерны емкостью 400 л. Фекальная цистерна оборудована вентиляционным трубопроводом с осадкой, трубопроводом для удаления нечистот (самотеком) за борт, а также унитарным патроном для откачки фекалий и гуммовым трубопроводом. Фекальная цистерна и трубопровод системы изготовлена из стали марки Х18Н9Т.

На судне предусмотрена система естественной и принудительной вентиляции. Поступление сажистого воздуха в салон и рубку обеспечивается на ходу судна в результате использования скоростного напора встречного потока воздуха. На стоянке воздух подается электровентилятором. При помощи отбивного щита, отсылающего дефлектора, а также через отверстия в дверях и форточках в окнах сажистый воздух равномерно распределяется по салону. В машинном отделении помимо вытяжной электровентилятор производительностью 400 м³/час, обеспечивающий 20-кратный обмен воздуха. На ходу судна обмен воздуха в машинном отделении осуществляется воздушодувкой главного двигателя.

Охлаждение салона в рубке — воздушное с использованием тепла воды системы охлаждения главного двигателя. Теплообменник служит радиатор автомобиля ГАЗ-51.

Сливовая установка

Машинное отделение теплохода «Ракета» размещено между переборками 28 и 39 шк. (рис. 90). В качестве главного двигателя на первых теплоходах серии устанавливались дизели марки М50-6 правой модели, на последующих — дизели марки М50Ф-3.

Главный двигатель — дизель марки М50-6, 12-цилиндровый, V-образный, четырехтактный, прямого действия, правого привода с наддувом, со всережимным регулированием и реверсивной муфтой. Максимальная мощность этого дизеля равна при 1700 об/мин 1000 л. с., а дизеля М50Ф-3 — 1200 л. с. при 1850 об/мин. Сорт топлива — специальное дизельное марки ДС. Заменителем служит летнее дизельное топливо марки ДЛ. Сорт масла — анилиновое, марки МК-22 с добавлением 3% (по

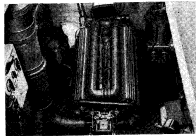


Рис. 90. Машинное отделение теплохода «Ракета».

весу) присадок марки АЗИИ-ЦИАТИМ-1Ф. Заменителем является анилиновое масло марки МС-20 с тем же процентом присадки.

Комплектно с двигателем вставляются следующие контрольно-измерительные приборы: электротахометр для замера числа оборотов двигателя, манометр давления топлива, манометр давления топлива в топливной насосе, манометр давления масла в гидравлической магистрали дизеля, термометры дистанционные (азотермометры) для замера температуры входящей и выходящей пресной воды, входящего и выходящего масла. Мощность передается на гребной винт через вал, соединяемый с реверс-муфтой двигателя фланцевой полумуфтой.

Для зарядки баллонов сжатого воздуха, аккумуляторных батарей и для прогрева главного двигателя перед пуском на теплоходе установлен испарительный агрегат марки ДГК-10-1.

Системы, обслуживающие силовую установку

Масляная система теплохода состоит из расходного маслобака емкостью 120 л, запасного маслобака емкостью 80 л, комбинированного водомасляного холодильника, агрегата предварительной прокачки, ручного маслопрокачивающего насоса марки РН-20, терmostата и трубопровода с арматурой. Расходный маслобак оборудован указательной колонкой, двумя электропрерывателями марки ЭН-350 в одной электропрерывателю марки ЭН-1500, датчиком уровня масла марки СУЭ-2 и двумя сменными фильтрами. Бентилизация маслобака производится через трубу, выведенную в картер реверс-муфты, который вентилируется через трубопровод, подведенный к всасывающей полости нагнетателя двигателя. Расходный маслобак пополняется из запасного маслобака, оборудованного указательной колонкой, вентиляционным патрубком и спускным краном. Масло наливается в запасной маслобак бак через палубную горловину, расположенную на течевой палубе.

Температура выходящего из двигателя масла регулируется автоматическим терmostатом. Контроль за давлением и температурой масла осуществляется дистанционными манометрами и термометрами, установленными на щитах приборов как в машинном отделении, так и в рубке. На трубах масляной системы в самых низких точках установлены сливные пробки. Трубопровод и арматура масляной системы выполнены из алюминиевых сплавов. Трубопровод соединяется с агрегатами с арматурой либо муфтами.

Топливная система состоит из двух топливных баков общей емкостью 1400 кг, двух зутиевых топливных фильтров, агрегата предварительной прокачки топлива, ручного топливопрокачивающего насоса марки РН-20 и трубопровода с арматурой.

Топливные баки имеют указательные колонки, трубопровод вентиляции с отъемными предохранителями и отстойники с самозаворотными кранами. Схема топливопровода предусматривает: прием топлива через палубную горловину в оба бака одновременно или раздельно, питание главного и вспомогательного двигателей из любого бака или одновременно из обоих, подачу топлива из баков на палубу ручным насосом марки РН-20. Топливный трубопровод и арматура выполнены из алюминиевых сплавов и соединены либо муфтами.

На теплоходе имеется двухконтурная система охлаждения главного двигателя; по внутреннему замкнутому контуру (двигатель — комбинированный холодильник) циркулирует пресная вода, прокачиваемая центробежным насосом главного двигателя. Охлаждение воды и масла в комбинированном водомасляном холодильнике производится за-

бротной водой, прокачиваемой насосом забортной водой главного двигателя. Пресная вода поступает через палубную горловину в расширительный бак емкостью 30 л, оборудованный указательной колонкой, патрубками паропровода, а также вентиляционным патрубком. На судах серии предусмотрена сигнализация нижнего уровня воды. Температура пресной воды регулируется автоматическим терmostатом. От забортной магистрали забортной воды сделаны отводы на охлаждение пылевых трубопроводов и глушителей главного и вспомогательного двигателей, к вентилюнику дельфина, на санитарные нужды и на охлаждение компрессора. Для контроля за температурой воды в машинном отделении и в рубке установлены дистанционные изотермометры.

Предзапаренный прогрев главных двигателей перед пуском в холодное время года производится от системы охлаждения вспомогательного двигателя марки 248.5/II или электропрерывателями, имеющими в трубопровод внутреннего контура. Питание электропрерывателей осуществляется с берега, напряжение 220 в.

Система сжатого воздуха состоит из компрессора марки К2-150, входящего в комплекс вспомогательного агрегата марки ДТК-10-1, двух баллонов сжатого воздуха емкостью по 40 л и трубопровода с арматурой. Баллоны рассчитаны на рабочее давление до 150 кгс/см². Каждый баллон слажен предохранительным клапаном и гайкой с расходным и предупредительным вентилем. Контроль за давлением в баллонах осуществляется манометром типа РР-250. Баллоны сжатого воздуха расположены в специальных ящиках в носовой части рубки. Запуск главного двигателя осуществляется при помощи пускового крана, установленного на посту управления в рубке. Воздушный трубопровод сделан из стальных труб с латунной и стальной арматурой и ниппельных соединений.

Газоизжиговая система главного двигателя состоит из выпускного трубопровода и глушителя, который в последнее время не устанавливается.

Для уменьшения задымления во время запуска двигателя у причальной стенки на судне, помимо основного выхлопа по левому борту, имеется дополнительный выхлоп по правому борту. Переключение выхлопа с борта на борт осуществляется из рубки. Устройство выхлопа на оба борта позволяет, кроме того, использовать реакцию выхлопных газов в момент старта судна. Выхлоп вспомогательного двигателя марки 248.5/II производится через автономную систему газоизжига. Выхлопные трубопроводы охлаждаются пресной водой в них забортной водой. В последнее время на судах (в рубке) устанавливается сигнализация, сообщающая о перегреве выхлопного трубопровода главного двигателя.

Выходные трубопроводы главного и вспомогательного двигателей выполнены из стали.

На теплоходе «Ракета» предусмотрено гидравлическое аэростатическое управление главным двигателем из рубки. Гидравлическое управление состоит из заправочного бачка, гидроцилиндра — цилиндра-датчика и цилиндра-выполнителя подачи топлива, цилиндра-датчика и цилиндра-исполнителя разрезов и трубопровода с арматурой. Вся система заполняется атмосферным гидромаслом марки АМг-10. Управление подачей топлива и разрезов осуществляется из рубки при помощи соответствующих рукояток. Имеются также ручное управление из машинного отделения. Контрольно-измерительные приборы главного двигателя: тахометр, аэротермометры воды и масла и манометры масла и топлива — расположены на щитках приборов, установленных в машинном отделении и в рулевой рубке.

Вспомогательный агрегат марки ДГК-10-1 состоит из: дизеля марка 248Л/11 мощностью 10 к. с. при 1500 об/мин; генератора постоянного тока КГ-5,6 мощностью 5,6/2,75 квт, напряжение 28/36 в при 1500 об/мин;

вертикального трапецевидчатого компрессора марки К2-150, производительностью 1,8 д/мин при конечном давлении 150 кг/см².

Запуск вспомогательного двигателя производится с помощью электростартера или пружину. Контрольно-измерительные приборы вспомогательного агрегата марки ДГК-10-1 (тахометр, аэротермометры воды и масла, а также щиток манометров компрессора) установлены на специальном щите в машинном отделении.

Баллонный и движители

Баллонный состоит из гребного и промежуточного валов, соединенных между собой приподнято-свернутой муфтой. Валы и муфта изготовлены из стали марки 2Х13. Упор от гребного винта воспринимается подшипником, смонтированным в реверсивной муфте и допускающим величину упора до 4000 кг.

Гребной вал лежит на двух опорных резино-металлических подшипниках. Один из них расположен в концевом кронштейне, другой, промежуточный, — в дейдвудной ступице, в месте выхода вала из корпуса (на 37 шт.). Дейдвудная сальник крепится к стакану подшипника эластично при помощи дюралевой муфты. В качестве уплотнения сальника дейдвуда применена хлопчатобумажная набивка. Сальника подшипника в концевом кронштейне осуществляется встречным потоком воды. Промежуточный подшипник смазывается водой, подаваемой под давлением от магистрали забортной воды главного двигателя.

В качестве движителя на теплоходе установлен гребной винт (рис. 38), изготовленный латунью из латуни марки ЛМнЖ67-5-2-2.

Основные характеристики гребного винта

Диаметр D , м	0,665
Шаг H , м	0,015
Дисковое отношение Θ	1
Количество лопастей z	6

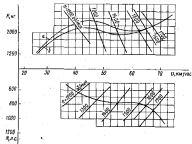


Рис. 38. Паспортная диаграмма гребного винта теплохода «Ракета»:
— расчетная кривая; б — экспериментальная кривая.

Паспортная диаграмма гребного винта теплохода приведена на рис. 38.

Электрооборудование и радиосвязь

На теплоходе «Ракета» принято напряжение: 24 в постоянного тока при питании от судовой электростанции; 24 и 220 в переменного тока при питании с берега. Система распределение электроэнергии — одиоприводная. От источников питания электроэнергия поступает к потребителям через главный распределительный щит. Некоторые потребители получают питание через пульт управления, который, в свою очередь, питается от главного распределительного щита.

Источники питания и схема распределения обеспечивают питание потребителей электроэнергией по всех режимах работы теплохода. Источником питания электроэнергии судовых потребителей в ходовом режиме теплохода является павершевый на главный двигатель генератор постоянного тока типа ГСК-1500 напряжением 27 в, мощностью 1000 а·с с автоматическим регулированием напряжения, защищенный от перегрузок и обратного тока реле-регуляторной коробкой типа РК-1500А, а также аккумуляторная батарея, состоящая из двух последовательно соединенных кислотных аккумуляторных батарей тока БСТК-180М напряжением 12 в, емкостью 180 а·ч каждая. На судне имеется зарядное устройство, обеспечивающее зарядку аккумуляторной батареи при питании теплохода с берега.

Питание потребителей в момент стоянки теплохода происходит от вспомогательного дизель-генератора с генератором типа КГ-5,6 напряжением 27 в, мощностью 5,6 квт. Автоматическое регулирование напряжения генератора типа КГ-5,6 осуществляется угольным регулятором напряжения типа Р-27. От обратного тока защищает дифференциальное-минимальное реле типа ДМР-400Д.

Для аварийного питания потребителей и подзарядки аккумуляторной батареи генераторы соединены параллельно с батареей. Параллельная работа инверторного генератора со вспомогательным не предусмотрена. С целью сохранения емкости аккумуляторной батареи и моторесурса вспомогательного двигателя на стоянке теплохода предусмотрено питание части потребителей береговыми токами напряжением 220 в (через щит питания с берега). Для повышения напряжения до 24 в установлен понижающий трансформатор типа ОБП-0,25 на напряжение 220/24 в, мощность 250 а·ч.

Распределение электроэнергии к потребителям, регулирование напряжения генераторов, управление, контроль и защита источников питания к потребителям от перегрузок и коротких замыканий, а также зарядка аккумуляторных батарей осуществляются при помощи таких распределительных устройств, как главный распределительный щит, установленный в машинном отделении теплохода, пульт управления, который находится в рубке, и щит питания с берега, расположенный в инице на тептовой палубе.

Особенностью конструкций главного распределительного щита и пульта управления являются примененные в них штепсельные разъемы, позволяющие легко снимать устройства. Контроль за работой генераторов осуществляется при помощи амперметров и вольтметров, установленных на главном распределительном щите, и вольтметра, установленного на пульте управления. Работу аккумуляторной батареи контролируют

амперметры, расположенные на главном распределительном щите и пульте управления.

Задача источников питания и потребителей электроэнергии от коротких замыканий и перегрузок осуществляется автоматами типа АЗС и инерционными предохранителями типа ИП. С целью защиты потребителей от коротких замыканий предусмотрены предохранители типов ПК и ПР. Для дистанционного управления потребителями и источниками питания применены контакторы типа КМ.

Зарядное устройство представляет отдельный съемный блок главного распределительного щита. Для повышения напряжения в устройстве использован трансформатор на напряжение 220/127, 36/28 в, мощностью около 300 а·ч. В устройстве применен также селеновый выпрямитель типа АВС-160-110Б напряжением 36 в, силой тока 11 а или выпрямитель, собранный из германниевых диодов типа Д-305, напряжением 50 в, силой тока 10 а. Зарядный ток контролируется амперметром. На щите питания с берега установлена тройная позиционная розетка, предназначенная для включения провода питания с берега.

Для канализации электрической энергии на теплоходе применены провод марки БПВЭЗ, а также склонные кабели марки РШМ и КОВЭ. Сечение проводов и кабелей выбрано по допустимым токовым нагрузкам с проверкой на потерю напряжения. Провода и кабели проложены в трубах или панелях со съемными кожухами.

Непосредственно от главного распределительного щита получаю питание по отдельным фидерам следующие потребители: пульт управления, электровентилятор машинного отделения, осветители машинного отделения, лододилник буфета (через преобразователь), электродвигатель санитарного насоса, электронагреватель масла в расходном баке, свечи накаливания вспомогательного дизеля, стартер вспомогательного дизеля, электродвигатели агрегата предварительной прокачки, электротреклики обогрева рубки и машинного отделения.

На теплоходе «Ракета» установлен санитарный насос за бортовой воды типа ЭЦН-104, приводимый в действие электродвигателем типа Д-100С напряжением 24 в. Схема првода предусматривает как ручное, так и автоматическое управление насосом при помощи теплового реле. Переключение управления осуществляется на главном распределительном щите. Электрический стартер типа СТ-15 вспомогательного дизеля получает питание напряжением 12 в постоянного тока через гасящее сопротивление. Электромагнит устройства аварийной остановки главного двигателя типа АПС получает питание с пульта управления. Включение устройства аварийной остановки производится также с пульта управления.

Агрегат предварительной прокачки имеет приводной электродвигатель типа МПБ-53 напряжением 24 в, мощностью 2 квт. Управление агрегатом осуществляется как с главного распределительного щита, так и с пульта управления. Стеклоочиститель переднего стекла рубки типа АС-2, имеющий приводной электродвигатель напряжением 24 в, получает питание и управление с пульта управления. Циркуляционный насос типа ЭЦН-104 системы обогрева салона приводится в действие электродвигателем типа Д-100С напряжением 24 в. Питание и управление насосом осуществляется с пульта управления.

В машинном отделении теплохода «Ракета» установлены вентилятор типа ЭВК-24, приводимый в действие электродвигателем типа УЭ-120 напряжением 24 в и мощностью 120 вт. Управление вентилятором осуществляется с главного распределительного щита. Предусмотрено аварийное отключение вентилятора из рубки с пульта управления. Вентилятор воздушозаборника пассажирского салона имеет приводной генератор типа Г-20 мощностью 220 вт, используемый в режиме двигателя. Питание и управление вентилятором производится с пульта управления. Вентиляция буфета осуществляется переносным электроприводом типа ВНП напряжением 24 в и мощностью 40 вт. В буфете установлен прожекторный электротрололампник типа «Квикс» сбоорционного действия, питаящийся переменным током напряжением 220 в.

Питание холодильника осуществляется через агрегат типа ОП-120-ФЗ, преобразующий постоянный ток напряжением 24 в в переменный напряжением 127 в, и повышающий трансформатор напряжением 127/220 в, в качестве которого используется трансформатор зарядного устройства. Холодильник может автоматически переключаться на питание непосредственно от береговой сети напряжением 220 в.

На теплоходе установлены следующие сигнально-отличительные огни: бортовой отличительный левый (красный), бортовой отличительный правый (зеленый), гаковый, токовый, отмашки левого борта в нос и корму, отмашки правого борта в нос и корму, клюзиновый (стоячий). На судах последней постройки устанавливаются синхронизируемые отмашки, а прежние используются как бортовые стоячевые огни. В качестве бортовых стоячевых огней применяются одновременно включенные отмашки. Питание огней осуществляется с пульта управления, откуда производится также включение и контроль за огнями с помощью шаровых сигналов. Шаровые сигналы обеспечивают визуальную и звуковую сигнализацию при погасании огней.

В качестве звукового сигнала на теплоходе установлена электросирена типа ЭСС-24 напряжением 24 в. Электросирена получает питание с пульта управления, на котором расположено

жена и кнопка включения сирены. На судах последних серий сирена заменяется на тифо.

Машинное отделение освещается подпалубными светильниками. Для двух светильников, используемых в качестве дежурных, предусмотрено питание как от судовых источников питания, так и от береговой сети. Управление освещением производится с главного распределительного щита. Для дежурного освещения предусмотрен отдельный выключатель с розеткой, используемой также для включения переносной лампы.

Главный распределительный щит освещается светильником. Одна из ламп светильника постоянно включена из щита, вторая получает питание только при подключении береговой сети. От пульта управления осуществляется питание прожектора типа ФЭС-105-44 с лампой накаливания напряжением 24 в, мощностью 100 вт. Управление положением прожектора производится из рубки. Выключатель прожектора расположен на пульте управления. Подсветка коммюса осуществляется встроенной в коммюс лампой накаливания с выключителем на пульте управления. Питание прожектора, освещение провизионного шкафа буфета, прогулочной палубы и рубки производится как от судовых источников, так и электрознергии с берега.

На теплоходе «Ракета» предусмотрена звуковая (звонковая) сигнализация, обеспечивающая двустороннюю связь рубки с машинным отделением и одностороннюю связь рубки с полубаком. Питание сигнализации из рубки в машинное отделение и полубак осуществляется с пульта управления, а из машинного отделения в рубку — от главного распределительного щита. Кнопки сигнализации расположены соответственно на пульте управления в главном распределительном щите.

Масло в расходном баке подогревается от судовых источников питания двумя электронагревателями типа ЭН-350 напряжением 24 в, мощностью 350 вт и одним электронагревателем типа ЭН-1500 напряжением 220 в и мощностью 1500 вт (подогревает масло при поступлении электрознергии с берега). Запасо-гронагреватели получают питание от главного распределительного щита, с которого осуществляется и включение электронагревателей.

Обогрев машинного отделения производится (в случае погоды теплохода с берега) при помощи электропрогрееки типа ГС-1000 напряжением 220 в и мощностью 1000 вт. Электропрогреека получает питание и включается с главного распределительного щита. Рубка сбогревается как от судовых источников питания, так и при питании теплохода электрознергии с берега. Для этой цели используется электропрогреека типа ГС-500 напряжением 24 в и мощностью 500 вт, получающая питание от пульта управления, и электропрогреека типа ГС-1000 напряжением 220 в и мощностью 1000 вт, питаящаяся с главного распределительного

щите. Выключатель электротрекки типа ГС-500 установлен на пульте управления, трекки типа ГС-1000 — на главном распределительном щите. Питьевая вода в буфете подогревается в электробаке типа 5ПЭ-8 напряжением 24 в и мощностью 850 вт, получающим питание от пульта управления. Выключатель электробака установлен в буфете.

На теплоходе «Ракета» имеется радиостанция типа Р-807 напряжением 27 в и потребляемой мощностью 1200 вт. Радиопередатчик станции обеспечивает телефонную работу микрофоном в диапазоне коротких волн частотой 2000—18100 кц. Предусмотрена автоматическая установка заранее настроенных и зафиксированных частот. Радиостанция работает на лучевую антенну и обеспечивает уверенную связь в радиусе до 100 км. Питание радиостанции осуществляется с пульта управления. Для приема широковещательных передач в рубке имеется автомобильный радиоприемник типа А-17 напряжением 12 в, получающий питание от сети 24 в через добавочное сопротивление на пульте управления. Для приемника предусмотрена штыревая телескопическая автомобильная антенна типа АР41-Б.

Передача информационных данных из рубки в салон осуществляется электромегафоном типа ЭМ-2 напряжением 12 в, получающим питание от сети напряжением 24 в через делитель напряжения на пульте управления. Микрофон электромегафона установлен в рубке.

§ 9. ПРОГУЛОЧНЫЙ КАТЕР «ВОЛГА»

Шестиместный катер на подводных крыльях «Волга» предназначен для прогулок, водного туризма и служебно-разъезд-



Рис. 92. Прогулочный катер на подводных крыльях «Волга». Скорость 80 км/час.

ных целей (рис. 92). Катер может использоваться на прибрежных морских линиях, а также на реках, озерах и водохранилищах.

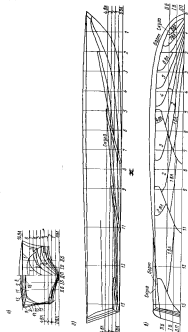


Рис. 93. Технический чертеж катера на подводных крыльях «Волга»: а — корма; б — нос; в — кильватер

Основные характеристики катера

Габаритные размеры, м:	
длина	8,5
ширина	2,1
высота	1,5
Садка габаритная на ватру, м	0,95
в зоне толи из крыльев, м	0,25
Водоизмещение, т:	
корабельное	1,38
полное	1,88
Максимальная скорость, к. с.	77
Скорость эксплуатации, км/час	60
Число пассажиров, включая водителя	6

Днище катера — острокуполое и кильватерное с четырьмя радиальными клиновидными в плане формами (рис. 93). Форма транцевая. Борта развалены в носовой части, а в кормовой части завалены внутрь. Палуба имеет поперечную и продольную коготь.

Общее расположение

Схема общего расположения катера показана на рис. 94. Корпус катера разделен металлическими водонепроницаемыми переборками на три отсека. Первый отсек (район 1—5 шп.)

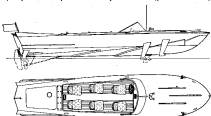


Рис. 94. Схема общего расположения катера «Волга».

предназначен для хранения шкаперского и прочего имущества. Второй отсек (район 6—13 шп.) представляет собой открытый кокпит со съемным тентом для размещения пассажиров и водителя (рис. 95). В районе 6 шп. расположен пост управления катером, состоящий из рулевой колонки, щитка приборов, ручки управления реверс-редуктором и ножной педали управления

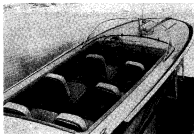


Рис. 95. Кокпит катера «Волга».

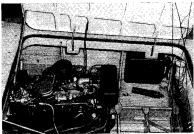


Рис. 96. Моторное отделение катера «Волга».

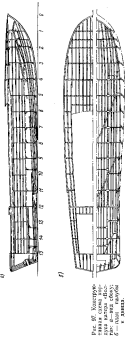


Рис. 97. Контурная схема киль-шпангоутов корабля «Валькирия».

брюсельской заслонкой двигателя. В третьем отсеке, в районе 12 шт. размещены моторные установки и топливный бак (рис. 96).

Машинный люк в районе $12\frac{1}{2} - 14\frac{1}{2}$ шт. закрыт легко открываемой на борт крышкой. На корне в ДП расположена стальная для съемного флагштока. По бортам от 12 шт. до транца находятся стабилизаторы, через которые осуществляется вентиляция машинного отделения. На транце симметрично ДП расположены жалюзи для вентиляции топливного отсека. В корне за палубе (в ДП) установлен гаекбортный огонь. По бортом имеются два воздухозаборника для вентиляции топливного отсека.

Конструкция корпуса

Весь корпус выполнен клепанным из алюминиевомагниевого сплава марки АМг-5В (рис. 97).

Толщина обшивки днища равна 2 мм, бортов — 1,5 мм, палубы — 1,5 и 3 мм. В местах крепления бортовых стоеч края на бортах поставлены усиленные листы толщиной 3 мм. Система набора корпуса принята продольной с пересечениями шпангоутами. Все шпангоуты, кильсо-

ты, карлинги и переборки сделаны из листов толщиной 1,5 мм и окантованы уголками размером: $15 \times 15 \times 1,2$, $20 \times 20 \times 2$ и $25 \times 25 \times 2$ мм (рис. 98). Продольные ребра жесткости выполнены из углобульба размером $20 \times 13 \times 1,2$ мм.

Весь набор и обшивка корпуса герметизируются эластомером марки ГЭН-150. С 1965 г. корпус спаружи и изнутри грунтуетя грунтом марки ВЛ-02. Подводная часть скважин окрашивается эпоксидной эмалью ЭШЭЛ. С внутренней стороны корпус окрашивается эпоксидной эмалью ПФ-54. Надувная часть корпуса окрашивается вентильталезином эмалью ПФ-56. Кроме

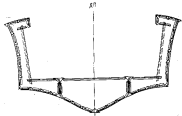
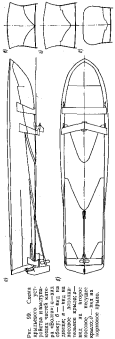


Рис. 98. Модель-изнанка катера «Валькирия».

лакокрасочного покрытия для защиты корпуса от коррозии с 1964 г. предусмотрена протекторная защита четырьмя протекторами марки МЛ-4. Все дельные вещи (туксы, юловые панели, ручки и т. д.) изготовлены латунью из листов марки Л62 с хромировкой.

К деревянным конструкциям в корпусе относятся привальные брусья. Носовой привальный брус расположен непосредственно по обводу корпуса от форштевня до 11 шт. и представляет собой брус из яли сечением 30×55 мм. Кормовой привальный брус размещен от 11 шт. до транца по линии завала борта и имеет сечение 30×40 мм.

Кокпит по бортом отделан панелином, наложенном на фибергласс для изогнуемых листов. По верхнему краю кокпита положен мягкий бутиковый покров, обшитый панелином. В кокпите размещаются шесть индивидуальных мягких кресел или две кресла-диваны и два однолицевых кресла.



Судовые устройства

Якорное устройство катера «Волга» состоит из китерного якоря повышенной держащей силы весом 5,3 кг и двух якорных капроновых концов длиной по 26 м каждый. Якорь крепится по-ходному под палом между кильевыми крыльями, в районе 8—7 шп. Для швартовки на палубе катера установлены две лари уточ: первая пара в районе 7 шп; вторая в районе 11—12 шп. На случай буксировки в носовой части катера установлена утка-эмблема.

Подъем катера осуществляется с помощью трех установленных на корпусе рамок: двух у транца на палубе и одного на днище в ДП у переборки 5 шп.

К спасательным средствам катера относятся шесть пенопластовых нарукавников, хранящихся под сиденьями-креслами, и один спасательный круг с лацом.

Крыльевое устройство катера состоит из первого и второго косовых крыльев и кормового крыла (рис. 99). Профиль крыльев плоско-выпуклый с заостренной входящей кромкой. Крылья спарены из нержавеющей стали марки Х18Н9Т. Они крепятся к корпусу тремя стойками: двумя по борту на концах крыла и одной в ДП. Для кормового крыла в качестве опоры в ДП использован кронштейн гребного вала

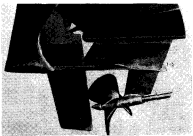


Рис. 100. Кормовое крыло и движущимо-рулевой комплекс катера «Волга».



Рис. 101. Катер «Волга» при ходе по краю в условиях волнения.

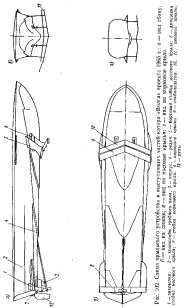


Рис. 302. Схема гидравлической и газодинамической структуры струи в горизонтальном потоке (1955 г.; 8 — пол. схемы).

{рис. 100}. Соединение стоек с корпусом — болтовое. Изменение устанавливающего угла крыла может производиться постановкой клина под планкеры средней стойки с соответствующим поворотом бортовых стоек.

Начиная с 1965 г. серийные катера оборудуются новым крыльевым устройством, обеспечивающим более плавный ход катера на подлодке и снижение сопротивления (рис. 101).

Носовое крыльевое устройство (рис. 102) состоит из двух несущих крыльев — носового и кормового, стабилизатора, установленного за носовыми крыльями, а закрылков, установленных из скулак в нормовой части корпуса. Носовые крыло и стабилизатор — стреловидные в плане (угол $\chi=20^\circ$) и имеют V -образность: крыло — 10° , стабилизатор — 10° . Профили крыльев и стабилизатора прежние. Носовое крыло крепится к корпусу четырьмя стойками, а кормовое — двумя стойками и кронштейном пребного вала. Стабилизатор крепится стойкам носового крыла. Крылья, стойки крыльев и стабилизатор выполнены сплошными из нержавеющей стали марки Х18Н9Т сваркой конструкции.

Электроподогрев крыльевого устройства от корпуса катода осуществляется с помощью прокладок из стекловолокна и пуговиц из материала АГ4С.

Рулевое устройство катера состоит из ручной рулевой колонки, штуртросовой прводки, пера руля и сектора руля. Переходное отложение рулевого устройства равно 5,8. Пере克莱дка руля с борта на борт осуществляется поворотом штурвального колеса. Штуртросовая прводка состоит из нержавеющей троса диаметром 5 мм, патиновых талрепов и направляющих роликов. Общая площадь верха руля, изготавливаемого из нержавеющей стали марки X18H9T, составляет 0,184 м². Установливаемые на секторе рули ограничители позволяют пере克莱дывать руль с борта на угол до 35°. Перо руля крепится к кронштейну штоком на двух опорах с бронзовыми втулками. Для управления катером в случае выхода из строя штуртроса предусмотрены аварийный румпель. Он крепится по-позднему в форпике, на 3—4 чп. На катерах, строявшихся с 1965 г., называемые крепление пера руля. Опорой руля служит блок, врашающийся в верхнем и нижнем подшипниках гальмопортной трубы. Исключен контакт штуртросовой прводки с морской водой. На катере имеется легкосъемное тентовое устройство.

Словарь установки и движений

Силовая установка катера «Волга» размещена в кормовом отсеке. Она состоит из континентализированного бензинового двигателя марки МБ52У мощностью 77 л. с. с наименованием на нем агрегатами и системами, обслуживающими двигатель. Репер-

редуктор размещены вне машинного отделения под застеклом в коконе между 10 и 12 шп. Двигатель и реверс-редуктор установлены на резиновых амортизаторах.

Система охлаждения двигателя выполнена двухконтурной. Вода внутреннего контура двигателя охлаждается в водяном

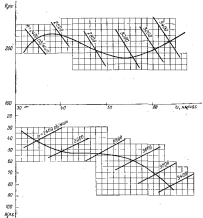


Рис. 103. Паспортные диаграммы гребного винта катера «Волга».

холодильнике забортной воды. Трубопроводы забортной воды выполнены из медных труб с соединением на дюритовых муфтах. Подшипник и сальник лебедки смазываются в охлаждаемой подай, поступающей по трубке от помпы забортной воды. Подшипник кормового кронштейна смазывается непосредственно встречным потоком воды.

Топливная система состоит из бензобака емкостью 80 л, путевого фильтра, топливоподкачивающей помпы с фильтром и

карбюратора. Топливоподкачивающая помпа и карбюратор являются штатными агрегатами двигателя. Топливо подается от топливного бака к топливоподкачивающей помпе самотеком. Топливный бак отделен от машинной установки газонепроницаемой выгородкой.

Система газовоздуха расположена в моторном отделении по левому борту и состоит из выхлопного трубопровода и глушителя. Для снижения нагрева выхлопной системы и эффективности глушения в трубопровод подается забортная вода. Подачу воды можно регулировать при помощи проходного крана, установленного на водной магистрали. Соединение труб выхлопной системы — фланцевое. Трубопровод изготовлен из медных труб марки МЗС. Глушитель сделан из листовой меди марки МЗ. На катараках, стоящих начиная с 1963 г., материал трубопровода — жаропрочный сплав марки МНЖ-5-1.

Управляемые двигатели — дистанционные, с пультом управления. Для управления реверс-редуктором применяется рычаг, расположенный в районе 6 шп.

Приборный щит представляет собой комбинацию приборов автомобиля «Волга», причем спидометр заменен электротахометром марки ТЭ-204. Дополнительно для контроля температуры масла в картере двигателя и в редукторе на пакетах установлены два электротермометра типа УК-24.

Передача мощности от двигателя на гребной винт осуществляется через промежуточный вал, реверс-редуктор и гребной вал, соединенный с реверс-редуктором жесткой муфтой. Гребной вал изготовлен из перекаленной стали марки 2Х13 и установлен на двух резиновых подшипниках. Сальник дебульда установлен на гибком соединении.

В качестве движителя на катере предусмотрен трехлонгастный гребной винт с параметрами: $D=0,335$ м, $H=0,538$ м, $\theta=0,75$, $z=3$. Винт может изготавливаться сварным из перекаленной стали марки X18H9T или литым из латуни марки ЛаМиЖ-67-5-2-2. Паспортная диаграмма гребного винта катера приведена на рис. 103.

Электрооборудование и радиосвязь

Электрическая сеть катера «Волга» работает на постоянном токе напряжением 12 в. Система распределения электроэнергии — однопроводная. Источниками электроэнергии на катере служат: аккумуляторная батарея типа БСТ-66 напряжением 12 в, емкостью 68 а·ч и шунтовой генератор типа Г-21 напряжением 12 в, мощностью 200 вт, наивысший на двигатель. Защита источников электроэнергии от коротких замыканий осуществляется предохранителями.

На катере установлены следующие потребители электроэнергии: стартер судового двигателя, бортовые огничительные огни (два), электризующие сигналы (два), контрольные приборы двигателя (на панели приборов), переносная лампа, часы, радиоприемник, электрическая лампа в моторном отсеке, лампы подсвета щитка управления, система зажигания судового двигателя. Управление потребителями (включение и выключение) производится со щитка приборов водителя. Для монтажа всех электрических цепей, кроме стартерных, применен провод марки ВЛСВЛ, стартерные цепи выполнены из кабелей марки КНРП.

Для приема широковещательных передач в диапазонах средних и длинных волн на антенну устанавливается автомобильный радиоприемник типа А-17. Питание радиоприемника производится от судовой электросети. Автомобильная штыревая антенна радиоприемника расположена перед ветроотбойным стеклом водителя на левом борту.

§ 11. ПАССАНДРСКИЙ ТЕПЛОХОД «МЕТВОР»

Пассажирский теплоход на подводных крыльях «Метеор» предназначен для речных скоростных пассажирских перевозок

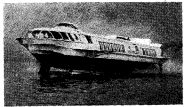
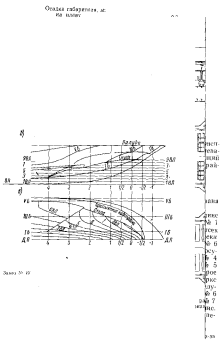


Рис. 184. Высоковибр. телескоп на телескопах Крэмера-Б. «Метеор». Скорость звука 70 км/час.

на пригородных и местных линиях протяжностью до 600 км (рис. 304).

Основные параметры в зависимости от T

Габаритные размерения, м:	
ширина	34,6
высота	8,5
глубина	6



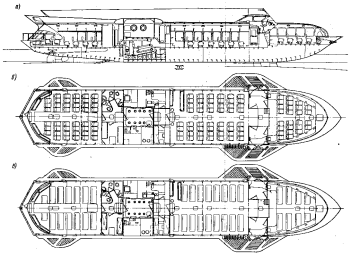


Рис. 106. Схема общего расположения теплохода «Метеор»: а — продольный разрез; б — план главной палубы — паркет для тренировок лейб-гвардии пехоты — паркет для турецких лейб-гвардии пехоты;

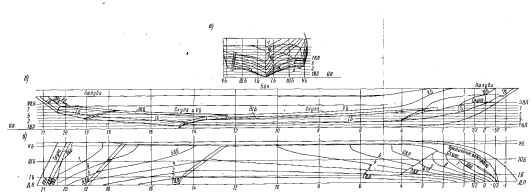


Рис. 103. Теоретический чертеж корпуса теплохода «Метроп».

На катере установлены следующие потребители электроэнергии: стартер судового двигателя, бортовые отопительные печи (2 шт.)

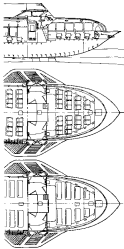


рис. 6 — для общей палубы — вариант для пристаней лодок.

Осадка габаритная, м:	
на плаву	2,8
при доехе за крайнюю	1,2
Водоизмещение полное, т	36,5
Средняя осадка при водоизмещении полном (по корму), м	0,88
Надводное водоизмещение	52,9
Средняя осадка при полном водоизмещении (по корму), м	1,05
Несущесть сливной установки, л/с:	
искусственная	2×900
изосмальская	2×1200
Скорость, км/ч:	
искусственная	62—70
изосмальная	80
Пассажировместимость для транзитного	
перевозки, чел.	128 *
Особенности конфигурации гребнекоренного	
щетника при подъеме водонепроницаемых	
областей плавания	0,285
вокруг материала	0,7
* износ — износ	0,5

Форма носа теплохода — клиновидная, с сильно наклоненным форштевнем, корма — трапециевидная, днище имеет кильватерность. На днище расположены два редана: один, не доходящий до киля, в носовой части корпуса, другой клиновидный, — в районе выхода гребных валов и корме (рис. 105).

Общее расположение

Схема общего расположения теплохода «Метеор» показана на рис. 106.

Корпус судна выше палубы переборок разделен по длине водонепроницаемыми переборками на семь отсеков. Отсек № 1 расположен от форштевня до 3 шп. (форпик). Доступ в отсек осуществляется через люк в палубе надводного борта. Отсеки № 2 (3—15 шп.), № 3 (15—25 шп.), № 4 (25—33 шп.) и № 6 (42—51 шп.) являются отsekами плавучести. Доступ в них осуществляется через люки в палубе переборок. В отсеке № 4 размещена холодильная машина типа ФАК-0,7Е. Отсек № 5 (33—42 шп.) представляет моторное отделение, вход в которое осуществляется с палубы переборок через двери в переборке на 42 шп. В районе 36—37 шп. в палубе расположены люки, служащие запасным выходом из машинного отделения. Отсек № 6 используется для размещения фекальных штетеров, а отсек № 7 от 51 шп. до кормы (актерии) — как румпельное отделение. Доступ в отсек № 7 осуществляется через люки в палубе переборок.

* Пассажировместимость была увеличена до 124 чел. из-за изменения планировки буфета.

Выше палубы верборок в районе 2—11 шп. расположены носовой пассажирский салон на 26 мест (рис. 107), в кормовой части которого имеется багажник, размещенный в погородке под рубкой. В носовой части салона предусмотрено специальное помещение, в котором находятся якорное устройство. Салон имеет два выхода на посадочные площадки, расположенные по бортам в районе 11—15 шп. Там же размещены спасательные круги, отцепители и швартовные канаты. В районе 15—33 шп. расположен средний пассажирский салон на 52 места, который имеет три выхода: один в корму — на прогулочную палубу — и два в нос — на посадочные площадки.



Рис. 107. Носовой пассажирский салон теплохода «Метэро».

В районах 33—42 шп. находятся следующие помещения: по правому борту — двухместная каюта для работников буфета, кладовая буфета, аккумуляторная, насосная станция гидравлики и воздухозаборник моторного отделения; по левому борту — буфет, кладовая буфета, калорифер и шинопроводная кладовая. Помещение между бортовыми помещениями (36—42 шп.) занимает прогулочная палуба. На стенах, выгораживающих прогулочную палубу, размещены спасательные круги и отцепители. Над посадочной площадкой установлен съемный металлический щит обтекаемой формы для защиты пассажиров от атмосферных осадков. В районе 42—46½ шп. расположены каюта для отдыха команды и тузелей.

Кормовой пассажирский салон на 46 мест размещен в районе 46½—62 шп. Салон имеет два выхода: один — на открытую

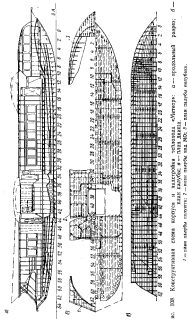


Рис. 108. Конструктивная схема корпуса и палубной техники теплохода «Метэро»: 1 — променадный палуба; 2 — главная палуба; 3 — нижняя палуба погреба; 4 — палуба кают-комнат.

залубу и карму, второй — за прогулочную палубу. На тентовой залубе в районе 10—19 щп. расположена ходовая рубка, полуутонченная в надстройку, и мачтовое антенное устройство.

Конструкция корпуса

Корпус, надстройка и рубка теплохода изготовлены из алюминиевого сплава марки Д16 (листовой материал — Д16АТ, профильный материал — Д16Т). Неответственные узлы и детали выполнены из алюминиевого сплава марок АМц и АМг.

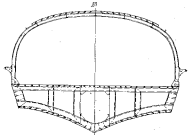


Рис. 109. Микель-шагают теплохода «Метэор».

Система кабора корпуса теплохода смешанная. Шпангоуты корабля имеют размер 500 мм, в надстройке — 1000 мм. Принятые толщины листов обшивки: днища — 2—4 мм; борта — 3—4 мм; палубы — 2,0 мм; палубы надстройки — 1—3 мм. Расположение продольных и поперечных связей корпуса показано на рис. 108 и 109. Поперечные переборки корабля устанавливаются на 3, 15, 25, 33, 42 и 51 щп.

Корпус и надстройки теплохода — клепанные. Фундаментные балки под главные двигатели также выполнены клепанными. В местах соединения с крыльевым устройством корпус имеет соответствующие закрепления.

Изоляция, покрытия, отделка и окраска

Для обстройки помещений и их различные поделки применяется берёзовая авиационная фанера толщиной 2 мм, пропитанная огнезадерживающим составом. При отделке помещений ис-

пользованы авиационный паннон и декоративный пластик. Полы полов салонов, а также переборки и борта выше нижней кромки окон отделаны панноном. Панель салонов до окон отделана пластиком. Стыки панелей закрыты раскладками из профилированного дюралюминия, стыки по подволоке — раскладками, изогнутыми на весна. На судах последней постройки применяется безраскладочная отделка салонов. Для отделки туалетов используется пластик.

В качестве тепло- и звукоизоляционных материалов на судне применяны: теплоизолирующий материал ВТ-4С (капроновое волокно), звукоизолирующий картон и перфорированные дюралюминиевые листы. Пассажирские салоны, каюты, буфет и рубка изолированы по бортам и подволоке слоем теплоизолирующей мастики № 579. Машинное отделение по подволоке изолируется стекломатами из стекловолокна и изолационного материала марки ВТ-4С, уложенным на перфорированные алюминиевые листы. Волокно прокладывается по контуру перфорированных листов. Между панелями и стекломатами имеется воздушная прослойка.

Корпус теплохода грунтуются как снаружи, так и изнутри. Подводная часть корпуса окрашивается краской марки ХС-78С; надводная часть корпуса и надстройка снаружи и открытые участки изнутри покрываются пентафталевой эмалью.

Оборудование помещений

Пассажирские салоны теплохода «Метеор» оборудованы мягкими склоняющимися авиационными креслами с индивидуальными столиками. Кресла прикреплены к палубе переборок без нарушения ее водонепроницаемости. На судах, строящихся с 1962 г., вместо авиационных кресел устанавливаются мягкие диваны. В среднем иормовом салоне вдоль бортов над окнами имеются полки, сделанные из капроновых сеток, натянутых за каркас из дюралюминиевых трубок. На переборках 11 и 32 щп. по бортам предусмотрены вешалки для одежды. В салонах на бортах и переборках имеются также крючки для одежды. Окна салонов закрываются занавесками.

Каюты для отдыха команды оборудованы вензелкой для верхней одежды, столом, шкафом для посуды и тремя складными табуретами, подлокотником для графина и четырьмя шкафами для одежды. В служебной двухместной каюте установлены две металлические кровати размером 1750×650 мм, столик, одно откинутое и одно складное сиденье, вешалка и зеркало (последнее находится на двери).

Буфет оборудован шкафами (шкаф-буфет, шкаф-антрим, шкаф посудный), кладовой для залата продуктов и столом. Ходильный шкаф расположен в нише переборки между 32—

33 шт. В буфете установлены чашечные весы, стационарная электроплитка, два электротермоса ёмкостью 8,8 л каждый, стакаломойка, сливная раковина для мытья посуды, сборник чистящей воды ёмкостью 6 л, водозаборный бак, отжимающийся прилавочный столик. Кроме того, буфет снабжен четырьмя контейнерами бортпроводника БП, четырьмя боксажетайбоками для горячих блюд, необходимой пластмассовой посудой, урной для мусора и зеркалом. На судах последней постройки раздаточное место буфера перенесено на переборку 32 шт. в средний салон.

Ходовая рубка оборудована креслом для водителя, откидным сиденьем для механика и ящиком-столом для штурманского снабжения.

Дельные вещи

Люки в междудонные пространства выполнены непроницаемыми, размером в свету 450×450 мм. Крашки люков изготовлены заводчицо с вставками палубы переборок. Сверху крышки люков оклеены липоэлем. В районе 29–30 шт. расположены люки размером в свету 520×780 мм. Люк в палубе переборок для выемки фекальной ящерины (район 48½–51 шт.) выполнен водонепроницаемым. Крашка люка сделана заполнико с палубой из листа толщиной 2 мм, подкрепленного продольными ребрами жесткости из швеллера размером 30×18×1,5 мм и по контуру угольниками размером 30×20×2×2,5 мм. К палубе крышка крепится на лакерных винтах через уплотнительные прокладки. В плоскости панелей она заделана двумя бимсами.

В палубе переборок, в районе 59–60 шт., в ДП сделана горловина диаметром в свету 270 мм, которая закрывается крышкой из анкерных винтов защадкою с палубой. Крышка изготовлена из листа толщиной 2 мм, подкрепленного по контуру угольником размером 25×25×2 мм, и оклеена сверху липоэлем. Такие же по конструкции горловины диаметром 250 и 270 мм имеются в палубе переборок в районе 53–61 шт. по правому и левому бортам. Они предназначены для осмотра и доступа к местам крепления сток кормового крыла, а также для покраски. В выгородке над кворной лебедкой расположены люки размером 750×800 мм. Крашка люка выполнена из петлях, имеет резиновую уплотнительную прокладку по контуру и скажена запором.

Для съема двигателей над машинным отделением в районе 33½–42 шт. сделан люк размером в свету 2000×2900 мм. Крашка люка выполнена съемной и водонепроницаемой из листа толщиной 2 мм. Набор крышки состоит из продольных ре-

бер жесткости, выполненных из швеллера размером 30×18×1,5 мм, поперечных рамных бимсов — из двутавра размером 102×38×18×2 мм и комингса по контуру крышки, выполненного из листа толщиной 2 мм и угольниками размером 30×20×2×2,5 мм. Крышка имеет по контуру резиновую уплотнительную прокладку в подкимисте из машинного отделения отрывавшимися задраjkами. В крышке люка сделана горловина запасного выхода размером в свету 450×450 мм. Горловина изготовлена непроницаемой, задраивающейся из машинного отделения и с палубы.

Окна в пассажирских салонах выполнены глухими и имеют следующие размеры: в носовом салоне 1100×1050 мм, в среднем и кормовом салонах по борту 868×988 мм и кормовой переборке кормового салона 1000×1600 мм. Остеклены окна пак-сигласом, вынутым по обводам надстройки. В бортовых окна среднего и кормового салонов пак-сиглас вставлены в уплотнительном резиновом жгуте с металлическими раскладками — защемами. Пак-сиглас в окнах носового и кормового салонов зафиксирован дюрализованными планками на винтах с применением резиновых уплотнительных прокладок. На судах последней постройки в окнах среднего и кормового салонов предусмотрены открывавшиеся фрамуги. Кормовые и часть боковых окон в ходовой рубке выполнены так же, как и в носовом салоне. Носовое окно рубки и два боковых (по одному с каждого борта) открываются вперед на петлях. Для носового открывавшегося окна рубки применено бескоское трексловое оконное стекло «стрипекс», которое вставлено в дюрализованную раму из резиновой уплотнительной прокладке.

В двухместной служебной каюте и буфете установлены по одному вентилятору диаметром в свету 492 мм. Стекла вентилятора сделаны из пак-сигласа, вставленного в дюрализованную открывавшуюся раму.

Двери, ведущие с посадочных площадок в носовой и средний салоны, а также двери в попперевых переборках на 32, 33½, 42, 46½ шт. в районе 11–15 шт. выполнены одностворчатыми размером 800×1850 мм. Рама двери изготовлена из дерева и обшита с обеих сторон листами из слонового пластика. Верхняя часть дверей застеклена пак-сигласом, вставленным в уплотнительном резиновом жгуте. По контуру двери поставлена резиновая уплотнительная прокладка.

Двери кают, буфета и туалетов сделаны одностворчатыми, размером 600×1850 мм. Рама дверей изготовлена из дерева. С обеих сторон люки оклеены слонистым пластиком. Дверь в кормовой переборке выполнена размером 600×1200 мм. Она застеклена, открывается наружу и имеет замок изнутри помещения. По контуру двери поставлены резиновые уплотнительные прокладки. Дверь в машинное отделение в районе 42–43 шт.

Наготовлена на дюралюминиевых листов. По контуру ее установлены резиновые уплотнительные прокладки.

Трапы, ведущие из среднего и кормового салонов на прогулочную палубку, в районе 33—35½ и 42—44 шп. имеют длину 1250 мм. Они изготовлены из дюралюминиевых листов, подкрепленных профилями. Расстояние между ступенями равно 200 мм. Трап в рубку шириной 550 мм расположены под углом 75° к палубе. Трап в машинное отделение (в районе 42—43 шп.) шириной 550 мм установлен с наклоном в 60°. Трап в кормовом салоне, ведущий на открытую палубу (в районе 61—62 шп.), имеет ширину 600 мм и установлен с наклоном 60°.

Судовые устройства

Теплоход «Метеор» снабжен одним носовым якорем системы Матросова (вес якоря 75 кг) и якорным тросом к нему диаметром 11 мм и длиной 120 м. Подъем якоря осуществляется якорной электролебедкой с тяговым усилием 340 кг, при этом трос наматывается на барабан электролебедки. Конец троса, закрепленный на барабане, имеет устройство для быстрой отдачи. С целью притормаживания троса при спуске якоря предусмотрены ножевой тормоз лебедки и храповый механизм. Якорная электролебедка имеет следующие технические характеристики:

Мощность электродвигателя, кВт	3
Число оборотов, об/мин:	
электродвигателя	3000—4000
барабана на седеле	9
Скорость набирания троса при заднем якоре, м/сек	8—12
Тяговое усилие на барабане при спуске якоря, кг	340
Усилие на рукоятке при набирании якоря вручную, кг	18

Теплоход «Метеор» снабжен швартовами из майнельского каната окружностью 75 мм. Общая длина канатов составляет 105 м. Хранятся канаты на прогулочной и посадочной площадках в специальных карманах, а в корме — в специальных ящиках.

Для аншлюсок на судне установлено шесть крестовых двойных киеватов с тумбами диаметром 80 мм, расположенных на привалом брусе в районе посадочных площадок по два с каждого борта и в корме на открытой палубе по одному на борт. Кроме того, в диаметральной плоскости на кормовой открытой палубе установлена киповая пластина. Швартовные киеваты и киповая пластина изготовлены из алюминиевого сплава марки АЛ8. Буксиронка теплохода осуществляется за косовые киеваты, а также за рым в носовой части.

На теплоходе «Метеор» установлено для балансирных рулей. Полная площадь каждого руля равна 1,2 м², рабочая площадь при ходе на крыльях — 0,52 м². Оба руля сделаны сплошными из листовой марки Д16АТ (специальность для изготовления рулей стала применять сплав АМг-61). Каждое перо руля крепится на двух опорах. Верхней опорой служат баллеры, вращающийся в подшипнике, который прикреплен к корпусу на резиновой прокладке. Нижней опорой является петля, укрепленная на плоскости кормового крыла и имеющая подшипник с резиновой втулкой.

Перекладка руля осуществляется при помощи гидравлической системы. Эта система обеспечивает как управление через кран-манипулятор, так и аварийное ручное гидравлическое управление. Время перекладки рулей с борта на борт (~70°) составляет 20 сек. Гидравлическая система управления рулями включает силовую систему и систему ручного управления. Силовая система состоит из расходного гидробака емкостью 35 л, двух гидроакоссов марки 4653, извещателей на главные датчики, гидрокомпьютеров, фильтра марки ФГ11/1, крана манипулятора, трубопроводов и арматуры. В системе предусмотрены ручной насос марки НР-01 для прокачки системы. Рабочее давление жидкости в силовой системе составляет 40—60 кг/см².

Ручная система управления состоит из гидроакосса марки 4358Ф с ручным приводом, расположенным в рубке, распределительного бачка емкостью 2 л, трубопроводов и арматуры. Рабочей жидкостью системы является авиационная гидросмесь марки АМг-10. Контроль за работой гидросистемы осуществляется при помощи манометров. Трубопроводы системы изготовлены из нержавеющих труб марки X18Н19Г. В системе применяется стандартная арматура авиационной промышленности.

Крыльевое устройство теплохода «Метеор» состоит из двух несущих подводных крыльев и двух закрылок, установленных на бортовой и днищевой стойках носового крыла. Крылья сделаны плоскими с некоторой V-образностью в средней части (рис. 110—112). Профиль крыла — плоско-выпуклый с заостренной входящей кромкой.

Крылья крепятся к корпусу стойками: носовое крыло — двумя бортовыми и двумя днищевыми, а кормовое — двумя бортовыми; в качестве промежуточных опор кормового крыла использованы концевые кронштейны гребных валов. Стойки крыльев выполнены разъемными. Нижняя часть стоек приварена к плоскости крыла, а верхняя крепится болтами к корпусу. Предусмотрено фланцевое соединение деталей стоек. Чтобы установленные углы крыльев могли изменяться, между фланцами стоек стоят клеммы. На кронштейнах бортовых стоек кормового крыла при помощи фланцевого соединения крепятся закрылки. При необходимости угол установки закрылков может быть

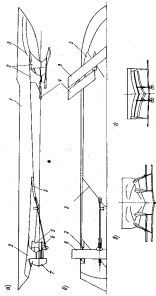


Рис. 110. Схема кривошипного устройства и испытания (воздухометрическим методом) амортизатора самолета «Метеор». а — для силы сжатия; б — для силы растяжения.
1 — шарнир; 2 — втулка винтовая; 3 — колесо; 4 — тяга для наклона; 5 — вал для наклона; 6 — стоека; 7 — горизонт; 8 — вертикаль.

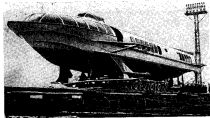


Рис. 111. Тесты самолета «Метеор» на склоне.



Рис. 112. Крученое склонение и динамомеханический испытательный комплекс самолета «Метеор».

каменем путем постановки клиньев между фланцем кронштейна и закрылка.

Крылья, стойки, кронштейны стоек и кишеневые кронштейны имеют скользящую конструкцию и изготовлены из архитектурной стали марки X18Н9Т. Закрылки, также скользящей конструкции, сделаны из сплава АМг-6Л. Крылья теплохода «Метеор» изготовлены из листов толщиной 4, 8 и 12 мм, которые припаяны по носовой и коренной кромкам к специальным профилям, выполненным в виде хомутовидных ножек. Нижние части стоек изготовлены из листов толщиной 23 мм, а верхние — из листов толщиной 4 и 5 мм.

В качестве спасательных средств на теплоходе «Метеор» имеются: 134 пневматических спасательных кругов на палубе, восемь спасательных кругов и две надувные двухместные резиновые лодки марки ЛАС-5М-2. Спасательные нагрудники размещены: под рубкой в носовом салоне, в лице среднего салона по правому борту, в районе 32–33 шт., и в корицентре салона, в районе 57–58 шт., в специальных ящиках. Кроме того, нагрудники имеются в каютках команды и в рубке. Спасательные круги размещены на прогулочной площадке (4 шт.), на 11-й переборке (2 шт.) и на корицентре (2 шт.). Одни из спасательных кругов спущены на палубу длиной 30 м. Резиновые лодки хранятся на площадках в корицентре салона.

Для погашения ходовых огней на крыше рубки установлена дюраалюминиевая мачта.

Судовые системы

Для устранения очагов пожара в машинном отделении на теплоходе «Метеор» имеется углекислотная система пожаротушения, а в различных местах судна размещено шесть огнетушителей марки ОГ-5 и шесть углекислотных огнетушителей марки ОУ-2. На судах последней постройки углекислотная система заменена системой с составом «Эльфа».

На теплоходе предусмотрена система осушения. Осушение носовых отсеков осуществляется по централизованной схеме, а корицентровых — по централизованной. Средством осушки служит самовсасывающая помпа производительностью 20 м³/час, напечатанная на вспомогательный агрегат ДГКП. Магистральные трубопроводы осушки отсеков изготавлены из полимерных труб, а в машинном отделении — из алюминиевых труб. Отростки системы осушки на магистральном трубопроводе снабжены невозвратно-запорными клапанами, имеющими дистанционные приводы с палубы. Магистральные трубопроводы осушки корицентровых отсеков, как и магистральный трубопровод осушки носовых отсеков, подходит к патрубкам установленной в машинном отделении клапанной коробки, со-

стоящей из трех невозвратно-запорных клапанов. Одна из патрубков клапанной коробки соединена с отростком осушкиния машинного отделения. Средством осушкиния машинного отделения является также ручной насос марки РН-20 производительностью 1,2 м³/час. Откачка воды этим насосом осуществляется при помощи гибкого шланга с присоединительной сеткой на свободном конце. Насос марки РН-20 может быть использован и для откачки отработанного масла из масляной системы двигателя.

Салютная система на судне состоит из систем мытьевой и питьевой воды, выполненных автономными. Система мытьевой воды включает насосный фильтр, салютарный насос марки ЭЦН-104, пневмодистрибутор и трубопровод с арматурой. К умывальникам подается фильтрованная вода, а для других целей в мытьевой системе используется нефильтрованная засторенная вода. Трубопровод системы выполнен из алюминиевых силиконовых марок АМг и АМг-1 и из полипропиленовых труб.

Система питьевой воды состоит из расходного бака емкостью 110 л, дистрибьютера запаса воды емкостью 190 л, двух баков — сборников питьевой воды, кранетильника, работающего на выхлопных газах, запородвижки для солеводления кинетической воды, стаканомойки, посудомойки в трубопроводе с арматурой. Система предусматривает пополнение запаса воды через горловину, установленную на тентовой палубе. Трубопровод изготовлен из алюминиевого сплава марки АД-1 с соединением на муфтах. Общая емкость цистерн и баков системы составляет около 350 л.

Сточное-фекальное трубопровод, предназначенный для отвода сточных вод из сантехники судна. Сточные воды от унитазов отводятся в фекальную цистерну емкостью 600 л и оттуда по магистральному фекальному трубопроводу — за борт или через особый патрубок, оборудованный упитарным патролом, откачиваются фекальными насосами специальной станции. Фекальный трубопровод снабжен захлопкой, что позволяет закрывать сток из фекальной цистерны и пломбировать захлопку в закрытом положении при проходе судна через зоны строгого санитарного режима. Фекальная цистерна оборудована санитарным трубопроводом, на конце которого устанавливается клапан. Эта дистрибьютер и трубопроводы изготовлены из стеклопластика.

На теплоходе «Метеор» предусмотрена система естественной и искусственной вентиляции. Во время хода судна для вентиляции используется скорость вентилятора испаряется скоростью вентилятора испаряется встречного потока воздуха через пневматические вентиляционные щели, установленные на тентовой палубе, и открывающиеся фрамуги в окнах. На кратковременных стоянках судна 10-кратный обмен воздуха в помещениях пассажиров обеспечивается при помощи осевого вентилятора. Подача воздуха к вентиляционным помещением на стоянках осуществляется через магистральный

трубопровод. Для вентиляции машинного отделения на стойках используются два вентилятора типа ЭВК производительностью 400 м³/час каждый. Они обеспечивают 20-кратный обмен воздуха. Во время хода судна вентиляция машинного отделения достигается за счет подсоса свежего воздуха нагнетателями надувом главных двигателей.

Охлаждение теплохода «Метеор» воздушное. В качестве радиаторов применяются автомобильные радиаторы типа ГАЗ-51. Вода в радиаторы подается из внутреннего контура системы охлаждения главных двигателей. Подогретый в калориферах воздух поступает через воздушные каналы в отапливаемые помещения. Вентиляция отработанного воздуха из помещений производится через бортовые вентиляры и вытяжные трубопроводы.

Силовая установка

Машинное отделение теплохода «Метеор» расположено во днище судна между водонепроницаемыми переборками на 33 и 42 пятах. Сверху машинное отделение ограничено платформой, в которой сделан люк для погрузки и выгрузки механизмов, закрытый съемной крышкой. Машинное отделение имеет два выхода: один со стороны кормового салона, другой — через люк в платформе.

В качестве главных двигателей на теплоходе устанавливаются два дизеля марки М50-Ф3 правой и левой моделей. Дизель 12-цилиндровый с V-образным расположением цилиндров, четырехтактный, простого действия, с наддувом, водяным охлаждением и реверсивной муфтой. Максимальная мощность двигателя составляет 1200 л. с. при 1850 об/мин, эксплуатационная мощность 900 л. с. при 1650 об/мин. В качестве топлива используется специальное дизельное топливо марки ДС. Масло прямого авиационного марки МК-22 с добавлением 3% по весу присадки АЗИИ-ЦИАТИМ-1Ф. Заменительем служит авиационное масло МС-20 с добавлением указанной присадки. Удельный расход топлива составляет 184 г. с. л. с./час, в масле — 10 г. с. л. с./час. На судах последней постройки устанавливаются двигатели марки М-400 с максимальной мощностью 1100 л. с. Они отличаются от дизелей типа М-50 конструкцией блоков и увеличенным моторесурсом (1000 час.).

Каждый главный двигатель работает непосредственно на свой валопровод, жестко соединенный с фланцем реверсивной муфты двигателя при помощи фланцевой полумуфты.

В качестве вспомогательной энергетической установки на теплоходе установлен комбинированный агрегат дизель-генератор — компрессор-помпа ДГКП-10-1. Агрегат состоит из дизеля марки 24-33/1, мощностью 10 л. с. при 1500 об/мин со стар-

тершим и ручным пуском, генератора марки КГ-5,6, компрессора марки К2-150 и самовсасывающей помпы.

В машинном отделении, кроме главных и вспомогательного двигателей, расположены следующие механизмы и оборудование:

Наименование	
Агрегат предварительной прокачки масла и топлива	2
Аварийный гравитационный насос РН-20 для масла	2
в топлива	
Насос смазочной системы ЭШ-104	1
* Для первичной топливной ЭШ-104	1
* Осушительный РН-120	2
Холодильник комбинированный СБ-700*	2
Баллон для воздуха	2
Бак топливный емкостью 180 л	6
* Маслобак емкостью 110 л	2
* Запасного масла емкостью 150 л	2
* Расширительный водной емкостью 30 л	2
Глушитель	2
Фильтр топливный	2
* масляной	2
* масляный сливочный	2
Помпа электроборудование	1
Щетки приборов главного двигателя	1
* ДГКП-10-1	1
Вентилятор	2
Верстак	1
Ящики запасных частей	3
Ответственный	1
Пневматикер	1
Хранение масла гидравлического	1

Системы, обслуживающие силовую установку

Топливный трубопровод обеспечивает топливом главные двигатели и двигатель агрегата ДГКП. Топливоподающая система каждого из главных двигателей состоит из трубопровода, фильтра топливной очистки, агрегата предварительной прокачки масла и топлива, а также арматуры. На топливных трубопроводах главных двигателей установлены один ручной насос марки РН-20 (за случай, если по каким-либо причинам подавляющие агрегаты выйдут из строя).

Подача топлива к главным двигателям и вспомогательному агрегату ДГКП происходит из магистрального трубопровода, соединяющего группы топливных баков, которые установлены по обеим бортам теплохода в машинном отделении. Каждая группа состоит из трех вкладышных топливных баков емкостью ~380 л каждый, сообщающихся между собой при помощи

* На судах землеройной постройки установлены гравитационные ВХД-5-1 и МХД-4.

координительного трубопровода. Группы баков оборудованы указательными колонками, вентиляционными трубами с отверстиями предохранителями, расходной арматурой и самозаворотными сливными кранами. Правое топливо на судне осуществляется через специальные горловины с обонь бортов. Для удаления топлива из судна, а также для перекачки его из одной группы баков в другую установлены перекачивающие насосы производительностью 1 м³/ч при напоре 1,3 кг/см². Трубопровод и арматура выполнены из алюминиевого сплава. Трубы соединены на дюритовых муфтах и фланцах.

Масляная система каждого двигателя состоит из расходного бака емкостью 110 л, двух парных фильтров (одна пара установлена непосредственно в расходном баке, вторая — при выходе из главного двигателя), терmostата, вспомогательной секции комбинированного водомасляного теплообменника марки СБ-790 (МХД-4), агрегата предварительной прокачки масла, запорной и регулирующей арматуры и дистанционных указательных приборов давления и температуры. На маслопрокачивающих трубопроводах главных двигателей предусмотрен один ручной насос марки РН-20. Он используется в случае выхода из строя подкачивающих агрегатов.

Каждый расходный маселенный бак оборудован указательной колонкой, датчиком дистанционного указателя уровня, вентиляционной трубой и сливным трубопроводом с запорным краном. Подача масла в расходные баки происходит из бака основного запаса масел емкостью 150 л. Бак оборудован указательной колонкой, вентиляционной трубой с отверстиями предохранителями и алюминиевыми трубопроводами с залитой горловиной, установленной в специальной нише. Отработанное масло из двигателя сливаются по специальным трубкам, снабженным запорной арматурой. Эти трубы при помощи дюритового шланга соединены с осушительным насосом марки РН-20, который может быть использован для удаления отработанного масла с судна и перекачки его в емкость. Трубопровод масляной системы изготовлен из труб алюминиевого сплава, соединенных муфтами.

Воздушная система на теплоизоде «Метеор» обеспечивает пуск главных двигателей. На судах последней постройки применяется отбор воздуха через редукционный клапан за тифом. Система состоит из двух воздухоохранителей — баллонов емкостью 40 л каждый, рассчитанных на рабочее давление 150 кг/см², предохранительной, запорной вспомогательной и тросовой арматуры и трубопровода, изготовленного из стальных труб на штуцерных соединениях. Баллоны заполняются сжатым воздухом от агрегата ДГКП-10-1.

Газовыходные системы главных и вспомогательного двигателей выполнены автономными. Система газовыходов каждого из главных двигателей состоит из тройника, объединяющего

газовыходные тракты обоих выхлопных коллекторов двигателя, трубопровода, глушителя и компенсаторов. Для гашения шума и охлаждения газовыходной системы используется забортная вода, которая впрыскивается в газовую полость тройника. Тройники, соединяемые непосредственно с двигателем, выполнены из стали, а глушитель и трубопроводы — из алюминиевых сплавов. Трубы газовыходной системы соединены между собой при помощи разъемных компенсаторов, изолированных плюти металлом. На судах последней постройки устанавливаются компенсаторы сальникового типа. В газовыходную трубу вспомогательного двигателя с целью гашения шума и охлаждения трубу также подается забортная вода из системы охлаждения двигателей.

Система охлаждения и подогрева главных двигателей состоит из двух трубопроводов: трубопровода забортной воды и трубопровода пресной воды. Трубопровод забортной воды обеспечивает подачу воды к главным и вспомогательным двигателям и на судно в целом. Система подачи забортной воды включает два магистральных трубопровода, обеспечивающих прямой поток воды от двух приемных крановом в стойках крыльев, двух фильтров (по одному фильтру на каждую магистраль) и двух отливных магистралей с отливными кранами. Движение воды в системе обеспечивается помпами забортной воды, размещенными на главные двигатели, а также за счет скоростного напора встречного потока воды при ходе судна. Забортная вода проходит через комбинированный водо-водомасляный радиатор и охлаждает воду внутреннего контура двигателя. От напорных магистралей системы забортной воды сделаны отводы на охлаждение газовыходной системы, для смазки резиновых подшипников дебульда и промежуточного кронштейна, а также предусмотрен патрубок с прозодным краном для подачи забортной воды на санитарные нужды. От напорной магистрали одного из главных двигателей сделан отвод забортной воды на охлаждение выхлопного трубопровода вспомогательного двигателя и охлаждение компрессора. При необходимости забортная вода может быть подана во внутренний контур охлаждения этого двигателя.

Системы зереной воды главных и вспомогательного двигателей обеспечивают охлаждение их, прогрев главных двигателей перед пуском, а также обогрев пассажирских помещений и рубки. Система охлаждения каждого главного двигателя имеет трубопровод, подающий воду от двигателя к терmostату, откуда она поступает к помпе пресной воды двигателя через водо-водянную секцию холодильника или мини-холодильник. К нагнетательным патрубкам помп пресной воды главных двигателей подведены трубы обогрева.

соединенны с трубопроводом охлаждения вспомогательного двигателя. При помощи установленной на этом трубопроводе переключающей арматуры главные двигатели прогреваются теплом отходящей воды вспомогательного двигателя и охлаждаются самим вспомогательным двигателем. Впоследствии для прогрева двигателей без работы вспомогательного агрегата в системе внутреннего контура были установлены электрогреатели напряжением 220 в., питавшиеся с берега.

К отходящему трубопроводу пресной воды главного двигателя левого борта присоединена водяная магистраль отопления, подводящая воду в отопительный радиатор. Количество воды, поступающей в отопительный радиатор, регулируется проходными кранами, установленными на отходящем трубопроводе пресной воды главных двигателей и на магистрали отопления. Система пресной воды заполняется из двух расширительных бачков емкостью по 30 л каждый. Бачки оборудованы воздухоудалительными стеклами и сигнализаторами нижнего уровня марки СУЗ-2. Расходные бачки заполняются водой через временные трубы, сжатые пальцевыми втулками. Входящий и отходящий трубопроводы пресной воды главных двигателей и отходящий трубопровод охлаждения вспомогательного двигателя оборудованы карманами для установки датчиков дистанционных термометров. Трубы изготовлены из сплава марки АМгМ. К главным и вспомогательному двигателям они присоединяются фланцами и муфтами; соединение труб между собой и присоединение к арматуре производится на дюритовых муфтах.

Управление реверсом и подачей топлива главных двигателей осуществляется дистанционно из рубки при помощи гидравлической системы. Гидросистема управления главных двигателей состоит из цилиндров-датчиков, расположенных в рубке, цилиндров-исполнителей, размещенных на двигателях, заправочного бачка, трубопровода и арматуры. Трубопроводы изготовлены из verzакующей стали марки X18Н9Т. Для удаления из системы воздуха установлены воздухоудалители.

Машинная установка теплохода «Метеор» имеет дистанционный пост управления, расположенный в ходовой рубке. На посту размещены органы управления главными двигателями, а также контрольно-измерительные приборы (рис. 113). Для контроля за работой главных двигателей установлены два приборных щита: один — в машинном отделении, другой — в ходовой рубке. На каждом из этих щитов расположены следующие приборы: электротахометр для замера числа оборотов дизеля, манометр давления топлива, поступающего в топливный насос, манометр давления масла главной масляной магистрали, термометры дистанционные (виротермометры) для замера температуры входящей и выходящей пресной воды и масла. Кроме этих прибо-

ров, на щите управления в ходовой рубке установлены: указатель уровня масла, манометр давления масла в гидросистеме, манометр давления пускового воздуха и манометр давления масла за выходе из двигателя.

Для контроля за работой вспомогательного агрегата ДГКП-10-1 в машинном отделении имеется щиток, на котором расположены приборы: тахометр для замера числа оборотов двигателя, манометр давления масла в двигателе, термометры для замера температуры воды, входящей в двигатель и выходя-

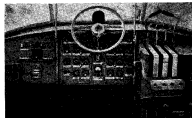


Рис. 113. Пульт управления в ходовой рубке теплохода «Метеор».

щей из него, термометр для замера температуры масла в двигателе, манометры давления компрессоров первой, второй и третьей ступеней.

Валопровод и движители

Линия вала имеет угол наклона к основной плоскости примерно 12°. Каждый валопровод состоит из двух валов — концевого и промежуточного, соединенных промежуточной муфтой. Промежуточный вал соединяется при помощи фланцевой полумуфты с фланцем реверс-муфты главного двигателя. На гребной вал наложен гребной шнёт. Диаметр шеек валов равен 80 мм. Валы изготовлены из нержавеющей стали марки 2Х13.

Передача упора гребного винта на корпус осуществляется через упорный подшипник, установленный в рабочей муфте главного двигателя. Каждый валопровод имеет три опорных

резинометаллических подшипников; один подшипник разъемной конструкции установлен в дейдвудной трубе, два других, неразъемных — в концевом и промежуточном кронштейнах. Валопровод смонтирован также дейдвудным сальником, который соединен с насыпным концом дейдвудной трубы при помощи лабиритовой муфты. Для забивки сальника применяется материал марки ХВП.

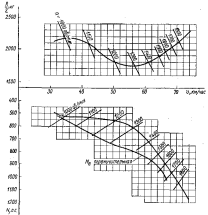


Рис. 114. Паспортные диаграммы гребного винта теплохода «Метеор».

Смазка подшипников валопровода осуществляется забортной водой. К подшипнику концевого кронштейна вода подается под действием скоростного напора истечения потока, а в подшипники дейдвуда и промежуточному — от магистрали забортной воды системы охлаждения главного двигателя. Дейдвудный сальник смазывается также забортной водой через внутреннюю полость дейдвудной трубы.

В качестве движителей на теплоходе установлены два гребных винта левого и правого вращений. Гребные винты имеют следующие параметры:

Диаметр D, м	6,69
Шаг M, м	0,85
Дисковые опоры в %	1,3
Число лопастей z	6

Паспортная диаграмма гребного винта теплохода приведена на рис. 114.

Электрооборудование

Судовые источники электроэнергии обессычитывают теплоход «Метеор» постоянным током напряжением 24 в. Возможна питание с берега и переменным током напряжением 220 и 24 в. Система канализации электроэнергия напряжением 24 в принят однопроводная (корпус используется в качестве обратного провода), напряжением 220 в переменного тока — двухпроводная.

В качестве источников электроэнергии на теплоходе имеются четыре аккумуляторные батареи типа БСТК-180 напряжением 12 в каждая, емкостью 180 а·ч при 20-часовом разряде. Для получения напряжения 24 в аккумуляторные батареи соединены во 2 шт. последовательно в две группы, а для получения емкости 360 а·ч две группы соединены параллельно. В качестве других источников используются два генератора типа ГСК-1500 мощностью по 1 квт, напряжением 25 в, каждый из которых питает на главный двигатель теплохода, и генераторный генератор типа КГ-5,6 мощностью 5,6 квт, напряжением 28 в.

Система распределения электроэнергии на теплоходе «Метеор» — фидерная. Электроэнергия от генераторов и аккумуляторных батарей, а также при питании с берега переменным током напряжением 220 в поступает к главному распределительному щиту, установленному в машинном отделении. От главного распределительного щита питание получают следующие потребители:

- электроприводы машинного отделения;
- электродвигатель санитарного насоса;
- электрохолодильная установка;
- свечи накаливания вспомогательного дизеля;
- электронагреватели для подогрева масла напряжением 24 в;
- щитик приворов буфета;
- панель с электроаппаратурой (в рубке);
- освещение машинного отделения, проходов, кают, нормальное и дежурное освещение салонов;

устройство дистанционного запуска главных двигателей;
электродвигатель якорной лебедки;
электроповодитель салона;
электродвигатель топливонапораживающего насоса.

Питание прожектора, сигнальных и отключительных огней, склоночесителя, пневмоклапанов системы пуска главных двигателей, радиостанции, радиотрансляционной установки, щитка компаса, указателей положения руля и контрольных приборов главных двигателей осуществляется через панель с электропаритетурой, расположенной в рубке.

Коммутационной схемой главного распределительного щита предусматривается:

питание всех потребителей судна от аккумуляторной батареи;
параллельная работа на шины обогащенных генераторов типа ГСК-1500 с аккумуляторной батареей;

параллельная работа на шины любого из генераторов ГСК-1500 с аккумуляторной батареей;

параллельная работа из шин вспомогательного генератора типа КГ-5,6 с аккумуляторной батареей;

питание потребителей сети дежурного освещения от сети переменного тока напряжением 220 в через трансформатор напряжением 220/24 в. Кроме того, коммутационная схема исключает параллельную работу генераторов ГСК-1500 с генератором КГ-5,6.

Задача фидеров от токов короткого замыкания и перегрузки осуществляется токовыми автоматами типа АЭС, предохранителями типа ТП и блоками защиты типа БЗ. Генераторы типа ГСК-1500 защищены от токов короткого замыкания блоками защиты типа БЗ. Для защиты генератора типа КГ-5,6 от обратного тока применяется дифференциальное реле типа ДМР-400Д. На распределительном щите установлен также тутоплавкий предохранитель типа ТП.

Автоматическое регулирование напряжения и защита панелей генераторов типа ГСК-1500 от перегрузок и обратного тока осуществляются реле-регуляторными коробками типа РК-1500. Напряжение вспомогательного генератора типа КГ-5,6 на теплоходах «Метеор», построенных до 1963 г., регулировалось арочную при помощи ручного регулятора возбуждения типа РЗВ-0,16 на панели электрооборудования в машинном отделении. На теплоходах, выпускавшихся с 1963 г., напряжение регулируется автоматически при помощи угольного регулятора типа Р-97.

Для контроля за работой генераторов на главном распределительном щите в на панели с электропаритетурой устанавливаются амперметры и вольтметры. На теплоходах, выпускавшихся с 1963 г., вместо вольтметра устанавливается вольтамперметр, также контролирующий работу аккумуляторной батареи.

Для кабелизации тока электрических сетей применяются провода марок ЛИРГС и КНР. Сечения кабелей и проводов выбраны в зависимости от плотности тока с проверкой для части фидеров на падение напряжения.

Кроме постоянной подзарядки аккумуляторных батарей от заряжающих или вспомогательного генераторов, включаемых параллельно с батареями, на теплоходе «Метеор» предусмотрена зарядка батарей от зарядного устройства, которое получает питание от береговой сети напряжением 220 в и рассчитано на раздельную зарядку каждой группы батарей по методу «постоянного напряжения». На судах посредствующей постройки мощность зарядного устройства увеличена.

Электроприводные механизмы и электронагревательные приборы

Электропривод санитарного насоса состоит из электродвигателя типа Д-100С напряжением 24 в и мощностью 100 вт, щетка включения и манометрического реле. Включение и отключение электродвигателя производится автоматически при помощи манометрического реле, установленного на гидрофоне.

Электропривод масляно- и топливонаправляющие агрегатов предварительной прокачки состоит из электродвигателей типа МПБ-53 напряжением 24 в и мощностью 2 квт, контакторов типа КМ-200Д и пусковых кнопок. Включение каждого электродвигателя в сеть осуществляется непосредственно через контактор КМ-200Д с двух мест — из ходовой рубки и машинного отделения.

Для вентиляции машинного отделения на теплоходе «Метеор» установлены для электроповодителя, сваренных с электродвигателем марки УЭ-120, напряжением 24 в, мощностью 120 вт. Пуск в установках каждого электродвигателя производится с главного распределительного щита при помощи автоматического выключателя типа АЭС. Автоматическое отключение электроповодителей предусмотрено с панели (в рубке). В качестве привода вентилятора калориферной установки для обогрева салона используется генератор типа Г-20, работающий в режиме электродвигателя. Пуск и остановка вентилятора производится с панели, расположенной в рубке. В послем судне предусмотрены четыре розетки для переносных электроповодителей.

Электропривод якорной лебедки состоит из электродвигателя и щитка включения. В качестве электродвигателя лебедки используется самолетный генератор типа ГСР-3000. Электродвигатель обеспечивает только операции по зольному якорю; отключение якоря производится при отключенном от лебедки электродвигателе. Контроль за током электродвигателя, а также

автоматическое отключение последнего при полностью выбранной аварии и при перегрузке осуществляются со щитка, устанавливаемого возле лебедки.

Для обогреваают комарами во время стоянки судна у берега в каютах установлены электротрельяжи типа ГС-500 напряжением 220 в и мощностью 500 вт. Включение и отключение трельяжей типа ГС-500 производится выключателями. Обогрев машинного отделения при стоянке судна у берега осуществляется прожекторами ГС-1000 напряжением 220 в и мощностью 1000 вт. Для включения и отключения трельяжей около них имеются выключатели. С целью подогрева масла перед пуском газовых двигателей расходных масляных баков установлено по два электронагревателя типа ЭН-350 напряжением 24 в, мощностью 350 вт. Включение и отключение нагревателей осуществляются с планового распределительного щита. При стоянке теплохода масла в каждом баке подогревается электронагревателями типа ЭН-1500 напряжением 220 в и мощностью 1500 вт.

Для подогрева воды двигателей используются нагреватели типа ЭН-1500, получающие питание от береговой сети. Включение и выключение электронагревателей производится с занавеси навевинных генераторов.

На теплоходе «Метеор» имеется электрохолодильная установка, в которой для привода компрессора применяется генератор типа ГСК-1500 напряжением 27 в. Включение его производится со щитка приборов буфета.

На теплоходе установлены следующие сигнально-отличительные оби: левый бортовой отличительный красный, правый бортовой отличительный зеленый, габаритный гаконий, габаритные торцовье, топовый, стояночный, клотниковый, бортовые стояночные, отмышки импульсные передние и задние. Управление и контроль за оби производятся с панели, расположенной в рубке.

В качестве звукового сигнала используется электрическая скрипка типа ЭОС-1 напряжением 24 в. На судах последней постройки устанавливается воздушный сигнал — тифос. Для задачи условных сигналов из рубки в моторное отключение и обратно в эти помещения устанавливаются звонки. Питание звонков осуществляется от судовой сети напряжением 24 в постоянного тока через панель с электроаппаратурой, находящуюся в рубке.

Для связи с береговыми радиостанциями на теплоходе «Метеор» установлена телефонная радиостанция типа Р-807. Радиостанции обеспечивает беспроводную, бесподстроенную связь на любой из зафиксированных частот в любое время суток в радиусе около 100 км. Радиостанции питается от судовой электросети с помощью преобразователя типа У-600. Для питания радиостанции в аварийном режиме при понижении напряжения

источников питания имеется вольтодобавочное устройство, управляемое из рубки.

Для приема широковещательных передач в рубке установлен автомобильный радиоприемник типа А-17. Для передачи информационных сообщений из ходовой рубки в салоны и траплиши широковещательных передач от радиоприемника на теплоходе имеется радиотрансляционная установка на базе установки типа ГУ-20. Включение и отключение динамических громкоговорителей в салонах производится из ходовой рубки, где установлены микрофон и усилители.

§ 12. ПАССАЖИРСКИЙ ТЕПЛОХОД «Спутник»

Этот теплоход на подводных крыльях предназначен для скоростных перевозок пассажиров на прибрежных в местных линиях и водохранилищ протяженностью до 800 км (рис. 115).



Рис. 115. Пассажирский теплоход на подводных крыльях «Спутник». Скорость хода 65 км/час.

Основные размеры и характеристики теплохода

Габаритные размеры, м:	
длина	48
ширина	82
высота	7,5
Осадка габаритная, м:	
на море	2,5
при ходе за крыльями	3,9
Водоизмещение, т	76

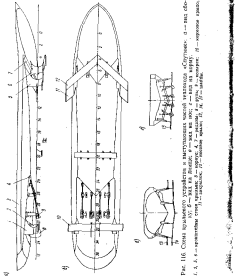


Рис. 116. Схема расположения
и нумерации ячейк в
матрице изображения.

Осадки по коридору, ж	
средний	1,03
минимум	0,71
максимум	1,45
Водоизмещение плавкое, т	100
Осадки по коридору, ж	
средний	1,28
минимум	0,87
максимум	1,50
Мощность силовой установки, л. с.	
использованная	4×1200
использованная	4×800
Скорость, км/час	
использованная	70
использованная	65
Паспортная вместимость, ч.	360

Форма корпуса теплохода характеризуется большим наклоном форштевня, высоким поднятой скоской в носовой части, килеватым линией, когтевыми швартовутами. На днище имеются два редания клиновидной в плане формы: носовой, не доходящий до киля, и основной — в районе выхода гребных валов (рис. 116).

Основные коэффициенты теоретического чертежа, соответствующие полному водоразмещению судна, равны:

Коэффициент общей вязкости	0,275
× коэффициент вязкотекущий	0,625
× × коэффициент вязкотекущий	0,675

Общие распределения

Схема общего расположения теплохода «Спутник» показана на рис. 117. Корпус судна, также палубы переборок, разделены по длине водонепроницаемыми переборками на 9 отсеков. Отсек № 1 от форштевня до 2 иш.— форпик; доступ в него осуществляется через люк в палубе. Отсек № 2 (2—6 иш.), № 3 (6—10 иш.), № 4 (10—15 иш.), № 5 (15—20 иш.), № 7 (26—30 иш.), № 8 (30—35 иш.) и № 9 (35 иш.—корса) представляют собой отсеки плавучести. Доступ в них осуществляется через люки в палубе. В отсек № 6 (20—26 иш.) расположено машинное отделение. В машинное отделение имеется вход с палубы по трапу в районе 25—26 иш. В районе 20—21 иш. в палубе предусмотрена круглый люк, служащий запасным выходом из машинного отделения. В районе 24—26 иш. в ДП помещается контрольный пункт наблюдения за машинной установкой. В отсеке № 7 расположена фекальная шестерня емкостью 1200 л. Отсек № 8 представляет румпельное отделение; доступ в него осуществляется через прямогульные люки в палубе. Отсек № 9 является топливной шестерней.

В районе 1-8 км. надстройки расположены деревянный пассажирский салон на 68 мест. В районах 1-2 км. палуба

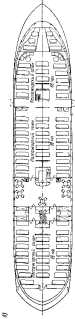
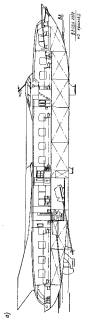


Рис. 117. Схемы общего расположения плавательных судов: а — проекция на палубу;

б — план палубы



Рис. 118. Прогулочная кабина теплохода «Спутник».

тамбур входа в машинное отделение и утепленная стоянка пожаротушения.

В районе 26—35 шп. размещается кормовой пассажирский салон на 96 мест. Из салона есть три выхода: два в переборке 26 шп. и один в переборке 35 шп. В районе 35 шп. сделана открытая прогулочная площадка (рис. 118).

На течевой палубе в районе 5—12 шп. расположены ходовая рубка, полуоткрытая в надстройку. Кроме неё за тече расположены воздухозаборники, стабилизаторы, отличительные огни и отвешки.

Конструкция корпуса

Корпус и надстройка теплохода «Спутник» имеют сварную конструкцию и изготовлены из алюминиевого сплава марки АМг-6. Прочность корпуса обеспечена на разред «О» для плавания по рекам, озерам и водохранилищам.

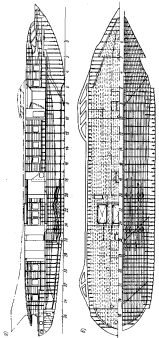


Рис. 119. Кинетостатичные схемы корпуса и надстройки теплохода «Спутник». а — врезной плав. б — плав. Тавровой палубой в днище.

Корпус и надстройка (рис. 119 и 120) набраны по продольной системе набора; размер шагации составляет 1100 мм. Обшивка корпуса заготовлена из листов толщиной 3 и 6 мм, настил палубы — из листов толщиной 2,5 мм. Обшивка борта надстройки набрана из листов толщиной 3—4 мм, настил текстильной палубы — из листов толщиной 2,5 и 3 мм. По углам вырезов люков установлены листы большей толщины.

Поперечные переборки расположены на 2, 6, 10, 15, 20, 25, 30 и 35 шт. Все элементы корпуса и надстройки соединены

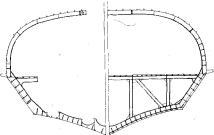


Рис. 120. Модель-издаток теплохода «Спутник».

между собой при помощи аргомо-дуговой сварки. В качестве присадочного материала применена проволока из сплава марки АМг-61.

Фундаменты под главные двигатели также изготовлены сварными. Прочие подкрепления и фундаменты выполнены сварными из сплава марки АМг-61. Рубка — клепано-сварная конструкция из листов толщиной 1 и 1,5 мм и профильного материала.

Изоляция, покрытие, отделка и окраска

Пассажирские салоны, холлы, буфет и рубка изолированы по бортам и подволнке одним слоем теплоизоляции марки ВТ-4С толщиной 20 мм, наклеенной на металлический

клей марки ААН. Теплоизоляция машинного отделения выполнена по следующей схеме. На металлическую раму два слоя теплоизоляции марки ВТ-4С толщиной 10 мм, а между слоями теплоизоляции уложен картон. Поверх изоляции наложена панелью. Места повышенного нагрева изолированы поверх панели асбестовым картоном. На высоте 1 м от слоя изоляции закрыта перфорированными дюралевыми листами. Подвалок туалета изолирован одним слоем теплоизоляции марки ВТ-4С. Все примененные на теплоходе «Спутник» изоляционные материалы являются нетоксичными и трудогорючими.

Полы в пассажирских салонах, каютах, в буфете и рубке покрыты полихлорвиниловым линолеумом толщиной 2,5 мм, приклеенными по контуру к листам пергамина. Клеем марки ЛК-1. В туалете пол покрыт листовым пинипластом толщиной 5 мм.

Для обстройки помещений и их различных зондеков применяется силь и алюминиевая березовая фанера толщиной 2 мм, проклеенные отгнизывающим составом. Подполок, переборки и борта кают, буфета и салонов выше нижней кромки окон отделаны алюминиевым панелином марки ПА, а самое салонов до нижней кромки окон — декоративным односторонним пластиком марки БАТ.

Стены пластика и панелилы закрыты раскладками из профилированного дюралюминия и полированного яселя.

Подводная часть корпуса теплохода «Спутник» покрыта стеклом марки ГЭН-50 и окрашена этилоновой краской марки ЭПЖО-40. Внутренние и наружные поверхности корпуса панели алюминия покрыты слоем грунта марки АЛГ-1 или АЛГ-5. Снаружи теплоход окрашен масляными красками.

Носовой, средний и кормовой пассажирские салоны теплохода оборудованы мягкими складывающимися авиационными креслами. В салонах вдоль бортов над окнами установлены полки для ручного багажа. Места между бортами и креслами также могут быть использованы для перевозки багажа. Каждая служебная каюты оборудована четырьмя металлическими пружинными койками, столом, шкафом для одежды и двумя раскладными табуретами. В зале буфета помещены столы, изготовленные из алюминиевых сплавов. В буфетной выгородке установлены: холодильник, шкафы для сухой провизии, стационарная электроплитка, стаканочница в сливной раковине. В буфете имеются сборники питьевой воды, бачки для охлажденной кипящей воды ёмкостью 40 л и электроминитальня.

Ходовая рубка оборудована штурманским столом, креслом для водителя и раскладными табуретами. В рубке также размещены: коротковолновая телефонная радиостанция типа Р-807, микрофон радиотрансляционной установки и автомобильный радиоприемник марки А-17.

Дополнительные вещи

Люки в подпалубное пространство изготовлены водонепроницаемыми, размером в свету 400×580 мм. Крышки люков выполнены заподлицо с настилом палубы, имеют задвигающееся устройство и открываются замечелем. В палубе полуобъема сделан люк с быстро открывающейся крышкой для обслуживания кипарной лебедки. Для высыпки фекальной цистерны в палубе имеется съемный лист.

Погрузка линготелей осуществляется через три люка в палубе. Крышки люков выполнены водонепроницаемыми и быстросъемными. В тентовой палубе сделан один люк для выемки драгоценных.

Окна в пассажирских салонах выполнены излузами, размером в свету 1000×1100 мм и остеклены плексигласом толщиной 6 мм, выпнутым по обводам надстройки. Плексиглас имеет жесткое крепление с резиновыми уплотнителями. Открывающиеся лобовые окна остеклены бескосошным трехслойным оконным стеклом.

Двери в районе 9—10 шт. изготовлены из сплава марки АМг-61 и имеют размер 1000×1750 мм. Верхняя часть двери застеклена плексигласом. Двери кают, буфета и туалетов выполнены штампованными из листов алюминиевого сплава марки АМг-61. С обеих сторон они оклеиваются слоистым пластиком. Двери салонов в поперечных переборках на 20, 24 и 26 мм, также штампованные. Верхняя часть дверей застеклена. Дверь в кормовой переборке имеет размер 600×1750 мм. По контуру двери поставлены резиновые уплотнительные прокладки. Двери в машинное отделение в районе 25—26 шт. изготовлены штампованными из листов сплава марки АМг-61. Дверь в переборке на 24½ шир., ведущая на контрольный пост в машинное отделение, сделана герметичной размером 600×1750 мм. Все двери скоблены замками.

Трап в ходовую рубку выполнен из листового и профильного дюралюминия. Ступеньки трапа покрыты линолеумом. Трап в контрольный пост также сделан из дюралюминия. Вертикальные трапы, ведущие в подпалубное пространство, изготовлены из труб.

Судовые устройства

Крыльевое устройство теплохода «Спутник» состоит из двух несущих водонепроницаемых крыльев и четырех закрылок-стабилизаторов, выполненных в виде крыльев малого удаления и установленных на бортовых стойках носового крыла (рис. 116, 121, 122). Крылья имеют в средней части V-образную форму. Носовое крыло — стреловидное в плане. Профиль сечения крыльев и закрылок принят плоско-выпуклым с острой входящей кромкой.

кой. Крылья крепятся к корпусу стойками; носовое крыло — двумя бортовыми и двумя днищевыми; носовое крыло — двумя бортовыми и двумя промежуточными опорами, служащими одновременно подводами. Стойки крыльев выполнены разъемными. Нижние части стоек прикреплены к крыльям, а верхние кронштейны прокреплены болтами к корпусу. Части стоек соединяются фланцами на болтах. Такое соединение позволяет изменять угол установки крыльев. Для этого между фланцами стоек ставят клиновые прокладки. К стойкам носового крыла крепятся закрылки; они соединены болтами на фланцах с кронштейнами бортовых стоек носового крыла. Угол установки закрылок может быть изменен постановкой клиновых прокладок.

Крылья, стойки, кронштейны стоек и концы кронштейнов выполнены сварными из вержавящей стали марки ХВГИФТ. Закрылки изготовлены из алюминиевомагниевого сплава марки АМг-61. Для обшивки крыльев использованы листы толщиной 8 мм, подкрепленные ребрами жесткости (перегородки) такой же толщины. В районе пришарки стоек, кронштейнов и в местах излома плоскостей участки обшивки шириной 150 и 250 мм выполнены из листов толщиной 12 мм. Листы обшивки крыльев пришарены по носовой и коренной кромкам к специальным профилям в виде клиновидных ножей. Стойки изготовлены из листов толщиной 28 мм, а кронштейны стоек — из листов толщиной 4 и 5 мм. Толщина листов обшивки закрылок составляет 4,5 и 8 мм. В 1964 г. было установлено среднее крыло и сняты передние закрылки. Это позволило уменьшить сопротивление при выходе на крылья.

Концевые кронштейны выполнены сварными из листов толщиной 4 и 8,5 мм. Передняя кромка кронштейнов оканчивается специальными профилем в виде клиновидного ножа.

Тягозад снабжен одним якорем повышенной держащей силы весом 125 кг и якорным тросом к нему диаметром 17 мм. Ползун якоря осуществляется якорной электролебедкой с тяговым усилием 400 кг. Конец троса, закрепленный на барабане, имеет устройство для быстрой отдачи. Для притормаживания троса при спуске якоря предусмотрен у лебедки пожной дентонный тормоз. Кроме того, лебедка имеет храповый стопор. Для крепления якоря по-погодному и крепления троса при стоянке на якоре установлены стопоры. Якорный клюв снабжен резином.

Электролебедка имеет следующие технические характеристики:

Мощность, квт	3
Число оборотов электродвигателя, об/мин	1500
в барбакан, об/мин	11
Скорость выбирания троса при подъеме якоря, м/мин	12
Тяговое усилие на барабане при отрыве якоря, кг	400
Уходка на рулевых при забирании якоря пружиной, м	16



Рис. 121. Носовое крыло телевозера «Спутник».



Рис. 122. Коренное крыло и многостоечно-рулевой комплекс телевозера «Спутник».

Теплоход спущен швартовами из манильского каната. Общая длина канатов равна 100 м. Канаты хранятся в специальных ящиках. Для швартовки на теплоходе установлено шесть двойных крестовых киевок. Кроме того, в дистримальной палубе в корме на открытой палубе установлена кивовая палка. Швартовые киевки и кивовая палка изготовлены листами из алюминиевого сплава марки АЛ8. Буксировка осуществляется за рым, установленный в носовой части теплохода.

Для управления теплоходом применяются лодочные балансирные рули. Суммарная площадь рулей равна 5,45 м², а рабочий угол — при ходе по крыльям составляет 2,6 м². Перо каждого руля изготовлено из алюминиевомагниевого сплава марки АМг-6Б и крепится на двух опорах. Верхней опорой служит вращающийся в подшипниках баллер, который установлен в корпусе на разрезной прокладке. Нижней опорой являются петли, расположенные на плоскости кормового крыла и имеющие подшипник с разрезной втулкой. Переходка руля осуществляется посредством гидравлической системы. Время переходки с борта на борт на угол 70° составляет 30 сек.

Гидравлическая система управления рулями состоит из основной и аварийной систем. Основная система имеет расходный бак емкостью 26 л, гидроагрегат, находящиеся на главные двигатели, резервный электронасос, фильтры, гидроакумуляторы, распределительные электрогидравлические краны, трубопроводы и арматуру. В этой системе предусмотрен также ручной аварийный насос. Рабочее давление жидкости в скользкой системе составляет 60—80 кг/см². Аварийная система управления состоит из бака, гидроагрегата с ручным приводом, арматуры и трубопроводов. Давление в системе составляет 20—25 кг/см². Специальный блок обратных клапанов удерживает в системе давление в том самом фиксирует руль в том положении, в котором он установлен, до момента прекращения работы ручного насоса. В качестве рабочей жидкости в системе применяется алюминиевый гидроэлемент марки АМг-10. Работа гидросистемы контролируется при помощи манометров. Трубопровода обеих систем изготовлены из труб нержавеющей стали. В системах применения стандартная арматура авиационной промышленности.

В качестве спасательных средств на судне имеется 265 спасательных жилетиков, восемь спасательных кругов (четыре с сизомозажимающимися бубликами и четыре со спасательными линиями) и две резиновые лодки. Спасательные жилетики для пассажиров хранятся в выгородках пассажирских салонов. Жилетики для команды размещены в каютах (4 шт.), в ходовой рубке (2 шт.) и в буфете (1 шт.). Спасательные круги хранятся в районе пассажирской площадки (4 шт.) и из прогулочной палубе, в корме (4 шт.), а резиновые лодки помещаются в нишах на открытой палубе, в норме.

Судовые системы

На судне имеется централизованная система осушения. Основным средством осушения для всех отсеков является помпа агрегата ДГКП производительностью 20 м³/час. Управление невозвратно-аварийными клапанами во отсеках всех отсеков, кроме помещения контрольного поста в машинном отделении, производится с верхней палубы при помощи дистанционных проводов. Управление клапанной коробкой, имеющей отростки к сетке осушения в машинном отделении и к сетке в помещении контрольного поста, осуществляется непосредственно из отсека.

Резервным средством для осушения машинного отделения является ручной насос марки РН-20 производительностью 1,2 м³/час, спущенный сбоку цилиндром с приемной сеткой на конце. Ручной насос можно использовать также для откачки отработанного масла из масляной системы главных двигателей. Трубопровод системы в машинном отделении изготовлен из труб алюминиевого сплава, в остальных отсеках — из полизтиленовых труб. Арматура системы сделана из алюминиевого сплава и болтовника. Соединения выполнены из фланца и дюритовых муфт.

Санитарная система на судне состоит из системы мытьевой и питьевой воды. Системы являются автономными. В систему мытьевой воды входит: пневмоцистерна, песчаный фильтр, санитарный насос марки ЭЦН-104 и трубопроводы с арматурой. К умывальникам подается фильтрованная вода, а для других целей — нефильтрованная забортная вода. Попадание нефильтрованной воды к умывальникам исключается. Пневмоцистерна снабжена указателем уровня и манометром, автоматическиключающим и выключающим санитарный насос. Трубопровод в машинном отделении выполнен из труб алюминиевого сплава, а в остальных помещениях — из полипропилена.

Система питьевой воды, предназначенная для снабжения пассажиров питьевой водой и мытья посуды, состоит из бака емкостью 350 л, сборника питьевой воды с поплавковым клапаном, кипятильника, работающего на выхлопных газах главного двигателя, расходного бака, холодильника для охлаждения кипяченой воды и трубопроводов с арматурой. Система предусматривает пополнение запаса воды во время рейсовских остановок судна. Общая емкость воды в системе составляет около 400 л. Трубопровод изготовлен из труб алюминиевого сплава, состыкованных при помощи дюритовых муфт и штуцеро-нипельных соединений.

Сточко-факелная система предназначена для отвода сточных вод на сандбока судна. Сточные воды унитазов отводятся в фекальную цистерну емкостью 1200 л, а оттуда по

магистральному фланцевому трубопроводу за борт, или могут быть удалены фекальным патрубок, оборудованный унитарным патроном. Фланцевой трубопровод оборудован на конце задвижкой, позволяющей закрывать сток из фекальной цистерны и плотно герметизировать задвижку в закрытом положении при проходе судна через зоны строгого санитарного режима. Фекальная цистерна, изготовленная из стеклопластика, снабжена вентиляционным трубопроводом с установленным на конце клапаном.

На судне имеется система естественной и искусственной вентиляции. Для естественной вентиляции используется скорость напора встречного воздуха. Воздух подается через вентиляционные трубы, установленные на тентовой палубе. На краткотемпературных стоянках 10-кратный обмен воздуха в помещениях пассажирского обеспечивается вентиляторами общей производительностью около 5000 м³/час, установленных в тентовую палубу. Вытяжная вентиляция достигается при помощи вытяжных трубопроводов, оборудованных вытяжными щитками. Вентиляция машинного отделения и помещения контрольного поста на стоянках производится четырьмя вентиляторами общей производительностью 2800 м³/час, что обеспечивает 20-кратный обмен воздуха. Во время хода судна вентиляция машинного отсека обеспечивается за счет подсоса сжатого воздуха изнетвентиляции наддува главных двигателей.

Для отопления помещений теплохода установлены два водяных котла конструкции ЦКБ. Котлы работают на дизельном топливе. Температура в помещениях регулируется автоматически.

Для устранения очагов пожара в машинном отделении имеется система углекислотного пожаротушения, а по всему судну установлены ручные пенные и углекислотные огнетушители марок ОУ-2, ОП-6 и наборы противопожарного оборудования.

Словесная установка

Машинное отделение теплохода «Спутник» расположено между валом пропеллерами переборками на 20 и 25 шп. Сверху оно ограничено платформой, которой имеются люки со съемными крышками для погрузки и выгрузки механизмов. Машинное отделение имеет для выхода: один — со стороны кормового салона, второй — через люки в платформе.

В качестве главных двигателей на теплоходе установлены четыре дизеля марки М50Ф-3 (два правой и два левой модели). Главные двигатели работают непосредственно на свои валоприводы. Каждый валопривод жестко соединен с фланцем реверсивной муфты двигателя при помощи фланцевой полумуфты.

В качестве испомогательной энергетической установки на теплоходе устанавливается комбинированный агрегат типа ДГКП-10-1 (дизель-генератор-компрессор-компа), который кроме снабжения судна электроэнергией, служит для обеспечения пусковым воздухом, осушением трюмов и прогрева главных двигателей в холодное время года.

В машинном отделении, помимо главных и испомогательных двигателей, имеются следующие механизмы и оборудование:

Код- номер	
	Агрегат предварительной промывки масла в теплоходе
	Аварийные промывочные ящики РН-20 для масла в топливе
	Плюс склонной системы ЭШ-104
	* для перевозки грузов ЭШН-104
	* склонный РН-20
	Ходомоторы комбинированные СВ790
	Вакуум для воздуха
	Бак моечной смеси 110 л
	* запасной масла емкостью 150 л
	* расширительный масляной емкостью 30 л
	Гидранты
	* топливный
	* водный
	* санитарный
	Пакет электрооборудования
	Аккумуляторная батарея ВСТК-180
	Щетки тяговых главных двигателей
	*
	* ДГКП в МО
	Вентилятор
	Вороток
	Износ запасных частей
	Ответственность

Системы, обслуживающие силовую установку

Топливный трубопровод обеспечивает подачу топлива в топливную систему каждого главного двигателя и двигателя агрегата ДГКП. Топливоподающая система каждого из главных двигателей состоит из трубопроводов, фильтра грубой очистки, агрегата предварительной промывки и арматуры. На топливных трубопроводах каждого двух главных двигателей установлено по одному ручному насосу марки РН-20 за случай выхода из строя подключающих агрегатов.

Для размещения топливных цистерн использован 9-й отsek корабля. Цистерны оборудованы торцовыми приемами топлива, указательными колонками, расходно-перегрузкой и спускной арматурой, а также вентиляционными трубами с отверстиями предохранителями. Для удаления топлива из судна установлен

перекачивающий насос марки ЭЦН-104 производительностью 1 м³/час при напоре 13 кг/см².

Трубопровод и арматура выполнены из алюминиевого сплава. Трубы соединены лонгитовыми муфтами и фланцами.

Масляная система в каждого двигателя состоит из расходного бака емкостью 110 л, двух парных фильтров, одна пара которых установлена непосредственно в расходном баке и вторая — на трубопроводе (в месте выхода его из главного двигателя), терmostата, комбинированного водомасляного радиатора марок СВ-790, агрегата предварительной прокачки масла, запорной арматуры и дистанционных указательных приборов давления и температуры. Каждый расходный масляный бак оборудован указательной колонкой, латчиком дистанционного указателя уровня, вентиляционной трубой с отверстиями предохранителями и карманами латчиков температуры. Подача масла в расходные баки осуществляется из двух баков основного запаса масла емкостью по 150 л. Последние оборудованы указательными колонками, вентиляционными трубами с отверстиями предохранителями и приемными трубопроводами с горловинами залива, установленными на ходу. Для слива отработанного масла из двигателя служат сливные трубы, скаженные запорной арматурой. К трубам присоединен люретонный шланг от приемного патрубка осушительного насоса. Отработанное масло перекачивается в переносные емкости (канистры). Трубопровод масляной системы изготовлен из алюминиевого сплава. Трубы соединяются дюрантовыми муфтами.

Для запуска главных двигателей на теплоходе «Спутник» установлена воздушная система. Она состоит из трех воздухохранилищ — баллонов емкостью 40 л каждый, рассчитанных на рабочее давление 150 кг/см², предохранительной, запорной, аспомогательной и пусковой арматуры и трубопровода, выполненного из стальных труб со штучерно-ниппельными соединениями.

Пуск двигателей производится из рубки при помощи дистанционного управления электронно-механическими. Кроме того, предусмотрены пусковые клавиши на случай аварийных пусков главных двигателей непосредственно из машинного отделения.

Газовыхходные системы главных и вспомогательных двигателей сделаны автономными. Система газожидкостного двигателя состоит из тройника, объединяющего газожидкостные тракты обвода тяжелых коллекторов двигателя, трубопровода и глушителя. Для охлаждения газожидкостной системы и уменьшения шума используется забортная вода, прыскиваемая в газовую полость тройника. Тройник, а также глушитель и трубопроводы газожидкостной системы изготовлены из алюминиевого сплава. Трубы газожидкостной системы соединены люретовыми муфтами. В газожидкостную трубу вспомогатель-

ного двигателя с целью глушения шума и охлаждения трубы также подается забортная вода из системы охлаждения двигателей.

Система охлаждения главных двигателей выполнена двухконтурной. Система забортной воды обслуживает главные и вспомогательные двигатели и судно в целом. Она состоит из четырех магистральных трубопроводов, принимающих забортную воду через два кингстона, которые установлены в стойках корнового крыла, четырех фильтров по одному на каждую магистраль и четырех магистралей с отливными кингстонами. Движение воды в системе обеспечивается помпами забортной воды, называемыми по главные двигатели, а также скоростным напором встречного потока воды. Забортная вода, движущаяся по магистральному приемному трубопроводу, проходит через комбинированный водомасляный радиатор, где изгревается от воды внутреннего контура охлаждения двигателя. От напорных магистралей системы забортной воды сделаны отводы на охлаждение газожидкостной системы, для смазки резиновых подшипников лебедки, а также предусмотрены патрубок с прозорным краем или подача забортной воды на санитарные нужды. От запорной магистрали одного из главных двигателей сделан отвод забортной воды на охлаждение пылевого трубопровода вспомогательного двигателя и компрессора.

Система пресной воды главных и вспомогательных двигателей обеспечивает охлаждение этих двигателей в прогрев их в ходовом режиме. Система охлаждения каждого главного двигателя состоит из трубопровода для подачи воды из двигателя к терmostату, от которого вода поступает к помпе через водоводную соленоид коллекторную или мембрану радиатора. К патрубкам патрубкам помп пресной воды плавкии двигателей подведены трубы обогрева, соединенные с трубопроводом охлаждения вспомогательного двигателя. Система пресной воды заполняется из четырех расширительных бачков емкостью 30 л каждый. Бачки оборудованы водоизказательными стеклами. Трубопровод системы выполнен из алюминиевого сплава. Трубы соединяются с главными и вспомогательными двигателями при помощи фланцев и дюрантовых муфт, а между собой и с арматурой — люретовыми муфтами.

Реактор главных двигателей и изменение подачи топлива осуществляются дистанционно из рубки посредством гидравлической системы. Гидросистема управления главными двигателями состоит из цилиндров-датчиков, расположенных в рубке, цилиндров-исполнительных, расположенных на двигателях, заправленного бачка, трубопроводов и арматуры. Трубопроводы изготовлены из стали марки М3. Для удаления из системы воздуха установлены воздушоуловители.

Машинная установка теплохода «Спутник» имеет для поста управления, один из которых расположен в отсеке контрольного поста, второй — в ходовой рубке судна. На посту в рубке установлены органы управления главными двигателями, а также контрольно-измерительные приборы (рис. 123).

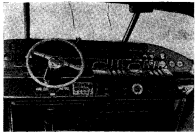


Рис. 123. Пульт управления в ходовой рубке теплохода «Спутник».

На контрольном посту размещены только измерительные приборы.

Контрольно-измерительные приборы

Для контроля за работой главных двигателей и их систем установлены два приборных щита: один в отсеке контрольного поста, другой — в ходовой рубке. На каждом щите расположены следующие приборы:

- электротахометр для замера числа оборотов дизеля;
- манометр давления топлива, поступающего в топливный насос;

- манометр давления масла в двигателе;
- термометр для замера температуры входящей пресной воды;
- термометры для замера температуры выходящей пресной воды, входящего и выходящего масла. Кроме этих приборов, на щитке управления в ходовой рубке установлены указатели уровня топлива и масла.

Для контроля за работой заслонки снегоочистителя агрегата ДГКП в машинном отделении расположен щиток со следующими приборами:

тахометром для замера числа оборотов двигателя;

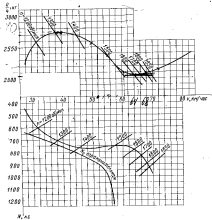
манометром давления масла в двигателе;

термометрами для замера температуры воды и масла в двигателе;

манометрами давления компрессора первой, второй и третьей ступеней.

Палопровод и движители

Линия вала средних двигателей имеет угол наклона к основной плоскости, равный 10° , а бортовых двигателей — 12° , и



Промежуточный вал соединяется при помощи фланцевой полу-муфты с фланцем реверс-муфты главного двигателя. На ходовом валу пасажир гребной винт. Диаметр опорных шеек валов равен 80 мм. Все валы изготовлены из нержавеющей стали марки 2Х13.

Передача упора гребного винта на корпус осуществляется через упорный подшипник, установленный в реверс-муфте главного двигателя. Каждый валопровод имеет три опорных разъемно-металлических подшипника. Для подшипника разъемной конструкции установлены в промежуточном кронштейне и в диффузорном устройстве, а третий, герметичный подшипник — в концевом кронштейне. Каждый валопровод имеет дебаулонное устройство, в котором сальник соединен с носовым концом дебаулонной трубы при помощи дюропитовой муфты.

Смазка подшипников валопровода осуществляется забортной водой. К подшипнику концевого кронштейна подается под напором встречного потока. Подача воды к подшипникам промежуточных кронштейнов в дебаулонных сальниках осуществляется от магистрали забортной воды системы охлаждения главного двигателя. Смазка дебаулонного сальника также проходит забортной водой.

В качестве движителей на теплоходе установлены четыре гребных винта: два правого вращения и два левого. Они изготовлены спарены из нержавеющей стали марки Х18Н9Т. Гребные винты имеют следующие параметры:

Диаметр D , м	0,7
Шаг H , м	0,78
Диаметр станины H	1,15
Число лопастей n	4

Паспортная диаграмма гребного винта теплохода представлена на рис. 124.

Электрооборудование и радиосвязь

На теплоходе применяется постоянный ток. Напряжение судовой электрической сети составляет 24 в. Система канализации электрической энергии — однопроводная с использованием корпуса как обратного провода.

В качестве источников электроэнергии на теплоходе установлены:

четыре генератора типа ГСК-1500 мощностью по 1 квт и напряжением 27 в, включенные по одному на каждый главный двигатель;

генератор типа КГ-5,6 мощностью 5,6 квт, напряжением 24—28 в, поставляемый комплектно в одном агрегате с дизелем, компрессором и помпой (ДГКП-10-1);

четыре кислотные аккумуляторные батареи типа 6СТК-180, каждая напряжением 12 в, ёмкостью 180 а·ч при 20-часовом разряде (аккумуляторы соединены последовательно в две группы, но для аккумулятора в каждой группе).

Система распределения электроэнергии на теплоходе — фидерная. Электрическая энергия от генераторов и аккумуляторных батарей поступает к потребителям через главный распределительный щит, установленный в специальном помещении, около машинного отделения. От главного распределительного щита получают питание следующие потребители:

- электроприводами машинного отделения;
- электродвигателями санитарного насоса;
- электродвигателями агрегата для закачки главных двигателей;
- электродвигатель якорной лебедки;
- электроимпульсаторы салонов;
- сигнальные и отличительные огни;
- электрохолодильная установка (через преобразователь);
- нагревательные приборы в буфете (термосы, пластики и т.д.);
- электромеханические грелки в машинном отделении и в каютах команды;
- электропроточки масла в расходных масляных баках;
- щиток управления в ходовой рубке;
- радиостанция;
- четыре группы основного и четыре группы дежурного освещения.

Питание прожектора, стеклоочистителя, контрольных приборов радиотрансляционной установки и радиотрансляционной службой переговорной установки осуществляется от щитка управления в ходовой рубке. Обеспечено дистанционноеключение и отключение из ходовой рубки части электропотребителей.

Схемой коммутации распределительного щита предусматривается:

питание всех потребителей судна в ходовом режиме от ходовых генераторов типа ГСК-1500, работающих параллельно на общую шину щита;

питание всех потребителей от вспомогательного генератора типа КГ-5,6 во время стоянки судна или при отключении ходовых генераторов;

питание всех потребителей от аккумуляторной батареи в зернод пуска вспомогательного дизель-генератора;

питание электропотребителей от сети переменного тока напряжением 220 в через понижающий трансформатор;

исключение параллельной работы генераторов ГСК-1500 и КГ-5,6.

Защита фидеров от токов короткого замыкания и перегрузки для потребителей с потребляемым током силой до 50 А осуществляется автоматами типа АЗС, для остальных — при помощи вспомогательных предохранителей типа ТП. Генераторы защищены от тока короткого замыкания предохранителями типа БЗ-30. Для защиты генератора типа КГ-5,6 от обратного тока установлено реле типа ДМР-400, а для защиты этого генератора от токов короткого замыкания и перегрузки предусмотрено предохранитель типа ТП. Регулирование напряжения генераторов типа ГСК-1500 при изменениях из оборотов, ограничение тока и т. п. осуществляется реле-регуляторными якорьками типа РХ-1500. Напряжение генератора типа КГ-5,6 регулируется ручным регулятором возбуждения типа РЗВ. Контроль за работой генераторов и аккумуляторной батареи производится при помощи амперметров и вольтметра на главном распределительном щите.

Для привода навигационной лебедки на теплоходе «Спутник» установлен генератор типа ГСР-3000, используемый в качестве электродвигателя. В цепь генератора постоянно включено сопротивление, которое, кроме ограничения пускового тока, выполняет функции датчика реле перегрузки электродвигателя. Для контроля за наличием напряжения на фидере и тока в цепи электродвигателя на щитке имеются сигнальная лампа и амперметр.

С целью зроакции масла и подачи топлива перед пуском главных двигателей на судне установлены четыре агрегата прокачки (по одному на двигатель). Каждый агрегат состоит из электродвигателя и двух насосов на его валу. Прямой пуск электродвигателя, без гусковых сопротивлений, осуществляется при помощи контакторов типа КМ-200Д из ходовой рубки и пульта машинного отделения.

Для вентиляции машинного отделения на судне установлено четыре электровентилятора типа ДВ-1К производительностью 700 м³/час каждый. Электровентиляторы питаются от главного распределительного щита через автоматы ланцеты типа АЗС. Для вентиляции пассажирских салонов установлены электровентиляторы типа ДВ-1К производительностью 700 м³/час каждый. Электровентиляторы включаются из ходовой рубки. С целью защиты электродвигателей от перегрузки на главном распределительном щите предусмотрены автоматы АЗС.

В буфете теплохода установлены холодильный шкаф емкостью 550 л. Холодильный агрегат ФДК-07E для питания холодильного шкафа помещен в кладовой буфера. Питание электрохолодильника на основных режимах работы судна осуществляется от судовой электрической сети через преобразователь типа ПО-300. Предусмотрено автоматическое переключение

электрохолодильника на береговую сеть при подаче напряжения с берега на судно.

Для пологрева масла перед пуском главных двигателей в холодное время в каждом расходном масловом баке установлены по два электрических нагревателя мощностью 350 Вт, напряжением 24 в каждый и один нагреватель типа ЭН-1500 мощностью 1500 вт с питанием от береговой сети напряжением 220 в. Включение и выключение нагревателей, а также защита их от токов короткого замыкания производится автоматами типа АЗС, расположенным на главном распределительном щите.

Для обогрева машинного отделения при стоянке теплохода установлены четыре электрические грелки типа ГС-1000 мощностью 1000 вт и напряжением 220 в. Питание грелок производится от береговой электрической сети через щиток питания. Для включения и отключения грелок предусмотрены пакетные выключатели. С пульта обогрева входят команды в период стоянки судна в них установлены электрические грелки типа ГС-500 напряжением 220 в, мощностью 560 вт (по одной в каждой каюте). Включение и отключение грелок производится пакетными выключателями.

Для подачи воды в гидрофор санитарной системы на судне применяется электронасос с электродвигателем типа МИ-100Б1. Включение и отключение электродвигателя происходит автоматически при помощи реле давления, установленного на гидрофоре. Электропривод — от главного распределительного щита через автомат типа АЗС.

Освещение пассажирских салонов осуществляется клаудионами типа СС-357. Включение и выключение светильников салона — местное. Светильники пассажирского салона могут выключаться из ходовой рубки. Каюты, буфер и ресторан также освещаются светильниками типа СС-357. Для освещения гальванических тамбуров и ходовой рубки в этих помещениях установлены катафорные светильники — клаудионы типа 37. Машинное отделение, контрольный пост, помещения в трапах и отсеках навигационной лебедки освещаются спотами типа 56а.

На теплоходе «Спутник» установлены следующие сигнально-отличительные огни: бортовой отключательный красный, бортовой отличительный зеленый, гарабортный, тоновый, стояночный мачтовый, два стояночных бортовых, снегомагнитные отражатели. Управление и контроль за зеркальными пятью сияниями производится через коммутатор сигнальных огней типа КСК-5-24. Работа отражателей контролируется специальной сигнальной лампой на пульте с выключателями отражателей.

Для связи с основными постами обслуживания судна в ходовой рубке установлен микрофон с усилителем и переключателем, а после постов обслуживания — громкоговорители мощностью 1 вт каждый и микрофон для обратной связи. Питание этой

системы осуществляется из ходовой рубки, со щитка управления. Для подачи усиленных звуковых сигналов из ходовой рубки в машинное отделение и обратно в эти помещения установлены звонки и квонки. Питание их производится со щитка управления в ходовой рубке.

На теплоходе установлены такие коротковолновая телефонная радиостанции типа Р-807, которые осуществляют беспроводную, беспод擾очную связь в любое время суток в радиусе около 100 км при работе симплексом. Передатчик ее работает на лучевую антенну. Радиостанция получает питание от судовой электрической сети при помощи одного преобразователя типа У-600.

Для передачи информационных сообщений из ходовой рубки в салоне установлено радиотрансляционное устройство на полупроводниковых приборах (транзисторах), на базе громкоговорящей установки ГУ-20. Микрофонный пост и усилители находятся в ходовой рубке. Питание радиотрансляционной установки производится со щитка управления в ходовой рубке. В ходовой рубке установлен автомобильный радиоприемник марки А-17. Он может быть подключен к радиотрансляционной сети. Питание радиоприемника производится от судовой сети через соединительную коробку радиотрансляционной установки.

§ 13. КАТЕР «ЧАЙКА»

Опытный шестиместный катер «Чайка» — первый в Советском Союзе катер на подводных крыльях, корпус которого выполнен из пластика (рис. 125).

Благодаря своим высоким скоростным показателям этот катер может быть использован для различных служебно-разъездных целей. Мореходные качества обеспечивают ему ход на крыльях при высоте волн до 0,5 м. Катер можно использовать на крупных реках, озерах, водог茫раничащих и в прибрежных районах моря.

Основные данные и характеристики катера

Габаритные размеры, м:	
длина	8,42
ширина	2,44
высота борта со щитком	1,055
сводка за палубу	0,80
бедра при ходе на крыльях	0,58
Подводные крылья, т:	
перевозки	1,20
��не	1,95
Масса двигателя, к. с.	
двигатель	1,20
Скорость эксплуатационная, км/час	85

Обводы корпуса катера характеризуются значительной килеватостью днища, загнутостью бортовых ветвей шпангоутов.

Скула в носу высоко поднята. Все это вместе с четырьмя клиновидными реданами на днище обеспечивает катеру хорошие мореходные качества при ходе на крыльях и исподобное гидродинамическое качество в переходном режиме. Борты катера на всем



Рис. 125. Пластмассовый катер из подводных крыльях «Чайка». Скорость хода 85 км/час.

протяжении имеют развал, что помимо технологических соображений обуславливает защиту кокпита от брызг при задевании корпуса за гребни волн во время хода на крыльях. Пыльба имеет обычную трапециевидную и продольную форму.

Общее расположение

Общее расположение катера предопределено носовым расположением двигателя. Корпус катера разделен на четыре отсека. Первый отсек (0—2½ шп.) является воздушным ящиком. Второй отсек 3—7, 8 шп. — моторное отделение. Здесь размещается двигатель с гидромуфтой и коробкой передач, используемой в качестве реверса-редуктора. Доступ к двигателю осуществляется через большой лючковый пorthол в палубе, закрытый крышкой, которая открывается на борт. Третий отсек (7—19 шп.) — открытый пассажирский кокпит, с акровым стеклом в носовой части. В кокпите размещены шесть кресел для пассажиров и водителя. В передней части кокпита находится пост

управления, состоящей из рулевой колонки, приборного щитка и педали для управления дроссельной заслонкой. На кормовой стойке килянта, образованной переборкой на 14 шт., сделана подножка для входа и выхода пассажиров, под которой выгорожена коробка для хранения аккумулятора. В кормовом отсеке — актерия (рабочий 4 шт. — трапец) — размещаются два топливных бака, румпальное устройство. Предусмотрено место для хранения шинного имущества, инструмента и запчастей. Доступ в отсек осуществляется через люк в палубе с крыльшком на петах.

Конструкция корпуса

Цельноформованный корпус катера «Чайка» изготавливается из стеклопластика на основе полизифирной смолы ПН-1 с наполнителем из стеклоткани марки АСТТ (6) в сочетании со стекломатом. Наружная обшивка (оболочка) катера получается в матрице в результате одной формовки. Толщина наружной обшивки 4—5 мм достигается укладкой необходимого количества слоев стеклоткани (стекломата) и пропиткой их смолой. Местные утолщения обшивки до 6 мм предусмотрены по киевой полосе, по склонам, в местах соединения палубы и транца с корпусом, а также в местах крепления крыльев.

Изнутри обшивка корпуса имеет ребра — гофры. Формовка ребер производится из предварительно изготовленных из стеклопластика оформителей. Оформители устанавливаются в корпусе, когда обшивка заклеена на $\frac{1}{4}$ наружной толщины. Весь продольный и поперечный набор корпуса (для кильсона, шлангоуты, поперечные переборки, трапец) изготавливается из стеклопластика того же состава, что и сам корпус. Набор выклеивается в деревянных матрицах, обрезается по набоям и прикрепляется к корпусу с помощью угольников. Для пропуска продольного набора в шлангуутах предусматриваются разрезы (вырезы), которые потом тщательно заделываются мастихиной и проклеиваются. Палуба, как и корпус, представляет собой однослоистую конструкцию с приподнятыми ребрами-гофрами. Из стеклопластика изготовлены также топливные баки, крышки люков и некоторые другие детали катера.

Судовые устройства

Крыльевое устройство катера «Чайка» (рис. 126) состоит из двух несущих крыльев с большой поперечной V-образностью, которые до скорости движения $v=60$ км/час погружаются полностью, а при более высоких скоростях частично выходят из воды. Для облегчения выхода на крылья и движений на волнении установлен дополнительное носовое крило срывного обтекания.

Крыльевое устройство изготавливается из нержавеющей стали марки Х18Н9Т. Площадки крыльев крепятся к корпусу с помощью стоек, имеющих фланцевые разъемы для изменения угла атаки крыльев. Крепление стоек к корпусу — болтовое с применением башмаков, устанавливаемых как будто корпуса.

Рулевое устройство катера состоит из полубалансирного руля, штуртросовской прошивки и рулевой колонки. Перекладка руля с борта на борт осуществляется поворотом штуртального колеса. Штуртросовая проводка состоит из оцинкованного сталь-

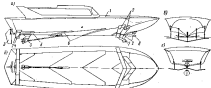


Рис. 126. Схема крыльевого устройства и выступающих частей катера «Чайка»: а — вид сбоку; б — вид на длину; в — вид на выс.; г — вид на коршу; д — киев; е — стойка носового винта крыльев; ж — трапец; з — кильсона крыльев; и — крылья с гребными винами; к — руль; л — носовое крило; м — дополнительные крилья крыльев.

ного троса диаметром 5 мм, патиновых талрепов и направляющих роликов. Кругящий момент на руль передается с помощью сектора, закрепленного в верхней части носа руля. Установленные на секторе ограничители позволяют перекладывать руль по 40° на борт. Нос руля с помощью штифа извещается на закрепленный на трапце кронштейн, имеющий две бронзовые втулки, в которых вращается шток руля. Общая площадь носа руля $0,154 \text{ м}^2$; при ходе на крыльях погруженная часть руля составляет $0,11 \text{ м}^2$.

Якорное устройство катера состоит из якоря повышенной держащей силы весом 5 кг и якорного капронового конца окружностью 40 мм и длиной 20 м . Якорь специальными зажимами крепится по-ходному в ахтерике. Для швартовки за палубу катера установлены две пары уток и пара кевловых плавников; для буксировки имеется следкальян утка (в районе переборки в 3 шт.).

В качестве спасательных средств используются парашютные сиденья кресел. В кокпите катера размещаются также весло, багор-отпорщик и осенушитель.

Моторная установка, валопровод, двигатель

На катере «Чайка» установлен четырехтактный карбюраторный автомобильный двигатель М-13, конвертированный для работы в судовых условиях. При конвертации двигателя, который серийно промышленностью пока не освоен, были сделаны переделки отдельных систем двигателя, общепринятые в практике катеростроения. Эксплуатационная мощность двигателя — 120 л. с. Двигатель устанавливается на резиновых амортизаторах. Система охлаждения — двухконтурная, допускающая эксплуатацию катера в морских условиях. Во внутренний контур системы (пресной воды), помимо установленных на двигателе водяного насоса и термостата, включены: подводный радиатор (теплообменник), расширительный бачок и трубопроводы.

Наружные системы (система забортной воды) состоят из водозаборного патрубка, подштока фильтра, водяного насоса и трубопроводов с кранами и запорными кранами.

Система смазки при конвертации двигателя осталась без изменения, за исключением установки колодильника масла для двигателя и колодильника масла для коробки передач.

Система газоподачи подвергнута значительным переделкам. Штатный выхлопной газопровод двигателя (с обеих сторон) заменен изготовленным из алюминиевого сплава специальным газопроводом, целиком закрытым винтовой рукояткой, составленной с ним одно целое. Газы из выхлопного газопровода проходят через глушитель в выхлопную трубу (с правого и левого борта). Для уменьшения нагрузки и повышения эффективности глушения в заработочное пространство трубы, а затем и в выхлопную трубу подается забортная вода. Подачу воды можно регулировать с помощью проходных кранов, установленных в системе забортной воды.

Топливная система состоит из двух топливных баков, способных до 80 л каждый, бензопроводов, пусковых фильтров, кранов. Остальные узлы системы (бензонасос, карбюратор и др.) являются штатными агрегатами двигателя.

Передача крутящего момента от двигателя на гребной винт осуществляется посредством гидравлической муфты и коробки передач, входящей в комплект мотора. Приводы управления двигателем, гидромуфтой и коробкой передач выведены непосредственно в место воланов на штоки приборов при помощи тяг и трюсов. Валопровод катера состоит из гребного вала, изготовленного из пережавющей стали, лебедкуного устройства, упорного подшипника и концевого кронштейна с резино-металлическими подшипниками.

В качестве двигателя на катере предусмотрена трехлопастная гребная винт, изготовленный сваркой из пережавющей стали. Контроль за работой двигателя производится по из-

трольно-измерительным приборам: термометрами воды и масла, изомерзу масла, уравнemerу топлива, тахометру, смонтированным на приборном щите, аналогичном щиту автомобиля «Чайка».

Электрооборудование и радиосвязь

Электрическая сеть катера «Чайка» работает на постоянном токе напряжением 12 в. Система канализации электроэнергии — однопроводная (без использования корпуса катера в качестве обратного провода), поскольку потребители электроэнергии, шниток приборов и генератор приспособлены для работы по однопроводной схеме. Источниками энергии на катере являются: генератор постоянного тока типа ГС 101-ОС, напряжением 12 в, напеченный на двигатель, в аккумуляторных батареях типа ТСТ-68-ЭМ. Канализация тока осуществляется проводом марки ЛПРГС, с канализацией стартерской цепи — кабелем марки КИР.

На катере имеются следующие потребители электроэнергии: стартер двигателя, бортовые отключительные огни (два), электрозвуковые сигналы (два), контрольные приборы двигателя, передние лампы, часы, радиоприемник, электрическая лампа в моторном отсеке, лампы подсвета щитка приборов, система зажигания двигателя. Для приема широковещательных передач в диапазоне средних и длинных волн на катере установлен автомобильный радиоприемник типа А-В.

§ 14. КРИПТАДИФРАМБАВАЯ ЛОДКА

В соответствии с многочисленными просьбами разработать проекты небольших быстрозаданных судов, приспособленных для индивидуальной постройки, создано криптомашинное устройство к серийно строящейся десантной лодке с подвесным мотором «Москва» (рис. 127). Установка на лодке подводных крыльев позволила увеличить скорость в 1,5 раза без всякого форсирования мотора при использовании штатного гребного винта.

Сравнительные скоростные характеристики лодки с крыльями и без крыльев при различной весовой нагрузке приведены ниже:

	Длина без крыльев	Длина за крыльями
Водоизмещение, кг		
при загрузке 3 чл.	400	420
" " 2 "	330	350
" " 1 "	250	270
Скорость хода, км/час		
при загрузке 3 чл.	24	40
" " 2 "	26	41
" " 1 "	29	42

Ввиду того, что крылатая дюралевая лодка создана на основе серийно строящейся, ей не были приданы обводы, свойственные другим крылатым судам и характеризующиеся значительной килевойостью днища, наличием реданов, высоким подъемом складки в носу, хотя такие обводы могли бы улучшить ходовые и мореходные качества лодки на крыльях.



Рис. 127. Крылатая дюралевая лодка. Скорость мах 46 км/час.

Открытый кокпит лодки защищен спереди ветровым стеклом. В носу расположены отсеки для хранения багажа. Имеются два воздушных ящика.

Крыльевое устройство

Крыльевое устройство дюралевой лодки состоит из носового и кормового крыла (рис. 128). Конструкция крыльевого устройства позволяет легко, быстро (за 3–5 мин.) убрать крылья на палубу лодки или ставить их в рабочее положение. Носовое крыло (рис. 129) поднимается из воды за капроновый шнур простым поворотом вокруг палубных цапф после отдачи скользовых фиксаторов. В рабочее положение носовое крыло ставится на малом ходу поворотом в обратном направлении. Фиксируется в рабочем положении крыло антиматически.

Кроме двух бортовых стоек, носовое крыло имеет среднюю стойку, которая к корпусу не крепится, а присоединяется свободно через тонкую резиновую или пластмассовую прокладку, приклеенную к фланцу стойки. На бортовых стойках носового крыла установлены для вспомогательных крылевых элементов — заслонки; они облегчают выход из крыльев, обеспечивают попречную

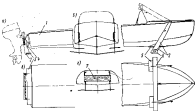


Рис. 128. Схема крыльевого устройства и выступающих частей дюралевой лодки: 1 — под обтек; 2 — под на консоль крыла; 3 — под на корп.; 4 — корпус; 5 — стойка крыла; 6 — панель крыла; 7 — антимак; 8 — плавность складки на консоль крыла; 9 — триммером крыла.

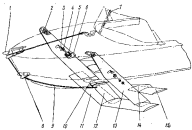


Рис. 129. Частично крыльевое устройство дюралевой лодки: 1 — руль; 2 — кильный кронштейн; 3 — балансировщик; 4 — болт крепления; 5 — опорное устройство; 6 — скользовой кронштейн; 7 — заслонка-дистанцион; 8 — винт; 9 — плавность складки крыла; 10 — киль; 11 — складка носового крыла; 12 — стойка бортовая; 13 — кронштейн кронштейна; 14 — мачта.

стойчивость при выходе на крылья, кроме того препятствуют распространению брызг от носового крыла и бортовой стойки.

Коренное крыло (рис. 130) с помощью двух стоек крепится к подножной трапецевидной доске, на которую навешивается и под-

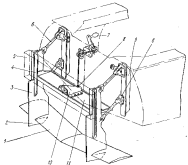


Рис. 130. Коренное крыловое устройство донной лодки.
1 — носовой кореневой крылья; 2 — хвост; 3 — плита киля крыла;
4 — панелька 200×200 мм; 5 — трапециевидная доска; 6 — параллелограммический
линейка; 7 — лебедка для изменения положения; 8 — трос; 9 — сторона панели
(высота 400 мм); 10 — руль; 11 — гидродинамическая доска.

всной мотор. Параллелограммическая подвеска обеспечивает перемещение коренного крыла и двигателя таким образом, что двигатель может работать в различных положениях по высоте.

Глава IV

МЕЛКОСИДДЯЩИЕ СУДА НА ПОДВОДНЫХ КРЫЛЫХ С ЧАСТИЧНО ПОГРУЖЕННЫМИ ГРЕБНЫМИ ВИНТАМИ

§ 15. КАТЕР «ВОЛГА-М»

Мелкосиддящий катер «Волга-М» создан на базе серийного катера «Волга». Габаритная осадка катера в сравнении с катером «Волга» уменьшена на 0,3 м, что позволяет эксплуати-

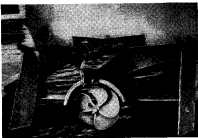


Рис. 131. Коренное крыло и движительно-рулевой комплекс мелкосиддящего катера «Волга-М».

ровать его при ходе на крыльях на глубинах до 0,25 м и в водоизмещением режимы до 0,65 м. Это значительно расширяет область применения катера.

Снижение осадки достигнуто подъемом гребного винта (рис. 131) в результате уменьшения угла наклона гребного вала от 12 до 8°. Это позволило уменьшить снос потока в районе гребного винта, т. е. повысить упор и к. п. д. винта. Однако

расположенный таким образом гребной винт на эксплуатационных скоростях работает в условиях яхтного (частичного) погружения. Поэтому потребовалась дополнительные изыскания по созданию движительного комплекса катера, обеспечивающего все режимы движения. Трудность создания такого комплекса заключается в том, что на различных режимах движения катера движитель работает в неодинаковых условиях: в условиях полного погружения до выхода катера из крыльев и в условиях частичного погружения — при ходе на крыльях. Выбранные геометрические характеристики и место расположения гребного винта (в районе требия волн от кормового крыла) обеспечили удовлетворительную работу движителя на всех режимах движения катера и максимальную скорость катера 60 км/час.

Существенную роль в комплексе играет специальный кожух, установленный над гребным винтом. Кожух уменьшает поступление к гребному винту атмосферного воздуха и формирует потоки и диски аквата, ликвидируя брызгообразование; через кожух прощупывается, кроме того, забор воды для охлаждения двигателя. Благодаря малой осадке катера оказалось затруднительным обеспечить хорошую управляемость его одним рулем. Поэтому на катере установлено два руля. Особое внимание при проектировании катера было обращено на обеспечение высокой живучести движительно-рулевого комплекса. Как свидетельствует опыт эксплуатации катера, гребной винт, расположенный за крыльями, и рули, установленные за стойками кормового крыла, надежно защищены.

§ 14. ПАССАЖИРСКИЙ ТЕПЛОХОД «РАКЕТА-М»

Малосидящий теплоход «Ракета-М» создан на базе серийного теплохода «Ракета» (рис. 132). Назначение теплохода — скоростные пассажирские перевозки на пригородных и местных мелководных линиях протяженностью до 350 км с глубиной фарватера не менее 1,2 м.

Корпус и крыльевое устройство теплохода «Ракета-М» аналогичны теплоходу «Ракета». Главной отличительной особенностью теплохода является движительно-рулевой комплекс (рис. 133). Снижение габаритной осадки на плаву с 1,8 м (теплоход «Ракета») до 1,2 м («Ракета-М») достигнуто за счет подъема гребного винта в результате уменьшения угла наклона гребного вала от 12 до 5°. Это привело, с одной стороны, к уменьшению скоса потока в районе винта, с другой — к тому, что при эксплуатационной скорости гребной винт работает в условиях неполного погружения. Выбранные геометрические характеристики и место расположения гребного винта позволили успешно решить вопрос создания частично погруженного

движителя теплохода. Гребной винт, установленный в зоне требия волн кормового крыла, имеет следующие элементы: $D = 0,665$ м, $H_{cr} = 0,910$ м (переменный по радиусу), $\theta = 1,45$,

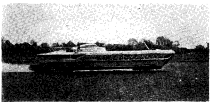


Рис. 132. Малосидящий теплоход на мелководных крыльях «Ракета-М».

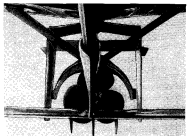


Рис. 133. Корпусное крыло и движительно-рулевой комплекс теплохода «Ракета-М».

— 6. Профиль сечения лопасти винта — выпукло-вогнутый сегмент. Такой винт удовлетворяет всем режимам движения судна.

В связи с малой осадкой теплохода для достижения необходимой управляемости его установлены два руля. Особое зна-

мание при проектировании теплохода было обращено на обеспечение высокой живучести движительного-рулевого комплекса. Поэтому гребной винт был расположен за крылом и кронштейном, а рули — за стойками носового крыла.

Водоизмещение теплохода сажжно с 25,3 т (теплоход «Ракета») до 23,0 и результате уменьшения веса машинной установки

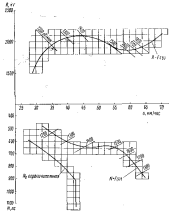


Рис. 134. Паспортная диаграмма гребного винта теплохода «Ракета-М».

новки, запасов топлива и числа пассажиров (до 50 чел.): Запас топлива принят равным 1000 кг (вместо 1400 кг на теплоходе «Ракета»). Из оборудования машинного отделения снят вспомогательный двигатель ДГК, а установленный отдельно компрессор К2-150 приводится от гребного вала через фрикционную муфту. На теплоходе имеется только один самузел. Второй переборкован под кладовую. Спасательные пояса уложены в двух бинокетках, находящихся в салоне в районе буфетной стойки. Из рубки сделан выход на главную палубу в районе 29—30 шп.

Эксплуатационная скорость теплохода при пассажиромместности 50 чел. составляет 60 км/час. Потребляемая мощность рабочего ~ 800 л. с. На рис. 134 показана паспортная диаграмма гребного винта теплохода «Ракета-М».

§ 17. ПАССАЖИРСКИЙ ТЕПЛОХОД «БЕЛАРУСЬ»

Пассажирский теплоход на подводных крыльях «Беларусь» (рис. 135) предназначается для скоростных перевозок за приго-



Рис. 135. Пассажирский теплоход на подводных крыльях «Беларусь». Скорость хода 60 км/час.

родных и местных речных линиях протяженностью до 320 км, в зеркалах рек, допускающих эксплуатацию судов с осадкой не более 0,9 м.

Основные элементы и характеристики теплохода

Габаритные размеры, м:	
длина	18,55
ширина	4,54
высота	4,23
Осадка габаритная, м:	
на плаву	0,9
при ходе из кильватера	0,3

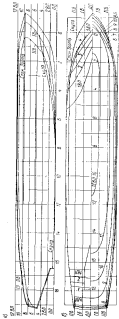
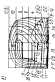


Рис. 136. Технический чертеж корпуса теплохода «Белазовец»: а — фронт; б — борт.



Подводимая, т:	
корпус	36
погон	14,5
Мощность скважин установки, к.с.:	
максимальная	1200
аккумуляторная	600
Скорость эксплуатационная, км/ч	40
Плавучесть, чл.	40 *

Корпус теплохода (рис. 136) имеет упрощенные обводы с острыми скосами. Днищевые и бортовые кижи шпангоутов корпуса прямолинейны. Нос теплохода клиновидный с пологим наклоном форштевнем. Корона линкосбразная. Кильватер днища теплохода в районе $16\frac{1}{2}$ шп. имеет редан прямой формы в плане. Высота редана у борта — 250 мм, в ДП — 225 мм. Клиренсность днища теплохода по длине составляет в носовой части — 18°, в районе жилдча — 0° и в районе редана — 5°. Днище в районе 15—16½ шп. имеет полуторакиль.

Общее расположение

Схема общего расположения серийного теплохода «Белазовец» показана на рис. 137. Корпус теплохода разделен по длине шестью поперечными переборками. Водонепроницаемыми являются переборки машинного отделения (26 и 35 шп.) и форштевневые переборки (2 шп.) в пределах высоты надводного борта. Форштевень расположен в районе от форштевня до 2 шп. Доступ в него возможен через горловину форштевневой переборки. В районе 2—6 шп. находится ходовая рубка. Вход в рубку осуществляется через дверь в переборке б шп. Между б и 8 шп. расположен тамбур, через который производится посадка и высадка пассажиров.

Пассажирский салон на 40 мест размещается в районе 8—23 шп. Салон имеет два выхода: один в носу, другой — в корме. Между 23 и 26 шп. расположены туалет, полка для багажа, трап запасного выхода на тектовую палубу и аккумуляторы. Последние размещаются в подводнепроницаемой выгородке под трапом. Запасной выход в случае необходимости может быть использован для посадки и высадки пассажиров.

В районе 26—35 шп. расположено машинное отделение. Вход в машинное отделение осуществляется через подводнепроницаемую дверь в переборке 26 шп. В тектовой палубе над машинным отделением имеется люк для якоря и установки двигателя. Ахтерник, используемый в качестве румпельного отделения, расположек в кормовой части за 35 шп. Доступ в иззернику осуществляется через люк в тектовой палубе.

* Периодическая балка зострена три звена для пассажировместимостью 50 чел.

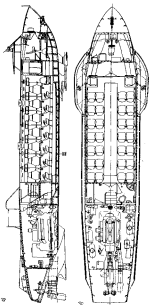


Рис. 137. Схемы общей узловатой конструкции теплохода «Большая» (605М): а — продольный разр.; б — план корабля.

Конструкция корпуса

Корпус теплохода изготовлен из дюралюминия марки Д16 (ластовой материал Д16АТ, профильный материал Д16Т). Для отдельных узлов и деталей применяется алюминиевый сплав марки АМг-5В (форштевень, башмаки подкрепления, привальный брус). Все детали корпуса из алюминиевых сплавов и целях повышения коррозийной стойкости оксидированы, а остальные детали силиконизированы и изолированы от алюминиевых в местах соприкосновения прокладками из тиколойной ленты или бахром на эпоксидных белках.

Конструкции корпуса теплохода клепаны: узлы конструкции, изготовленные из алюминиевомагниевых сплавов, сварены с помощью аргонодуговой сварки. Герметизация всех водонепроницаемых швов производится прокладками из тиколойной ленты и тиколойной замазки. Система набора корпуса теплохода — смешанная. Продольные связи по днищу, борту и палубе набраны из неразъемных ребер жесткости Z-образного профиля, кильсвою, карлингсов и бортовых стрингеров. Поперечный набор во всей длине судна состоит из рамных шпангоутов, установленных на свободную полку продольных ребер жесткости и соединенных с ними заклепками через горизонтальные накладки (рис. 138 и 139).

В районе от форштевня до 9 шп. и от 26 шп. в корму днищевые шпангоуты доведены до обшивки двинца и соединены с неей с помощью угольников. Такое же соединение с обшивкой имеют бортовые вспомогательные шпангоуты от 36 шп. в корму. В остальных районах шпангоуты скреплены с обшивкой местными коротышками Z-образного профиля, устанавливаемыми у скулья и продольных рамных синзей. Продольные ребра жесткости соединены с поперечными переборками с помощью клин. Расстояние между шпангоутами по всей длине теплохода равно 450 мм, за исключением течетной палубы в районе 6—26 шп., где шагающая составляет 500 мм. В местах присоединения кронштейнов бортовых стекел косового и кормового подводных крыльев по днищу установлены дополнительные местные подкрепления, к которым крепятся болтами кронштейны.

Поперечные переборки и наружная обшивка в углах узлов башмаками сварной конструкции из листов алюминиевомагниевого сплава марки АМг-5В. Стабилизаторы изготовлены из дюралюминиевых листов толщиной 1 мм и ребер жесткости. Слань в машинном отделении выполнена из дюралюминиевых рифленых листов толщиной 2 мм. Слань в пассажирском салоне, рубке и тамбурах изготовлена из съемных дюралюминиевых листов толщиной 2 мм, подкрепленных ребрами жесткости Z-образного профиля. Слань крепится к набору винтами.

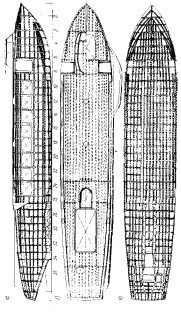


Рис. 138. Конструкции судов ходовой и морской тяжелых грузоподъемных: а — промежуточный; б — морской; в — судно-танкер.

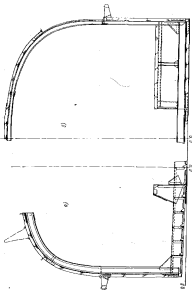


Рис. 139. Морской-ходовой тяжелый грузоподъемный пароход: а — палуба №10; б — палуба мусоросбросного

Изоляция, покрытия, отделка и окраска

Пассажирский салон и рубка отделяются изнутри по бортам, переборкам и подполке теплоизоляционным материалом марки АТМ-1, настенки из металла клеем марки ВК-32-2. Машинное отделение изолировано по бортам выше патернитии, подполие и крышка люка материалом марки АТМ-1 толщиной 35 мм. Изоляция закрыта парфорованными дюроминимешками листами толщиной 0,8 мм и крепится к набору корпуса с помощью отогнутых фланцев. У основной коперечной переборки машинного отделения установлены легкие переборки, а пространство между ними заполнено звукоизолирующим материалом.

Для обшивки помещений и на различные поделки применяется силь и березовая акустическая фанера. При отделке помещений использованы плинтуса галантейной и декоративной слоновой пластик толщиной 2 мм. Подполка пассажирского салона, а также борта и коперечные переборки выше низкой заслонки окон отделаны плинтусом.

Для отделки бортов и коперечных переборок ниже окон используется пластик. Панель рубок по нижней кромке окна зашивается по обрешетнику декоративным слоновым пластиком толщиной 2 мм. Подполка, борта и переборки зашивается плинтусом. Крепление плинтуса и пластика к обрешетнику и заделка стиков и пазов плинтуса и пластика производится раскладками из профилированного дюроминимешка. Участки палубы в пассажирском салоне, тамбурах и рубке покрыты лотофильсным лиголеумом толщиной 2,5 мм. К валику палубы лиголеуму привлесен клеем марки 88Н или ВК-32-2. В туалете пол и стены на высоту 150 мм покрыты стеклопластиком методом контактного формования.

Подводная часть корпуса снаружи покрыта грунтом марки ВЛ-02, а сверху окраинена эмалью марки ЭШЭЛ. Внутренние и наружные поверхности корпуса выше патернитии загрунтованы одним слоем фосфагрирующего грунта марки ВЛ-02. Снаружи теплоход окрашен пентафталевыми эмалью марки ПФ.

Оборудование помещений и дельные вещи

Пассажирский салон оборудован двенадцатью трехместными и двумя двухместными креслами, крепленными по типу междугородних автобусов. Кресла крепятся на алюминиевых трубах: подушки, сиденья в стекловолокне из паралона, а обивка из автобуса. Кресла крепятся к палубе салона болтами. Вдоль бортов над окнами установлены сетки для легких ручных вещей. Окна пассажирского салона закрываются калюшонами занавесками. В пристенках между окнами имеются крючки для одеял.

Кормовой тамбур оборудован полкой для хранения багажа, бачком для питьевой воды и урной с откидной крышкой для мусора.

С целью звуко- и шумозащиты на тентовую палубу предусмотрены люк размером 1400×2600 мм в свету, снабженный водонепроницаемой крышкой. Крышка люка по контуру имеет уплотнительную резиновую прокладку и поджимается на моторного отделения откидными задраjkами.

Для выхода из кормового тамбура на тентовую палубу предусмотря люк размером в свету 800×1350 мм, снабженный крышкой.

Окна в пассажирском салоне, кормовом тамбуре и туалете — глухие, прямоугольные, с размером в свету 630×750 мм. Стекла окон выполнены из пlexiglasа толщиной 4 мм. Верхняя часть окон (фрамуги) в салоне и санузле изготовлена открывющейся. Стекла установлены на уплотнительном резиновом жгуте и закреплены металлическими винтами на зингах. Иллюминаторы в машинном отделении — глухие, круглые, диаметром в свету 300 мм. Окна в рубке изготовлены из пlexiglasа толщиной 4 мм. Стекла окон установлены на резиновых уплотнительных прокладках и закреплены алюминиевыми планками на винтах. Любое окно в ходовой рубке сделано открывющимися. Стекло имеет толщину 6 мм и установлено в дюроминимешковую рамку на резиновую уплотнительную прокладку.

Дверь в ходовую рубку выполнена металлической, единичной, размером в свету 600×1600 мм. Двери пассажирского салона — двухстворчатые размером 700×1750 мм в свету. Рама створок дверей изготовлена из дерева. Наружные и внутренние стороны двери оклеены слоновым пластиком. Односторонняя дверь в туалете имеет размер в свету 600×1750 мм. Дверь в машинное отделение (переборка 27 шт.) — металлическая, двухстворчатая, размером в свету 550×1600 мм. Воздушный зазор между створками двери 60 мм, толщина стекла 2 мм; по внутреннему контуру (между стеклами) наклеен звукоизолирующий материал марки ВТ-4С толщиной 60 мм. Дверь снабжена дюймовым резиновым уплотнителем и задраjkами. Все двери имеют замки и по контуру резиновые уплотнительные прокладки.

Наружная посадочная дверь в носовом тамбуре — двухстворчатая, открывающаяся наружу, шириной 700 мм. Она имеет запорное устройство и изготовлена из алюминиевых сплавов.

Стран запасного выхода на тентовую палубу имеет ширину 700 мм и установлен под углом 60° к основной плоскости. Ступени трапа изготовлены из рифленых листов шириной 220 мм и высотой 225 мм.

Судовые устройства

Теплоход «Беларусь» снабжен одним посовым якорем повышенной держащей силы конструкции Матросова весом 15 кг. Якорный трос — стальвой, диаметром 6,2 мм и длиной 50 м. К якорю крепится цепь калибром 8 мм, длиной 0,6 м. Подъем якоря осуществляется ручной якорной лебедкой, установленной в рубке у форпиковой переборки. Основные технические характеристики лебедки приведены ниже:

Тяговое усилие на барабане при отрыве якоря, кг	250
Скорость выбирания троса при заднем якоре, м/мин	5,5
Усилие на рукоятке при отрыве якоря, кг	23

Лебедка имеет рукоятку для выбирания троса, зраповой механизм и дисковый фрикционный тормоз. На конце якорного троса, закрепленного на барабане лебедки, предусмотрено устройство для быстрой отдачи. Предусмотрено и крепление якоря по-походному.

Теплоход снабжен тремя швартовными канатами калибром диаметром 19,1 мм: одним длиной 30 м и двумя длиной по 15 м. Швартовные канаты хранятся в носовом тамбуре у пассажирского трапа и в кормовой части у запасного выхода в специальном кармане. Для швартовки теплохода имеются также двухтумбовые крестовые киевты: два на носовых обносах (по одному с каждого борта) и два на течевой палубе в районе запасного выхода. Кроме того, на носовом обесе установлено по одному однотумбовому киевту с каждого борта. Швартовные киевты изготовлены сварными из алюминиевого сплава. Буксировка теплохода осуществляется за киевты, установленные на обносах.

Рулевое устройство теплохода «Беларусь» состоит из двух полубалансирных рулей. Погруженная площадь рулей при движении в плане составляет 1,0 м², при ходе на крыльях — 0,34 м². Перо каждого из рулей напичкано сплошным из алюминиевомагниевого сплава марки АМг-61. Каждый руль крепится на двух опорах. Верхней опорой служит баллер, прощающийся в подшипнике, установленном в корпусе из резиновой прокладке. Нижней опорой является петля, укрепленная на стойке крыла и имеющая резиново-металлический подшипник. Петля соединяется со стойкой крыла и с верхом руля на заклепках. Башмак и летки выполнены из стали марки Ст. 3. Перекладка рулей осуществляется при помощи гидравлической системы управления.

Крыльевое устройство теплохода «Беларусь» (рис. 140) состоит из двух подводных крыльев (носового и кормового) и бортовых закрылков. Профиль сечений крыльев и закрылков — алюминиевый с острой передней кромкой. Крылья крепятся к корпусу теплохода стойками. Плоскости крыльев, закрылков и

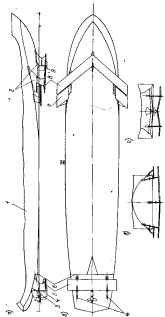


Рис. 140. Схема крыльевого устройства и конструктивные частные виды крыльев теплохода «Беларусь». 1 — крылья; 2 — палуба; 3 — хвостовой киль; 4 — руль; 5 — опоры; 6 — кронштейны; 7 — гидравлический привод крыльев. 1 — крылья; 2 — стойки крыльев; 3 — хвостовой киль; 4 — кронштейны; 5 — опоры; 6 — кронштейны; 7 — гидравлический привод крыльев

стойки изготовлены из алюминиевомагниевого сплава марки АМг-61 и АМг-5В и имеют спиральную конструкцию.

Леерное устройство судна представляет собой ограждение высотой 890 мм, изготовленное из дюралюминиевых труб. Устройство установлено в районе запасного выхода на палубе. Верхний леер в местах посадки по бортам теплохода сделан съемным. На переборке 8 шт. со стороны носового тамбура в на трапе запасного выхода установлены поручни из алюминиевых труб.

Теплоход снабжен одним спасательным плотиком на 13 чел. в двух спасательных кругах. Спасательные круги размещены в носовом тамбуре и в корме на таутовой палубе. Спасательный плотик расположен в кормовой части теплохода на тенте между стабилизаторами.

Судовые системы

Система осушения теплохода «Беларусь» состоит из ручного насоса марки РН-20 с гайкой рукавом типа Б-3 диаметром 25 мм и длиной 10 м. Рука снабжена за конус приемной скважиной. Подача воды от насоса на борт осуществляется по оцинкованному трубопроводу типа Ду20, изготовленному из алюминиевомагниевого сплава марки АМг. Прием воды осуществляется при помощи ручного насоса и лебедки из отсеков 23–26 шт. Вода в эти отсеки поступает и из других отсеков через голубинцы. Дополнительным средством осушения машинного отделения служит электроприводной насос марки ВН, производительностью 3000 л/час.

Теплоход имеет естественную вентиляцию помещений Я. Воздух в помещениях на ходу теплохода подается через вдувные козырьки на тенте за счет скоростного напора. Вентиляция пассажирского салона на стоянке теплохода осуществляется также через козырьки и открываемыеся фрамуги окон. Вытяжка воздуха из помещений на ходу теплохода производится через открывающиеся окна и вентиляционные решетки в переборке салона. Вентиляция машинного отделения на ходу осуществляется поддухозадувкой системой наддува главного двигателя. В машинное отделение воздух поступает через жалюзи в стабилизаторах и вырезы в тентовой палубе. На стоянке вентиляция машинного отделения осуществляется вдувками электроприводным марки ДВ-1К, производительностью 700 м³/час.

На теплоходе применяется система водяного отопления пассажирского салона и рубки. Горячая вода поступает из системы охлаждения главного двигателя. Предусмотрено также электрическое отопление с помощью электротрёлок.

Санитарная система теплохода состоит из системмы питьевой и мыльной воды. Система мыльной воды включает насосно-шестеренку с указателем уровня в маномете, санитарный насос марки ЭЩН-104, бак мыльной воды ёмкостью 60 л и трубопроводы с пряматором. В умывальник подается береговая вода, пропущенная в бак мыльной воды, в унитаз — забортная вода. Попадание забортной воды в умывальнику исключено. Подача воды в унитаз при работе с главным двигателем осуществляется насосом в сливной магистраль пневматического контура охлаждения главного двигателя, а на стоянке — насосом марки ЭЩН-104. Насос автоматически включается и выключается от манометра, установленного на пневматическая. Трубопровод изготавливается из алюминиевых труб, соединенных с помощью дюритовых муфт.

Система питьевой воды состоит из переносного бака питьевой воды ёмкостью 30 л в сливного трубопровода, изготовленного из алюминиевых труб. Наполнение бака питьевой воды производится с берега. Сливной трубопровод выведен за борт теплохода.

Сточная-фекальная система состоит из унитаза с пельяльным приводом, умывальника, фекальной цистерны ёмкостью 100 л, захлопки с ручным устройством для ее закрывания и открывания, сооматора, унитарного патрона и трубопровода с арматурой. Сточные воды от унитаза отводятся в фекальную цистерну, а оттуда через захлопку самотеком за борт или по сливному трубопроводу, снабженному унитарным патроном, удаляются с теплохода на станции очистки. Сточная вода от умывальников удаляется за борт. Для закрытия захода сточного магистрального трубопровода на его конце установлена захлопка, закрывающаяся и фиксирующаяся вручную.

В качестве противопожарных средств на теплоходе предусмотрены два огнетушителя марки ОУ-5 и четыре огнетушителя марки ОП-5. Кроме того, имеется набор противопожарного оборудования, состоящий из парусинового ведра и кошика размером 1×1,5 м.

Справочная информация

В качестве главного двигателя на теплоходе устанавливаются один дизель марки М50-Ф3 или М-400 правого вращения с высоким колесом двигателя левого вращения. Двигатель работает беспредставлением на палубе, который жестко соединен с фланцем реверсивной муфты двигателя при помощи фланцевой полумуфты. В машинном отсеке, кроме главного двигателя, расположены следующие механизмы и оборудование:

	Количество
Агрегат предварительной промывки топлива и масла	1
Редукторный промывочный насос РН-20 (текущий)	1
Насос перекачивающий ЭЦП-НН системы отопления	1
Насос сорвигательный РН-20	1
» санитарной воды ЗДН-104	1
Баки 40–160 л для масла	2
Бак топливный емкостью 345 л	1
» масляный емкостью 110 л	1
» разливочный водяной емкостью 30 л	1
Фильтр масляный односторонний	1
» топливный трубой синтетика	1
» водный	1
Гидравлический распределительный кран	1
Щит приборов главного двигателя	1
Осушительный насос ВН	1
Пневмодистрибутор	1
Бензокантер ДВ-1Х	1
Калодозоник МХД-4 к ВХД-5-1	1
Бак эмульсионной воды	1
Баллон для сбора грязного масла и топлива	2
Электромотор 463М	1
Версия	1
Оннегуантиль	2
Трансформатор	1
Кабель-лента подогрева системы	1
Греяка электрическая для обогрева мазанного отделения	1
Греяка электрическая для подогрева кювет в системе охлаждения главного двигателя	2

Системы, обслуживающие склоновую установку

Топливный трубопровод обеспечивает подачу топлива в топливную систему главного двигателя. Топливоподающая система двигателя состоит из трубопровода, фильтра грубой очистки, агрегата предварительной промывки и арматуры. На топливоподачивающем трубопроводе устанавливается один ручной насос марки РН-20, который используется при откаче подгружавшего агрегата. Подача топлива к двигателю производится из двух топливных баков, соединенных между собой перемычкой из труб с кранами, имеющими дистанционное управление из коренного тамбура. Баки оборудованы указательными колонками, датчиками дистанционного сигнализатора минимального уровня, расходно-перепускной и спускной арматурой и вентилиционными трубами с отверстиями предохранителями. Заполнение баков топливом производится через горловину заправки топлива, расположенную на палубе. Для удаления топлива из баков используется ручной всасывающий насос марки РН-20.

Трубопровод и арматура изготовлены из алюминиевого сплава. Соединение труб — дюритовое.

Масляный трубопровод обеспечивает подачу масла в масляную систему главного двигателя. Состоит масляная система из расходного бака вязкостью 110 л; двух парах фильтров, одна пара которых установлена в расходном баке, вторая — на выходе из двигателя; регулятора температуры масла, холодильника марки МХД-4, агрегата предварительной промывки масла, запорной и регулирующей арматуры и дистанционных указательных приборов давления и температуры. Масляный бак оборудован указательной колонкой, электротермой, датчиком дистанционного сигнализатора минимального уровня, вентиляционной трубой, приемной трубой и горловиной залива, размещенной на палубе. Для слива отработанного масла из двигателя имеется слипливая трубка, снабженная запорным краном и выведенная в легкодоступное место. Масло сливаются в специальные бидоны с помощью дюритового шланга. Трубопровод масляной системы изготовлен из труб алюминиевого сплава. Соединение труб — дюритовое.

Запуск главного двигателя обеспечивается воздушной системой, состоящей из двух баллонов емкостью 40 л каждый, рассчитанных на рабочее давление 150 кгс/см², предохранительной запорной, вспомогательной и пусковой арматуры и трубопровода. Трубопровод скатого воздуха изготовлен из стальных и медных труб. Соединение труб — штуцерно-торцевое. Заполнение баллонов сжатым воздухом производится от береговой станции через приемный штуцер, расположенный на палубе. Запуск двигателя производится из рубки с помощью дистанционного управления электропневматикой. Для ручного запуска двигателя в машинном отделении имеется пусковой клапан.

Газовый выпускной трубопровод обеспечивает отвод отработанных газов от двигателя. Он состоит из тройника, объединяющего газо выпускающие тракты двух выхлопных коллекторов двигателя трубопровода и компенсаторов. Для гашения шума выхлопов и охлаждения газовыпускного трубопровода используется забортная вода, опрыскиваемая в газовую полость тройника. Тройник изготовлен из листов нержавеющей стали, трубопровод — из листов алюминиевого сплава. Соединение труб осуществляется через компенсатор.

Трубопровод охлаждения двигателя состоит из трубопровода забортной воды (главный контур) и трубопровода пресной воды (внутренний контур). Трубопровод снабжает забортной водой двигатель и санитарную систему. Прием забортной воды обеспечивается двумя приемными кингстонами. Вода сливается через отливные кингстоны и газовыпускной трубопровод. Движение забортной воды в системе обеспечивается помпой забортной воды, плавящейся на главный двигатель, и

скоростным напором потока при ходе теплоблока. Забортная вода по магистральному временному трубопроводу проходит через холодильники воды и масла для отвода тепла от воды внутреннего контура и масла. От напорной магистрали трубопровода забортной воды имеются отводы для охлаждения газоизвлечной системы и смазки сальника дейдвуда. Имеется также патрубок подачи воды в санитарную систему. Внутренний контур обеспечивает отвод тепла от двигателя, его подогрев перед пуском и обогрев пассажирского салона и рубки теплоблока. Контур состоит из трубопровода, подающего воду к регулятору температуры воды, от которого вода поступает в помпе пресной воды двигателя через холодильник или минимум его.

Заполнение системы пресной воды производится из расширительного бака ёмкостью 30 л. Бак оборудован водонизнегательной колонкой, приемной трубкой с наружной отдушкой и патрубком для присоединения вентиляционной трубы.

Входящий в отходящий трубопровод пресной воды двигатель оборудован карманами для установки датчиков дистанционных термометров. К отходящему контуру пресной воды присоединена магистраль, подающая воду в систему отопления. Количество воды, поступающей в отопление, регулируется проходными кранами, установленными на отходящем трубопроводе пресной воды. Прогрев двигателя в холодное время производится водой, нагретой электротреками. Трубопровод с охлаждением изготовлен из алюминиевых труб. Соединение труб с двигателем — фланцевое, а между трубами и арматурой — дюймовое.

Гидравлическая система управления главным двигателем состоит из цилиндров-датчиков, расположенных в рубке, цилиндров-исполнителей, установленных на главном двигателе; заправочного бака, снабженного восьмью запорными вентилями, установленными в рубке; трубопроводов и арматуры. Трубы изготовлены из стали марки Х18Н10Т. Соединение трубопроводов с арматурой — ниппельное. В качестве рабочей жидкости в системе используется масло марки АМГ-10.

Главный двигатель теплоблока «Беларусь» имеет один дистанционный пост управления, расположенный в рубке. Здесь размещены органы управления главным двигателем и контрольно-измерительные приборы. Для контроля за нормальной работой главного двигателя имеется два приборных щита: один в машинном отделении, другой — в рубке. На щите в рубке установлены следующие приборы и средства сигнализации и управления: электризометр для замера числа оборотов двигателя, манометр давления топлива после подкачивающего насоса, манометр давления масла в главной магистрали за издои динателя, термометр дистанционный для замера температуры находящейся пресной воды; термометр дистанционный для замера

температуры выходящей пресной воды; термометр дистанционный для замера температуры находящего масла; термометр дистанционный для замера температуры выходящего масла; манометры давления в гидросистеме и в системе пускового воздуха. Кроме того, на щите приборов в рубке установлены лампы, сигнализирующие: о падении уровня в баках топлива и масла, а также в расширительном баке; о превышении температуры отходящих газов; об увеличении давления масла за подкачивающим насосом; о превышении температуры масла в воде на выходе из двигателя и об упоре рукоятки реверса. На щите приборов имеется кнопка прокачки и кнопка запуска и остановки двигателя.

Валопривод и динамители

В качестве движителя на теплоблоде «Беларусь» установлен один гребной зинг лодового привода, имеющий следующие основные характеристики (рис. 141).

Диаметр $D, \text{м}$	0,665
Шаг P (перемещение по радиусу), м	0,016—0,065
Диаметр отверстия $B, \text{м}$	1,43
Число лопастей z	6

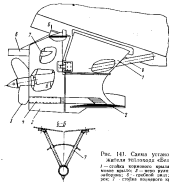


Рис. 141. Схема установки двигателя теплоблока «Беларусь»:
1 — стойка коренного вала; 2 — направляющие крылья; 3 — вал-шестерня; 4 — подшипник; 5 — гребной зинг; 6 — корма; 7 — стойка вспомогательного вала

Гребной вал, угол наклона которого к основной линии теплохода составляет 12° , жестко соединен с фланцем реверс-муфты двигателя при помощи фланцевой полумуфты. Диаметр

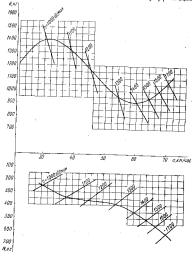


Рис. 142. Паспортные диаграммы гребного винта теплохода «Беларусь».

шестки вала равен 72 мм. Вал изготошен из нержавеющей стали марки 40.

Передача упора гребного винта осуществляется через упорный подшипник, установленный в реверс-муфте главного двигателя. Опорами валопровода являются резино-металлический

подшипник, расположенный в концепции кронштейне, и упорный подшипник. Смазка подшипника производится набегающим потоком воды через полость кронштейна. В месте прохода гребного вала через днище имеется лебедкунное устройство, а к которому с помощью дюритовой муфты крепится сальники. Для плавники сальники примешиваются пенька марки III. Смазка сальников осуществляется водой из системы охлаждения через специальный трубопровод.

Паспортная диаграмма гребного винта теплохода приведена на рис. 142.

Электрооборудование и радиосвязь

Напряжение электрической сети теплохода «Беларусь» — 24 в, род тока — постоянный. Системы канализации, электроэнергии — однопроводная с использованием корпуса в качестве обратного провода. Источником тока теплохода обеспечивают питание потребителей электроэнергии на ходу и на стоянке. К неочищенной относятся: две кислотные батареи типа 6СТК-180, каждая напряжением 12 в, емкостью 180 а·ч при 20-часовом разряде (аккумуляторные батареи соединены последовательно) и генератор типа ГСК-1500, мощностью 1000 вт, напряжением 27 в, вращающийся на главном двигателе теплохода.

Система распределения электроэнергии — фидерная. Электроэнергия от генератора и аккумуляторных батарей проходит через главный распределительный щит, установленный в машинном отделении. От главного распределительного щита получают питание следующие потребители: электродвигатель вентилятора в машинном отделении, электродвигатель осушительного насоса, электродвигатель насоса отопления, электродвигатель агрегата промывки, электродвигатель насоса гидравлики, щит приборов и управления в рубке, освещение, рулевое управление, пожарная сигнализация, звонковая связь машинного отделения с рубкой, сигнально-измерительные огни, электродвигатель санитарного насоса. Со щита приборов и управления в рубке получают питание: контрольно-измерительные приборы, розетки в рубке, сигнально-измерительные огни, сирена, система аварийного останова теплохода, звонковая связь машинного отделения с рубкой и радиотрансляция. Имеется дистанционное отключение выключателя в машинном отделении, электродвигателя системы отопления, освещения рубки, сирены и проходов, осушительного насоса и насоса гидравлики.

Схемой коммутации распределительного щита осуществляется питание всех потребителей теплохода от аккумуляторных батарей; параллельная работа генератора марки ГСК-1500 с аккумуляторной батареей; питание части потребителей от

сети переменного тока напряжением 220 в через трансформатор напряжением 220/24 в в закрытка аккумуляторной батареи от береговой сети переменного тока напряжением 220 в через специальное зарядное устройство, установленное на главном распределительном щите.

Для защиты фидеров от токов короткого замыкания и перегрузки применяются тепловые автоматы марки АЭС. Защита генератора ГСК-1500 от обратного тока осуществляется регуляторной коробкой марки РК-1500. От тока короткого замыкания генератора защищается главной вставкой на распределительном щите. Работа генератора ГСК-1500 регулируется коробкой РК-1500. Контроль за работой генератора и аккумуляторной батареи на главном распределительном щите и на щите приборов и управлений производится с помощью амперметров и вольтметров, установленных в рубке.

Для канализации тока электрических сетей применяются прополы марок КНР, БПВЛ и РГМ. Сечение кабелей и проводов выбирается исходя из плотности тока с проверкой фидеров на падение напряжения.

Электропривод насоса прокачки состоит из электродвигателя марки МЛБ-53 (напряжение 24 в, мощность 2 кВт), контактора марки КМ-200Д и пусковых кнопок. Насос включается из машинного отделения или ходовой рубки. Привод санитарного насоса осуществляется с помощью электродвигателя марки Д-100С (мощность 150 вт, напряжение 24 в), промежуточного реле марки ТКЕ-21ПД и реле давления типа ОДК-57. Насос включается и выключается автоматически с помощью реле давления марки РДК-57. Для привода вентилятора в машинном отделении используется электродвигатель марки Д-400 (напряжение 24 в, мощность 600 вт) и контактор марки КМ-25. Включение вентилятора осуществляется со щита приборов в рубке выключателем, включением в цепь катушки контактора. Электропривод насоса гидравлики состоит из электродвигателя марки МД-1500 (напряжение 24 в, мощность 1500 вт), двух промежуточных реле марки ТКЕ-21ПД, контактора типа КМ-200Д, реле давления марки ГА-135 в побочном сопротивлении. Насос включается и выключается автоматически с помощью реле давления марки ГА-135. Осушительный насос приводится в действие электродвигателем марки МГТ-180С. Включение и выключение насоса производится из ходовой рубки. Электропривод спиралей состоит из электродвигателя марки УЗ-120 (24 в, 120 вт) в гидравлическом сопротивлении и контактора марки СВВ-4001. Включение и выключение электродвигателя производится из рубки педальных выключателей. Привод стеклоочистителя осуществляется электродвигателем (24 в, 100 вт). Включение и выключение электродвигателя производится из рубки автоматом зажигания марки ВЭС-5.

К электронагревательным приборам, установленным на судне, относятся: электротрекла марки ГС-500 (220 в) для обогрева рубки во время стоянки теплохода у берега, электротрекла ГС-1000 (220 в, 1000 вт) для обогрева машинного отделения также во время стоянки, две электротреклы типа ЭН-1500 (220 в, 1500 вт) для прогревания воды в коллекторах двигателя, электротрекла типа ЭН-1500 в расходном масляном баке для подогрева масла перед зуском главного двигателя.

Освещение теплохода состоит из светильников марки ПК-200 (салон, салазки, пособий тамбур), автобусных светильников (проходы, рубка) и специальных светильников (машинное отделение).

На теплоходе имеются следующие сигнально-отличительные огни: бортовой отличительный красный, бортовой отличительный зеленый, гакбортный, головной, стояночный, два бортовых стояночных, четыре отманы — передние и задние. Управление и контроль за огнями осуществляются на щите приборов и управления в ходовой рубке.

Внутрисудовая связь теплохода состоит из звуковой связи (связь рубки и машинного отделения). Питание звуков производится из судовой сети напряжения 24 в. Радиотрансляционная установка теплохода состоит из динамических громкоговорителей, расположенных в салоне, микрофона, усилителя в радиоприемника марки А-17, установленных в ходовой рубке.

Глава V

СУДА НА ПОДВОДНЫХ КРЫЛЬЯХ С ВОДОМЕТНЫМИ ДВИЖИТЕЛЯМИ

5.1. ЭКСПЕРИМЕНТАЛЬНЫЕ КАТЕРА

Малый экспериментальный катер на подводных крыльях с водометным движителем [рис. 143]

Основные элементы и характеристики катера

Габаритные размеры, м:	
длина	8,25
ширина	1,80
Среднее габаритное, м:	
на палубе	0,52
вокруг киля	0,16
Водометная, т:	
передним	1,07
позади	1,48
Схема установки	Концентрический
Максимальная мощность, к. с.	77
Максимальные углы оброта, градусов	
обратно	3200-3400

Движитель и реверсивно-рулевое устройство

В качестве движителя на катере испытано два водометных движителя: двухступенчатый и трехступенчатый.

Основные элементы двухступенчатого водометного движителя

Диаметр трубы D_{12} , м	0,266
* ротора D_1 , м	0,364
* ступицы ротора d_{12} , м	0,13

Элементы 1-й ступени:

шаг H_1 , м	0,3
дисковое отношение B_1	1,0
количество лопаток ротора n_1	16

профиль лопаток ротора — Плавкий сегмент

Элементы 2-й ступени:

шаг H_2 , м	0,32
дисковое отношение B_2	2,6
количество лопаток ротора n_2	6

профиль лопаток ротора — Выпукло-вогнутый сегмент

Между 1-й и 2-й ступенями водометного движителя установлен спрямляющий аппарат, состоящий из 24 лопаток.

Сопло водомета имеет внутреннее обжатие. Площадь выходного сечения сопла равна $0,01 \text{ м}^2$, а относительное обжатие составляет 0,27.

Для сужения струй, выходящей из сопла, в корпусе выходного сопла установлен спрямляющий аппарат с восемью лопатками. Сечение лопаток представляет клиновидный профиль. Забор воды осуществляется через входное щелевое отверстие



Рис. 143. Малый экспериментальный катер на подводных крыльях с водометным движителем. Скорость хода 65 км/час.

водозаборника, расположенного перед кормовым крылом катера (рис. 48).

Основные элементы трехступенчатого водометного движителя

Диаметр трубы D_{12} , м	0,265
* ротора D_1 , м	0,264
* ступицы ротора д.с. м	0,15

Задники 1-й ступени:	
шаг H_1 , м	0,30
дисковое отношение B_1	0,6

количество лопаток ротора n_1	36
Задники 2-й ступени:	

шаг H_2 , м	0,315
дисковое отношение B_2	0,6

количество лопаток ротора n_2	16
Задники 3-й ступени:	

шаг H_3 , м	0,33
дисковое отношение B_3	0,6

количество лопаток ротора n_3	16
Проектные характеристики	

Между 1-й и 2-й, 2-й и 3-й ступенями водометного движителя установлен спрямляющий аппарат (каждый по 24 лопаткам). Для сужения струй, выходящей из сопла водомета, в корпусе выходного сопла установлен спрямляющий аппарат с восемью лопатками. Сечение лопаток представляет клиновидный профиль.

камновой профиль. С целью увеличения скорости выброса струи из сопла последнее выполнено с внутренним обжатием. Площадь выходного сечения сопла равна 0.012 м^2 , а относительное обжатие составляет 0.32.

Водозабор осуществляется через входное щелевидное сечение водозаборника, расположенного перед корневым крылом, площадью 0.064 м^2 , с размерами целины $0.8 \times 0.08 \text{ м}$ и углом наклона плоскости входного сечения к ОЛ 7° .

На рис. 144 приведены результаты измерений катаера с водометом движителем в виде зависимостей:

$$P = f(n), \quad M_{sp} = f(n), \quad N = f(n).$$

Результаты скоростных испытаний катера с этим вариантом водометного движителя показаны на рис. 145 в виде кривых:

$$N = f(n), \quad M_{sp} = f(n), \quad v = f(n), \quad N = f(n).$$

На рис. 146 приведены зависимости пропульсивного качества от числа Фруда для катера с трехступенчатым водометным движителем к гребным винтам. Пропульсивное качество определено по формуле

$$K_{sp} = \frac{D_2}{35N}.$$

Сравнительные характеристики двух- и трехступенчатых водометных движителей показаны на рис. 147 в виде кривых $K_{sp}=f(Pr)$.

Как следует из рис. 147, в режиме выхода катера из кривля трехступенчатый водомет имеет к. п. д. за 4–6% выше, тогда как при $Fr > 5$ такое же преимущество в к. п. д. свойственно двухступенчатому водомету.

Испытания показали, кроме того, высокую эффективность применения направляющего аппарата для повышения к. п. д. и устранения крена от закручиванием ротором струя.

Направление движения катера изменяется в результате поворота выбрасываемой движителем струи. Для этого колеса на выходном сопле движителя подвешены две рулевые лопасти, соединенные через штуртросовую проводку с рулевой машинкой.

Рулевое устройство весьма эффективно и позволяет катеру совершать развороты на полной скорости с радиусом, составляющим 6–8 длины корпуса.

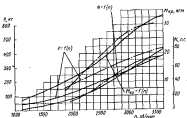


Рис. 144. Зависимости $P=f(n)$, $M_{sp}=f(n)$, $N=f(n)$ по результатам измерений изогнутой катера с водометом:
— для струи;
--- для винта.

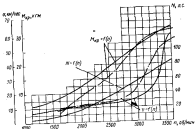


Рис. 145. Зависимости $N=f(n)$, $M_{sp}=f(n)$, $v=f(n)$ по результатам скоростных испытаний катера с водометом:
— для струи;
--- для винта.

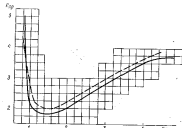


Рис. 146. Зависимости $K_{cr}=f(Pr)$ для катера с трехступенчатым водометным движителем и гребным винтом.

— гребной винт; - - - водомет.

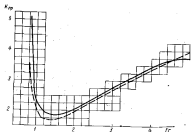


Рис. 147. Зависимости $K_{cr}=f(Pr)$ для катера с АВУО в трехступенчатом водометном движителе (— 70% ступеней; - - - 30% ступеней).

Большой экспериментальный катер на подводных крыльях с водометным движителем [рис. 148]

Основные элементы и характеристики катера

Габаритные размеры, м:	
длина	11,8
ширина	2,04
Осадка габаритная, м:	
на палубе	0,8
при ходе из крыльев	0,18
Водонематическое полотно, т	9,0
Силовая установка	Двигатель типа М-50
Максимальная мощность, л. с.	1200
Максимальные числа оборотов, об/мин	1850



Рис. 148. Большой экспериментальный катер на подводных крыльях.
Скорость хода 100 км/час.

Движитель и реверсивно-рулевое устройство. На катере установлен трехступенчатый водометный движитель, имеющий следующие основные элементы (рис. 149):

Диаметр, м:	
турбины	0,480
ротора	0,477
ступени	0,34
Шаг, м:	
1-я ступень	0,6
2-я "	0,6
3-я "	0,6
Двухлопастное склонение 1-й ступени	1,0
" " 2-й "	1,0
" " 3-й "	1,0
Количество лопастей 1-й ступени	96

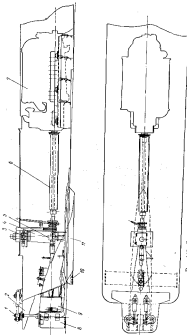


Рис. 149 Схема установки водозаборного аппарата на борту катера.
1 — пропульсивный гидрофот; 2 — опорная пластина; 3 — хвостовая кромка; 4 — фронтальная решетка; 5 — винт; 6 — винт; 7 — задняя решетка; 8 — винт; 9 — винт; 10 — задняя решетка; 11 — винт; 12 — винт.

Между 1-й и 2-й, 2-й и 3-й ступенями движителя установлены спиральные аппараты, имеющие каждый по 24 лопатки. Кроме того, в сопле движителя установлен спиральный аппарат с 16 лопатками. Сопло водомета имеет двухстороннее обжатие (по наружному и внутреннему контуру). Регулировка площади выходного сечения водомета производится за счет сменных внутренних сопловых юбок. Средняя площадь выходного сечения сопла равна $0,0305 \text{ м}^2$.

Насосная часть водомета находится за транцем катера. Забор воды осуществляется через щелевидные отверстия, расположенные впереди кормового края катера. Площадь входного сечения водозаборника составляет $0,196 \text{ м}^2$. Размеры щели $1 \times 6 = 1,46 \text{ м} \times 0,135 \text{ м}$.

К корпусу катера, в транцевой и данищевой части, водозаборник крепится на фланцах. В целях защиты насосной части от попадания посторонних предметов на входе в водозаборник установлены съемные решетки, имеющие продольные и поперечные ребра. Съемная конструкция решетки позволяет проводить на одном и том же водозаборнике испытания различных решеток и облегчает доступ во внутреннюю часть водозаборника.

Крутящий момент от двигателя к движителю передается через промежуточный вал. Для передачи упора ротора на корпус катера используется упорный подшипник, установленный на валу ротора. Фундамент упорного подшипника прикреплен к водозаборнику и имеет крепление к корпусу катера.

Управление и задний ход катера осуществляются поворотом струи, выбрасываемой водометом, с помощью реверсивно-рулевых пластин. Реверсивно-рульное устройство представляет собой коробку, наивысшую на сопловую часть водометового движителя. К коробке за петлях крепится реверсивно-рулевые пластины. Реверс осуществляется при перекладке рулевых пластин на 90° к ДП катера за счет изменения направления струи с помощью специальных отгибов в нижней части рулевых пластин. Катер поворачивается на ходу благодаря одновременному перекладке рулевых пластин с борта на борт. Привод управления рулем — электротрехидравлический. Каждый валлер соединен со своим гидроцилиндром. Система гидроуправления рулевыми створками расположена на кронштейне за транцем катера. Управление системой — кнопочное и вводится на пульте управления в рубке.

Результаты швартовых испытаний катера показаны на рис. 150 в виде зависимости $P = f(n)$. Как видно из графика, при $n > 1200$ об/мин упор возрастает менее интенсивно. На этих режимах наступает кавитация ротора в срыв потока с лопаток. На рис. 151—153 приведены результаты скоростных испытаний катера, представленные зависимостями $v = f(n)$, $N = f(n)$, $N = f(\sigma)$, $K_{\text{сп}} = f(F_T)$.

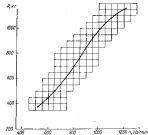


Рис. 150. Зависимость $N=f(x)$ по результатам изысканий большого водометного катера.

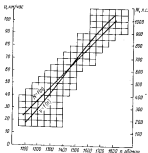


Рис. 151. Зависимость $n=f(x)$ и $N=f(x)$ по результатам спиробиометрических изысканий большого водометного катера.

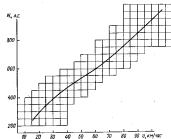


Рис. 152. Зависимость $N=f(x)$ по результатам спиробиометрических изысканий большого водометного катера.

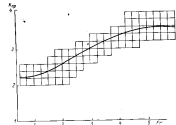


Рис. 153. Зависимость $K=f(f_r)$ по результатам изысканий большого водометного катера.

Испытания катера подтвердили его хорошую управляемость и маневренность. Циркуляция из полной скважины катер совершает с радиусом, составляющим 6-8 длин корпуса.

Для отработки водометных движителей использовались также другие катера. Например, водометными движителями оборудовались глиссирующие катера, серийно выпускаемые производительностью.

§ 19. ГЛОССАМИЧНИЙ ТЕПЛОХОД «ЧАЙКА»

«Чайка» — речное пассажирское судно на подводных крыльях, предназначенное для скоростных пассажирских перевозок из пригородных линий протяженностью до 400 км (рис. 154).

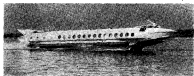
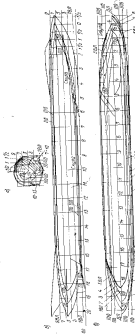


Рис. 104. Плоскогорный трекинг на подвижных краях. «Надира» с выключенным динамометром. Скорость 95 км/час.

Quem é o autor de "O Poder do Now?

Габаритные размеры, м:	
длина	26,3
ширина	3,80
Высота от осиной линии	3,51
Осадка габаритов, м:	
из стоянки	1,29
при ходе на крыльях	0,30
Подвижные коробки, т	0,94
Осадка ходуна при подвижных го- рizontalьных	14,26
средняя	0,4
нижняя	0,27
верхний	0,53
Высота максимума подъема, т	
Осадка ходуна при высоком подвижном уровне, м:	
средняя	0,50
нижняя	0,37
верхний	0,53
Мощность двигателя генератора, л. с	1200



Скорость хода, км/час:	
минимальный	97
максимальный при мидельст	86
900 д. с.	80
Пассажировместимость, че.	30

Нос и корма теплохода характеризуются сильно вытянутой эволюционной формой. Корпус имеет цилиндрическую вставку длиной 10 м. Килеватость днища в этом районе составляет около 9°, а в носовой части — 40° (рис. 155). В кормовой части за днище имеется клиноидный в плане редан высотой в ДП 62,5 мм.

Общее расположение

Схема общего расположения теплохода «Чайка» показана на рис. 156. Корпус теплохода разделен по длине семью поперечными переборками. Форвардная переборка в пределах высоты надводного борта, переборка машинного отделения на 46 шп. до высоты 1000 мм от основной, а также переборки топливного отсека выполнены непроницаемыми. В районе от носа до 2 шп. расположен форпик. В форпике размещено якорное устройство. Доступ в форпик осуществляется через горловину за переборке на 2 шп.

В районе 2—9 шп. находится ходовая рубка, в которой размещаются рулевой пост, пульты дистанционного управления теплоходом и его машинной установкой, якорная лебедка. Вход в рубку осуществляется через дверь в переборке на 9 шп. Между 9 и 11 шп. расположены тамбур с выходами на оба борта, через которые производится посадка в пассажирский салон на 30 мест, имеющий два выхода: один в носу, другой — в корме (рис. 158). В районе 42—46 шп. расположены: с правого борта — туалет, с левого — баков с запасом питьевой воды, по ДП — аккумуляторы в непроницаемой выгородке под трапом. Трап служит для посадки и высадки пассажиров на тяговую палубу в случае швартовки теплохода к высоким дебаркадерам.

В районе 46—56 шп. находится машинное отделение, вход в которое осуществляется через быстро- и звукоизолирующую дверь в переборке на 46 шп. Для замка двигателя в тяговой палубе теплохода предусмотрен специальный люк. В районе 56—58 шп. размещен топливный отсек, доступ в который осуществляется через горловину в тяговой палубе. Ахтерник расположен в районе 60 шп., где размещены румпельное устройство и силовые гидроцилиндры реверсивно-рулевого устройства заднего двигателя.

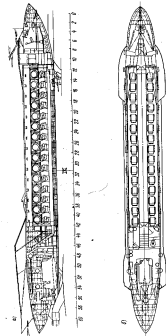


Рис. 156. Схема общего расположения теплохода «Чайка» — проект 3 — промежуточный вариант; б — 1118.

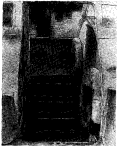


Рис. 157. Посадочная палуба теплохода «Чайка».

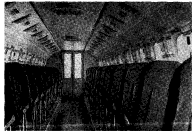


Рис. 158. Пассажирский салон теплохода «Чайка» (вид в ног).

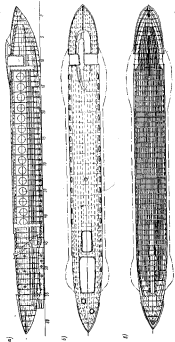


Рис. 159. Конструктивные схемы в поперечном разрезе: а — база теплохода; б — промежуточная палуба; в — палуба пассажирская.

Конструкция корпуса

Корпус теплохода «Чайка» изготовлен из дюралюминия марок Д16 и Д16АТ. Для отдельных узлов и деталей применен сплав АМг-61. Все детали из дюралюминия и целях повышения

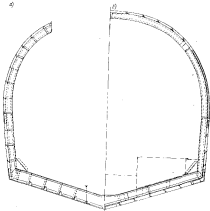


Рис. 160. Модель изготоуи теплохода «Чайка»: а — в районе МД; б — в районе пассажирского салона.

коррозионной стойкости оксидированы электрохимическим способом, а детали из стали оцинкованы и в местах соединения с алюминиевыми конструкциями изолированы прокладками из баки на никелевых бегунках. Конструкция корпуса теплохода — клепаная. Отдельные узлы конструкции, изготовленные из алюминиевомагниевидных сплавов (топливная цистерна, форштевень и др.), выполнены сварными при помощи аргоногазовой сварки.

Конструктивная схема корпуса и надстройки теплохода «Чайка» показана на рис. 159, 160. Система набора корпуса теплохода — смешанная. Продольный набор по длине, борту и на палубе состоит из перекрещенных ребер жесткости Z-образного профиля, карниза и бортовых стрингеров. Поперечный набор по всей длине теплохода состоит из рамных шпангоутов, установленных на свободную полку продольных ребер жесткости и соединенных с ними заклепками. В районе 45—56 шп. и от 9 шп. в нас нижние петли шпангоутов доведены до обшивки днища и соединены с яйцами угловиками. В остальных районах шпангоуты соединены с обшивкой местными коротышами из Z-образного профиля. Все продольные ребра жесткости присоединены к поперечным переборкам кницаже, обеспечивающим непрерывность ребер. Размеж шпангоута составляет: от носа до 9 шп. — 350 мм, в районе 9—11 шп. — 400 мм, в районе от 11 шп. до кормы — 415 мм и в районе 11—42 шп. на трансоме палубе (по длине пассажирского салона) — 830 мм.

В местах присоединения к корпусу кронштейнам стоеч посвального и кормового подводных крыльев по длине установлены дополнительные местные кильсы и поперечные бракеты, к которым болтами крепятся кронштейны. Для подкрепления мест присоединения болтов установлены сварные башмаки из сплава АМг-61, которые крепятся к стени кильсона болтами. Слань в машинном отделении сделана съемной из дюралюминиевых рифленых листов толщиной 2 мм. В пассажирском салоне она состоит из съемных щитов, выполненных из пенополистирола, армированного фанерой.

Кормовой стабилизатор, установленный на трансоме палубе, изготовлен из дюралюминиевых листов толщиной 0,8 мм и ребер жесткости — из уголков размером 15×15×1,5 мм.

Изоляция, покрытия, отделка, окраска и оборудование помещений

Пассажирский салон и рубка изолированы по бортам, переборкам и подволоку теплоизолирующим материалом марки ВТ-4С. Толщина изоляции подволоки — 20 мм, бортов и переборок — 15 мм. Изолирующий материал наложен из металла клеем марки АМК-1.

Машинное отделение изолировано по бортам и подволоку звукоизолирующими материалом марки ВТ-4С. Конструктивно изоляция выполнена двойной с воздушным промежутком. Один слой изоляции толщиной 20 мм наложен непосредственно на металл, второй слой (также толщиной 20 мм) наложен из перфорированных листов из дюралюминия толщиной 0,4 мм, которые крепятся винтами к рамке набора.

У поперечной переборки на 46 км. на расстоянии 100 мм от нее со стороны служебного помещения имеется дополнительная звукоизолирующая переборка, изготовленная из дюралюминиевых листов толщиной 0,8 мм. Переборка крепится штифтами к установленному по периметру дюралюминиевому Z-образному профилю. Поперечная переборка на 46 км. изолирована со стороны туалета и тамбура ковшом пластом толщиной 15 мм, нанесенным за переборку методом напыления. Дополнительная переборка изолирована со стороны воздушного промежутка листом марки ФС-7 толщиной 10 мм, наклеенный на металлическую изодину, нанесенную на 46-ю и дополнительную переборку, свободно подвижна стекломит толщиной 20 мм из звукоизолирующего материала марки ВТ-4С.

При обстроеке помещения и ее разделении водолазки применяла силь. Для отделки помещений использован алюминиевый панели марки ПА и декоративный слоистый пластик марки ОНТ толщиной 2 мм. Подполы пассажирского салона и рубки, борта и поперечные переборки отделаны панелями. Панели рубки до кормы и переборка за 9 щп. защищены со стороны рубки по обрешетку дюралюминиевым слоистым пластиком. Стыки и зазоры пластика и панелей заделываются раскладками из дерева. Панели в пассажирском салоне и рубке изготовлены из дюралюминиевых уголников размером 25×25×2 мм. Пол в средней части пассажирского салона покрыт полихлорпропиленовой пленкой, наклеенной на быстросъемные щиты из пенопласта.

Под креслами полихлорпропиленовая пленка заклеена непосредственно на металл. В туалете пол и стены на высоту 150 мм покрыты герметиком марки ГЭН-150.

Весь металл корпуса в надстройке оксидирован электролитическим способом и покрыт грунтом марки АЛГ-5. Подводная часть корпуса спаружи и внутри покрыта дополнительным слоем герметика марки ГЭН-150 (сухина производится при температуре 140°). Спаружи подводная часть корпуса окрашена эмалью марки ХС-78. В локаторных арках водонепроницаемая часть корпуса покрыта эмалью марки ПФ-67. Надводная часть корпуса, надстройка и рубка окрашены спаружи цинковыми белизаками.

Пассажирский салон оборудован тридцатью индивидуальными мягкими креслами автобусного типа, установленными у открывающихся люминиаторами. Люминиаторы пассажирского салона закрываются капотовыми запасками. В простенках между люминиаторами установлены индивидуальные столики из пластика.

В ходовой рубке установлены: кресло (для водителя), откидной столик, шкаф для хранения карт и др.

Стальные устройства

Крыльевое устройство теплохода «Чайка» состоит из носового и кормового устройства (рис. 161, 162 и 163). Носовое крыльевое устройство включает основное крыло, стабилизатор и два грависирующих закрылка. Крылья и стабилизатор крепятся к корпусу стойками при помощи болтов. К бортовым стойкам специальными болтами присоединены грависирующие закрылки. Корневое крыло крепится непосредственно к корпусу стойками при помощи болтов, а к водолазоприемнику винтом.

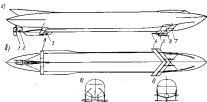


Рис. 161. Схема крыльевого устройства и выступающих частей теплохода «Чайка»: а — вид с боку; б — вид на нос; в — вид на корму.

1 — гидродинамическая обшивка; 2 — главный двигатель; 3 — стойка бортика переднего крыла; 4 — море косое крыло; 5 — носовое крыло; 6 — стойка бортика кормового крыла; 7 — стойка движущего кормового крыла; 8 — кормовое крыло.

дометрового двигателя — фланцами посредством аргонно-дуговой сварки. Носовое крыло, стабилизаторы и стойки носового крыльевого устройства изготовлены сплошными из дюралиюминиевомагниевого сплава марки ЯМг-61. Стойка корневого крыла и само крыло также выполнены сплошными из сплава марки В48-4.

Теплоход снабжен одним носовым якорем весом 25 кг (система Матросова). В качестве якорной цепи применены стальные трос диаметром 6,2 мм и длиной 40 м. Непосредственно к якорю прикреплена цепь калибром 8 мм и длиной 5 м. Общая длина якорного троса равна 45 м. Подъем якоря осуществляется ручной якорной лебедкой, установленной в рубке у форштевенской переборки. Лебедка имеет рукоятку для выбирания троса, храповый механизм и дисковый фрикционный тормоз. Технические характеристики лебедки:



Рис. 162. Теплоход «Чайка» за плав. Носовое крыло.

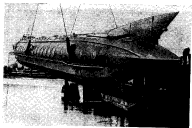


Рис. 163. Подъем теплохода «Чайка». Вид на кормовое крыло и водометный движитель.

Типовое усилие, лс:	
на барбаше	250
на рукоятке колесомотора	20
Скорость избирания трюса, м/мин	2,7

Теплоход оборудован двумя индивидуальными системами рулевого устройства: постами рулевыми устройством и реверсивно-рулевым устройством водометного движителя. Носовой руль устанавливается за динамической стойкой носового крыла и крепится к фланцу баллера и диаметральной сплошной крыши. Площадь плавания его составляет 0,323 м². Рабочая площадь при ходе из крыльев равна 0,16 м². Руль выполнены сплошным толщиной 25 мм из листа алюминиево-магниевого сплава марки АМг-6Л. Перекладка носового руля осуществляется гидравлической системой из рулевой рубки посредством гидравлической машины и склонных гидроцилиндров, механически связанных с баллером руля. Перекладка створок реверсивно-рулевого устройства водометного движителя производится электрогидравлической системой управления.

Управляющая электрическая система связывает находящиеся в рубке кнопки управления с электроприводами-манипуляторами ГА-164, которые гидравлически соединены с исполнительной гидросистемой. Исполнительная силовая гидросистема состоит из гидронасоса марки 465К, завешенного на главный двигатель, гидравлического бака холдингника, фильтра тонкой очистки типа ФГП1С, клапанов автоматической разгрузки насосов, гидроакумуляторов, силовых гидроцилиндров, насосной станции. Рабочей жидкостью в силовой гидросистеме служит авиационная гидросмесь АМг-10.

Теплоход «Чайка» снабжен капроновыми швартовками и канатами диаметром 18 мм, общей длиной 50 м. Канаты хранятся в специальных ящиках, изготовленных в переборке на 9 шт. в продольной переборке в районе 42—46 шт. Для швартовки установлены, кроме того, двухтумбовые крестовые клеммы: четыре из носовых обносах (по два с каждого борта) и два на течтовой палубе в корме, в районе 44—45 шт. Клеммы изготовлены сварными из алюминиевого сплава марки АМг-6Л.

Подъем теплохода на стенку производится за «путопиццы», установленные по бортам в носовой и кормовой оконечностях судна (рис. 163).

Дальние вещи

Для приема и установки двигателей и машинного отделения имеется люк размером в соотв. 1300×2900 мм, снабженный съемной водонепроницаемой крышкой с резиновой уплотнительной прокладкой по контуру. Задраняется люк из машинного отделения при помощи откидных задраек. Люк запасного

выхода на тентовую палубу (размером в свету 800×1600 мм) снабжен единичной металлической крышкой, которой он закрывается в случае необходимости.

Горловина овальной формы, предназначенная для доступа в форпик, находится на переборке 2 шп., имеет размер в свету 320×450 мм и снабжена съемной брызговыделающей крышкой. Горловина для доступа в топливный отсек устроена в тентовой палубе и снабжена непроницаемой крышкой. Размер этой горловины в свету составляет 320×450 мм. Горловины для доступа в ахтерпик имеют размер в свету 765×300 мм и снабжены съемными крышками с заморами.

В пассажирском салоне установлены открывающиеся люксователи диаметром в свету 1580 мм, в машинном отделении, туалете и кормовом тамбуре — глухие алюминиевые люксы диаметром в свету 300 мм. Эти люксы снабжены остеклением из пlexигласа толщиной 4 мм. Plexiglas установлен на резиновой уплотнительной прокладке и закреплен металлическими зажимами на антагах. Окна в рубке такие же, состоящие из пlexигласа толщиной 4 мм. Plexiglas закреплен алюминиевыми планками на винтах и уплотнен резиновыми прокладками. Лобовое стекло рубки изготовлено из трехслойного стекла «триплекс», которое вставлено в дюралюминиевую подъемную раму из резиновой уплотнительной прокладки.

Двери в пассажирские салоны сделаны двухстворчатыми, размером в свету 765×1725 мм. Рамы створок изготовлены из дерева. С наружной и внутренней сторон двери оклеены декоративным слоистым пластиком. Двери в лодовую рубку размером 500×1500 мм (в свету 485×1485 мм) по конструкции аналогичны дверям в пассажирском салоне. Односторонняя дверь в туалете имеет размер 500×1600 мм (в свету 485×1485 мм). Для обеспечения брызговыделающей и звукоизоляции дверь в машинное отделение изготовлена металлической двухсторонней размером в свету 530×1030 мм. Толщина металлических листов равна 1,5 мм, общая толщина двери — 100 мм. Е юнутренней стороне обеих стенок наклеен материя ФС-7 толщиной 10 мм и просвете подведенна звукоизглушающая изоляция из материала марки ВТ-4С толщиной 25 мм. Дверь снабжена резиновыми уплотнителями и задрабкой.

Посадочные трапы в носовом тамбуре имеют ширину 900 мм. Ширина и высота ступеней трапа равны 230 мм. Трап запасного выхода на тентовую палубу имеет ширину 900 мм и установлен под углом 55° к палубе. Ступени трапа алюминиевой 250 мм изготовлены из листов сплава АМг-61. На теплоходе предусмотрены спасательные загрудники (16 шт.) и для спасательных кругов (один с линем). Спасательные загрудники размещены

в рубке (два) и в пассажирском салоне под банкеткой, в районе 38—41 шп. по левому борту и в районе 24—26 шп. по правому борту.

В качестве противопожарных средств на теплоходе «Чайка» имеются три ответчика марки ОУ-2 и четыре опечатчика марки ОП-5. Кроме того, теплоход укомплектован набором противопожарного оборудования, состоящего из парусиновых ведер и кошмы.

Судовые системы

Осушение трюмов обеспечивается ручным осушительным насосом марки РН-20 производительностью 1,2 м³/час, установленным в машинном отделении и снабженным гибким рукавом диаметром 20 мм, длиной 5 м с призонной сеткой на конце. Вода удаляется за борт по отливному трубопроводу, изготовленному из алюминиевых труб. Откачка воды производится только из машинного отделения и из отсека в районе 42—46 шп., куда она поступает из носовых отсеков через спусковой клапан, установленный в переборке на 11 шп., и вырезы в переборках на 9 и 42 шп.

На теплоходе «Чайка» имеется система естественной и искусственной вентиляции помещений. Естественная вентиляция достигается за счет сквозного потока воздуха ветрового потока воздуха. Для этой цели используются аудиальные тентовые нозырьки, алюминиевые окна в рубке, вытяжные решетки в нижней части дверей. Вдувные нозырьки в пассажирском салоне установлены над креслами. Общая площадь аудиальных нозырьков в салоне составляет 0,31 м². Естественная вентиляция машинного отделения достигается за счет подсоса свежего воздуха через воздуходобывчики нагнетателем надувки при работе главного двигателя.

Искусственная вентиляция пассажирского салона во время стоянки судна осуществляется двумя вентиляционными головками с установленными в них электровентиляторами производительностью 1800 м³/час. Головки размещены на тентовой палубе в районе 23 и 31 шп. Вдувной электровентилятор марки ДВ-1К, производительностью 700 м³/час обеспечивает искусственную вентиляцию машинного отделения. Вентиляция акумуляторного шкафа осуществляется через вентильную решетку и вытяжную головку типа ЦАГИ ДУ-50, установленную на тентовой палубе.

На теплоходе предусмотрено водяное отопление пассажирского салона, кормового тамбура, туалета и рубки (используется тепло внутреннего контура системы охлаждения главного двигателя). Циркуляция воды в системе происходит под действием давления во внутреннем контуре системы

охлаждения главного двигателя. тепло отводится при помощи грецов, конструктивно выполненных в виде труб с пластинками толщиной 0,4 мм из алюминиевого сплава. Чтобы предотвратить замерзание системы отопления в холодное время года, для ее осушения применяются насосы типа ЭЦН-104.

На стоянке лодка рубка отапливается электропрегревом типа ГС-1000 напряжением 220 в; питание предусмотрено от береговой сети. Для подогрева воды перед запуском главного двигателя устанавливаются два электронагревателя типа ЭН-1500 напряжением 220 в.

Санитарная система состоит из систем мытьевой и питьевой воды. В нее входит санитарный электронасос марки ЭЦН-104, пневмоцистерна с указателем уровня и манипулятор типа РДК-57, а также трубопровод с арматурой. Пневмоцистерна имеет рабочий объем в 6 л. Интервал давления в подводящем трубопроводе составляет 0,5—1,2 кг/см². К умывальникам подается сухая питьевая вода. Вода хранится в расходном баке ѹмкостью 60 л. На самой ѹнитазе при ходе на крыльях подается забортная вода от внешнего контура трубопровода охлаждения главного двигателя. Во время стоянки судна для подачи воды используются электронасос марки ЭЦН-104 и пневмоцистерна. Насос включается и выключается автоматически от манометра, установленного на пневмоцистерне. Пневмоцистерна, трубопровод и арматура выполнены из алюминиевых сплавов (соединение труб — дюритовое).

Система питьевой воды состоит из переносного бака ѹмкостью 25 л и салевого трубопровода, выведенного за борт. Трубопровод выполнен из алюминиевых труб (соединение труб — дюритовое). Запас питьевой воды пополняется с берега.

Сточно-фековая система включает ѹнитаз с пельным приводом, умывальник, фекальную цистерну ѹмкостью 100 л, захлопку с автоматическим устройством для закрывания, ополаскатель, ѹнитарный патрон и трубопровод с арматурой. Удаление сточных вод из фекальной цистерны осуществляется на стоянках щеткой через фековый трубопровод, самотеком за борт или по специальному трубопроводу, оборудованному щетовым патроном. Выходное отверстие на конце фекового трубопровода закрывается захлопкой, оборудованной как ручным, так и автоматическим приводом. Предусмотрено фиксирование рычага захлопки в закрытом положении и его отломывание при прохождении судном зон строгого санитарного режима. Автоматическое открывание захлопки происходит при выходе теплопода на крылья, а закрывание — при переходе его в водоизмещающее состояние. Автоматическое открывание и закрывание захлопки осуществляется гидроцилиндром, механическими соединениями с рычагами захлопки. Работой гидроцилиндра управляет трехпозиционный электрокран-маномпультор марки

ГА-164, имеющий электрическую связь с конечным выключателем, установленным на корпусе реумер-муфты главного двигателя. Конечные выключатели отрегулированы так, что при положении рычага газа, которому соответствует более 1000 об/мин колеса вала, захлопка открывается, а при менее 1000 об/мин захлопка закрывается.

Сливовая установка

В качестве главного двигателя на теплоходе «Чайка» установлен дизель марки М50Ф-3 правой модели. Характеристики двигателя аналогичны приведенным в описании предыдущих судов.

Топливозадающая система двигателя состоит из труб, фильтра грубой очистки, агрегата предварительной прокачки, аварийно-резервного ручного прокачивающего насоса марки РН-20 и арматуры. Топливо подается к двигателю из цистерны, расположенной в кормовой части судна. Цистерна оборудована датчиком указателя уровня, горловиной приема топлива, вентиляционной трубой с отъемным предохранителем, а также расходной и спускной арматурой. Для выдачи топлива из цистерны через палубную втулку используется ручной прокачивающий насос марки РН-20. Трубопровод и арматура выполнены из алюминиевого сплава (соединение труб — дюритовое).

Масляная система двигателя состоит из расходного бака ѹмкостью 110 л, двух первых фильтров (одна пара установлена непосредственно в расходном баке, вторая на выходе из двигателя), регулятора температуры масла, водомасляного радиатора марки МХД-4, агрегата предварительной прокачки масла, аварийно-резервного ручного прокачивающего насоса марки РН-20, запорной, регулирующей арматуры и дистанционных указательных приборов давления и температуры. Масляный бак оборудован указательной колонкой, датчиком дистанционного указателя уровня, вентиляционной трубой с отъемным предохранителем, клеммами датчиков температуры и приемной трубой с горловиной заливки. Для слива отработанного масла из двигателя служит сливной трубопровод, снабженный запорным краном. Масло слиивается в канистру по дюритовому шлангу. Трубопровод масляной системы выполнен из труб алюминиевого сплава (соединение труб — дюритовое).

С целью обеспечения дистанционного запуска двигателя на судне установлена система сжатого воздуха. Система состоит из труб, правового от вентилятора компрессора марки К2-150, двух баллонов ѹмкостью по 40 л каждый, рассчитанных на рабочее давление до 150 кг/см², контрольно-измерительной,

предохранительной, запорной и пусковой арматурой. Пуск двигателя происходит из рубки при помощи дистанционного управления электроникой. Кроме того, предусмотрен выпуск клапан за случай ручного пуска двигателя из машинного отделения. Магистральный трубопровод скоженного воздуха изготовлен из стальных труб, а трубы продувания и трубы к манометрам — из медных. Соединение труб — штуцерно-ниппельное.

Газо выхлопной трубопровод обеспечивает отвод отработанных газов от двигателя. Трубопровод состоит из тройника, объединяющего газопроводные тракты обеих коллекторов двигателя, трубопровода с компенсаторами. Для глушения шума выхлопа и для охлаждения газопроводного трубопровода используется забортная вода, присоединенная к газовой полости тройника. Трубопровод выполнены из листов алюминиевого сплава, а тройник — из листов нержавеющей стали.

Система охлаждения двигателя состоит из трубопровода забортной воды (внешний контур) и трубопровода пресной воды (внутренний контур). Трубопровод забортной воды обеспечивает забортной водой двигатель, компрессор и систему живущей воды судна. Забортная вода поступает из солевой части водометного движителя через фильтр. Слив воды производится через два отливных киштока и газопроводной трубопровод. Движение забортной воды в магистрали обеспечивается помпой забортной воды, установленной за двигателем, и скоростью напора при работе водометного движителя. Забортная вода, проходя по водометному приемнику трубопроводу через водяной и масляный радиаторы, охлаждает воду внутреннего контура к маслу.

Трубопровод пресной воды предназначен для отвода тепла от двигателя. Вода внутреннего контура может поступать к воде пресной воды главного двигателя через радиаторы ВХД-5-1 или же минуя его. Регулировка направления циркуляции воды осуществляется автоматически при помощи термостата, установленного перед радиатором. Заполнение системы пресной воды производится из расширительного бака емкостью 30 л. Бак оборудован волноизолирующими стеклами. Выходящий и входящий трубопроводы пресной воды двигателя имеют карманы для установки датчиков дистанционных термометров. Трубопровод охлаждения выполнен из алюминиевых труб. Присоединение труб к двигателю — фланцевое. Для соединения труб между собой и присоединение их к арматуре используется дорогостоящие специальные.

Дистанционный пост управления главным двигателем расположен в рубке. На посту размещаются рычаги управления двигателем, пусковые кнопки и контрольно-измерительные приборы (рис. 164). Для контроля за нормаль-

ной работой главного двигателя установлены два приборных щита: один в машинном отделении, другой — в рубке. На щите в рубке размещены следующие приборы:

электротахометр для замера числа оборотов двигателя;
манометр давления топлива, поступающего в топливный насос;

манометры давления масла в магистрали двигателя и гидросистеме;

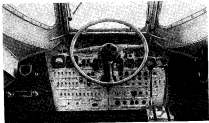


Рис. 164. Пульт управления в ходовой рубке теплохода «Чайка».

термометры дистанционные для замера температуры находящейся и входящей пресной воды, находящего и выходящего масла;

манометр давления пускового воздуха;
указатели уровня топлива и масла.

На приборном щите в машинном отделении размещены электротахометр для замера числа оборотов главного двигателя, манометр давления масла в главном двигателе, манометр давления топлива, поступающего в топливный насос, указатели температуры масла и воды. Для контроля за работой компрессора предусмотрены манометры давления воздуха первой, второй и третьей ступеней. Управление реверсом и подачей топлива главного двигателя осуществляется дистанционно из рубки при помощи гидравлической системы. Система управления состоит из цилиндров-датчиков, расположенных в рубке, цилиндров-исполнительей, установленных на главном двигателе,

заправочного бака, снабженного запорными вентилями, трубопровода и арматуры. Трубы гидросистемы выполнены из нержавеющей стали марки Х18Н9Т.

Водопровод, движитель и реверсивно-рулевое устройство

В качестве движителя на тельюходе установлен водометный движитель (рис. 165). Водометный движитель состоит из следующих основных узлов: водозаборника, насосной части, судна и реверсивно-рулевого устройства.

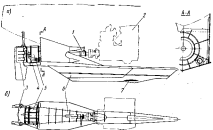


Рис. 165. Система водометного движителя тельюхода «Сайдик»: а — вид сбоку; б — вид сверху.
1 — обтекатель; 2 — гребной винт; 3 — реверсивно-рулевое устройство; 4 — трубопровод для забора воды в насосную установку; 5 — водометный движитель; 6 — кормовая палуба.

Водозаборник, являющийся однопротивовесом средней стойкой кормового края, выполнен из алюминиевомагниевого сплава марки АМг-6Л в виде трубы переменного сечения с щелевидным шахматным первертием (размером 120×2200 мм), переходящим выше основной линии корпуса в цилиндр с внутренним диаметром 480 мм. Носовая оконечность выступающая ниже линии части водозаборника имеет плавкий профилированный обтекатель, предназначенный для уменьшения сопротивления воды движению судна. В водозаборник вварен внутренний обтекатель носа движителя, выполненный из алюминиевого сплава марки АМг-6Л, с дейфицитной трубой и шестью направляющими

лонжеронами, установленными в районе кормового фланца водозаборника, предназначенный для улучшения затекания потока воды на первую ступень ротора. С помощью приваренных к водозаборнику фланцев и ребер последний соединяется с днищем, транцем и швартоватами машинного отделения за заклепками. Полости внутреннего и внешнего обтекателя заполнены герметизирующими теплоизолирующим материалом ПУ-Э. Водозаборник снабжен защитной решеткой, состоящей из продольных профилеванных ребер, установленных по направлению потока, и поперечных лонжеронов, а также носового фланца и кормовой коробки, выполненных сварными из нержавеющей стали марки Х18Н10Т. Решетка, соединенная с водозаборником болтами (на носовом фланце и кормовой коробке), защищает насосную часть водометного движителя от попадания в нее посторонних предметов.

Насосная часть водометного движителя представляет собой осевой трехступенчатый насос, состоящий из ротора и трех спиральющих аппаратов. Ротор движителя включает вал, выполненный из стали марки 45, с диаметром шеек 80 мм и три рабочих колеса (ступени), крепящиеся к ступице, пасажированной на вал болтами. На фланцах ступицы предусмотрены центрирующие проточки. Материал ступицы — Ст. 5. В местах расположения опорного подшипника и сальника дейфицита на залу имеются рубашки, выполненные из нержавеющей стали марки Х18Н10Т. Опорами ротора служат опорный ролико-металлический подшипник, расположенный в корпусе сопла, и упорный шарикоподшипник, снабженный в реверсивной муфте двигателя, воспринимающий упор от водометного движителя и донесущий величину упора до 4000 кг.

Вал ротора соединяется с фланцем реверс-муфты двигателя при помощи фланцевой волчимуты. Угол наклона линии вала к основной линии равен 33°. Ступени ротора выполнены сварными из нержавеющей стали марки Х18Н10Т и имеют следующие параметры:

Диаметр D_1 , м	0,437
по ступицам 4, м	0,34
Ширина $(H_1+H_2+H_3)$, м	0,6
Диаметр отверстия $R_1=R_2=R_3$	1
Количество лопастей ($\delta_1=\delta_2=\delta_3$)	16
Направление вращения	Левое

Спиральющие аппараты предназначены для раскрутки потока за рабочими колесами (ступенями) ротора. Конструктивно каждый спиральющий аппарат выполнен из двух соосных цилиндрических ободков, сдвинутых спиральными лопастями посредством сварки. Ободки и лонжероны спиральющих аппаратов изготовлены из нержавеющей стали марки Х18Н10Т.

Элементы сопла рабочего аппарата

Внутренний диаметр внешней оболочки D_1	0,48
Наружный диаметр внутренней оболочки (створки) d_1	0,24
Количество лопастей $(z_1 - z_2)$	24

Сопло водометного движителя имеет поджатие

$$\frac{S_{\text{вн}}}{S_{\text{вн},e}} = 0,4,$$

где $S_{\text{вн},e}$ — площадь живого сечения ротора.

Конструктивно сопло представляет собой две соосные конические оболочки, соединенные при помощи сварки лопatkами встроенного в него спирalingающего аппарата. Оболочки выполнены из нержавеющей стали марки Х18Н10Т. В корпусе сопла расположены снаружи резино-металлический подшипник. Смазка подшипника осуществляется водой, поступающей из полости сопла по двум трубкам кольцевую проточку подшипника.

Торцы наружной оболочки сопла снабжены фланцами с центрирующими проточками для соединения со спирalingющим аппаратом II ступени и коробкой реверсивно-рулевого устройства. Площадь выходного сечения сопла регулируется сменным апурением и внешним обвязывающим кольцом, позволяющим получить оптимальную площадь выхода. Кольца выполнены из алюминиевомагниевого сплава АМг-61 и крепятся к соплу болтами, установленными на паронитовых прокладках. На внешней оболочке сопла смонтирована также коробка с патрубком $d_2 = 50$, по которому вода из сопла под действием скоростного напора поступает в систему охлаждения главного двигателя.

Вал движителя имеет дейдвудный сальник, который соединяется с головным концом дейдвудной трубы дюритовой муфтой. Во избежание проскальзывания по валу в ступени ротора сальник скажен гидрозатвором, вода в который поступает из системы охлаждения через фильтр тонкой очистки под давлением 1,5—2 атм.

Реверсивно-рулевое устройство теплохода «Чайка» состоит из коробки, реверсивно-рулевых пластин и водопода реверса. Коробка выполнена спаркой из алюминиевомагниевого сплава марки АМг-61 и представляет собой в плане комбинацию замкнутого прямоугольника и равнобедренного треугольника с углом в вершине, равным 133°. Нижняя часть коробки плавно переходит в водопод реверса, который образовывает лигатуру спирального, расположенного заодно с днищем, западинами ему верхним листом и двумя вертикальными краеоголовинами полосами, при помощи которых струя реверса разбивается на две бортовые. Водопод выполнен спарным из сплава марки АМг-61.

Реверсивно-рулевые пластины (створки) изготовлены из сплава марки АМг-61 в виде балансирных рулей, верхняя часть которых при ходе за крыльями смыывается струей воды, выбрасываемой водометом, а нижняя — набегающим потоком. Суммарная площадь нижней части створок (ниже днища корпуса) равна $0,315 \text{ м}^2$. Рабочая площадь (погруженная в воду) при ходе

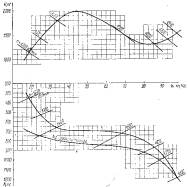


Рис. 160. Паскартре диаграммы водометного движителя теплохода «Чайка».

за крыльями составляет $\sim 0,16 \text{ м}^2$. Каждая створка крепится за двух опорах. Верхней опорой является баллер, прращающийся в подшипнике, который крепится к корпусу на реактивной прокладке. Нижней опорой служит петля, выполненная из стали марки Ст. 3. Петля крепится к створке и коробке болтами на прокладке из стеклоткани с эпоксидной смолой.

Перекладка створок осуществляется электрогидравлической системой управления. На переднем зонде створки перекладываются синхронно. Время перекладки на переднем зонде с борта на борт (70°) составляет 12 сек. При реверсировании створки реверсивно-рулевого устройства являются тормозами

устройством теплохода. Происходящие испытания показали: когда створки закрыты со максимальной скоростью ~ 97 км/час (при одновременном сбрасывании оборотами главного двигателя до $n = 1100 + 1200$ об/мин), длина тормозного участка равна 180–190 м. Задний ход теплохода обеспечивается закрытием створок реверсивно-рулевого устройства (створки сводятся к ДП), в результате чего струя по водоводу реверса выбрасывается в направлении носа судна. Максимальная скорость заднего хода составляет 8 км/час. Управление на заднем ходу осуществляется путем открывания соответствующей створки реверсивно-рулевого устройства на угол 7–8° от положения «нейтраль».

Паспортная диаграмма водометного движителя теплохода приведена на рис. 166.

Электрооборудование

Электрооборудование теплохода «Чайка» работает на постоянном токе напряжением 24 в. Система канализации электроэнергии выполнена однопроводной (корпус используется в качестве обратного провода). Источниками электроэнергии на теплоходе являются: две ящичные батареи типа БСТК-180, каждая напряжением 12 в, ёмкостью 180 а·ч при 20-часовом разряде (для получения напряжения 24 в аккумуляторные батареи соединены последовательно), и также генератор типа ГСК-1500 (мощность 2000 вт, напряжение 27 в), вращающийся на главный двигатель.

Система распределения электроэнергии на теплоходе — фидерная. Электроэнергия от генератора и аккумуляторных батарей поступает к потребителям через главный распределительный щит, установленный в машинном отделении. От главного распределительного щита получают питание следующие потребители:

- электроавтоматор машинного отделения;
- электродвигатель санитарного насоса;
- панель с электроаппаратурой (в рубке), светильники нормального и ложурного освещения машинного отделения, проходов и салона;
- электродвигатель агрегата прокачки главного двигателя;
- электродвигатель насоса системы отопления.

Питание прожектора, сигнальных и отличительных огней, контрольных электроприборов и звуковой сигнализации осуществляется от распределительного щита через панель с электроаппаратурой в рубке. Согласно схеме коммутации распределительного щита предусмотрено:

— питание всех потребителей судна от аккумуляторных батарей;

— параллельная работа генератора марки ГСК-1500 с аккумуляторной батареей;

— питание части потребителей (дежурного освещения, сигнально-отличительных огней) от сети переменного тока напряжением 220 в через трансформатор 220/24 в в зарядку аккумуляторной батареи от береговой сети переменного тока напряжением 220 в через специальное зарядное устройство.

Для защиты фидеров от токов короткого замыкания в перегородки предусмотрены тепловые автоматы типа АЗС. Защита генератора марки ГСК-1500 от обратного тока обеспечивается регулятором или коробками типа РК-1500. Генератор защищен от тока короткого замыкания плавкими вставками из распределительного щита. Работа генератора типа ГСК-1500 регулируется коробкой марки РК-1500. Для контроля за работой генератора и аккумуляторной батареи на главном распределительном щите и на панели с электроаппаратурой установлены амперметры и вольтметры. Канализация тока электрических сетей осуществляется проводами марок КНР и ЛПРГС, РМ.

На судне имеется ряд электропроводов. Электропровод сигнального насоса состоит из электродвигателя марки Д-100С (напряжением 24 в, мощностью 300 вт), контактора, реле и магнитического реле. Включение и выключение электродвигателя производится автоматически — используется макрометрическое реле. Привод масла к топливонакачивающему агрегату осуществляется электродвигателем типа МПБ-53 (напряжением 24 в, мощностью 200 вт) при помощи контактора типа КМ-200Д и пусковых кнопок. Электродвигатель включается в сеть непосредственно через контактор типа КМ-200Д из ходовой рубки и машинного отделения.

Для вентиляции машинного отделения на судне установлен актракционный вентилятор типа ДВ-1К производительностью 700 м³/час с приводным электродвигателем номинальной мощностью 650 вт, 6500 об/мин и напряжением 27 в. Пуск и остановка электродвигателя производится с распределительного щита три помехи автоматического выключателя типа АЗС. Автоматическое выключение электровентилятора предусмотрено с панели электроаппаратуры в рубке. Два вентилятора типа ВИИ-24в предназначены для вентиляции салона. Пуск и остановка их могут производиться с приборного щита в рубке и непосредственно в салоне у вентиляторов.

С целью обогрева рубки во время стоянки судна у берега используются электрогрееки типа ГС-1000 напряжением 220 в. Для подогрева масла перед зумком главного двигателя (на стоянке судна) в расходном масляном баке установлен электронагреватель типа ЭН-1500 напряжением 220 в, мощностью 1500 вт. Вода перед запуском дизеля подогревается двумя греющимися типа ЭН-1500 напряжением 220 в (мощность каждой тройки 1500 вт). Включение и отключение электроварезелей производится выключателями на ГРЩ.

На судне предусматриваются следующие сигнально-издательские огни: бортовые отличительные—красный и зеленый (по одному), гарабортий, топовый, стопочный, бортовые стояночные (два), ампульные отражатели (две). Управление и кантроль за огнями производится из рубки, где находится панель с электроаппаратурой. Для передачи условных звуковых сигналов из рубки в машинное отделение и обратно в этих помещениях устанавливаются звонки и кислотные посты. Питание звонков осуществляется от судовой сети напряжением 24 в постоянного тока через панель с электроаппаратурой в рубке. Для передачи информационных сообщений из рубки в салон на судне имеется радиотрансляционная установка. Эта установка предусматривает возможность подачи распоряжений из рубки в машинное отделение. Трансляционная установка состоит из радиотрансмиттера типа А-13, усилителя, стабилизатора напряжения, громкоговорителя типа ГД-3 и микрофона.

Для аварийной связи с судовыми и береговыми радиостанциями на судне установлена радиотелефонная станция типа Р-607, все блоки которой размещены в ходовой рубке. Радиостанция питается от судовой электросети постоянного тока напряжением 24 в.

§ 16. ПАССАЖИРСКИЙ ТЕПЛОХОД «БЕЛАРУСЬ-В»

Пассажирский теплоход на подводных крыльях «Беларусь-В» предназначен для скоростных перекоек пассажиров на пригородных и местных линиях протяженностью до 320 км, в первых рядах, допускающих эксплуатацию судов с осадкой не более 0,9 м. Теплоход «Беларусь-В» представляет собой заряят теплохода «Беларусь» с водометным двигателем. Установка на теплоходе вместо гребного винта водометного двигателя отвечает требованиям повышения живучести двигателя и улучшения маневренных качеств теплохода на малых скоростях.

Водометный двигатель теплохода состоит из следующих основных узлов: водозаборника, насосной части, сопла и реверсивно-рулевого устройства (рис. 167). Водозаборник выполнен в виде канала переменного сечения со щелевидным входным сечением. Щелевидное сечение на входе планко переходит в круглое сечение на выходе (цилиндрическая часть) диаметром 465 мм. С целью уменьшения сопротивления водозаборника в его конической части установлен профилированный внешний обтекатель. Для крепления коромысловой части водозаборника к крылу из последнее приварена обтекаемая коробка, с которой водозаборник соединяется болтами.

Боковые стени водозаборника подкреплены продольным ребром жесткости, служащим одновременно брызгоотражателем. На входной щели водозаборника расположена эпизетка

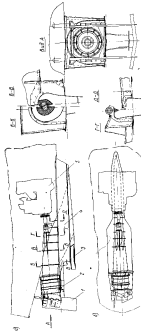


Рис. 167. Схема водометного двигателя теплохода «Беларусь-В»: а — вдоль объекта; б — вдоль судна; в — вдоль моря; 1 — вода объект; 2 — вода судна; 3 — вода моря; 4 — водозаборник; 5 — коромысло крыла; 6 — коромысло крыла.

решетка, представляющая собой комбинацию прямолинейных ребер и поперечных профилированных козырьков, крепящаяся к стенкам водозаборника на потайных болтах. К днищу и трапу корицкой наделки корпуса водозаборника крепится на заклепках при помощи алюминиевого и трапециевого фланцев. Расположенная выше линии крепления часть водозаборника подкреплена ребрами жесткости, с помощью которых водозаборник соединяется на заклепках с поперечным днищевым набором корпуса.

В месте выхода вала в водозаборнике установлена труба заборника. В районе трапца, на цилиндрической части трубы, выполнена колцевая проточка шириной 150 мм. В эту проточку ставится заружное кольцо внутреннего обтекателя гребного вала. Водозаборник выполнен сварным из алюминиевого сплава марки АМг-61. Внутренний обтекатель гребного вала длиной, обеспечивающей равномерность по диску потока, отекающего на первую ступень ротора, представляет собой обтекательное тело. Обтекатель выполнен из материала марки АМг-61 и смонтирован на трубе. Носявой носок трубы имеет комбинированную проточку, с помощью которой он раскрепляется в дебивидной трубе распорными конусами. В корицкой части внутреннего обтекателя смонтируется направляющий аппарат, 8 лопаток которого твердены в обшивку внутреннего обтекателя в оболочку, заканчивающуюся фланцем с центрирующей проточной. Наружный диаметр оболочки приточен по размеру колцевой проточки водозаборника. Пустоты внутреннего и внешнего обтекателей водозаборника, а также зазоры коробки на кормовом крыле заполнены асбестоизвестковым герметико-изолятором марки ПУ-3.

Насосная часть водометного движителя представляет собой осевой двуступенчатый насос, включающий ротор и спиральющий аппарат. Ротор движителя состоит из вала, пакетированной на него ступицы и двух ступеней — рабочих колес. Вал наклонен к основной плоскости на угол 3°. Вал ротора выполнен из стали 45 с диаметрами рабочих шеек 80 мм. В местах установки опорного подшипника в сальнике дебалда на валу предусмотрены рубашки из нержавеющей стали марки X18H10T. Опоры вала служат опорный резино-металлический подшипник, установленный в корпусе сопла, и упорный подшипник в реверсивной муфте двигателя. Упорный подшипник рассчитан на усилие до 4000 кг. Смазка опорного подшипника осуществляется водой, подаваемой в низость подшипника через две трубы из сопла.

Ступница ротора выполнена из стали марки Ст. 5 с колышевыми центрирующими проточками под установку рабочих колес. Рабочие колеса лёгкого профиля изготовлены из нержаве-

ющей стали марки X18H10T сварными. Характеристика колес приведена ниже:

Диаметр ротора D_r , м	0,462
* ступени d_s , м	0,300
Шаг ротора, м	
H_1	0,50
H_2	0,65
Двухшаровое отверстие Θ	12
Число лопастей (n_1+n_2)	19

Рабочие колеса крепятся к ступице болтами.

Спиральющий аппарат представляет собой две соединенные спиральными лопатками соосные оболочки, выполненные из нержавеющей стали марки X18H10T по пределам спарки. Торцы внешней оболочки заканчиваются фланцами, с помощью которых спиральющий аппарат болтами крепится к фланцам водозаборника в сопле. Характеристика спиральющего аппарата приведена ниже:

Диаметр трубы D_t , м	0,465
* ступени d_s , м	0,300
Количество спиральных лопаток φ	12

Сопло представляет собой две конические обечайки, соединенные линзовидно лопатками. Оно выполнено из нержавеющей стали марки X18H10T и имеет два фланца по торцам, с помощью которых болтами соединяется со спиральющим аппаратом и коробкой реверсивно-рулевого устройства. Внутри сопла смонтирован корпс широкого подшипника. Площадь выходного сечения сопла формируется двумя обжимающими ползунами — внутренним и внешним, выполненным из материала марки АМг-61.

Паспортная диаграмма водометного движителя тепловоза «Белорус»-В показана на рис. 168.

Для обеспечения нормальных маневренных качеств тепловоза при ходе на крыльях и в поднимаемом режиме без реверсирования движителя предусмотрено специальное реверсивно-рулевое устройство. Конструктивно оно представляет собой коробку, образованную незадимным цилиндром, имеющим в нижней части карман — водовод реверса. Коробка смонтирована на фланце с помощью которого она крепится болтами к соплу. На коробку наложены ветви. Погтайные болты к ней крепятся реверсивно-рулевые пластины — створки. Коробка выполнена сварной из материала Ст. 3, створки — из сплава АМг-61. Створки погружены в воду на уровень кормового крыла и омываются струей водометного движителя, а также избегающим их из нижних частей потоком.

При движении на переднем ходу управление осуществляется синхронной перекладкой створок с помощью гидроцилиндров гидроэлектрической системы управления. Задний ход судна возможен в результате закрывания коробки сходящимися к ДП створками. В этом случае поток воды из движителя через колено

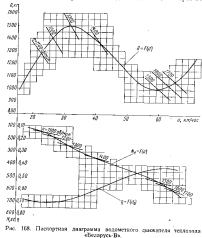


Рис. 168. Паспортные диаграммы взаимного действия гидротехники «Береговую-Ва».

вод реверса выбрасывается в направлении носа судна под днище корпуса. Управление на заднем ходу осуществляется при открытии соответствующей створки на угол до 8° от положения реверса. Части створок, опущенные ниже днища, выполнены в виде балансирных рулей. Суммарная площадь реверсивных створок равна $0,314 \text{ м}^2$. Площадь погруженной при ходе на крыльях части створок равна $0,15 \text{ м}^2$.

§ 26. ПАССАЖИРСКИЙ ГАЗОТУРБОХОД «БУРЕВЕСТИК»

Пассажирский газотурбодвигатель на подводных крыльях «Буревестник» предназначен для скоростных перевозок пассажиров на транзитных и местных линиях рек и водохранилищ протяженностью до 500 км (рис. 169).



Рис. 169. Пассажирский газотурбодвигатель на подводных крыльях «Буревестник». Скорость хода 95 км/час.

Основные элементы и характеристики газотурбодвигателя

Длина габаритная, м	43,2
Ширина, м	
габаритная	7,4
корпуса	6,0
Высота корпуса с надстройкой, м	3,7
» габаритная (от осиней линии)	5,8
» габаритная от уровня воды при ходе на крыльях	7,0
Осадка габаритная, м	
на плаву	2,0
при ходе на крыльях	0,6
Подводимое сопротивление, т	39,86
Средняя осадка по корпусу при этом водонимеющем, м	0,51
Подводимое в погоне груза	65,6
Средняя осадка по корпусу при этом водонимеющем, м	0,69
Максимальная главная линия гребных винтов, м	2x2,90
Эксплуатационная скорость хода на полной воде, км/час	95
Дальность плавания по запасам топлива при эксплуатационной скорости, км	500
Пассажировместимость, чел.	150

Форма корпуса газотурбодвигателя: форштевень имеет большой наклон; нос клиновидный с высокой поднятой склоной; корма в подводной части трапециевидная, в надводной — обтекаемой формы; днище кильватерное с V-образными шпангоутами (рис. 170).

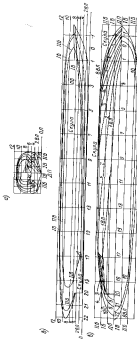


Рис. 170. Техническая схема поперечного сечения корабля «Буржвестник». ГРУППА — группировка; БОРДЫ — борды.

Основные коэффициенты теоретического чертежа газотурбозада при полном водоизмещении приведены ниже:

Коэффициент общего заноса	0,466
“ коэффициент поперечной	0,748
“ податливости жидкости в кильватере	0,520

Общее расположение

На рис. 171 показана схема общего расположения газотурбозада «Буржвестник». Корпус ниже главной палубы разделяется по длине двенадцатью водонепроницаемыми переборками на 13 отсеков.

Отсек № 1 — от форштевня до 0 шп. — представляет собой формиль. Доступ в отсек осуществляется через люк в полуобске на носовом салоне. Отсеки № 2 (0—2 шп.), № 3 (2—5 шп.), № 4 (5—8 шп.), № 5 (8—11 шп.), № 6 (11—14 шп.), № 7 (14—17 шп.), № 8 (17—20 шп.), № 9 (20—23 шп.) и № 10 (23—26 шп.) — подпалубные. Доступ в них осуществляется через полуобские водонепроницаемые люки. В отсеке № 4 (5—8 шп.) расположено рулевое устройство носового руля газотурбозада. В отсеке № 10 (23—26 шп.) находится фекальная система. Машинное отделение газотурбозада размещается в отсеке № 11 (от 26 шп. до транца на 34 шп. и сферической переборки в районе 32½—35 шп.) по всей высоте судна. В отсеке № 12 (от сферической переборки до 37 шп.) расположена топливная система. Переборки в ДП и в 35 шп. топливной системы делются на 4 части. Альтернат находится в отсеке № 13 (от 37 шп. до кормовой оконечности надстройки).

В районе 0—6½ шп. размещается носовой пассажирский салон на 38 мест. В районе 6½—8 шп. по бортам расположены гардеробы. В средней части судна имеется выгородка, в которой находятся шинсерская, радиоагрегатная УКВ-станция, багажник, кладовая для запчастей и иници для огнетушителей. В районе 8—23 шп. размещается корпорной пассажирский салон на 112 мест. В корпорной части салона в районе 9—10½ шп. имеется основной восходящий трап. В выгородке под последним трапом расположены багажники. В корпорной части салона у переборки на 23 шп. по левому борту установлена буфетная стойка, отделенная от салона деревянной ширмой. В районе 23—26 шп. по левому борту размещены: проходная, агрегатная и санузлы; по правому борту — каюты команды и санузел. В районе 23—26 шп. по ДП расположен трап запасного выхода. В выгородке под трапом установлены аккумуляторные батареи. В проходе между трапом и санузлом по левому борту предусмотрены шкафы пожаротушения машинного отделения и пожарный шкаф с ящиками, шлангами и пожарными рожками. Над этиими шкафами расположены два шкафа для прохода, а над

стеллажом по левому борту — шкаф для инструмента и запасов для электрооборудования. У входа в агрегатную на стенные выгородки 24 шт. имеется шкаф для прохода из машины. В проходе по правому борту у 26-й переборки расположены главный распределительный щит, защищенный стеклянным кожухом. Между щитами распределительный щитом в выгородке каюты установлен стеллаж для спасательных кругов.

Ходовая рубка судна, полуутонченная в надстройку, размещена в районе 6—11 шп. На топовой палубе судна расположены: леерное ограждение, посадочный трап, отличительные отмы, отмашки, спирна, мачты, антенны, воздухозаборники машинного отделения, звуковая падемка, шарнирные козлы и т. д.

Конструкция корпуса и материалы

Корпус газотурбозадора «Буренщик» цельносварной. Надстройка клепаной конструкции выполнена с применением контактной сварки. Для корпуса и надстройки применены сварочные материалы: листовой материал и панели из алюминиевомагниевого сплава марки АМг-61 для корпуса, листовой материал из дюралюминия марки Д16АТ для надстройки и профильные материалы из алюминиевомагниевых сплавов марки АМг-61 и дюралюминия марки Д16Г для корпуса и надстройки. Отдельные детали корпуса изготовлены из стали. Стальные детали окраинены. Пасты сланей и машины отделения и привального бруса изготовлены из рифленого дюралюминия марки ДРО.

Прочность газотурбозадора обеспечена при ходе на крыльях с эксплуатационной скоростью на волнении с высотой волны до 1,2 м.

Корпус и надстройка газотурбозадора набраны по продольной системе набора. Конструкция и размеры связей продольного и поперечного набора показаны на рис. 172 и 173. Обшивка днища в районе 3½—34 шп. выполнена из прессованных панелей толщиной 4 мм. Остальная часть обшивки корпуса изготовлена сваркой в подкрепление ребрами жесткости таврового сечения.

Главная палуба и надстройка, кроме района топливной системы, выполнены из панелей, спаренных контактной сваркой с ребрами жесткости Z-образного профиля. Продольный набор по днищу, бортам и палубам — составной, из ребер жесткости обшивки в балках набора таврового профиля. Поперечный набор во всей лиине судна состоит из рамных шланговых, выподвижных из двухтавровых и кипеллерных (бимсы палубы) профилей и установленных на продольные ребра жесткости. В местах соединения поперечного набора с продольными ребрами имеются ютины. Все продольные ребра жесткости соединены с попереч-

ными переборками ютицами, обеспечивающими непрерывность продольных связей.

Обшивка борта изготовлена из листов толщиной 3 мм, подкрепленных ребрами жесткости таврового профиля. Настал главной палубы выполнены из листов, спаренных с набором контактной сваркой в составованных в местах расположения поперечных переборок. Толщина листов настила составляет 2 мм, расстояние между продольными ребрами жесткости равно 200 мм. Поперечные взаимоувязывающие переборки установлены на 0, 2, 5, 8, 11, 14, 17, 20, 23, 26, 31½—35 (сферическая

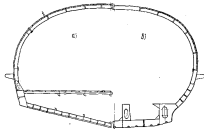


Рис. 173. Киль-шпангоут газотурбозадора «Буренщик»: а — в районе котельно-машинного отделения; б — в районе МД.

переборка) и 37 шп. Переборки из 26, 32½—35 и 37 шп. доведены до топовой палубы. Другие поперечные переборки и выгородки, расположенные выше палубы переборок, изготовлены из тонких листов с ребрами жесткости Z-образного профиля.

Элементы корпуса соединены с помощью аргонодуговой сварки. Для соединения деталей топовой палубы применена контактная роликовая и точечная сварка. Монтажные швы топовой палубы выполнены клепанными. Фундаменты и подкрепления под главный двигатель (газовую турбину) изготовлены сварными из листового и профильного материала марки АМг-61.

По бортам газотурбозадора из высоте 1000 мм от основной линии установлен привальный брус сваркой коробчатой конструкции из листов алюминиевомагниевого сплава марки

АМг-61 толщиной 2–3 мм и паклейной полосы толщиной 6 мм. Хвостовая наделка на тентовой палубе выполнена из листов алюминиевомагниевого сплава толщиной 1–1,5 мм и пакра.

Для изготавливания ходовой рубки использованы листы из алюминиевомагниевого сплава толщиной 1,5 мм в балки Z-образного профиля.

Изоляция, покрытия, отделка и окраска

Пассажирские салоны и рубки изолированы по бортам, по перечным переборкам и подволоке теплоизоляционными материалами марки АТМ-1 (из суперстекло стеклоподложки). Теплоизоляционный материал наклеен на металлическую поверхность корпуса клеем марки ВК-32-2. Машинное отделение изолировано звукоизолирующими пакетами, изготовленными из двухалюминиевых перфорированных листов толщиной 0,8 мм, склеенных с внутренней стороны звукоизолирующими материалами марки АТМ-1 толщиной 35 мм. Изоляция наклеена клеем марки ВК-32-2. Крышка люка в машинном отделении защищена изоляцией, состоящей из перфорированных листов толщиной 0,8 мм и звукоизолирующей изоляции из материала марки АТМ-1 толщиной 35 мм.

Перечная переборка из 26 мм., разделяющая пассажирское помещение и машинное отделение, сделана алюминиевой. Вторая стенька (защинка) изготовлена из дваралюминиевых листов толщиной 1,5 мм., расположенных на расстоянии 130 мм от осевой переборки. Защинка крепится с помощью пяты из резиновых прокладок к специальному постферному контуру. Перечная переборка и защинка с внутренней стороны оклеены теплоизолем марки ПС-4 толщиной 30 мм с алюминиевой фольгой толщиной 0,2 мм. Пеноизласт и фольга приклейки к корпусу клеем марки ВИАМБ-3 с подслоем клея марки БФ-2. В воздушном промежутке между переборкой и защинкой размещен слой звукоизолирующего материала из марки АТМ-1 толщиной 35 мм.

Палуба в пассажирских салонах и каютах команда покрыта каучуковыми коврами на резиновой основе, привлекающимися по периметру палубы клеем марки 88-Н.

Участки палубы в кормовом тамбуре и рубке покрыты резиновыми коврами из рефлексной резины толщиной 2 мм. К металлу резиновые коврики приклеиваются клеем марки 88-Н.

Для обстройки помещений и их различичных поделок применяется соль. Отделка помещений произведена алюминиевым пакетом марки ПА и декоративным слоистым пластиком толщиной 2 мм. Подполка салонов, переборка в борта выше нижней кромки окон закрыты пакетом. Пакель до окон отделана пластиком толщиной 2 мм по фанере. Отделка клют, буфета и

рубки подобна отделке пассажирских салонов. Туалеты по борту, подвалок и продольной выгородке отделаны пластиком; поперечные переборки окрашены. Стыки пластика закрыты раскладками.

Подводная часть корпуса скружа окрашена краской марки ЭШЭЛ по грунту марки ВЛ-02. Надводная часть корпуса и надстройка снаружи окрашены лакофталевой эмалью марки ПЛ-115 по грунту марки ВЛ-02.

Изнутри корпус затрунтован одним слоем фосфатирующего грунта марки ВЛ-02 и одним слоем фосфатирующего грунта марки ВЛ-03.

Оборудование помещений и дельные вещи

Пассажирские салоны оборудованы 150 мягкими креслами. Для размещения багажа пассажиров могут быть использованы багажники и выгородки под рубкой, а также гардероб в районе 6½–8 шт. и выгородка под посадочным трапом.

Дежурная команда из четырех человека оборудована одним мягким креслом, столиком, трехместным диваном, пакетом с отделениями для одежды и личных вещей, инструментом, кипелкой для одежду, зеркалом и кистательницей.

На судне имеется буфет с открытой буфетной стойкой, со стаканомкой, подвесной полкой-столиком, засекаемой патрикой, холодильником и двумя террасами. Буфетная стойка отделена от остальной части салона декоративной панелью. Задняя стена буфета оборудована шкафом для сухих запасов, электроплиткой, раковиной с двумя мойками для мытья посуды, электротряпильником, столом с выдвижной доской, полками для тарелок и стаканов и урной для мусора.

Оборудование рубки включает: пульт управления, два кресла для водителя и механика, компас марки КИ-12, штурманский стол, оптетушитель, складной табурет, прицельно-измерительные юстировки, рувер, часы, пульт управления радиостанцией. Пульт управления перегородками устройствами внутристоронней связи. Кроме того, в рубке размещены: электромегафон, термометр, ракеты сигнала бедствия и др.

Для плавания главных двигателей в лентовой палубе предусмотрены люки размером в смету 1600×4000 мм. На случай длительной стоянки или пожара, крышки люков снабжены закрыванием с помощью электропривода жалюзи. Крышка люка машинного отделения служит одновременно и поддухозаборником газовых турбин. В крыше люка машинного отделения устроен небольшой люк для входа в машинное отделение. Размер этого люка 600×1000 мм.

Люк основного выхода на тентовую палубу (посадочный) расположен в пис от 11 шт. и имеет размер в смету 1100×

×1700 мм. Размер люка запасного выхода на тентовую палубу 800×1700 мм в свету. Этот люк снабжен двухстворчатой брезентопротивоманной крышкой. Люки для доступа в трюм (из диаметр 450 мм) имеют водонепроницаемые крышки, которые герметичны заподлицо с настилом главной палубы.

На полубаке в районах 0—(—1) шириной якорной лебедкой размещается люк, обеспечивающий удобное обслуживание якорной лебедки. Крышка люка изготовлена одностворчатой из петлях и имеет уплотнительную резиновую прокладку по контуру и запирающее устройство. Для доступа в топливную榭-спираль предусмотрена горловина, расположенная на тентовой палубе по левому борту в районе 33 шир. Горловина выполнена газонефтенпропицаемой. Ее размер в свету 360×410 мм. Самогерметичность этой горловины по правому борту в настиле тентовой палубы вынуждена вторая горловина для прохода топлива. Горловина для доступа в актерник расположена на тенте в ДП, в корму от 37 шир. и имеет размер 360×410 мм. В носовой части тентовой палубы и нос от 0 шир. в ДП находится люк аварийного выхода из носового салона размером 600×600 мм в свету, закрыванием брезентопротивоманной крышкой на петлях.

Дверь, ведущая с главной пассажирской палубы в салон, выполнена двухстворчатой размером в свету 1740×990 мм, имеет застекленную верхнюю часть и открывается из салона в посадочный тамбур. Дверь из салона в кормовой тамбур — одностворчатая, имеет размер в свету 1740×790 мм, застеклена в верхней части и открывается из салона в кормовой тамбур. Ведущая в рубку дверь имеет размеры 600×990 мм и выполнена из листов алюминиевомагниевого сплава марки АМг-61, сваренных с помощью контактной сварки. Дверь в пропилционную — сложная, размером 550×1830 мм, рамной конструкции. Со стороны салона дверь оклеена декоративным слоистым пластиком, а со стороны пропилционной окрашена.

В районах 10—11 шир. под углом 55° к главной палубе установлен главный заслоночный трап, имеющий ширину 1040 мм. Трап запасного выхода шириной 800 мм расположен в районе 25—26 шир., под углом 58°,5 к главной палубе. Конструкции трапов — клепаная (из листов дюралюминия марки Д1БАТ). Ступеньки трапа запасного выхода имеют высоту 235 мм, а посадочного трапа — 220 мм. Ширина ступенек равна 260 мм. Ступеньки оклеены резиной толщиной 2 мм, а по кромкам отделены угольниками. В районах 28—29½ шир. установлен двухстворчатый трап в машинное отделение шириной 600 мм, клепаной конструкции. Для прохода в кормовую часть машинного отделения нижняя секция трапа может открываться. На ступеньках трапа прикреплены рефлексные полосы. Для доступа с тентовой палубы на обнос в носовой и кормовой части газотурбозадка на обоях бортов предусмотрены скоботрапы. Имеется также заборный

съемный посадочный трап, который хранится в районе 12—15 шир. на тенте. Трап состоит из двух частей, каждая шириной 350 мм и длиной 3 м. Кроме того, на газотурбозадке предусмотрены легкий заборный трап, который напечатан на обносе и используется для пассажиров в шлюзах.

Окна в кормовом пассажирском салоне выполнены с открывающейся верхней частью. В кормовом и в носовом салоне они остеются пlexигласом толщиной 6 мм с ногтиями по обводам настройки. Окна носового салона глухие, закреплены алюминиевыми планками на винтах с резиновыми уплотнителями. Для улучшения вентиляции салона в кормовой части оконных проемов имитированы отвечающие брезентопротивоманной фрамуги. Окна рубки остеются пlexигласом толщиной 4 мм. Лобовые стекла, а также по одному боковому с каждого борта сделаны открывающимися. На передних стеклах, изготовленных из триplexa, имеются снегозадержатели. В машинном отделении установлены два иллюминатора диаметром 350 мм, выполненные из алюминиала толщиной 4 мм с резиновым уплотнителем по контуру. Иллюминаторы сапузлов изготовлены открывающимися.

Судовые устройства

Крыльевое комплекс газотурбозадка состоит из носового, двух средних и кормового крыльевого устройства (рис. 174). Носовое крыльевое устройство включает носовое крыло, стабилизатор и закрылки. Крыльевое устройство крепится к корпусу на пяти стойках болтами через фланцы. Нижние части стоек пришпаклены к плоскостям крыла и стабилизатора. Верхние части стоек — общие для носового крыла и стабилизатора. Верхние и нижние части стоек соединяются между собой болтами на фланцах. Такое соединение позволяет с помощью клиновых прокладок изменять установочные углы носового крыла и стабилизатора. На верхних частях бортовых стоек болтами крепятся закрылки. В целях смягчения интенсии конусной носового крыла и стабилизатора установлены две концепции шайбы, которые пришпаклены к торцам конусов и к отогнутой кромке закрылков. Бортовые стойки носового крыльевого устройства подкреплены раскосами.

Носовое крыло и стабилизатор — стреловидные в плане и имеют небольшую кокардиную V-образность. Профили плоскостей крыла и стабилизатора — плоско-выпуклые. Закрылки представляют собой глиссирующие пластины. Плоскости носового крыла и стабилизатора и стойки носового крыльевого устройства изготовлены из плит алюминиевомагниевого сплава марки АМг-61.

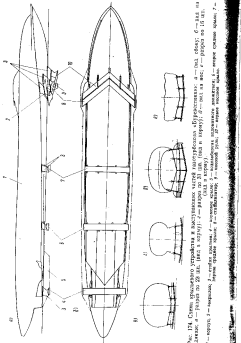


Рис. 174. Схема крыльевого устройства в местоположении крыла: а — разрез по 20 (лан. 150); б — разрез по 20 (лан. 150) в кромке; в — коротко; г — нормально; д — нормально; е — нормально; ж — нормально; з — нормально; и — нормально; к — нормально; л — нормально; м — нормально; н — нормально; о — нормально; п — нормально; р — нормально; с — нормально; т — нормально; у — нормально; ч — нормально; я — нормально.

Средние крыльевые устройства (первое и второе) состоят из крыльев к четырем стойкам. Стойки соединяются с плоскостями крыльев сваркой. К корпусу они крепятся с помощью фланцевых соединений на болтах. Средние крылья имеют прямоугольную в плане форму с небольшой V-образностью. Профили сечения плоскостей крыльев — плоско-выпуклые. Первое среднее крыло представляет собой сварную пустотелую конструкцию, второе крыло и стойки обоих средних крыльев изготовлены сплошными из алюминиевомагниевого сплава марки АМг-61.

Корневое крыльевое устройство состоит из плоскости крыла и двух бортовых стоек. В качестве промежуточных опор используются подзаборники водометных двигателей. Бортовые стойки и фланцы промежуточных опор приварены к крыльям. К крыльевым частям газотурбозадающих бортовые стойки крепятся с помощью болтов на фланцах. Промежуточные фланцы соединяются со стенками подзаборника водометного двигателя болтами. Корневое крыло имеет прямоугольную в плане форму, небольшую поперечную V-образность в средней части и значительную V-образность (15°) консольей. Профиль сечения крыла плоско-выпуклый. Плоскость крыла в стойки выполнены сплошными из алюминиевомагниевого сплава марки АМг-61.

Носовое и х�рактерное крылья являются основными несущими крыльями. Средние крылья, стабилизатор и закрылки — исполнительные крыльевые устройства.

Рулевое устройство газотурбозадающих крыльев состоит из косового полубалансирного руля, установленного за средней стойкой носового крыла к реверсивно-рулевому устройству, расположенного за водометными двигателями. Погружением в воду площадь руля составляет 0.8 м^2 на пару и 0.25 м^2 при ходе за крыльями. Руль изготовлен из плиты алюминиевомагниевого сплава марки АМг-61 толщиной 40 мм и имеет две опоры. Верхней опорой служит блок, крепящийся в подшипнике, нижней — петле, укрепленная на средней стойке носового крыла. Балансирная часть руля, расположенная под стабилизатором, имеет в косовой части профилеворку. Переекладка руля осуществляется гидравлическим приводом.

Реверсивно-рулевое устройство (РРУ) обеспечивает газотурбозадающим управляемый задний ход и необходимую маневренность во всех режимах движения в результате изменения направления струй, выбрасываемой из сопел водометных двигателей. РРУ состоит из коробки, изготовленной из нержавеющей стали марки X18H10T, и крепленых на коробку створок — рулемов пластина. Коробка РРУ имеет прямоугольную форму; в нижней части ее сделан направляющий карман, через который вода, когда коробка закрывается, выбрасывается под днище в направлении носа газотурбозадаща, обеспечивая задний ход. Створки РРУ

Капотчины из нержавеющей стали марки Х18Н10Т и крепежены на коробку при помощи петель, соединенных с ней болтами. Перекладка створок осуществляется с использованием гидроцилиндров. Управление створками производится из ходовой рубки. Гидроцилиндры створок усилены на специальном фундаменте на корпусе сдвижущего аппарата и крепятся к створкам при помощи специальных кронштейнов, расположенных в передней части створок. Управление из передней ходу газотурбозада осуществляется синхронной перекладкой створок на угол до 30°. Задний ход обеспечивается благодаря тому, что коробка закрывается сдвигаясь в оси заднего движителя створок РРУ. При управлении за задним ходу соответствующая створка РРУ приоткрывается на угол до 8°.

Для аварийной остановки газотурбозада, на случай отказа реверсально-рулевого устройства, имеется специальное тормозное устройство. Оно состоит из двух пластин с ребрами жесткости, закрепленных на кронштейнах за водозаборниками водяных движителей (за кормовым крылом), двух гидроцилиндров, труб и арматуры. Тормозные пластины и кронштейны изготовлены из нержавеющей стали марки Х18Н10Т. Управление гидроцилиндрами системы гидравлики привода тормозного устройства производится из ходовой рубки.

Газотурбозада снабжен одним якорем повышенной держащей силы весом 100 кг системы Матросова. Якорный трос имеет длину 125 мм и диаметр 11 мм. Поясок якоря производится гидравлической лебедкой. В качестве гидропривода установлен гидромотор марки ГМ-36 мощностью 8,08 кВт. Скорость выгибания якоря 7 м/мин при действующих турбинах в 3 м/мин при работе лебедки от аварийного гидронасоса. Скорость выгибания якоря пречную — 1,36 м/мин. Лебедка имеет ленточный тормоз, а конец троса, закрепленный на барабане, снабжен устройством для быстрой отдачи якоря. Имеется также механизм крепления якоря по-подшипнику.

Шарнирное устройство газотурбозада состоит из пяти пар двойных крестовых ш掣ок. Кроме того, в хордовой части на обноске для шарнирки газотурбозада с помощью призматических соединений и судам предусмотрено шарнирный клюз. Газотурбозада снабжена также шарнирными направляемыми катапультаами диаметром 19,1 мм и длиной по 25 я, которые хранятся в хордовой части рубки в районе посадочного трапа и на стеллаже левого борта в кормовом тамбуре.

Спасательные средства газотурбозада состоят из 165 спасательных жилетов типа ЦПКБ-3 и поясов спасательных кругов. В качестве противопожарных средств на газотурбозаде имеются четыре огнетушителя марки ОУ-2, два огнетушителя марки ОП-5, три пистолета, два пожарных топора и один фитиль с кошмой.

Для пуска ходовых огней и монтажа антенного устройства на тектоевой палубе газотурбозада установлены две плавкие масти оттяжной формы.

Газотурбозад имеет следующие сигнально-излучательные огни: бортовые отмеляющие (два), головной, гакабортные торцевые (два), стояночный кластиковый, стояночные бортовые (два), откачки импульсные (две).

Для подачи звуковых сигналов предусмотрена электросирена.

Навигационные средства газотурбозада состоят из аварийного индуктивного компаса типа КИ-12, установленного в рубке, судовых часов, секундомера, анометра, барометра — анероида.

Судовые системы

Система кондиционирования воздуха газотурбозада состоит из трубопроводов холодного и горячего воздуха. Воздух для отопления и вентиляции отбирается от компрессоров газовых турбин. Система холодного воздуха (вентиляция) включает: водо-воздушный радиатор, турбокомпрессоры, инжектор, для плавильщика, приборы автоматики, арматуру и турбогенераторы. Холодный воздух с температурой +13° поступает в пассажирские салоны из вентиляционного короба, расположенного под тектоевой палубой в ДП газотурбозада, через перфорированный лист. Максимальная подача холодного воздуха в пассажирские салоны составляет 3600 кг/час.

Установленный на газотурбозаде турбокомпрессор марки 5/9А имеет следующие технические характеристики:

Противодавление за турбиной (абсолютное), кПа	1,2
Степень расширения	2,5
Давление перед турбиной (абсолютное), кПа	32
Температура перед, °С	60±5
Расход воздуха, кг/час	299

Система горячего воздуха (отопление) состоит из двух глушителей, узлов питания воздуха, инжектора, трубопроводов, арматуры и приборов автоматики. В помещении горячий воздух с температурой +40° поступает через специальные насадки в пассажирские салоны и через отверстия в стопительном коробе в кормовом салоне. Максимальная подача горячего воздуха для помещения салонов достигает 3600 кг/час. От трубопровода горячего воздуха воздух поступает на обдув стекол и отопление рубки.

Управление системой отопления и вентиляции осуществляется с помощью следующих контрольных приборов: указателя расхода воздуха УРВУ, указателя температуры воздуха ТУЗ-48, термометрии ТВ-19, задатчика температуры воздуха в салонах, тумблера питания сети, тумблераключения отопления,

тумблера подачи воздуха от компрессоров главных двигателей в систему кондиционирования, тумблера автоматического регулирования температуры, двух сигнальных лампочек иключа- теля звонок ВВР. Управление системой — дистанционное из рубки. В качестве команды в ходовой рубке имеется также система кондиционирования воздуха. Система автоматически поддерживает в помещениях заданную температуру воздуха. Обогрев каюты команда на длительных стоянках производится при помощи теплоэлектроизолятора (питающее с берега). Трубопроводы системы изготовлены из алюминиевомагниевых сплавов с пережавющей стали. Соединение труб — фланцевое и дю- ратоновое.

Система водоснабжения газотурбокомпа состоит из двух автономных систем: системы забортной воды и системы питьевой воды. Система забортной воды предназначена для подачи воды к унитазам и состоит из санитарного электронасоса марки ЭЦН-104, насосоинвертора с указателем уровня в манометре типа РДК-57 и трубопроводов с арматурой. Подача воды в систему забортной воды за ходу осуществляется от трубопровода забортной воды газовых турбин к насосоинверторе за счет скоростного винора, а на стоянке — электронасосом ЭЦН-104 производительностью 1200 л/час. Включение и выключение насоса — автоматическое, от манометра, установленного за пневмоинверторами. Пневмоинверторы, трубопровод и арматура изготовлены из алюминиевых сплавов. Трубы соединяются с помощью дюрантовых муфт.

Система питьевой воды предназначена для снабжения пассажиров питьевой водой, подача воды к умывальникам и мытью посуды. Система состоит из бака емкостью 300 л, электронасоса-цистерны емкостью 5 л и холодильника питьевой воды в хромированном шкафу. Бак заполняется питьевой водой с берега из городского водопровода. Трубопровод системы изготовлен из алюминиевых труб, соединение труб — дюрантовое.

Сточно-фекальная система состоит из двух унитазов с педальным приводом, двух умывальников, фекальной цистерны емкостью 1000 л, захлопки с устройством для ее открывания и закрывания, озонатора, унитарного патрона и трубопровода с арматурой. Сточные воды удаляются из фекальной цистерны на станции очистки через фланцевый трубопровод, обустроенный унитарным патроном. Унитазы и умывальники имеют гидравлическую затворы. Фекальная цистерна оборудована антизаливочным трубопроводом с озонатором на конце, заполненным активным углем. Трубопровод системы изготовлен из полипропиленовых труб из труб из пережавющей стали. Фекальная цистерна сделана из стеклопластика.

Система осушения состоит из двух переносных электроприводных насосов марки ВН производительностью 3,6 кг/час

при напоре 3 м вл. ст. Эти насосы являются основным средством осушки аксессуаров газотурбокомпа. Один насос хранится в пилотерийской кладовой, второй — в машинном отделении. Осушительные насосы снабжены гибкими шлангами, которые соединяются с патрубкой изтукой. Машинное отделение можно также осушить водоподъемным эJECTором на ходу с использованием скрепстного навара водометом. Резервным средством осушки машинного отделения служат ручной насос марки РН-20. Насос имеет гибкий шланг с присоединительной сеткой на конце и может быть использован для откачки отработанного масла из машины системы газовых турбин. Трубопровод системы осушки в машинном отделении выполнены из труб алюминиевого сплава. Арматура системы также изготавлена из алюминиевых сплавов. Соединение труб — фланцевые и на дюрантовые муфты.

На газотурбокомпе предусмотрена система водопожаро-ротушеия. Подача воды для водопожаро-ротуши осуществляется двумя последовательно соединенными насосами марки ЭЦН-11. Система имеет один рожок и снабжена лынчевым рукоятком со стволом диаметром спуска 14 мм. Общая длина рукоятки — 30 м (20+10 м). Трубопроводы системы изготовлены из алюминиевого сплава.

С целью ликвидации очагов пожара в машинном отделении предусмотрена система пожаротушения составом <3,5>, состоящая из стационарного пожарного насоса и объема машинного отделения и отдельных систем для тушения пожара внутри двигателя, а также тушение пожара в реактивном сопле. Станция оборудования двумя баллонами емкостью 40 л каждый для хранения огнетушительного состава в трубопроводах подачи огнетушительного состава в машинное отделение. Огнетушительный состав может подаваться внутрь ликсателей при помощи четырех баллонов-огнетушителей емкостью 2 л каждый с подводящими трубопроводами. Для подачи огнетушительного состава в реактивное сопло газовой турбины имеются четыре отверстия емкостью 2 л каждый с подводящими трубопроводами. Система работает на огнетушительном составе «З,5» (70 весовых частей бромистого этила и 30 весовых частей уледжаслоты). Управление системой — дистанционное, на ходовой рубке и коренного тамбура. Трубопроводы системы изготовлены из труб из пережавющей стали марки Х18Н9Т. Соединение труб — фланцевое. Шланговая система, предназначенная для удаления за борт воды с палубы и из помещений, состоит из десяти приемных воронок и шести невозвратных клапанов. Трубы и арматура системы изготовлены из алюминиевых сплавов. Соединение труб — дюрантовое.

Холодильная система, предназначенная для хранение скоропортящихся продуктов, состоит из холодильной машины марки ФДК-0,7 АВ с электродвигателем марки ГСК-1500,

термофенгулирующего вентиля марки ТМ-15Ф, шкафа-холодильника, испарители марки НИ1-00У, подложка, трубопровода и контрольно-измерительных приборов. Холодильная машина ФАК-0,7 АВ имеет холодогенераторность 700 ккал/час. В шкафу-холодильнике поддерживается температура от +2 до +5°C. Трубы системы изготавливаются из нержавеющей стали. Соединение труб — штуцерное с канифидными гайками.

Для вентиляции машинного отделения при ремонтных работах установлены четыре вентилятора марки ДВ-1К производительностью 700 м³/час каждый. Воздух распределяется трубопроводами и раздаточными поворотными головками марки Ду90. Обдув стартер-генераторов газовых турбин и термозатворов осуществляется вентиляторами правого и левого бортов газотурбокомпрессора из системы вентиляции машинного отделения. Во время пожара в машинном отделении трубопровод вентиляции дистанционно перекрывается заслонками с электроприводом.

Силовая установка

Силовая установка газотурбокомпрессора «Буревестник» состоит из двух газотурбинных двигателей и вспомогательной энергетической установки, расположенных в машинном отделении, в носовой части судна. Вход в машинное отделение, а также загрузка и выгрузка механизмов осуществляются через люки в топтовой палубе.

Главные двигатели газотурбокомпрессора — авиационные газовые турбины марки АИ-20А (рис. 175). Максимальная мощность каждого двигателя достигает 3500 л. с. при 12300 об/мин. Эксплуатационная мощность двигателя равна 2700 л. с. при 12300 об/мин. Выходной вал турбины имеет 1050 об/мин. Удельный вес — 0,27 кг/л. с. Срок службы газотурбинного двигателя, гарантированный заводом-изготовителем, — не менее 1000 час. Сорт топлива — дизельное, марки ДЛ. Удельный расход топлива на эксплуатационном режиме составляет 330 г/л. с. час. Сорт масла — смесь, состоящая из 75% трансформаторного масла и 25% авиационного масла марки МК-22 или МС-20. Рассход масла на один двигатель не превышает 1,2 л/час.

В качестве вспомогательной энергетической установки на газотурбокомпрессоре установлены два турбогенератора марки ТГ-16, которые служат источником электроэнергии при запуске главных двигателей и источником питания бортсети в аварийном режиме. Кроме того, в машинном отделении размещены следующие механизмы и оборудование:

Компоненты

Холодильник МХД-4	2
Масляный бак смеси 36 л	2
Пневмомеханика	1

Накос ЗШП-104 (самотормоз)	1
тормозной ПНВ-2А	1
автоматический ВИ	1
компактный ЭДН-11	1
Накос осушительный РИ-20	1
антропоизделический РОЗА	1

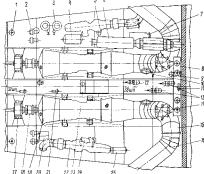


Рис. 175. Комплексная машинная установка газотурбокомпрессора «Буревестник».

1 — опорнотяговый; 2 — центробежный; 3 — масляный бак; 4 — радиальный фланец; 5 — турбогенератор; 6 — редуктор и тормозной якорь; 7 — компактный автоматический тормозной накос ЗШП-11; 8 — вспомогательный накос ЗШП-104; 9 — агрегат ЗШП-104; 10 — компактный вакуумный; 11 — вспомогательный турбогенератор главного двигателя; 12 — трансформатор ДСВ-300; 13 — упорный подшипник; 14 — сливательный муфтой; 15 — вентилятор; 16 — агрегат АИ-20А; 17 — против ГС-1000; 18 — вспомогательный вакуумный; 19 — главный вентилятор ТГ-16; 20 — центральный дроссельный; 21 — вспомогательный вентилятор ТГ-16; 22 — предохранительный; 23 — предохранительный; 24 — вспомогательный вентилятор ТГ-16.

Фланец топливный трубой санкция	2
«+» топливной	2
Дренажная винтотка	1
Турбогенератор	1
Вспомогательный радиатор	1
Электротормозчик ДВ-1К	1
Баллон вакуумогенератора составной ЗШП	1
Накос ЗШП-104 вспомогательного тормоза	1
диаметр	1
Накос ЗШП-104 односторонний тормоза	1
ТГ-16	1

Наход ЗДН-11 системы охлаждения	
в ЭДН-11 системы газодинамической	
Расходный бак гидравлики	
Канаты	2
Инжектор	
Пакет электроподогрева	
Преобразователь ДО-4900	
Трубопровод газовыпрямленной главной змеевиковой	
трубой	
Трубопровод газовыпрямленной ТГ-16	2
Гидроагрегат системы газодинамической	2
Бакастро емкостью 20 л	1
Баки для жидкого масла емкостью 15 л	1
Трансформатор системы питания с берега	1
Шкафы для аппаратов и инструментов	1
Наход ЭДН-104 дренажный	1
Холодильники масла ТГ-16	1
Бак кислородный	1
Откупушатели ОУ-2	1
Электропроводка ГС-1000	1

Двигатели

На газотурбокомпрессоре установлено два водометных движителя (рис. 178). Каждый водометный движитель состоит из следующих основных узлов: водозаборника, насосной части, устройства запуска и управления загрузкой и реверсивно-рулевого устройства. Водозаборник водометного движителя представляет собой канаву переменного сечения с шелевидным входным отверстием размером 200×3500 мм, впадающую переходящим плавно днищем корпуса судна в цилиндрическую трубу с диаметром входного сечения, равным 750 мм. Для улучшения условий монтажа водозаборник выполнен из двух частей: верхней, расположенной в корпусе судна, и съемной нижней, выступающей ниже корпуса судна. Верхняя часть водозаборника состоит из водонапорной трубы, внутреннего обтекателя гребного вала и сечений направляющего аппарата, изготовленных из алюминиевомагниевого сплава АМг-61. С внешней стороны на водонапорной трубе установлены ребра жесткости, а на днищевой части (в районе пересечения с днищем) — фланцы. При помощи ребер и фланца трубы прикреплены плавногнутая и днищу в районе машинного отделения. В месте пересечения верхней части водозаборника с трапецевидной переборкой установлен трапециевидный лист, посредством которого водозаборник крепится к трапезе.

Внутренний обтекатель вала ротора совместно с сейцей направляющего аппарата обеспечивает равномерность по длине нападения потока за первую ступень ротора водометного движителя. Направляющий аппарат состоит из двух соосных оболочек, соединенных направляющими доплатаами посредством аргонодуговой сварки. Горцы внешней оболочки заканчиваются

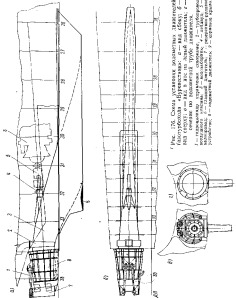


Рис. 178. Схема установки водометных движителей
на газотурбокомпрессоре: а — вид сбоку; б — вид спереди; в — вид снизу по днищу судна; г — вид сбоку по подводной трубе движителя.
1 — трапециевидное устройство, сплошное; 2 — трубопровод водометного движителя; 3 — направляющий аппарат; 4 — алюминиевомагниевый сплав; 5 — стальной лист; 6 — регулируемый клапан; 7 — регулируемый кран; 8 — подводная труба движителя.

Фланцами с центрирующими проточками. При помощи этих фланцев сокции крепятся к выходному фланцу водозаборника и к входному фланцу сжимающего аппарата на болтах.

Элементы направляющего аппарата

Внутренний диаметр наружной оболочки, м	0,75
Диаметр ступицы, м	0,5
Количество лопаток	12

Нижняя выступающая из корпуса часть водозаборника, изготовленная из сплава марки АМг-61, служит одновременно днищевой стойкой коренного ярма. На наружных поперечных боковых стенках установлены горизонтально расположенные профилированные козырьки, по два на каждой стекке, выполняющие одновременно функции ребер жесткости и брызгоотражателей. Носовая оконечность нижней части водозаборника заканчивается защиной обтекателем.

На входной щели водозаборника установлена защитная решетка, выполненная из нержавеющей стали марки X18H10T и состоящая из продольных ребер и поперечных профилированных во вolute козырьков, соединенных при помощи спарки. Носовая часть решетки заканчивается фланцем, кормовая — коробкой, в которым привариваются продольные ребра. Крепление решетки к водозаборнику — болтовое. Нижняя часть водозаборника соединяется с корпусом судна при помощи днищевого фланца водозаборника на болтах.

Носовая часть водометного двигателя представляет собой осевой двухступенчатый насос и состоит из ротора и спрямляющего аппарата. Ротор двигателя — гребной вал с двумя рабочими колесами (ступенями), крепящимися болтами к ступице, насаженной на вал. Вал изготовлен из нержавеющей стали марки 2Х13. Диаметр вала — 120 мм. Опоры вала служат: ролико-металлический подшипник, расположенный в корпусе солса, и упорный подшипник перед глашным двигателем. Вал соединяется с глашным двигателем при помощи зубчатой муфты.

В месте выхода вала ротора из лебедукской трубы установлен сальник с гидроатомором, препятствующим проникновению атмосферного воздуха по валу к ступени ротора. Вода к гидроатому подается из солса по специальному трубе через фильтр тонкой очистки. Для работы сальника применен материал марки ХБГ. Смазка опорного ролико-металлического подшипника производится водой. Смазка упорного подшипника осуществляется от масляной системы главного двигателя. Подшипник смазывается водой, поступающей из системы охлаждения.

Рабочие колеса двигателей имеют аравое прашение. Они изготовлены сварными из нержавеющей стали марки X18H10T.

Элементы рабочих валов

	Ступень I	Ступень II
Диаметр, м	0,746	0,746
» ступицы, м	0,50	0,50
Дисковое трение, л	1,55	1,65
Шаговое включение	1,15	1,26
Число лопаток	12	12
» оборотов, об/мин		600

Спрямляющий аппарат конструктивно выполнен из двух симметрических оболочек, соединенных спрямляющими лопатками. Внешняя оболочка подкреплена ребрами жесткости и заканчивается по торцам фланцами с центрирующими проточками, при помощи которых она крепится на болтах к направляющему аппарату и солсу. Спрямляющий аппарат наготовлен сварным из нержавеющей стали марки X18H10T.

Элементы спрямляющего аппарата

Диаметр, м	
внешней оболочки	0,75
внутренней »	0,50
Количество лопаток	12

Устройство запуска и управления загрузкой двигателей

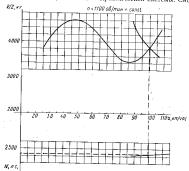
Постоянное число оборотов главного двигателя определяет особые условия запуска и управления загрузкой двигателя. Устройством, с помощью которого снижается загрузка турбины при ее запуске, является воздушный клапан. Он открывается гидроприводом.

Солено изменяет загрузку главного двигателя по моменту в упор, а следовательно, регулирует скорость движения газотурбонасоса. Оно состоит из корпуса и подвижного конуса, регулирующего площадь выходного сечения солана. Привод подвижного конуса осуществляется тремя гидроприводами. Корпус солана выполнен из нержавеющей стали марки X18H10T и представляет собой сплошные конические оболочки, соединенные при помощи спарки лопатками встроенным в солю спрямляющим аппаратом. Наружная оболочка подкреплена ребрами жесткости и ограничена по торцам фланцами с центрирующими проточками. К фланцу спрямляющего аппарата и к коробке развертки-рулевого устройства солю крепится болтами.

Регулирующий подшипник выходного сечения подвижной конус выполнен из материала марки X18H10T и передвигается по направляющей бронзовойтульке, надетой на корпус подшипника. Управление гидроприводами, регулирующими положение подвижного конуса солана, осуществляется из ходовой рубки при помощи гидросистемы. Положение подвижного конуса по

длится определяется индуктивным датчиком; указатель положения сопла подается в рубку.

Главные двигатели газотурбонасоса установлены с наклоном к осевой линии в 4° параллельно ДП судна, на расстоянии 1600 мм одна от другой (между осями двигателей). Управление подачей топлива главных двигателей и загрузка (разгрузка) водометных движителей осуществляется дистанционно из рубки судна при помощи гидравлической системы. Система



Системы, обслуживающие склонную установку и дополнительно-рулевой комплекс

Подача топлива из цистерн в топливную систему у главных и вспомогательных двигателей обеспечивается при помощи топливного трубопровода. Трубопровод главных двигателей состоит из труб, фильтров грубой и тонкой очистки топлива и запорного крана с дистанционным электроприводом. Запасы топлива хранятся в топливной цистерне, расположенной в районе 32—35 шир. Цистерна оборудована двумя горловинами приема топлива, одна из которых служит для приема топлива под давлением, воздушной трубой с предохранительной сеткой, дистанционными указателями уровня топлива, расходной и спускной арматурой. В системе имеется насос марки ПНВ-2, производительность 4000 л/мин при давлении не менее 0,6 кг/см², подавывающий топливо к турбинам. Этот же насос используется с целью удаления топлива с судна. Для стока дренажного топлива из главных двигателей установлена специальная цистерна. Вода из газоотводных труб после входной прокрутки движителя сливается через воронки в цистерну дренажного топлива, оборудованную сигнализатором максимального уровня и воздушной трубкой.

Питание вспомогательного двигателя топливом производится от трубопровода главных двигателей. Трубопровод изготовлен из труб алюминиевого сплава. Соединения труб — дюрантовые и штуцерно-торцевые.

Масляный трубопровод служит для подачи масла в масляную систему двигателей. Масляная система каждого двигателя состоит из заводильника марки МХД4, терморегулятора марки РТМ-32, фильтров, установленных на двигателе, бака емкостью 36 л, запорной арматуры и дистанционных указателей давления, температуры. Расходные масляные баки оборудованы сечатками фильтрами, датчиками температуры, сигнализаторами минимального уровня масла и вентилиционной трубкой, снабженной отверстиями предохранителем. Заправка маслом осуществляется через горловину заправки масла, установленную на тентовой палубе по левому борту. Для удаления масла из системы склона служат склонные краны, спущенные патрубками под дюрит для присоединения к ним дюритового шланга от приемного патрубка осушительного насоса. Охлаждение масла турбогенераторов ТГ-16 производится в водомасляном теплообменнике. Трубопровод масляной системы изготовлен из труб алюминиевого сплава на дюритовых и штуцерно-торцевых соединениях.

На судне имеется трубопровод консервации двигателей, включающий масляный бак емкостью 90 л с электропрограммами, спускным краном, патрубками приема масла и подачи его на

двигатели и два крана с механизмами типа МЗК-2. Масло заливается в бак консервации через втулку отката топлива с газотурбокомпаундом; при этом используется трехходовой кран.

Вода в систему охлаждения масла, газовыделительного трубопровода, подшипников заднего моста и упорных подшипников валопривода поступает от трех прямых кингстонов, для которых установлены на трапециевидной переборке и соединены с подводящими двигателями. От кингстона вода за счет скоростного напора проходит через фильтр забортной воды, холодильник масла и поступает в газовыделительные трубопроводы. Третий кингстон установлен на днище в районе 30–31 шт. и служит приемником воды для насоса марки ЭЦН-11, прокачивающего воду через холодильники масла и газовыделительные трубопроводы из стоянки. От общей магистрали вода отделяется к газовыделительным трубопроводам испомогательных двигателей, к подшипникам поддометса и упорным подшипникам валопривода. На стоянке к подшипникам воломета и газовыделительному трубопроводу испомогательного двигателя вода подается насосами марки ЭЦН-104. Трубопровод охлаждения изготовлен из труб алюминиевого сплава.

Газовыделительные трубопроводы главных и испомогательных двигателей выполнены автоматически. Выходные трубопроводы главных двигателей проходят за днищем бортов вне машинного отделения. Внутри машинного отделения трубы имеют фланцевое соединение. Изготовлены трубопроводы из листовой нержавеющей стали марки Х18Н9Т толщиной 1 мм. Для охлаждения газовыделительных трубопроводов и уменьшения шумности выхлопа используются забортная вода. Вприскиваемая в газовую полость газовыделительных трубопроводов.

С целью снижения уровня структурного шума в управлении воздействия температурных удалиний выходного трубопровода на главный двигатель выходной трубопровод не имеет жесткой связи с двигателем.

Горячая часть главных двигателей охлаждается воздухом, засасываемым насосными газами через специальную насадку-эJECTОР газовыделителя. Трубопровод газовыделителя испомогательных двигателей состоит из спарных труб нержавеющей стали, соединенных с турбогенератором при помощи скользящих компенсаторов. Для охлаждения выхлопных газов агрегата ТГ-16 и трубы вприскивается вода от насоса ЭЦН-104. На выходной трубе газовыделителя ТГ-16 нарезана рубашка из нержавеющей стали. Через зарубашечное пространство с помощью вентилитора нагнетается вода для подогрева главных двигателей при запуске их в ходовом режиме горя.

Дистанционный щит управления главными двигателями находится в ходовой рубке. Здесь размещены пусковые кнопки и контрольно-измерительные приборы. Не дополнитель-

ном пульте мозговика расположены рычаги регулировки загрузки главных двигателей и тумблеры остановки двигателей. Для контроля за нормальной работой главных двигателей в ходовой рубке имеются соответствующие приборы. На щитах, установленных перед механизмом и справа от него, размещены следующие приборы:

указатель положения рычага топлива марки УПРТ-2 (один на два двигателя — двухсторонний);

для трехсторонних приборов марки УКЗ-3, регистрирующих давление масла, топлива и температуру масла перед каждым главным двигателем;

двустроронний тахометр марки ИТЭ-2 главных двигателей;

двустроронний дистанционный термометр марки 2ТБГ-3, показывающий температуру выхлопных газов главных двигателей;

для дистанционных термометров марки ТСТ-2, определяющих температуру выхлопных газов ТГ-16;

для тахометра марки ТЭ-40М турбогенераторов ТГ-16;

запитметр марки ВА-040;

двустроронний малометр марки 2И-100, измеряющий давление в системах измерителя крутящего момента главных двигателей;

для термометра марки ТУЭ-48, определяющего температуру масла и агрегате ТГ-16;

для термометра марки ТУЭ-48, показывающих температуру масла упорных подшипников;

расходомер воздуха системы кондиционирования УРВК;

термометр марки ТУЭ-48, определяющий температуру воздуха, подаваемого системой кондиционирования;

термометр марки ТВ-19, измеряющий температуру воздуха в салонах;

часы марки АВР-МС с секундной стрелкой;

для указателя положения соли поддометса.

На этих же щитах предусмотрены пусковые кнопки, тумблера и сигнальные лампы. На установленных перед щитами и слева от него приборных щитах расположены: четыре указателя марки УЭП-2, показвающие положение створок поддометса; двухсторонний прибор марки УПРТ-2, отмечающий положение подвижных клапанов поддометса; двухсторонний малометр марки УК-2-250А, измеряющий давление в гидросистеме; указатель уровня топлива марки УУЖЭК; скоростемер; указатель марки УЭП-2, показвающий положение носового руля.

На тех же щитах размещены тумблеры аварийного управления створками поддометса, системой пожаротушения, гидравлики и сигнальные лампы.

К гидравлическим системам дистанционного управления относится система управления носовым рулем, реиници-

но-рулевыми створками водомета и аварийными тормозами. Переходка створок водомета осуществляется посредством электрогидравлической системы, состоящей из двух основных узлов: управляемой системы и исполнительной силовой. Управляемая система — электрическая, двухпроводная, питается постоянным током напряжением 24 в и переменным током частотой 400 Гц, напряжением 36 в. Исполнительная силовая система состоит из четырех гидроцилиндров (по одному за каждую створку) с ходом штока 450 мм и диаметром цилиндра 75 мм. Гидроцилиндры расположены за водометами.

Гидравлическая система состоит из двух насосов типа НП-25-5 производительностью 25 л/мин при рабочем давлении 150 кг/см², расположенных на главные двигатели; расходного бака объемом 40 л; трех фильтров тонкой очистки; двух автоматов разгрузки типа ГА-77К; четырех гидроакумуляторов; четырех электрогидравлических кранов типа ГА-164М; трубопроводов и арматуры. Контроль за работой системы осуществляется при помощи электродинамического манометра и четырех реле давления марки ГА-135, два из которых контролируют работу насосов, а другие выключают и отключают электронесос марки 465А. Для проверки работы системы при перебоях в двигателях имеются два электроприводных насоса марки 465А производительностью 16 л/мин, автоматически включающихся от установленного в агрегатном отделении реле давления марки ГА-135.

Система управления посеким рулём — гидравлическая, ручная. Она состоит из рулевой машинки, включающей редуктор и гидромотор марки ГМ-90, заправочного бака емкостью 3 л, расположенного в рубке, гидрозамка марки ГА-88 и гидроцилиндра, установленного в посеком рулевом отделении.

Управление аварийным тормозным устройством осуществляется при помощи электрогидравлической системы. Она состоит из двух гидроцилиндров, электромагнитного крана марки ГА-164М и трубопроводов. Электромагнитным краном управляют при помощи тумблера, расположенного на тумбе рулевой машинки.

Электрогидравлическая система управления лебедкой состоит из гидромотора марки ГМ-36, крана марки ГА46М, золотинового распределителя и трубопроводов. Управление гидромотором осуществляется золотниками распределителями. Рабочая жидкость гидросистемы — гидросмесь марки АМг-10. Трубопровод гидросистемы изготовлен из труб прокатанной стали марки X18H10T и труб алюминиевого сплава марки АМг-М. Оборудование к арматуре системы — стандартные инженерные. Система аварийной остановки двигателей состоит из воздушного баллона аварийной остановки, крана с манометром к арматуре.

Электрооборудование и радиосвязь

На газотурбогенераторе применяется постоянный ток напряжением 24 в в основной сети и однофазный переменный напряжением 115 в {400 Гц} во вспомогательной сети. Система канализации электроэнергии постоянного тока — однопроводная, с использованием корпуса судна в качестве обратного провода, а переменного тока — двухпроводная.

Источниками электроэнергии на судне служат:

четыре стартер-генератора постоянного тока типа СТГ-12ТМ, напряжением 28 в, мощностью 12 кВт, запасенные за главные двигатели по два на каждый, которые обеспечивают питание потребителей электроэнергии на ходу газотурбогенератора;

два генератора постоянного тока типа ГС-24Л, напряжением 28 в, мощностью 14 кВт, входящие в состав турбогенератора марки ТГ-16, обеспечивающие питание потребителей электроэнергии в аварийном режиме и питание стартер-генераторов при запуске главных двигателей;

восемь аккумуляторных батарей типа БСТК-180, напряжением 12 в, емкостью 180 а·ч каждая, которые соединены последовательно-параллельно в группу общей емкости 720 а·ч, напряжением 24 в; батареи предназначены для питания потребителей электроэнергии в ходовом режиме, режиме стоянки, аварийном режиме и для запуска турбогенератора марки ТГ-16; преобразователь постоянного тока напряжением 27 в и однофазный переменного тока частотой 400 Гц, напряжением 115 в типа ПО-4500;

система питания электроэнергии однофазного переменного тока напряжением 220 в, частотой 50 Гц с берега.

На данных режимах схема электростанции позволяет осуществить:

одиничную и параллельную работу генераторов типа СТГ-12ТМ в «буфере» с аккумуляторными батареями;

одиничную и параллельную работу резервных агрегатов марки ТГ-16 — «буфере» с аккумуляторными батареями;

одиничную работу аккумуляторных батарей;

одиничную работу преобразователей типа ПО-4500.

На режимах стоянки схема электростанции обеспечивает: одиничную к параллельной работе генератора марки ТГ-16 в «буфере» с аккумуляторными батареями; одиничную работу аккумуляторных батарей и питание с берега.

Электроэнергия поступает к потребителям через распределительный щит. Потребители электроэнергии подразделяются на три группы:

1. Потребители, питаемые от аккумуляторных батарей (аварийное управление створками водомета, сигнализация и

валичия воды под фланцем, контрольные приборы, прожектор, скрипта, пожарная сигнализация, щиток буфета).

2. Потребители, питаемые как от аккумуляторных батарей, так и от генераторов (основного и аварийного).

3. Потребители, питаемые только от генераторов (Щит управления в рубке, радиостанция, магнитопитома обдува, насос гидравлики, дренажный насос, пожарно-осушительный насос, освещение, вентилятор МО).

Система распределения электроэнергии — фидерная для силовых потребителей и фидерно-групповая для сети освещения. К некоторым потребителям питание поступает от щита управления в ходовой рубке и щита буфета. От главного распределительного щита получают питание следующие электропотребители: пульт управления в ходовой рубке, щиток в буфете, радиостанция, электропривод компрессора холодильной установки, электропривод насосов водонагревателей, санитарный насос, электропривод топливоподкачивающего насоса, электропитоматы машинного отделения, электроприводы дренажного насоса, насосов охлаждения главных и вспомогательных двигателей, освещения салонов, машинного отделения и других помещений, электропривод насоса гидросистемы, электропривод насоса кондиционирования, перистальтический осушительный насос, системы управления створками водомета и насос охлаждения подшипников водомета. Схемой распределения электроэнергии предусматривается дистанционное отключение из ходовой рубки электропитоматов машинного отделения, топливоподкачивающего насоса, насосов охлаждения и освещения каютного салона.

На судне применены автоматические регуляторы напряжения типа РН-180 как для ходовых, так и для стоячих генераторов постоянного тока. Регуляторы поддерживают напряжение генераторов 28,5–30 л. Защита генераторов от обратного тока и подключение их к сети обеспечиваются дифференциальными реле марки ДМР-400 и ДМР-600Т. С целью защиты генераторов от перегрузки и токов короткого замыкания на судне установлены предохранители с плавкими вставками на соответствующую силу тока. Для контроля за работой ходовых генераторов в цепь каждого из них включен амперметр. Амперметры расположены на газовом распределительном щите.

Контроль за напряжением на шинах ГРЩ и щита управления в томом заряде или разряде аккумуляторных батарей производится с помощью вольт-амперметров, установленных на этих щитах. Кроме того, электрические лампочки освещения щита гидравлики определены напряжением на шинах ГРЩ. Калибровка электроизмерителей постоянного тока производится с помощью проводов марки ЛПРГС и БИВЛ, а сети переменного тока — кабелями марки КНР. Сечения кабелей в пропорции выбраны по плотности тока с проверкой на задание напряжения.

На судне ряд механизмов имеет электропривод. В качестве электропривода пожарного насоса использован электродвигатель марки МВ-1000Б мощностью 1 кВт при 6400 об/мин и напряжением 27 в. Включение и отключение электродвигателя производится со щита управления в рубке и ГРЩ. Электропривод санитарного насоса состоит из электродвигателя типа Д-1000, мощностью 150 л.с., напряжением 24 в; щитки включения и манометрического реле. Предусмотрено автоматическое включение и выключение электродвигателя с помощью реле при включении АЭС на ГРЩ. В качестве электропривода топливоподкачивающего насоса служит электродвигатель марки Д-400, мощностью 600 л.с., напряжением 27 в. Пуск и остановка его производится из ходовой рубки при нажатии главных двигателей.

Насос системы гидравлики приводится в действие электродвигателем типа МП-6000, мощностью 6 кВт, напряжением 27 в. Предусмотрено включение и отключение электропривода из ходовой рубки. Работа насоса регламентируется манометром с электроконтактным устройством.

В качестве электропривода насоса охлаждения применен электродвигатель типа МВ-1000Б, мощностью 1 кВт, напряжением 27 в и контактор марки КМ-100Д. Пуск и остановка электродвигателя производится выключателем, включенным в цепь катушки контактора, со щита управления в рубке. Электропривод насоса охлаждения ТГ-16 состоит из электроприводителя марки Д-100С, мощностью 150 л.с., напряжением 27 в и контактора марки КМ-25Д. Пуск и остановка электродвигателя осуществляется выключателем, включенным в цепь катушки контактора, со щита управления в рубке. Электропривод пренажимого насоса также состоит из электродвигателя марки Д-100С в контактора марки КМ-25Д. Расположенный на щите управления в рубке выключатель позволяет производить пуск и остановку электродвигателя. Привод вентилятора служит электродвигатель марки Д-400, мощностью 600 л.с., напряжением 27 в. Пуск и остановка электродвигателя производится автоматом защиты сети, установленным на ГРЩ.

Жалюзи воздушозаборников закрываются и открываются пневмоподъемниками марки МПР-21 (электродвигатель марки ТД-90, 4 в, 27 в) дистанционно из ходовой рубки. Эта схема облагорожена со схемой запуска главных турбин и ТГ-16. При закрытии воздушозаборников на щите мезанизма горит сигнальная лампа.

Электропривод насоса системы кондиционирования воздуха состоит из электродвигателя марки МВ-1000Б, включенного через АЭС-50, и контактора типа КМ-50Д. Управление осуществляется включением системы кондиционирования и работой реле давления марки РД-1. Электропривод насоса охлаждения подшипников подпиточного движителя состоит из электродвигателя

типа Д-1000С, станицы АЭС-10 и контактора типа КМ-25Д. Управление работой насоса марки ЭЦН-104 производится включением станицы АЭС-10 на ГРЩ и коммутаторами выключателями на гидропроводе воздушных заслонок.

Для обогрева машинного отделения во время стоянки судна предусмотрена электрическая грелка мощностью 1000 кт, напряжением 220 в, питавшаяся от береговой сети. Вентиляция дежурной каюты кают-компании во время длительных стоянок осуществляется электрогенератором мощностью 1,25 кт, напряжением 220 в, также питавшимся от береговой сети. В буфете установлено электротермос типа ЭТ-9 и одна электроплитка мощностью 600 кт, напряжением 24 в. Включение и выключение этих приборов производится со щита в буфете. Для кипячения питьевой воды имеется электрокипятильник мощностью 25 л. Питание электрокипятильника на ходу судна производится от генераторов переменного тока, а на стоянке — от береговой электрической сети напряжением 220 в. Помещения освещаются от сети напряжением 24 в.

Управление и контроль за сигнально-изделичительными органами осуществляется со щита управления в ходовой рубке. Для передней распорки из ходовой рубки о машинном отделении, к якорной лебедке и к местам подачи шпартовых цепей предусмотрены электродинамические громкоговорители и макрофоны типа ДЭМШ. Для обесцвечивания салонов применен усилитель типа У-4М из транзисторах с выходной мощностью 4 кт. Управление установкой производится из ходовой рубки. Для трансляции передает широковещательные станции и информационных сообщений из рубки в салоны на газотурбозадвиже имеется транслирующее устройство на базе громкоговорящей установки марки ГУ-20 с автомобильным радиоприемником типа А-18.

Связь газотурбозадвижа с судовыми и береговыми радиостанциями осуществляется с помощью коротковолновой радиостанции «Иртыш». Радиостанция обеспечивает бесполюсную радиосвязь на фиксированных частотах речного флота в радиусе 70 км при напряжении судовой сети 27 в $\pm 10\%$. Для связи со встречными судами, а также для рейдовой связи на судне имеется ультракоротковолновая радиотелефонная станция типа Р-609М, питавшаяся от сети постоянного тока напряжением 24 в. На крыше рубки установлена цилиндрическая антенна этой станции высотой 0,7 м.

Пожарная сигнализация газотурбозадвижа состоит из системы пожарной сигнализации типа ССП-2А и системы с датчиками типа МДИИ. Датчики системы ССП-2А размещены на головке машинного отделения и над турбинами; датчики МДИИ также расположены на подиумах машинного отделения и сигнализируют о повышении температуры свыше 70°. Сигнализация о пожаре в машинном отделении выведена в ходовую рубку.

О пожаре внутри турбин сигнализирует система типа ССП-7. Сигнал о пожаре в машинном отделении и в турбинах подается серийной, расположенной в машинном отделении, решеткой и сигнальными лампами с красным колпаком в рубке. Отключение решетки в рубке производится кнопкой, расположенной на щите сигнализации. Питание систем осуществляется непосредственно от аккумуляторных батарей через предохранитель на ГРЩ.

В каждом отсеке, кроме форпика, ахтерпика и топливной щитерни, установлены датчики (10 шт.), сигнализирующие о наличии воды в отсеках. Сигнал подается датчиком в ходовую рубку на сигнальную лампу и дублируется звуком. Предусмотрено отключение звука без отключения сигнальной лампы, которое производится лишь после удаления воды из отсека. Питание системы осуществляется также от судовой аккумуляторной батареи через предохранитель на ГРЩ.

Глава VI

МОРСКИЕ СУДА НА ПОДВОДНЫХ КРЫЛЯХ

§ 12. МОРСКОЙ ПАССАЖИРСКИЙ ТЕПЛОХОД «КОМЕТА»

Этот теплоход предназначен для скоростных перевозок пассажиров на прибрежных морских линиях (рис. 178).



Рис. 178. Морской пассажирский теплоход, на подводных крыльях «Комета». Скорость хода 34 узла.

Основные элементы и характеристики теплохода

Габаритные размеры, м:	
длина	35,1
ширина	9,8
высота	7,8
Осадка габаритная, м:	
на плаву	3,2
выйдя за края волн	8,4

Водоизмещение, т:	
погружено	40,6 (42)
плава	35,8 (38)
Максимальная осадка, м:	
навигационная	2800
эксплуатационная	1600
Скорость эксплуатационная, узлы	34 (32)
Пас撑иремескость, чал	118

Теплоход «Комета» имеет ложкообразную форму косы. На кильватерном днище расположены два редана: один (не доходящий до киля) в носовой части корпуса, другой (клиновидный) — в кормовой части (рис. 179). Форма шпангоутов U-образная; борта наклонные с развалом. Основные коэффициенты теоретического чертежа при полном водоизмещении равны:

Коэффициент общей плоскости	0,31
> > > киля	0,68
> > > модель-макета	0,18

Общее расположение

Схема общего расположения теплохода «Комета» показана на рис. 180. Корпус судна ниже палубы переборок разделен по длине двадцатью водонепроницаемыми переборками на 13 отсеков.

Отсек № 1 (от форштевня до 3 шл.) — форпик. Доступ в него осуществляется через люк в главной палубе. Отсеки № 2 (3—7 шл.), № 3 (7—11 шл.), № 4 (11—15 шл.), № 5 (15—21 шл.), № 6 (21—27 шл.), № 7 (27—33 шл.), № 9 (42—46 шл.), № 10 (46—50 шл.), № 11 (50—54 шл.) и № 12 (54—58 шл.) представляют собой отсеки плавучести. Доступ в них возможен через люки главной палубе. В отсеке № 10 размещается факсальная шторка. Машинное отделение находится в отсеке № 8 (33—42 шл.). Вход в него осуществляется с главной палубы через двери в переборке на 42 шл. В районе 36—37 шл., в палубе над машинным отделением расположен люк, служащий запасным выходом из машинного отделения. Отсек № 13 (58 шл.—корма) используется в качестве топливной шторки. Доступ в кистерну возможен через люк в главной палубе. Выше палубы переборок в районах I—II шл. находятся носовой пассажирский салон на 26 мест. В нем сделаны специальные выгородки, в которых расположены пищевые устройства. Салон имеет два выхода (с правого и левого борта) на поздночные плюшки и эвакуационный выход в носовой части через люк в тентовой палубе. В районе 11—15 шл. расположены посадочные пандусы, где находятся спасательные круги и сигнализаторы. Под рубкой в районах 11—13 шл. размещены агрегаты.

* В скобках приведены данные для судов с гипербластическими гребными винтами.

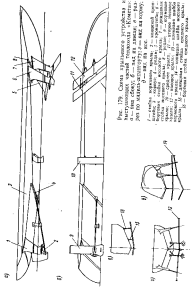


Рис. 179. Схема стабильного переноса в мицелии грибов: 1 — глюкоза; 2 — глюкоза-
фруктоза; 3 — глюкоза-4-фруктоза; 4 — глюкоза-
фруктоза-5-фруктоза; 5 — глюкоза-6-фруктоза;
6 — глюкоза-6-фруктоза-6-фруктоза; 7 — глюкоза-
фруктоза-6-фруктоза-6-фруктоза; 8 — глюкоза-
фруктоза-6-фруктоза-6-фруктоза-6-фруктоза;
9 — глюкоза-6-фруктоза-6-фруктоза-6-фруктоза-
6-фруктоза; 10 — глюкоза-6-фруктоза-6-фруктоза-
6-фруктоза-6-фруктоза-6-фруктоза; 11 — глюкоза-
фруктоза-6-фруктоза-6-фруктоза-6-фруктоза-6-
фруктоза-6-фруктоза; 12 — глюкоза-6-фруктоза-6-
фруктоза-6-фруктоза-6-фруктоза-6-фруктоза-6-
фруктоза-6-фруктоза; 13 — глюкоза-6-фруктоза-6-
фруктоза-6-фруктоза-6-фруктоза-6-фруктоза-6-
фруктоза-6-фруктоза-6-фруктоза; 14 — глюкоза-
фруктоза-6-фруктоза-6-фруктоза-6-фруктоза-6-
фруктоза-6-фруктоза-6-фруктоза-6-фруктоза-6-
фруктоза; 15 — глюкоза-6-фруктоза-6-фруктоза-6-
фруктоза-6-фруктоза-6-фруктоза-6-фруктоза-6-
фруктоза-6-фруктоза-6-фруктоза; 16 — глюкоза-
фруктоза-6-фруктоза-6-фруктоза-6-фруктоза-6-
фруктоза-6-фруктоза-6-фруктоза-6-фруктоза-6-
фруктоза-6-фруктоза-6-фруктоза.

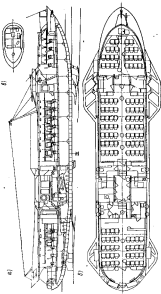


Fig. 190. *Ceratodon purpureus* (L.) Benth. ex Kotschy; d — споровий пасец; δ — ксантинальний пасец.

Средний пассажирский салон на 56 мест расположен в районе 15–32 шт. Салон имеет три выхода: один в корме (на прогулочную палубу над машинным отделением) и два в носу (на посадочные площадки). В районе 32–46 шт. находятся следующие помещения: по правому борту — дежурная каюты коммюнике, швейцарская, воздуходоборная каютыенного отделения, кладовая для буфета и буфет; по левому борту — дежурная каюты химпаки, где расположены главный распределительный щит, воздуходоборник машинного отделения, аккумуляторная, агрегатная, помоечная отстойник и два туалета. Над машинным отделением, между бортовыми помещениями (36–42 шт.), имеется прогулочная палуба, на которой размещены спасательные круги и огнетушитель. Над прогулочной палубой установлен съемный металлический ящик обтекаемой формы для защиты пассажиров от атмосферных осадков.

Корпусной пассажирский салон на 36 мест расположен в районе 46–58 шт. Салон имеет два выхода: на открытую палубу в корме и на прогулочную палубу над машинным отделением. В районе кормы находятся прогулочные палубы тентовых на весен и посадочный трап. На тентовой палубе расположены: ходовая рубка, полуавтоматическая в надстройке, приборы звуковой сигнализации, воздуходоборники вентиляции, мачтовое и антенные устройства, леерное устройство, стабилизатор и сигнальные огни.

Конструкция корпуса

Корпус теплохода «Комета» изготавливается польмосваркой из алюминиевомагниевого сплава марки АМg-61 (рис. 181 и 182). Наружная обшивка днища и борта, продольный и поперечный набор корпуса соединяются при помощи аргонно-дуговой сварки. Ребра жесткости привариваются к обшивке гладкой и тентовой палуб, а также к переборкам и выгородкам контактной сваркой на клее. Корпуса теплоходов ранней постройки полностью собираются при помощи аргонно-дуговой сварки. Поперечный набор корпуса состоит из разных ширинных таврового и двухтаврового профилей, установленных через 500 мм. В местах крепления стоек крыльев и кронштейнов гребных валов установлены промежуточный набор. В надстройке рамные панели изготавливаются арочной конструкцией и расположены через 1000 мм. Продольный набор по днищу, бортам и палубам состоит из ребер жесткости, кильсонов и карнигов.

Поперечные переборки на 11, 15, 33, 42 и 58 шт., расположенные выше главной палубы, изготавливаются из листов толщиной 1,5–2 и 2,5–3 мм. Продольные переборки и различные выгородки выбраны из листов толщиной 1,5–2 мм. Ребра жесткости по листам переборок и выгородок изготавлены из Z-образного

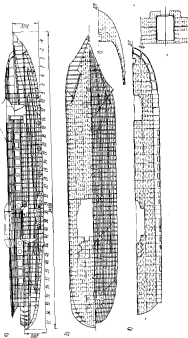


Рис. 180. Конструкция стапельной корабельной технологии «Комета»: а — продольный разрез; б — поперечный разрез; в — план корабельной технологии; г — план палубы погреба; д — план палубы кухни; е — план тентовой палубы.

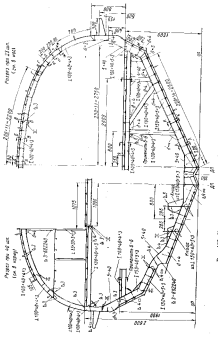


Рис. 160. Конструктивный набросок-изогибнутый планер для «Южнотек».

профили. Фундаментные балки под главные двигатели в машинном отделении выполнены сплошными из листов толщиной 5–6 мм, переменными по высоте. Верхние кромки балок отделаны пологой размозгой 8×125 мм. К палубам фундаментные балки крепятся кинниками из листов толщиной 3 мм. С попечерными переборками фундаментные балки соединены кинниками размером 360×300×125 мм из листов толщиной 5 мм.

Форштевениевые телюходы изготовлены из полосы – переменного сечения толщиной 6 мм. Реданы выполнены из листов толщиной 4–5 мм, переменной высоты. По бортам судна установлены обшивы, предохраняющие крылья от ударов при швартовке. По наружным обводам корпуса между носовыми и кормовыми обшивами устанавливается арматурный брус шириной 280 мм. Хвостовая наделка из генитовой, налобу в корне (стабилизатор), а также тент над прогулочной площадкой выполнены из листов толщиной 15–20 мм. Стенья в машинном отделении собраны из профильных листов алюминиевомагниевого сплава толщиной 2 мм. Листы слань крепятся к подсланям угольниками винтами. Рубка изготовлена из листов толщиной 1,5 мм и ребер жесткости.

Изоляция, покрытия, отделка и окраска

При обстройке помещений и из различных поделок применяется фанера и фанера бересклетовая авиационная толщиной 2 мм. Для отделки помещений используются панели авиационный марки ПА и декоративные пластики марок ОД и Т без рисунка и с рисунком. Подволоки салонов, а также переборки и борта высокие имеют кромки окон отделки панелями сшитых тканей. Нижняя часть бортовых и переборочных панелей салонов до окон отделана пластиком. Стыки пластика и панелей закрыты резиновыми. Отделка дежурных кают, буфета и рубки аналогична отделке пассажирских салонов. Туалеты отделаны пластиком.

В качестве тепло- и звукоизолирующих материалов на судне применяются: теплоизоляция марки ВТ-4С (картоновая вата), замоласт марки ПХВ-1 и перфорированные алюминиевые листы. Все использованные изоляционные материалы являются негорючими или трудногорючими. Пассажирские салоны, каюты, буфет, рубка и туалеты изолированы по бортам и подволоке одним слоем теплоизоляции марки ВТ-4С толщиной 20 мм, наклееккой на металл kleem марки ВК-32-2. На подволоке машинного отделения установлены звукоизолирующие панели из материалов марки ВТ-4С толщиной 40 мм, наклееккой на перфорированные листы из сплава марки АМг-5В.

Поперечные переборки и палубы, отделяющие каюты от машинного отделения, имеют двухслойную конструкцию с воздушной прослойкой толщиной 80 мм. В середине воздушного

промежутка помещены звукоизглощающий материал ВТ-4С толщиной 20 мм, а стекла, прилегающие к изолированному отделению, оклеены лакокраской ПХВ-1 толщиной 10 мм или изолированы пенопластом методом напыления. Зеники двухходовой конструкции выполнены из листов силика АМГ-5Б толщиной 2,0 мм по палубе и толщиной 0,8 мм по переборке. Они закреплены из брусков обрешетника, установленного во проемах из губчатого резина.

Палуба в пассажирских салонах, в каютах, в буфете и в рубке покрыта полихлорированным линолеумом разных цветов толщиной 2,0 мм. К настилу палубы линолеум привлекен kleem марки 88-Н. В кормовом салоне пол линолеумом нестипан перфорированный резина толщиной 4 мм. Участок палубы в туалетах покрыт синтетическим листовым винилпластом толщиной 5 мм. Из этого же материала сделаны занавеси на высоту 200 мм. Главная палуба над машинным отделением покрыты резиновыми дорожками.

Для грузовки корпуса как снаружи, так и изнутри применен грунт марки ВЛ-02. Подводная часть корпуса снаружи окрашена по следующей схеме: один слой фосфортирующего грунта марки ВЛ-02, три слоя эмали марки ХС-78с (латункорозийное покрытие) и два слоя необрастающей краски марки ХС-79 на виниловой основе. Для окраски надводной части корпуса и надстройки использованы неятафтальевые эмали. С целью защиты корпуса от коррозии применены магниевые протекторы из сплава марки МЛ-4 или МЛ-5. Протекторы установлены в подводной части корпуса судна и на кронштейнах крыльевых устройств.

Оборудование помещений и дальние вещи

Пассажирские салоны теплохода «Комета» оборудованы мягкими антишоковыми креслами. Кресла належат прикреплены к палубе без нарушения ее водонепроницаемости. В салонах якорь бортов над окнами сделаны полки для лёгкого ручного багажа, выполненные из дюралюминиевых труб (на кронштейнах) и капроновой сетки, затянутой между ними. На переборках салонов установлены вешалки для одежды; в средней и кормовой салонах имеются ниши для ручного багажа. Дежурные каюты команды левого и правого бортов снабжены столом, движками, шкафом для личных вещей, складным табуретом, зеркалом, письмской и лампой-ночником.

Буфет оборудован застекленной антресолью, шкафом-буфетом, столов с ящиками, складным табуретом и полкой для сушки тарелок. Кроме того, в нем установлены: шкаф-холодильник с холодильной установкой типа ФАК-0,7Е, работающей на постоянном токе, стационарная электроплитка, стаканомойка и

мойка для посуды и для гибели. Запасы напитков и вскоре-портившиеся продукты хранятся в кладовой.

В оборудование кухонной рубки входят два кресла (для водителя и механика), стол для штурманских карт, шкаф для сигнальных флагов.

Доступ в подвалубное пространство осуществляется через люки. Люки выполнены непронашиваемы, а их крышки сделаны заподлицо с настилом главной палубы. Диаметр люков в свету составляет 450 мм. На 55—57 щп. в ДП находятся люк размером 650×450 мм. Сверху крышки люков оклеены линолеумом. Над топливной системой с левого борта имеется люк диаметром в свету 450 мм. В ногороде, расположенной в районе 1—1½ щп., размещены два люка, позволяющие удобно обслуживать вторую белебель и вышку. Крышки люков выполнены пластмассовыми за петли. Они имеют резиновую уплотнительную прокладку по контуру и снабжены запорами.

Для выемки двигателей над машинным отделением в районе 35½—41½ щп. сделан люк размером в свету 1985×2885 мм. Крышка люка выполнена съемной, водонепроницаемой, из листов толщиной 2,5 мм. Набор крышки состоит из продольных ребер жесткости, поперечных рамных бимсов и комингса по контуру крышки. Крышка имеет по контуру уплотнительную прокладку и поднимается из машинного отделения отдельными листами задвижками. В крышке люка имеется, кроме того, горловина заслонки выхода из машинного отделения (диаметром в свету 450 мм). Горловина сделана непронашиваемой, задраивающейся с залубкой и из машинного отделения.

Она в пассажирских салонах выполнена с открываемойся французской и остеклены пlexигласом толщиной 6 мм, выпущенным по обводам надстройки. Plexiglas закреплен алюминиевыми планками на нижних снизу с привинчением резиновых уплотнительных прокладок. Переднее окно рубки, а также для бортовых (по одному с каждого борта) выполнены открывающимися. На лобовой стекле устанавливается стеклоочиститель. Для лобового открывающегося стекла в рубке применено бесзаключное трехслойное оконное стекло «триплекс», которое вставлено в алюминиевую раму из резиновой уплотнительной прокладки. В лежурах каюты команды, в туалетах и буфете установлено по одному панорамному двери диаметром в свету 598 мм. Иллюминаторы остеклены пlexigласом, поставленным в алюминиевую открывающуюся раму.

Двери в переборках на 32 и 46 щп. выполнены одностворчатыми, размером 800×1850 мм, открывающимися на салонов. Рано двери сделаны из дерева и обшита снаружи сосновым пластиком. Верхняя часть дверей остеклена пlexigласом. По контуру двери постелена резиновая уплотнительная прокладка. В качестве обрамления на дверях установлены торничин,

изготовленные из алюминиевых труб. Двери кают и туалеты также выполнены одностворчатыми размером 600×1850 мм. Конструкция их такая же, как и дверей в салонах, но верхняя часть не остеклена. Двери пыльца на посадочных и прогулочных палубах размером 800×1600 мм сделаны из алюминиевых листов, задонированы пленкой, закрывающейся на защелках. По контуру двери состоят из резиновых уплотнительных прокладок. Дверь в машинное отделение в районе 42–43 шп. имеет размер 600×800 мм, установлена на наклонном и выполнена из алюминиевых листов. По контуру двери состоят из резиновых уплотнительных прокладок. Все двери скоблены дверными замками, исключающими самооткрывание.

С каждого борта в районе посовых посадочных площадок установлены трапы шириной 1000 мм. Высота ступенек трапа равна 235 мм. Ступеньки покрыты рифленой резиной. Трапы в рубку и в машинное отделение имеют ширину 550 мм. Ширина ступенек такого трапа равна 250 мм, высота — 225 мм. Ступеньки трапа в рубку покрыты линолеумом, а трапы в машинное отделение — рифлеными листами. Трапы, ведущие из среднего и кормового салонов на прогулочную палубу над машинным отделением, имеют ширину 1000 мм. Ширина и высота ступенек трапа равны 200 мм. Для доступа в подпалубные отсеки имеются складные и выдвижные трапы. На продольных погородках в районе 35½–40 шп. с каждого борта установлены скобраны.

Судовые устройства

На теплоходе «Комета» имеются два якоря повышенной держащей силы (конструкции Матросова): основной якорь весит 100 кг, запасной — 50 кг. Основной якорь поднимается якорной электробелкой с гидравлическим усилием в 1000 кг. Запасной якорь хранится на дну полубака. Он отделяется и поднимается вручную. Электробелка якорного устройства имеет ручной провод, тягировую механизм, стопорное устройство и кожух ленточный тормоз. Технические характеристики ее приведены ниже:

Мощность, квт	5,5
Число оборотов, об/мин	
электродвигателя	1500
тара	12
Скорость подъема якоря при нейтральном ходе, м/с	15
Тяговое усилие на барабане при отрыве якоря, кн	1000
Вес якоря при выбрасывании якоря крачущую, кг	22

Судно скоблено швартовками из капронового каната. Общая длина канатов равна 105 м. Канаты хранятся на посадочных площадках и в корюке в специальных ящиках. Для швартовки на судне установлено шесть крестовых двойных блоков с тумбами диаметром 80 мм, расположенных на посовых обводах (по два

с каждого борта) и в корюке на палубе (по одному на борт). Канаты изготовлены литьими из алюминиевого сплава марки АЛ18. Буксиронка судна осуществляется за специальный битник, установленный в носовой части судна.

На теплоходе «Комета» установлен один балансирный руль (из первых теплоходов было по два руля). Полная площадь непра руля равна 2,18 м², а рабочая площадь при ходе на крыльях — 1,32 м². Перо руля выполнено сплошным из листа алюминиевомагниевого сплава. Оно крепится на двух опорах. Верхней опорой служит болтер, прикрепляемый к подшипнику, который соединен с корпусом, нижней опорой — петля, укрепленная на кормовом крыле и имеющая подшипник с разомкнутой штуцерой. Перекладка руля осуществляется при помощи электрогидравлической системы. Предусмотрено и ручное аварийное управление от ручного насоса. Время перекладки руля с борта на борт на угол 70° составляет 10–12 с. Система состоит из силовых цилиндров-исполнителей, масловоздушной станции, электрогидравлических распределительных золотников и ручного гидравлического привода. Работой жидкостью является авиационная гидросмесь марки АМг-10. Контроль за работой гидросистемы осуществляется манометрами. Трубопроводы выполнены из труб державки стали марки Х18Н9Т.

Схема крыльевого устройства теплохода показана на рис. 179. Стойки носового и кормового крыльев, а также сами крылья изготовлены из нержавеющей стали марки Х18Н9Т и имеют сварную конструкцию. Средние крылья, стойки и стабилизатор сварены из листов алюминиевомагниевого сплава марки АМг-61 толщиной 10, 12 и 14 мм. Носовые и кормовые крылья изготовлены из листов толщиной 8, 12 и 24 мм. Листы подкреплены продольными ребрами. Нижние части стоек сделаны из листов толщиной 23 мм; верхние части стоек (крыштейны) сварены из листов толщиной 3,5 и 10 мм.

К корпусу крылья крепятся стойками. Стойки носового крыла и бортовые стойки кормового крыла — разъемные. Нижние части стоек приварены к плоскостям крыльев, а верхние части (крыштейны) крепятся к корпусу болтами. Верхние и нижние части стоек соединены между собой болтами на фланцах. Фланцевое соединение необходимо для изменения установочных углов крыльев, что достигается постановкой клиновых прокладок между фланцами. Стойки среднего крыла, стабилизатор и нижняя стойка кормового крыла — неразъемные. Стойки изготовлены из листов толщиной 23 и 28 мм. Чтобы устранить возможность выпадания солей на плоскости крыльев, крыльевое устройство, изготовленное из нержавеющей стали марки Х18Н9Т, напорировано из коруши сплошными прокладками.

На текстильной палубе в районах 20–34 шп. установлен лестничный, и в районе 34–42 шп.—поручни. Для безвоздушного прохода

по прибалтийскому брусу в районе 15–57 шп. с каждого борта выше линии окон имеются поручни. С обеих бортов, в районе 35–36 шп. в месте заправки судна маслом установлены откидные площадки (на уровне прибалтийского бруса) и леверное ограждение. Оно обеспечивает удобную работу с якорем, швартовами и сигнальными фонарями. Для несения сигнальных огней на судне установлены запалывающиеся мачты. Судно снабжено индивидуальными спасательными средствами: спасательными жилетами типа ЦПКБ-3 (138 шт.), спасательными кругами (6 шт.), в том числе со спасательными линиями (2 шт.) и с самозажигающимися буйком (3 шт.). Кроме того, имеется шесть спасательных плотов типа ПСН-10.

Подъем тепловой воды может производиться из специальных волотилах при помощи крана. Пологательца заводится под давление теплохода в районе 21 и 42 шп. через специальные гнезда в прибалтийском брусе.

Судовые системы

Для устранения очагов пожара на теплоходе «Комета» предусмотрены шесть ответчиков марки ОИМ, пять ответчиков марки ОУ-3 и один ответчик марки ОУ-2. Для ликвидации пожара в машинном отделении на судне имеется автономная система увлажненного пожаротушения. Кроме того, судно укомплектовано избором противопожарного оборудования.

Корпус судна осушается по децентрализованной схеме. Одним из средств осушения является симпосиальная помпа вспомогательного агрегата ДГКП производительностью 20 м³/мин. Магистральные трубопроводы осушения в отсеках выполнены из полизитиленовых труб; в машинном отделении трубопровод осушения изготовлен из алюминиевых труб. Отроски системы осушения на магистральных трубопроводах снабжены неаварийно-аварийными клапанами, имеющими дистакционные приводы изнутри. Средством осушения машинного отделения является также ручной насос марки РН-20 производительностью 20 л/мин. Вода откачивается этим насосом при помощи гибкого шланга, снабженного за свободным концом приемной сеткой. Насос марки РН-20 используется также для откачки отработанного масла из масляных систем каждого главного двигателя. На случай выхода из строя помпы агрегата ДГКП предусмотрено осушение машинного отделения помпой забортной водой главного двигателя (правого борта) через трехходовой кран, установленный в магистрии трубопровода забортной воды системы охлаждения.

Санитарная система на судне состоит из системы мытьевой и питьевой воды. Обе системы выполнены автономными. Система мытьевой воды включает пневмоистерику, санитарный насос марки ЭЦН-104 и трубопроводы с арматурой. Пневмоистерику снабжена манометром, обеспечивающим автоматическое включение и выключение насоса марки ЭЦН-104. Система питьевой воды предназначена для снабжения пассажиров питьевой водой и мытья посуды. Система состоит из двух напорных баков запаса пресной воды общей емкостью 400 л, сборника питьевой воды с поплавковым клапаном и кранами-шлангами, работающего на выпускных газах главного двигателя. Система пополняется запасом пресной воды во время рейсового останова судна. Общая емкость пресной воды в системе составляет около 430 л. Трубопровод системы выполнен из труб алюминиевого сплава марки АД-1, соединенных пневматическим резиновым рукавом и штуцерно-накидными соединениями.

Сточно-фекальная система предназначена для отвода сточных вод из санузлов судна. Сточные воды от унитазов отводятся в фекальную цистерну емкостью 350 л, оттуда по магистральному фекальному трубопроводу — за борт или удаляются через специальный патрубок, оборудованный универсальным патроном. Фекальный трубопровод оборудован из конца змеевиком, позволяющим закрывать сток из фекальной цистерны в пломбировать задвижку при проходе судна через зоны строгого санитарного режима. Сточные трубы от умывальников снабжены водяными затворами с резинами для чистки трубопроводов. Фекальная цистерна оборудована пневматическим трубопроводом с установленным на конце озатором. Система заполнена из пневматических труб, фекальная цистерна — из стеклопластика.

На судне имеется система естественной вентиляции. В ней используется скоростной напор встречного воздушного потока во время хода судна. Воздух подается к вентиляционным помещением через винтовые люки, расположенные на тающей палубе, и открываемые рамками сайдов. Вытяжная вентиляция обеспечивается при помощи вытяживающих юзирков.

Для принудительной вентиляции пассажирских салонов на стоянке в тентовой палубе судна установлены электровентиляторы общей производительностью 6300 м³/мин, обеспечивающие 20-кратный обмен воздуха. В дежурных каютах изменяются настольные электровентиляторы. Вентиляция машинного отделения на стоянках осуществляется при помощи двух пентиляторов общей производительностью 1400 м³/мин, что обеспечивает 20-кратный обмен воздуха. Во время хода судна вентиляция машинного отделения достигается за счет подсоса свежего воздуха нагнетателями наддува главных двигателей.

Охлаждение судна — подпалубное с макивутым контуром. Вода, подогреваемая в водогрейном котле до 95°, циркулирует в замкнутом контуре с насосом в гребнике и помещенииах судна под окантием. Гребни представляют собой сбрасываемые алюминиевые трубы. Водогрейный котел автоматизирован и работает на дизельное топливо.

В холодильную систему входит фреоновый автоматический компрессор марки ФАК-0,7Е, имеющий стандартную производительность 700 ккал/час. В шкафу-холодильнике автоматически поддерживается постоянная температура 2—5°. Полезный объем шкафа-холодильника составляет 0,5 м³. В шкафу имеется дренажник. Агрегат марки ФАК-0,7Е герметизирован для работы от сети постоянного тока напряжением 27 в, поэтому спаренный с ним электродвигатель переменного тока типа АОЛ-31/4 заменен электродвигателем марки ГСК-1500.

Силовая установка и обслуживающие ее системы

Машинное отделение теплохода «Комета» расположено по длине судна между подонепренишаемыми переборками 33 и 42 шт. Сверху оно отделено платформой, в которой предусмотрены люк (закрытый съемной крышкой) для погрузки и выгрузки механизмов. Из машинного отделения имеются два выхода один — со стороны кормового салона, другой — через люк в платформе.

Силовая установка судна состоит из двух главных двигателей и одного агрегатного агрегата. Главные двигатели расположены параллельно ДП судна. В качестве главных двигателей устанавливаются два дизеля типа МБФ-3 или М400 правой и левой моделей. Каждый дизель — 12-цилиндровый с V-образным расположением цилиндров, четырехтактный, простого действия, с наддувом, водяным охлаждением и реверсивной муфтой. Максимальная мощность двигателя составляет 1200 л. с. при 1850 об/мин (или 1100 л. с. при 1800 об/мин для дизеля М400). Двигатель работает на соединительном дизельном топливе марки ДС. Для смазки применяется авиационное масло марки МК-22 с добавлением 3% (по весу) присадки ЛЭНИИ-ЦНАТИМ-1Ф или ЦНАТИМ-339. Запасителем является авиационное масло МС-20 с добавлением той же присадки. Главные двигатели работают непосредственно за свою напороводы. Каждый напоровод имеет соединение с фланцем реверсивной муфты двигателя при помощи фланцевой полумуфты.

В машинном отделении, кроме главных и вспомогательных двигателей, расположены следующие механизмы и оборудование:

Агрегат предварительной прокачки масла	
+ Запаска	
Насос смесительной системы ЭДС-НД	
+ аспирационный РН-20 герметичный	
(для смеси масла)	
Холодильник НХД-4	
+ ВАД-5-1	
Баки для масла	
Панель с электрооборудованием	
Насос промывки поддона РН-20	
Бак масляный расширительный ёмкостью 150 л	
+ заправочный винтовой кран ёмкостью 30 л	
+ водный соленоидный	
+ выпускной водный	
Насос прокачки масла ВДН-11	
Пневматическая забортная помпа	
Гаупттурбин	
Фильтр топливный	
+ масляный	
+ водный	
Штат кранов для слива масла	
+ в двигатель 298/611	
+ в водозаборную	
+ манометр зондометра	
Насос топливной системы отбора	
Панель гидравлическая	
Бензинатор	
Светоустановка	
Накель пусковая	
Канистра 20 л	
Накель для инструмента	

Топливный трубопровод обеспечивает подачу топлива в топливную систему каждого главного двигателя и агрегата ДГКП. Топливная система главного двигателя состоит из трубопровода, агрегата предварительной прокачки и арматуры. На прокачивающих трубопроводах главных двигателей установлен ручной насос марки РН-20 за случай, если по каким-либо причинам будет невозможна прокачка систем двигателей прокачивающими агрегатами. Подача топлива к главным двигателям и агрегатному агрегату ДГКП производится всесредственным из топливной цистерны, находящейся в корме судна. Цистерна оборудована горловиной приема топлива, дистанционным указателем уровня и измерительной втулкой, а также расходной, спускной арматурой вентиляционной трубой с отъемным предохранителем. Топливо удаляется с судна перекачивающим насосом марки ПНВ-2 производительностью 1 м³/час при запоре 0,9 кг/см². Трубопровод к арматуре выполнены из алюминиевого сплава. Трубы соединены при помощи дюритовых муфт.

Для обеспечения подачи масла в масляную систему каждого двигателя на судне имеется масляный трубопровод. Масляная система двигателя состоит из расходного бака емкостью 135 л, двух парных фильтров (один из которых установлен непосредственно в расходном баке и второй — за выходе из главного двигателя), термостата, подливаемого холодаильника марки МХД-4, агрегата предварительной прокачки масла, запорной и регулирующей арматуры, а также дистанционных указательных приборов давления и температуры. Каждый расходный масляный бак оборудован указательной колонкой, датчиком дистанционного указателя минимального уровня, антибакажной трубой, карманом датчика температуры и электротермопарой для подогрева масла перед пуском. Масло подается в расходные баки из бака основного запаса масла емкостью 150 л. Бак оборудован указательной колонкой, вентиляционной трубой с отверстиями предохранителем и промежуточными трубами с горловинами залива, установленными в нижних корпусах по правому и левому бортам, в районе 38 аш. Для слива отработавшего масла из двигателя служат спасные трубы, снабженные запорной арматурой и пылеведущими в местах, где к ним легко можно присоединить люнетовый шланг от приемной патрубка осушительного насоса. Трубопровод масляной системы заполняется из труб алюминиевого сплава при помощи люнетовых соединений.

Для обеспечения воздушного звука главных двигателей и питания тифона на судне имеется воздушная система. Она состоит из двух воздухозаборников (баклонов емкостью 40 л каждый, рассчитанных на рабочее давление 150 кгс/см²), предохранительной, запорной, редукционной, пусковой арматуры и трубопровода, выполненного из стальных и медных труб на штуперно-шланговых винтовых соединениях. Пуск двигателей производится из рубки при помощи дистанционного управления электронно-механическими. Кроме того, имеются ручные пусковые клапаны на случай аварийного пуска главных двигателей непосредственно из машинного отделения.

Газоподводные системы главных и вспомогательных двигателей являются автономными. Система газоподвода каждого из главных двигателей состоит из тройника, объединяющего газоподводные тракты обеих выпускных коллекторов двигателя, трубопровода, глушителя и компенсаторов. Для охлаждения газоподводной системы используется забортная вода, возвращающаяся в газовую полость тройника. Тройники, соединенные непосредственно с двигателем, и трубопроводы выполнены из нержавеющей стали марки X18Н9Т. Глушители сделаны из коррозионностойких легких сплавов. Трубы газоподводной системы спаяны между собой при помощи фланцев с прокладками из теплостойкой резины. С целью снижения шума и

издраждения газоподводной трубы вспомогательного двигателя в нее подается забортная вода.

Система охлаждения и подогрева двигателя состоит из трубопроводов забортной и пресной воды. Трубопровод забортной воды обеспечивает снабжение забортной водой главных и вспомогательных двигателей, также всего судна. Система состоит из магистрального трубопровода, обеспечивающего прием забортной воды через книшки и водовод в средней стойке корнового крыла, двух фильтров и двух отливных магистралей с фильтрами и отливными кингстонами. Движение воды в системе обеспечивается помпами забортной воды, установленными на главный двигатель, а также скоростным напором встречного потока воды при ходе судна. Забортная вода, движущаяся по магистралью приемному трубопроводу, проходит через водоводовод и подливочные холодаильники, где изымается от воды внутреннего контура охлаждения двигателя и масла. От напорных магистралей системы забортной воды сделаны отводы на охлаждение газоподводной системы, для смазки резиновых подшипников валопроводов, а также предусмотрена патрубок с прозрачным краном для подачи забортной воды на санитарные нужды. От наружной магистрали одного из главных двигателей сделана отвод забортной воды из охлаждения компрессора агрегата ДГКП.

Система пресной воды обеспечивает охлаждение главных и вспомогательных двигателей и прогрев главных двигателей перед пуском. Система охлаждения каждого главного двигателя состоит из трубопровода, подающего воду к термостату, от которого вода поступает к зоне пресной воды через водоподъемный холодаильник ВХД-Б-1 или миниум его. Пресная вода поступает в систему из двух расширительных бачков (емкостью по 30 л каждому) через приемные трубы, снабженные запорными втулками. Бачки оборудования подводятся к стоякам и сигнализаторам минимального уровня. Входящие и отходящие трубопроводы пресной воды главных двигателей и отходящий трубопровод охлаждения вспомогательного двигателя оборудованы карманами для установки датчиков дистанционных термометров. Трубопровод системы выполнен из медных, алюминиевых и полизтиленовых труб, которые соединяются фланцами и люнетовыми муфтами.

Машинная установка теплоизоляции «Комета» имеет дистанционный пост управления, расположенный в ходовой рубке. На посту размещены органы управления главными двигателями, а также контрольно-измерительные приборы.

Управление реостатом и подачей топлива главных двигателей осуществляется дистанционно из рубки при помощи гидравлической системы. Гидросистема управления главными двигателями состоит из цилиндров-датчиков, расположенных в рубке,

шлангов-исполнителей, установленных на двигателях, заправочного бачка, трубопроводе и арматуре. Трубопроводы системы изготовлены из вержимкющей стали марки Х18Н9Т.

Для контроля за нормальной работой главных двигателей установлены два приборных штока: один в машинном отделении, другой в ходовой рубке. На каждом из этих штоков расположены следующие приборы:

механотахометр для замера числа оборотов дизеля;
манометр давления топлива, поступающего в топливный насос;

манометр давления масла в главной маслопроводной магистрали;
термометры дистанционные для замера температуры входящей и выходящей из двигателя пресной воды и масла.

Кроме этих приборов, на щите управления в ходовой рубке установлены указатели уровня масла и топлива. Для контроля за работой вспомогательного агрегата ДГКП-10-1 на щите в машинном отделении расположены следующие приборы:

тахометр для замера числа оборотов двигателя;
манометр давления масла в двигателе;

термометры для замера температуры входящей и выходящей воды, а также масла в двигателе;

манометры давления компрессора первой, второй и третьей ступеней,

Валопровод и движители

Линия вала каждого двигателя имеет угол наклона к основной плоскости 12° и располагается параллельно ДП судна. Каждый валопровод состоит из двух валов: концевого и промежуточного, соединенных между собой продольно-свертной муфтой. Промежуточный вал присоединяется фланцевой муфтой к реверс-муфте главного двигателя. На концевом валу наложен гребной винт. Диаметры шеек валов равны 80 мм. Все валы изготовлены из харцавеющей стали марки 2Х13.

Передача усилия каждого гребного звена на корпус осуществляется через упорный подшипник, установленный в реверс-муфте главного двигателя. Каждый валопровод имеет, кроме того, три опорных резино-металлических подшипника. Один подшипник (разъемной конструкции) установлен в кормовой части лебедкунной трубы, два других (неразъемные) — в кормовой и промежуточных аркователях. Каждый валопровод имеет дейдвудный сальник, который соединен с носовым концом дейдвудной арматуры при помощи джиратской муфты. Смазки подшипников валопроводов осуществляется забортной водой, которая подается к подшипнику концевого кронштейна в результате использования скоростного напора встречного потока. К подшипнику промежуточного кронштейна вода поступает через отверстия из стоеч-

коронштейна от магистрали забортной воды. Подача воды к воронинку дейдвудной трубы обеспечивается через внутреннюю полость трубы от магистрали забортной воды системы охлаждения.

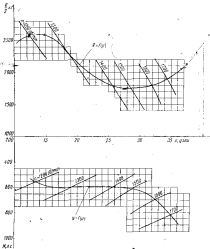


Рис. 163. Паспортная диаграмма гребного винта теплохода «Комета».

ния главного двигателя. Для смазки дейдвудного сальника используется та же забортная вода.

В качестве движителей на теплоходе установлены два гребных винта: левого и правого вращения. Эти винты изготовлены из латуни марки ЛаМиЖ 65-5-2-2 и имеют следующие параметры:

Диаметр D , м	0,05
Шаг H , м	0,08
Диаметр отверстия	1,1
Количество лопастей	5

Паспортная диаграмма трубного пята тяглохода показана на рис. 183.

Электрооборудование и радиосвязь

Электрооборудование теплохода «Комета» практически не отличается от электрооборудования теплохода «Метеор».

Для радиосвязи судна с береговыми и судовыми радиостанциями на судне установлены телефоны радиостанций типа Р-807. В комплект радиостанции Р-807 входит следующие блоки: радиопередатчик, радиоприемник типа УС-9, блок средних волн типа БСВ-70, умформер марки У-600, пульт дистанционного управления и микрофон. Радиостанция должна обеспечивать следующую дальность связи:

на коротких волнах — не менее 100 миль;
на средних волнах — не менее 50 миль.

Выходная мощность радиостанции по диапазону изменяется от 25 до 80 вт. Питание станции осуществляется постоянным током напряжением 27 в $\pm 10\%$. Потребляемая мощность же превышает 1200 вт. Радиостанция работает на лучевую горизонтальную антенну. Все блоки радиостанции размещены в рубке, за исключением блока У-600, который находится в агрегатной. Автоматический податчик сигналов типа АПСТВ-2 служит для подачи на вход передатчика Р-807 телеграфных сигналов тревоги и беспахты, а также позывных судна. Размещается он в ходовой рубке.

Для передаче информационных сообщений из ходовой рубки в салоны на судне имеется радиотрансляционное устройство. Включение и выключение динамических громкоговорителей в салонах производится из ходовой рубки, где находится микрофон и усилитель. Для передачи команд из ходовой рубки к основным постам судна (места швартовки, машинное отделение, отсек скорной лебедки) имеется коммандно-вещательный установка, которая обеспечивает двухстороннюю связь между рубкой и основными постами судна.

На теплоходе установлен гиромагнитный комплекс типа «Градус-2». Два рефлектора для пеленгования, путевой рефлектор, магнитный датчик и прибор согласования размещаются в ходовой рубке. Гидроагрегат, приводящийся в движение от электродвигателя, находится в агрегатной (под ходовой рубкой). Включение гиромагнитного комплекса осуществляется из ходовой рубки. Здесь же установлен магнитный компас. На судне, кроме того, предусмотрены лаги марки ЛГ-6. Указатель скорости и пробившего

расстояния выведен в рубку. Станция управляемая, центральный прибор, распределительный кран и преобразователь размещаются в агрегатной. Приемная трубка лага установлена под краем.

§ 33. МОРСКОЙ ПАССАЖИРСКИЙ ТЕПЛОХОД «БИХР»

Этот теплоход на подводных крыльях предназначен для скоростных перевозок пассажиров на прибрежных морских линиях срочностью до 400 миль (рис. 184).



Рис. 184. Морской пассажирский теплоход на подводных крыльях «Бихур».
Скорость хода 38 узлов.

Основные элементы и характеристики теплохода

Габаритные размеры, м:	
длина	47,9
ширина	12,0
высота	10,1
Осадка габаритная, м:	
из шторма	4,1
при ходе на крыльях	1,8
Водоизмещение, т:	
горючее	89,00
поплавок	121,34
Мощность главной установки, к. с.:	
— максимальная	1800
— эксплуатационная	3000
Скорость, узлы:	
максимальная	38
эксплуатационная	34
Паспортная вместимость, чел.	290

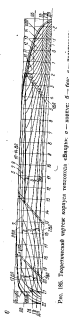
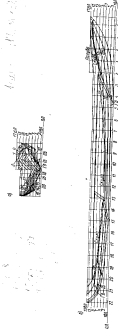


Рис. 186. Технический чертеж корпуса теплохода «Вихрь». 0 — ватерлиния; д — водонепроницаемые переборки на 11 отсеков.

Форма корпуса характеризуется большим наклоном форштевня, клиновидным дном с имеющей видиной склоной, крейсерской кормой с постепенным переходом в кильевую линию, изогнутым днищем с попутными V-образными шпангоутами, изогнутыми бортами с развалом (рис. 185). На днище имеются для рулевого: носовой, не доходящий до киля, и кормовой (клиновидной в плане формы).

Основные коэффициенты теоретического чертежа теплохода при полном водоизмещении равны:

Коэффициент общей плавучести	0,268
в водотight альтерации	0,610
в ходовой-брюзгах	0,455

Общее расположение

Схема общего расположения теплохода «Вихрь» показана на рис. 186. Корпус судна ниже главной палубы разделен по длине десятью водонепроницаемыми переборками на 11 отсеков.

Отsek № 1 (от форштевня до 2 шк.) представляет собой форпик. Он разделен на две части проходящей переборкой, установленной на первом шпангоуте. В отсек имеется доступ через люк в палубу. Отсеки № 2 (2—6 шк.), № 3 (6—10 шк.), № 4 (10—15 шк.), № 5 (15—20 шк.), № 7 (24½—26 шк.), № 8 (26—29 шк.), № 9 (29—32 шк.), № 10 (32—35 шк.) и № 11 (35 шк.—корпус) представляют собой отсеки плавучести. Доступ в них возможен через люки в палубе. В отсеке № 6 (20—24½ шк.) размещается машинное отделение. Вход в него осуществляется с палубы по трапу, расположенному в районе 26—28 шк. В районе 22—23 шк. в машинном отделении с обоих бортов от ДПЗ имеются круглые люки служащие запасными выходами из машинного отделения. В районе 24½—26 шк. выгоражено помещение контрольного поста наблюдения за машинной установкой. В отсеке № 8 расположена фекальная цистерна емкостью 1200 л. Отсек № 10 используется под румпельное отделение (доступ в него осуществляется через круглые люки в палубе). В отсеке № 11 (35 шк.—корпус) — альтернатор — размещена топливная аммиакарда.

Выше палубы переборок в районах 1—9 шк. расположен пассажирский салон на 74 места. В носовой части салона в полу сделаны специальные выгородки, в которых находится якорное устройство. Салон имеет два выхода (по одному с каждого борта) на посадочные площадки и якорный выход через люк на тентовую палубу. Посадочные площадки расположены в районах 8—10 шк. В районе 7—9 шк. под рубкой размещается агрегатный, и в районах 10—11 шк.— почтовое помещение.

В районе 10—20 шк. находится средний пассажирский салон на 96 мест. Из салона имеются пять выходов: два в переборке

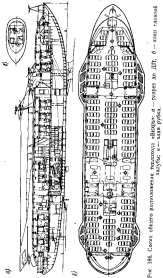


Рис. 186. Схема обшивки палубов и погребов теплохода «Виборг»: а — район д/п; б — район № 20 шп.; в — зона рубка; г — палуба; д — зона главной палубы; е — зона буфета.

на 10 шп., два в переборке на 20 шп. и один выход через люк на тентовую палубу. Район 18—20 шп. в ДП занимает служебное помещение буфета. Зал буфета размещается в районах 20—24 шп. В районах 24—26 шп. по бортам размещены две четырехместные каюта, а в ДП — санузлы.

Кормовой пассажирский салон на 90 мест расположены в районах 26—35 шп. Из салона имеется три выхода: два в переборке на 26 шп. и один в переборке 35 шп.

В районе от 35 шп. до носа находится открытая прогулочная палуба. Ходовая рубка, полуутопленная в надстройку, размещена между б/к 12 шп.

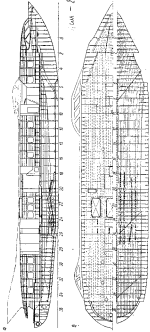
Конструкция корпуса

Конструктивные схемы корпуса теплохода показаны на рис. 187. Корпус и надстройка теплохода изготовлены из алюминиевыми сварными из алюминиевомагниевого сплава марки АМг-61. Отдельные детали выполнены из стали. Корпус изображен по продольной системе. Элементы корпуса соединены при помощи аргонодуговой сварки. Все стальные детали очищены и в местах соприкосновения с алюминиевыми сплавами изолированы специальными прокладками. Обшивка теплохода изготовлена из листов толщиной 10 мм:

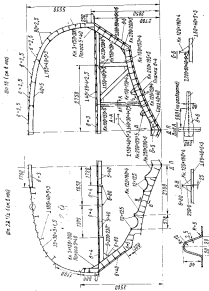
Днищевая	8—6
Бортовая	4—5
» надстройки	3—4
Насыпная главной палубы	2,5
То же в районе люков над машинной отделкой	4
То же в корме над тепловозной отсекой	3
Насыпная тентовой палубы	2,5—3

Поперечный набор корпуса (рис. 188) состоит из рамных шпангоутов, установленных на расстоянии 550 мм, а в районе 10—20 шп.—на расстоянии 1100 мм. В надстройке рамные шпангоуты имеют прорезную конструкцию и расположены на расстоянии 1100 мм. Продольный набор по днищу и палубам состоит из ребер жесткости, кильсонов и карданных двухстороннего профиля. Поперечные водонепроницаемые переборки в корпусе установлены на 2, 6, 10, 15, 20, 24½, 26, 29, 32 и 33 шп. Толщина листов переборок составляет 4 мм. В нижней части переборок на 20, 24½ и 26 шп. листы имеют толщину 6 мм. Поперечные переборки в надстройке изготовлены из листов толщиной 3 мм.

Фундаментные балки под главные двигатели имеют сварную конструкцию (из таврового профиля). Высота из переменная. К поперечным переборкам балки крепятся при помощи клиньев. Все прочие фундаменты и подкрепления сварены из листового и профильного алюминиевого сплава марки АМг-61. Форштевень теплохода изготовлен из полосы толщиной 8 мм.



REAGENTS: a — spectrography; b — titration; c — titration with H_2O_2 .



Dec. 1888. KODAK PICTURES AND MIRRORS. 175

По бортам судна установлены обионы, предохраняющие крылья от ударов при швартовке. Обионы поддерживаются кронштейнами, имеющими коробчатое сечение. По наружным обводам корпуса устанавливаются правильный брус шириной 300 мм. Стабилизатор за тентовой палубе выполнен из листов из дюралюминиевых листов толщиной 2,5 мм и тавровых ребер жесткости. Накладки в машинном отделении изготовлены съемными из рифленых дюралюминиевых листов марки ДРО толщиной 4 мм.

Изопакия, покрытия, отделка и окраска

Пассажирские салоны, каюты, буфет и рубка изолированы по бортам и подводке слоем теплоизоляции марки ВТ-4С толщиной 20 мм. Звукоизолирующая изоляция машинного отделения выполнена в виде акустических пирамид размером 300×300×500 мм, высотой 70 мм. Пирамиды изготовлены из дюралюминиевых перфорированных листов толщиной 0,4 мм и облицованы изнутри двумя слоями изоляционного интервала марки ВТ-4С толщиной по 20 мм. Пирамиды крепятся к набору корпуса пружинами. Подводка и стены туалетов изолированы слоем материала марки ВТ-4С. Все изолационные материалы, которые применяются на судне, являются нетоксичными или трудно горючими.

Палубы в пассажирских салонах, в каютах, буфете и в рубке покрыты полизилораниновым лаком-грунтом толщиной 2 мм, проклеенным по контуру к настилу настилкой марки ДФКЛП. В туалетах она покрыта листовым винилластиком толщиной 4 мм. Для обстрибки помещений и не различимые поделки применены яль и аэрозольные березовые фанеры (толщиной 2 и 3 мм), пропитанные огнезащитным составом. При отделке помещениях использованы эпоксидный пивной марки ПА и декоративный слоистый пластик без рисунка с пигментацией под ценные породы дерева. Подволоки, переборки и борта (выше нижней кромки окон) салонов, кают и буфета отделаны аэрозольным лаком-грунтом светлого тонов, натянутым на обратимый и монтажные струны и закрепленным раскладками. Панель салонов и зад буфета до окон отделана эпоксидным лаком-грунтом темных тонов. Стыки закрыты раскладками из профилированного дюралюминия. Туалеты отделаны панеликом (подволок) и слонстиком пластиком (панели).

Подводная часть корпуса покрыта спаржами из алюминиевого сплава марки ГЭН-160. Внутренние и наружные (выше погребения) поверхности корпуса загрунтованы лаком со смесью фенолформальдегидного грунта марок ФЛ-05-Ж (для алюминия) и ФЛ-03-К (для стали). Наружные надводные поверхности и внутренние помещения теплоизоляции окрашены винтаграфтальевыми красками.

Оборудование помещений и дельные вещи

Пассажирские салоны теплохода «Визирь» в основном оборудованы мягкими склоняющимися аэрозольными креслами. Кресла снабжены индивидуальными съемными столиками и пепельницами. В салонах вдоль бортов над окнами предусмотрены полки для размещения легкого ручного багажа. Пространство между бортом и креслами также используется для хранения багажа. В каждом салоне имеется специальная выгородка для вещалки. Служебная залота оборудована диванами, столом, вешалкой для одежды, шкафом для белья, шкафчиком для книг, античкой и ванной для графина с водой. В зале буфета установлены высокие стойки. Буфет оборудован буфетной стойкой с застекленными витринами, холодильником, шкафами для сухой провизии, специальными ящиками для хранения бутылок с напитками, стационарной электроплиткой, сливной раковиной, стаканомойкой и урной для мусора. Кроме того, в буфете установлен бачок питьевой воды. Оборудование задней рубки включает пульт управления, навигационное оборудование, средства связи и необходимую мебель.

Для доступа в подводное пространство предусмотрены водонепроницаемые люки диаметром в свету 450 мм. Крышки люков сделаны заподлицо с настилом палубы из листов толщиной 2,5 мм и имеют задраивающее устройство. Сверху крышки люков оклеены лаком-грунтом. В палубе полулюка имеется люк с быстрооткрывающейся крышкой для удобного обслуживания якорной лебедки.

Над машинным отделением в главной палубе для выхода капитанов предусмотрены три люка. Размеры люков в салоне следующие: среднего 1720×2800 мм, бортовых 1375×2800 мм. Крышки люков выполнены водонепроницаемыми и быстро-съемными, для чего по контуру их предусмотраны уплотнительные прокладки. Закрываются крышки из машинного отделения быстрооткрывающимися задраивками. В районе 22–23 ширине обводов в люках над машинным отделением установлены горловины запасного выхода диаметром 450 мм. Горловины выполнены водонепроницаемыми и задраиваются как из машинного отделения, так и с главной палубы. Для доступа в топливный отсек в главной палубе установлены две горловины диаметром 450 мм, крышка которых выполнена из газонепроницаемыми.

Окна в пассажирских салонах сделаны глухими с открываемыми фрамугами. Размер окон в свету 900×1100 мм; они состоят из трехслойного стекла толщиной 7 и 4 мм. Лобовое окно задней рубки выполнено из бесосноточного трехслойного оконного стекла.

Посадочные двери в районе 9—10 шт. (бронзогенпроницаемые, односторчатые, размером 800×1600 мм) изготовлены из листов алюминиево-магниевого сплава марки АМг-61. Внутренняя сторона дверей облицована пластиком, верхняя часть застеклена. По контуру дверей поставлены резиновые уплотнительные прокладки. С внутренней стороны помещения на дверях установлены поручни, изготовленные из труб алюминиевого сплава. Односторчатые деревянные двери кают, буфета и туалетов имеют размер 600×1850 мм. С обеих сторон они склеиваются слоистым пластиком. Двери салона и поперечных переборках на 20, 24% и 26 шт.—деревянные односторчатые, размером 600×1850 мм. Верхняя часть дверей застеклена. Двери в коридорной переборке имеют размер 800×1600 мм. По контуру их поставлены резиновые уплотнительные прокладки. Дверь в машинное отделение в районе 25—26 шт. выполнена салонной формы, размером 600×900 мм, из листов сплава марки АМг-61. Дверь в переборке на 24% шт., ведущий из коридорного поста в машинное отделение, сделана герметичной, размером 600×1800 мм. Все двери обшиты замками.

Для прохода в заднюю рубку установлены металлический трап шириной 750 мм. Угол наклона его к горизонту составляет около 60°. Высота ступени равна 250 мм, ширина — 255 мм. Трап шириной 800 мм, ведущий из среднего салона на тяговую палубу, также выпольщен из металла. Угол наклона трапа к горизонту равен 60°. Ступеньки покрыты линолеумом и отшлифованы краями рифлеными пластиками. Ширина металлического трапа, ведущего в машинное отделение, составляет 700 мм. Установлен он под углом наклона к горизонту 70—75°. Ступеньки трапа имеют высоту 220 мм, ширину 200 мм и изготовлены из рифленых листов. Трапы в трюмные отсеки и топливную цистерну — вертикальные, шириной 300 мм. Тетивы трапов и ступени изготовлены из сплава марки АМг-61; расстояние между ступенями равно 300 мм.

Судовые устройства и системы.

Теплоход «Виктор» снабжен двумя основными якорями системы Матросова (вспомогательной держащей силы, весом по 100 кг каждый), а также якорями тросами к нему диаметром 16 мм. На левом барабане, кроме троса, имеется якорь-штырь калибром 16 мм. При подъеме якорей электролебедкой трос наматывается на ее барабаны. На концах якорь-тросов, закрепленных на барабанах, предусмотрены устройства для быстрой отдачи якоря. С целью протораживания троса при спуске якоря у лебедки имеется ножной ленточный тормоз. Для крепления якорей под пандону установлены сайфоны стопоры. Кроме того, лебедка имеет храповый стопор, специальное устройство для стопоре-

ния барабанов и кулачковые муфты, соединяющие червячный редуктор с барабанами. Технические характеристики якорной электролебедки приведены ниже:

Мощность, квт	35
Число оборотов, об/мин:	
электродвигателей	1300
барабана	11
Скорость набирания троса при пасъем якоря, м/мин	12
Тяговое усилие за барабан при спуске якоря, кН	1900
Усилия на рукоятке при набирании якоря тросом, кН	25

Тельцоход «Виктор» снабжен швартовными кипроновыми канатами, которые хранятся в специальных ящиках. Общая длина канатов составляет 150 м. Для швартовки на теплоходе установлено также шесть двойных крестовых кистей с тумбами диаметром 80 мм. В корме из открытой залубы предусмотрены киновые паланки. Швартовые кисти и киновые паланки изготовлены листами из алюминиевого сплава марки АЛ8. Теплоход буксируется за рым, установленный вдольовой части палубы.

На судне имеются два балансирных руля. Суммарная площадь рулей равна 6,74 м², а рабочая площадь при ходе на крыльях — 2,67 м². Рули изготовлены сплошными из листов сплава марки АМг-61. Каждое перо руля крепится на двух опорах. Верхней опорой служит баллер, врачающийся в подшипнике, который прикреплен к корпусу на резиновой прокладке; нижней опорой — петля, укрепленная на плоскости корпуса крыла и имеющая подшипник с резиновой втулкой. Перекладка руля осуществляется при помощи гидравлической системы. Время перекладки руля с борта на борт на угол 70° равно 30 сек.

Гидравлическая система управления рулевыми системами состоит из основной и аварийной. Основная склонная система включает расходный гидробак емкостью 36 л, гидроцилиндры, фильтры, гидроаккумуляторы, распределительные электропод давлительные краны, трубопроводы и арматуру. В этой системе установлены также ручной аварийный насос. Рабочее давление жидкости в склонной системе равно 60—80 кг/см². Автоматическая система управления состоит из гидробака, гидронасоса, приводимого в действие вручную при помощи штурвала (через редуктор), гидроцилиндров, арматуры и трубопроводов. Давление в системе составляет 20—25 кг/см². Рабочей жидкостью системы служит авиационная гидросмесь марки АМг-10. Контроль за работой гидросистем осуществляется при помощи манометров. Трубопроводы обеих систем изготовлены из труб износостойчивой стали. В обеих системах применена стандартная авиационная арматура.

Схема крыльевого устройства теплохода «Виктор» показана на рис. 189. Крылья, кронштейны стоек и концевые

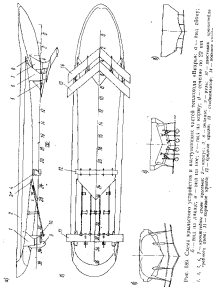


Рис. 160. Схема конструктивных устройств в поперечном сечении корабельного судна: 1 — палуба; 2 — днище судна; 3 — кирик; 4 — палуба; 5 — киль; 6 — днище судна; 7 — кирик; 8 — палуба; 9 — днище судна; 10 — киль; 11 — поперечные кирики; 12 — продольные кирики; 13 — палуба; 14 — днище судна.

корицтейны сварены из листов перекающей стали марки Х18Н9Т (толщиной 12 и 15 мм), подкрепленных ребрами жесткости и кириками толщиной 10 мм; по доской и кормовой кромкам листы приварены к специальному профилю, выполненному в виде клиновидной ножки. Стойки носового крыла сделаны разъемными. Нижние части стоек привариваются непосредственно к кирикам, а верхние (прощефты) — к корпусу судна. Соединение частей стоек — фланцевое на болтах. Такое соединение дает возможность изменять углы установки крыла путем болтанки клиновидных прокладок между флангами стоек. Стойки крыльев изготовлены из листов толщиной 28 мм, кронштейны — из листов толщиной 4—6 мм.

Технодор снабжен следующими спасательными средствами: спасательными жилетами для пассажиров (по числу пассажиров), загрудниками для команды (7 шт.), спасательными кругами (6 шт., в том числе один со спасательными линиями и три с самозажигающимися буйками), 12-местными авиационными спасательными надувными плотиками типа СП-12 (18 шт.) и одной надувной лодкой типа ДГИ. Спасательные жилеты для пассажиров хранятся в нишах салонов, загрудники для команды размещены в каютах (4 шт.), в рубке (2 шт.) и в буфете (один). Спасательные круги находятся в районе посадочного пролета (4 шт.) и в корме на прогулочной палубе (2 шт.). Спасательные надувные плотики размещены на тентовой палубе и районе стабилизатора.

На теплоходе имеется децентрализованная система осушения. Основным средством осушения для всех отсеков являются помпы двух агрегатов ДГКП производительностью 20 м³/час каждая. Управление автозатворно-затворными клапанами на отсеках всех отсеков, кроме машинного отделения, производится с главной палубы при помощи дистанционных приборов. Управление клапанами осушения машинного отделения осуществляется непосредственно из машинного отделения. Система осушения выполнена так, что одной из помп агрегатов ДГКП можно производить откачу воды из машинного отделения, в то время как другой — откачу воды из других отсеков. Кроме того, машинное отделение обеспечено резервом средством осушения в виде ручного насоса марки РН-20, производительностью (при 50 двойных ходах в минуту) 1,2 л/с/час, снабженного гибким 10-метровым шлангом с сеткой на конце. Отливной трубопровод осушительного насоса скобжен автозатворным клапаном. Трубопровод системы в машинном отделении изготовлен из медных труб, а в остальных отсеках — из алюминиевых труб. Соединения труб — фланцевые и на дюймовых муфтах.

Санитарная система на теплоходе состоит из автономных систем мытьевой и питьевой воды. В систему мытьевой водой входит пневмоцистерна, санитарный насос марки ЭЦН-104

и трубопроводы с арматурой. Трубопровод в машинном отделении изготовлен из медных труб и труб из алюминиевых сплавов, и в остальных помещениях — из полизтиленовых труб. Система циркуляции воды состоит из двух баков запаса воды емкостью 600 л каждый, пневмоцистерны, насоса марки ЭЦН-104, сборника питьевой воды, поплавковыми клапанами, кранами, расходного бака, холдингами для охлаждения кипящей воды и трубопроводами с арматурой. Пневмоцистерна питьевой воды, как и пневмоцистерна запасной воды, снабжена указателем уровня и манометром, автоматически включающим и выключающим насос марки ЭЦН-104. Запас воды пополняется во время рейсовых остановок судка. Трубопровод изготовлен из труб алюминиевого сплава на дюритовых муфтах в штуцерно-накидных соединениях.

Сточно-фановая система предназначена для отвода сточных вод из санузла. Сточные воды от унитазов отводятся в фекальную систему емкостью 1200 л и оттуда по магистральному фановому трубопроводу за борт или удаляются фекальником через специальный патрубок, оборудованный унитарным затвором. Фановый трубопровод имеет заложку, позволяющую закрыть сток из фекальной цистерны. Возможна опломбировка заложки в закрытом положении при проходе судна через зоны строгого санитарного режима. Фекальная цистерна оборудована вентилиционным трубопроводом с установленным на конце озонатором. Система изготовлена из полизтиленовых труб, цистерна — из стеклопластика.

На теплоходе предусмотрена естественная вентиляция, для которой используется скорость напора встречного воздушного потока во время хода судна. Подача воздуха в вентилируемые помещения производится через фрамуги окон и расположенные за тентовой палубой пущенные комары. Вытяжная вентиляция осуществляется при помощи эжекторных головок. Для вентиляции машинного отделения и помещений контрольного поста из стоянок применяются вентиляторы общей производительностью 3200 м³/час, обеспечивающие 25-кратный обмен воздуха. Во время хода судна вентиляция машинного отделения происходит в результате подсоса сухого воздуха нагнетателями наддува глинистых двигателей. Отопление с судна — водяное. С этой целью в помещениях установлены спирально-ребристые трубы.

Для устранения очагов пожара в машинном отделении и топливной цистерне имеется система улекаслотного пожаротушения; для ликвидации очагов пожара по всему судну предусмотрена система водяного пожаротушения, а также ручное пено- и углекислотное тушение при помощи пистолетов-отвертщите-

лей марки ОПМ, двух отвертщителей марки ОУ-5 и отвертщителя марки ОУ-2. Кроме того, теплоход снабжен набором противопожарного оборудования.

Слесарная установка и обслуживающие ее системы

Машинное отделение теплохода «Вибрэ» занимает объем от борта до борта, ограниченный по длине судна водонепроницаемыми переборками из 20 и 26 шт. Сверху машинное отделение ограничено платформой, в которой предусмотрены закрытые съемными крышками люки для погрузки и выгрузки механизмов. Машинное отделение имеет для выхода: со стороны коренного салона и через люк в настуле (заявленный выход).

В качестве главных двигателей на теплоходе используются четырьмя дизелями марки М50Ф-3 (две правой и две левые модели). Это 12-цилиндровые дизели с V-образным расположением цилиндров, четырехтактные, простого действия, с жидким охлаждением и реверсивными муфтами. Максимальная мощность каждого двигателя составляет 1200 л. с. при 1850 об/мин. Применяющее топливо — специальное дизельное марки ДС, масло — армированное марки МК-22 с добавлением 3% (по весу) присадки АЗНИИ-ЩАТИМ-1Ф. Главные двигатели работают непосредственно на свои вальцоводы. Каждый валопровод жестко соединен с фланцем реверсивной муфты двигателя при помощи фланцевой полумуфты.

В машинном отделении, кроме слесарных и всесосательных двигателей, имеются следующие механизмы и оборудование:

Классификация	
	Агрегат предварительной прокатки ползала в масле
4	Ландшафтный генераторно-зарядный ящик марки РН-20
1	Насос санитарной системы марки ЭЦН-304
2	Насос для перекачки горючих марки ЭОН-1М
1	Насос герметичный марки РН-20
4	Холодильник компрессорный марки ВЛХ-5
	Холодильник компрессорный марки МХД-4
4	Баллон для воздуха
3	Бак моечный емкостью 130 л
4	в запасного масла емкостью 150 л
2	Буксиратель
4	Фильтр топливный
5	— масляный
4	— вязкий
1	Пено-запаскоборозавиватель
6	Акумуляторная батарея БСТК-180
1	Продувочный ящик главного двигателя
2	— ДГКП в МД
1	Вентилятор

Ворстик	1
Ящик запасных частей	1
Отмычка	1
Насос маслопроточающий ДРН-03	1
Блок-направляющие гидралки	1
Бак отработанного масла	1
Пневмоциатерка	1
Ходомеханик масла пусковой	1
Бак гидравлический	1

В качестве вспомогательной энергетической установки на теплоходе установлены два вспомогательных агрегата марки ДГКП-10-1. Агрегаты, помимо обогревения судна электроэнергияй, служат для накачки и бллонов пускового воздуха, для осушения трюмов и прогрева главных двигателей в холодное время года.

Топливная система каждого из главных двигателей состоит из трубопровода, агрегата предварительной прокачки и арматуры. На теплоходе трубопроводе главных двигателей установлен ручной насос марки РН-20; в случае, если по каким-либо причинам окажется невозможной прокачка топливных систем двигателей зеркальными агрегатами. Топливо подается к главным двигателям и вспомогательному агрегату ДГКП из топливной цистерны. Цистерна оборудована горизонтальными приема топлива, указателями уровня, а также расходной в пусковой арматурой и вентиляционными трубами с огневыми предохранителями. Для удаления топлива с судна установлен перекачивающий насос марки ЭЦН-104 производительностью 1 м³/час (при запоре 1,3 кг/см²). Трубопровод и арматура изготовлены из алюминиевого сплава. Трубы соединены на дюритовых муфтах и фланцах.

Масляная система каждого двигателя состоит из расходного бака ёмкостью 110 л, двух парных фильтров, одна пара которых установлена непосредственно в расходном баке, а вторая — на выходе из главного двигателя, термостата, винтомасленного холодильника марки МХД-4, агрегата предварительной прокачки масла, запорной регулирующей арматуры, труб из алюминиевых сплавов и дистанционных указательных приборов давления и температуры. На маслопроточающем трубопроводе главных двигателей установлен один ручной насос марки РН-03 (на случай выхода из строя зеркальных агрегатов двигателей). Каждый расходный масляный бак оборудован указательной колонкой, датчиком дистанционного указателя уровня, вентиляционной трубой с огневым предохранителем и карманами для измерения температуры. Масло подается в расходные баки из двух баков основного запаса ёмкостью по 150 л каждый. Баки оборудованы указательными колонками, вентиляционными трубами с огневыми предохранителями и приемными трубопроводами с горловинами залева. Для слива отра-

ботанного масла из двигателя служат сливные трубы, смонтированные запорной арматурой, вынесенные в места, где к ним легко можно присоединить дюритовый шланг от приемного патрубка осушительного насоса марки РН-20. Трубопровод масляной системы изготовлен из труб алюминиевого сплава на дюритовых соединениях.

Запуск главных двигателей теплохода «Вихрь» осуществляется при помощи воздушной системы. Она состоит из трех воздухораспределителей-баллонов ёмкостью по 40 л (расчетанных на рабочее давление 150 кг/см²), предохранительной, запорной и пусковой арматуры и трубопровода, изготовленного из стальных и медных труб из штуцера-накидных соединений. Пуск двигателей производится из рубки путем дистанционного управления электромеханизмами. Кроме того, имеются пусковые клапаны. Они применяются в случае аварийных пусков главных двигателей непосредственно из машинного отделения.

Газовыххлопные системы главных и вспомогательного двигателя выполнены автономными. Система газонапуска состоит из тройника, объединяющего выпускные коллекторы двигателей, компрессора, трубопровода и глушителя. Для охлаждения газонапускной системы используется забортная вода, вс�ываемая в полость тройника. Тройники, соединяемые непосредственно с двигателями, в трубопроводе изготовлены из нержавеющей стали марки X18H9T, глушители — из алюминиевых коррозионностойких сплавов. Трубы газонапускной системы соединены при помощи фланцев с прокладками из теплоустойчивой резины. В газонапускную трубу вспомогательного двигателя с целью глушения шума и охлаждения трубы подается забортная вода из системы охлаждения двигателей.

Система охлаждения и подогрева главных двигателей состоит из трубопроводов забортной и пресной воды. Система забортной воды обеспечивает снабжение забортной водой главных и вспомогательных двигателей и судно в целом. Система состоит из четырех магистральных трубопроводов, обеспечивающих прием забортной воды через подводы в двух кормовых стойках крыльев, четырех фильтров (изодиаметрическим фильтром на каждую магистраль) и четырех отливных магистралей с отливными кинесетами. Давление воды в системе осуществляется при помощи помп забортной воды, наложенных на главные двигатели. От кормовых магистралей системы забортной воды сделаны отводы на охлаждение газонапускной системы, для смазки резиновых подшипников дельфина, а также имеется патрубок с проходным краном для подачи забортной воды на санитарные нужды. От изорной магистрали одного из главных двигателей сделан отвод забортной воды на охлаждение компрессоров агрегатов ДГКП.

Система пресной воды главных и вспомогательных двигателей обеспечивает охлаждение двигателей и прогрев главных двигателей перед пуском. Система охлаждения каждого главного двигателя представляет собой трубопровод, подающий воду из двигателя к термостату, от которого вода поступает в помое двигатель через подводящую секцию холодильника или жижиу дополнительных. К нагнетательному патрубку помы пресной воды главных двигателей подведены трубы обогрева, соединенные с трубопроводом охлаждения вспомогательного двигателя.

Система пресной воды заканчивается избыточным расширительного бака. Бак оборудован волометрическим стеклом. Расходный бак заполняется водой через приемную трубу, снабженную плавучей пробкой. Выходящие в водающие трубопроводы пресной воды двигателей оборудованы кранами для установки датчиков дистанционных термометров. К главным и вспомогательным двигателям трубы присоединены фланцами и муфтами, а между собой и к арматуре — дюритовыми муфтами. Трубопровод системы пресной воды изготовлен из алюминиевых труб, а трубопровод забортной воды — из медных труб.

Управление реверсом главных двигателей и подачей топлива осуществляется дистанционно из рубки посредством гидравлической системы. В системе дистанционного управления главными двигателями имеется золотник управления, включающий управление топливной рейкой и реверсом при помощи одной рукоятки (вперед — назад — управление топливной реекой, поворотом рукоятки на 45° относительно горизонтальной оси в ту или другую сторону — управление реверсом). Кроме того, в систему дистанционного управления входит цилиндры — исполнители, находящиеся на двигателе; цилиндры механизма реверса; дроссели и соединяющие трубопроводы. Система питается маслом высокого давления из общесудовой системы гидроуправления. Давление в ней составляет 60 кг/см². Трубопроводы изготовлены из стали марки Х18Н9Т.

Для контроля за нормальной работой главных двигателей установлены два приборных щита: в отсеке контрольного поста и в ходовой рубке. На каждом из этих щитов расположены следующие приборы:

электрогазометр для замера числа оборотов дизеля;

манометр давления топлива, поступающего в топливный насос;

манометр давления масла в масляной магистрали двигателя;

дистанционные термометры для замера температуры входящей и выходящей пресной воды;

дистанционные термометры для замера температуры входящего и выходящего масла; манометры давления пускового воздуха и масла в гидросистеме.

Кроме этих приборов, на щите управления в ходовой рубке установлен указатель уровня топлива. Для контроля за работой

вспомогательных агрегатов ДГКП в машинном отделении на соответствующих щитах расположены следующие приборы:

- тахометр для замера числа оборотов двигателя;
- манометр давления масла в двигателе;
- термометры для замера температуры входящей в двигатель и выходящей из него воды;
- термометр для замера температуры масла в двигателе;
- манометры давления компрессора первой, второй и третьей ступеней.

Валопровод и движители

Линия вала средних двигателей заклонена к осевой плоскости на угол 12°20', бортовых двигателей — на 13°13' и расположается параллельно ДП судна. Каждый валопровод состоит

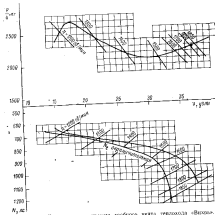


Рис. 190. Поперечная диаграмма пропеллерного вала теплохода «Бакра».

из двух валов: концевого и промежуточного, соединенных между собой продольно-свертной муфтой. Промежуточный вал соединяется при помощи фланцевой полумуфты с фланцем реверс-муфты главного двигателя. На концевом валу втулки сажасен гребной винт; диаметр шеек обоих валов равен 80 мм. Все валы изготовлены из нержавеющей стали марки 2Х13. Передача упора гребного винта на корпус осуществляется при помощи упорного подшипника, установленного в реверс-муфте главного двигателя. Каждый валопровод имеет три опорных резино-металлических подшипника керазитовой конструкции. Подшипники установлены в концевом и промежуточных кронштейнах.

Валопровод имеет дифференциальное устройство, в котором сальник соединен с восьмым кольцом дифференциальной трубы при помощи зборнитовой муфты. Смазка подшипников валопровода осуществляется забортной водой, которая подается к подшипнику кронштейна под действием скворостного изгиба встречного потока. К подшипникам промежуточных кронштейнов вода поступает через внутреннюю полость кронштейнов от магнитной лебедки забортной воды системы охлаждения главного двигателя.

В качестве двигателя на теплоходе установлены четыре гребные винты (два правого и два левого вращения).

Гребные винты имеют следующие параметры:

Диаметр D , м	0,8
Ширина H , м	0,8
Дисковое отношение Θ	1,1
Число лопастей s	5

Винты изготовлены литыми из латуни марки ЛамзЖ 67-5-2-2.

Паспортная диаграмма гребного винта теплохода показана на рис. 190.

Электрооборудование и радиосвязь

На теплоходе «Вахъя» установлено электрооборудование на постоянном токе. Напряжение судовой электрической сети принятоенным 24 в. Система канализации электрической энергии — однопроводная с максимальным использованием корпуса в качестве обратного провода. Источниками электрической энергии на теплоходе служат:

четыре генератора типа ГСК-1500 мощностью по 1 квт при напряжении 27 в, взвешенные по одному на каждый главный двигатель судна;

два генератора типа КГ-5,6 мощностью 5,6 квт, напряжением 27 в, подключенные в комплект агрегатов;

четыре кислотные аккумуляторные батареи типа БСТК-180, каждая напряжением 12 в, емкостью 180 а·ч при 20-часовом разряде. Аккумуляторы соединены последовательно в две группы (по два аккумулятора в каждой группе).

Система распределения электрической энергии на теплоходе «Вахъя» — фидерная. От генераторов и аккумуляторных батарей электрическая энергия поступает к потребителям через главный распределительный щит, установленный в помещении контрольного поста. От главного распределительного щита получают питание следующие потребители:

электромеханические машины отделения;
электродвигатели санитарного насоса; электродвигатели агрегатов для прокачки главных двигателей;

электродвигатель якорной лебедки;
электроактивитаторы салонов;
электроходолодильная установка;
нагревательные приборы в буфете (термо, плитка и т. д.);
электроагрегаты масла и расходных масляных баках;
щиток управления в ходовой рубке;
радиостанция в электронаavigационные приборы;
осветители основного и дежурного освещения.

Питание прожектора, стеклоочистителя, контрольных агрегатов, радиотраверсионной установки и служебной командой вспомогательной установки осуществляется от щита управления в ходовой рубке. Обеспечено дистанционноеключение и выключение части электропотребителей со щита управления в ходовой рубке. Схемой коммутации распределительного щита предусматривается питание всех потребителей судна от:

ходовых генераторов типа ГСК, работающих параллельно на общуюшину щита;
основательных генераторов типа КГ-5,6 (во время стоянки судна или при отключении ходовых генераторов);
аккумуляторной батареи (при первом пуске основательного генератора).

Кроме того, этой схемой обеспечивается питание части электропотребителей от сети переменного тока 220 в через понижающий трансформатор, а также исключается параллельная работа генераторов типа ГСК-1500 и КГ-5,6. В любом случае аккумуляторная батарея работает «в буфере» с генераторами.

Задача фидеров от токов короткого замыкания и перегрузки для потребителей с потребляемым током до 50 а осуществляется автоматами типа АЗС, а для остальных — пластичными предохранителями специальной конструкции типов ТП и БЗ. Защита генераторов типа ГСК-1500 от тока перегрузки и обратного тока обеспечивается реле-регуляторами коробками типа РК-1500А. Предохранители типа БЗ-30 защищают генераторы от тока короткого замыкания. Для защиты генераторов типа КГ-5,6 от обратного тока установлены реле типа ДМР-400, а для защиты этих генераторов от токов короткого замыкания и перегрузки — специальные пластичные предохранители типа ТП на главном распределительном щите.

Напряжение генераторов типа ГСК-1500 при замыкании их обмоток, ограничение тока регулируется реле-регуляторами коробками типа РК-1500. Для регулирования напряжения генераторов типа КГ-5, применяются ручные регуляторы возбуждения типа РЗБ. Контроль за работой генераторов и аккумуляторной батареи производится при помощи амперметров и вольтметра на главном распределительном щите. Кроме того, на пульте управления, около машинного отделения установлены лампы, сигнализирующие об отключении ходовых генераторов и о нормальной работе устройства дистанционного запуска исполнительного генератора.

Для привода якорной лебедки на судне имеется электродвигатель. В цепь электродвигателя постоянно включено сопротивление, которое помимо ограничения пускового тока выполняет функции датчика реле перегрузки электродвигателя. Выключение электродвигателя в конце подъема якоря обеспечивается коммутатором замыкателем. Для контроля за падением напряжения на фидере и тока в цепи электродвигателя на пульте установлены сигнальные лампы и амперметр. Сигнальная лампа одновременно освещает и шкалу амперметра. Щит находится около якорной лебедки.

Для прокачки масла в аварии топливной перед пуском из судна установлены четыре агрегата прокачки, по одному на каждый главный двигатель. Агрегат состоит из электродвигателя и двух насосов на его валу (головинного и масляного). Пуск электродвигателя (прямой без пусковых сопротивлений) осуществляется при помощи контактора типа КМ-200Д из ходовой рубки и пульта машинного отделения. Для каждого двух агрегатов прокачки проложен от главного распределительного щита один фидер, защищенный от перегрузки и токов короткого замыкания предохранителем типа III.

Питание электроприводчиков машинного отделения осуществляется от главного распределительного щита через автоматы защиты типа АЭС. Питание электроприводчиков в помещении несет производится от главного распределительного щита через автомат типа АЭС.

Для нагрева масла перед пуском главных двигателей в ходовом времени в каждом расходном масляном баке установлены по два электрических нагревателя мощностью 850 вт, напряжением 24 в каждая. Включение и выключение нагревателей, а также защита их от токов короткого замыкания производится автоматами типа АЭС на главном распределительном щите.

Для обогреваают компонент в период стоянки судна у берега установлены электрические судовые грелки типа ГС-300 напряжением 220 в и мощностью 300 вт (по одной в каждой каюте). Включение и выключение грелок производится расположенным около них пакетными выключателями. В буфете

для подогрева пищи установлена электрическая плитка с закрытым нагревательным элементом. Плитка включается и отключается со щита автомата тела АЭС. В буфете установлено также шесть электротермосов, питание которых производится от судовой электрической сети. Для подачи воды в гидрофор санитарной системы на судне имеется насос с электродвигателем типа МП-1000Б. Включение и выключение электродвигателя — автоматические при помощи реле давления. Питание электроприводов производится от главного распределительного щита через автомат типа АЭС.

Пассажирские салоны освещаются плафонами типа СС-357. Включение и выключение светильников салона — местные и из ходовой рубки. Каюты, буфет и ресторан также освещаются светильниками типа СС-357. Для освещения гальюнов, тамбуров и ходовой рубки в этих помещениях установлены катодные светильники — плафоны типа 37. Машинное отделение, контрольный пост возле него, помещение в трюме и отсек якорной лебедки освещаются светильниками типа 36.

На судне установлены сигнально-отличительные огни: бортовые отключительные (красный и зеленый), гакабортий, топовый, стечиночный (якорный). Вместо аварийных огней в салоне судна предусмотрены два красных светильника.

Для передачи распоряжений и команд из ходовой рубки к основным постам обслуживания судна в ходовой рубке установлены микрофон с усилителем и переключателем, а возле постов обслуживания — громкоговорители мощностью 1 вт каждый и микрофон. Исполнение принятой команды сигнализируется в ходовую рубку нажатием кнопки звукового и светового сигналов. С целью двухсторонней связи отсека контрольного поста с ходовой рубкой в этих помещениях установлены микрофоны и громкоговорители.

Радиосвязь с береговыми радиостанциями обеспечивается телефонной радиостанцией типа Р807, которая осуществляет беспроводовую связь в любое время суток в радиусе 400 км. Радиостанция работает на лучевую горизонтальную антенну. Питание ее производится от судовой электрической сети при помощи преобразователя марки У-600. Для передачи информационных сообщений из ходовой рубки в салоне на теплоходе установлено радиотрансляционное устройство на полупроводниковых приборах. Микрофонный пост и усилители находятся в ходовой рубке теплохода.

С введением судов на подводных крыльях пассажирский водный транспорт стал на один уровень с другими видами транспорта в системе народного хозяйства страны. Высокий

скорость судов на подводных крыльях, экономичность, удобство привлекли пассажиров на водный транспорт. В 1966 г. судами на подводных крыльях было перевезено только в бассейне Балтийского объединенного речного пароходства 2,4 млн. пассажиров (в 1961 г.—292,6 тыс., 1963—1119 тыс., а 1964—1540 тыс.). Одни из возможности использования судов на подводных крыльях далеко заichertы. Многие речные и морские линии еще не обслеживаются судами на подводных крыльях. Дальнейшее повышение скорости, мореходности, организация круглогодичной эксплуатации этих судов обеспечит им

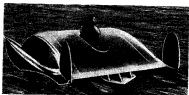


Рис. 191. Экспериментальный катер на подводных крыльях (Швеция).

значительные экономические преимущества перед другими видами транспорта.

Опыт эксплуатации показывает, что на магистральных реках могут эксплуатироваться суда на подводных крыльях со скоростями движения около 100 км/час. Составление судов с такими скоростями предполагает ряд новых задач как в области гидродинамики, так и в области машиностроения и корпусостроения.

На больших скоростях (150 км/час) начинается кавитация подводных крыльев и выступающих частей, имеющих обтекаемые профили. Разработка суперкавитирующих профилей для подводных крыльев позволит решить вопрос дальнейшего повышения скоростей судов, однако гидродинамическое качество подводных крыльев с суперкавитирующими профилями невысокое ($K=5-7$), что значительно ухудшает экономическую эффективность судов на подводных крыльях. В последние годы для повышения гидродинамического качества предлагается использовать на высоких скоростях аэродинамические силы. В ряде стран уже созданы экспериментальные образцы скоростных судов, которые на доказательственных скоростях движутся

на подводных крыльях, а на скоростях, где гидродинамическое качество подводного крыла начинает значительно уменьшаться, используются аэродинамические силы.

На рис. 191 показан шведский экспериментальный катер, корпус которого представляет крыло с двумя поплавками и подводным крылом. На эксплуатационных режимах движения катер движется на гравирирующих поплавках и подводном крыле. Однако аэродинамическая подъемная сила, возникающая на крыле-корпусе, оказывается значительной, что повышает общее гидроаэродинамическое качество катера.

По мере роста скоростей движение к. п. д. гребного винта уменьшается. При скорости 100 км/час и выше гребной винт уже уступает по к. п. д. воздушному винту. Поэтому при высоких скоростях, а также в случае полного отрыва судна от воды целесообразно заменять гребной винт движителями других типов.

Развитие металлургии и химии, совершенствование способов соединения материалов (сварка на клей, склеивание и др.), применение высокопрочных и коррозионностойких материалов позволяет значительно уменьшить вес конструкций судов на подводных крыльях.

В результате увеличения водоизмещения судов и применения глубоко погруженных автоматически управляемых подводных крыльев повысится мореходность судов на подводных крыльях. Современный уровень электроники и автоматики уже позволяет строить суда с автоматически управляемыми крыльями. Регулируя подъемную силу на подводных крыльях, можно обеспечить судам практическую неограниченную мореходность.

Скорость, мореходность, комфорт, высокая экономичность судов на подводных крыльях обеспечивают им прочное место в общей транспортной системе народного хозяйства страны.

ЛИТЕРАТУРА

1. Басин А. М., Абфимов В. Н. Гидродинамика судна, Речиздат, 1961.
2. Басин А. М., Фрекель М. И. Практический расчет волнодвижения движущегося бесподводного судна. Труды ЛИВТ, Транспорт, вып. X, 1966.
3. Басин А. М., Генев Г. А. Экспериментальное исследование характеристик частично погруженных гребных винтов. Труды ЛИВТ, Речной транспорт, вып. X, 1963.
4. Басин А. М., Манкович И. Я. Теория и расчет гребных винтов. Судостроение, 1963.
5. Блюмен В. И. и др. Транспортные суда на подводных крыльях. Транспорт, 1966.
6. Блажимиров А. И. Подъемные силы подводного крыла рабочей поверхности волны. «Судостроение», № 6, 1959.
7. Боткинскую Я. И. и др. Справочник по теории корабля. Судостроение, 1960.
8. Бойкинский Я. И. Сопротивление воды движущему судну. Судостроение, 1964.
9. Келлис М. В., Лакреатье М. А. Движение крыла под поверхностью твердого экрана. Труды конференции по теории волнового сопротивления. Изд. ЦДТИ, 1957.
10. Кильбальчик О. А. Путь развития и улучшения пассажирской перевозки на транспорте СССР. Экономиздат, 1962.
11. Колеевский В. В. Гидродинамика винта в трубе кругового сечения. Судостроение, 1956.
12. Коротков К. Решение скоростных перепадов в Балтийском Аэрокосмическом транспорте, № II, 1965.
13. Кортик С. Ф. и др. Экспозиция морского транспорта. Морской транспорт, 1959.
14. Красин И. Е. О волновых сопротивлениях и подъемной силе потуженных в волне судов. Труды конференции по теории волнового сопротивления. Собр. соч. т. П. Изд. АН СССР, 1949.
15. Краузе А. С. Характеристика эволюционных профилей. Оборона, 1959.
16. Кудаков С. В., Храмцов М. Ф. Водоизмещение движителя. Судостроение, 1962.
17. Серебрянский Ю. М., Бинтус Ш. А. Исследование в трубе горизонтального установившегося движения крыла на величину сопротивления. Труды ЦДТИ, вып. 637, 1959.
18. Фрекель М. И. О влиянии движителей на подъемную силу подводного крыла кессонного района. Труды ЛИВТ, Речной транспорт, № 1, 1960.
19. Хоконич И. Г. Навигоспособность корабля. Оборона, 1940.
20. Ханатуров Т. С. Нарядженность и эффективность устройства перевозок в СССР. Вторые пленарные заседания скоростной конференции АН СССР, 1957.
21. Потребность в аэродинамических перевозках и распределение пассажирооборота во всем транспорте в 1970 г. Изд. института морского транспорта проблем. М., 1962.
22. Naval Engineers Journal, 1962, XL, т. 76, N 4.
23. Transactions of the Society of Naval Architects and Marine Engineers, 1959.

СОДЕРЖАНИЕ

От авторов	4
Основные обозначения	5
Глава I. Краткий обзор развития судов на подводных крыльях	5
Глава II. Особенности проектирования судов на маковогружаемых подводных крыльях	15
§ 1. Гидродинамика маковогружаемых подводных крыльев	15
§ 2. Особенности обводов корпуса и выступающих частей судов на подводных крыльях	40
§ 3. Движение судов на подводных крыльях	44
§ 4. Сопротивление воды движущему судну на подводных крыльях	84
§ 5. Вопрос остойчивости судов на маковогружаемых подводных крыльях	97
§ 6. Аэродинамико-конструктивные особенности судов на подводных крыльях	106
§ 7. Системы управления судов на подводных крыльях	112
§ 8. Эксплуатационно-экономические показатели	116
Глава III. Технико-экономическое сравнение судов на маковогружаемыми подводными крыльями	122
§ 9. Рекордный теплоход «Ракета»	152
§ 10. Прягуновский катер «Юпитер»	164
§ 11. Пассажирский теплоход «Малояр»	189
§ 12. Пассажирский теплоход «Спутник»	212
§ 13. Катер «Чайка»	217
§ 14. Крылатые дрейфующие подводы	221
Глава IV. Модификации судов на подводных крыльях в частично подводном гребном движении	221
§ 15. Катер «Юпитер-II»	222
§ 16. Пассажирский теплоход «Юпитер-II»	222
§ 17. Пассажирский теплоход «Бакарусь»	225
Глава V. Суда на подводных крыльях с водонепроницаемыми движителями	245
§ 18. Экспериментальные катера	254
§ 19. Пассажирский теплоход «Чайка»	264
§ 20. Пассажирский теплоход «Беларусь-II»	265
§ 21. Пассажирский гидротроттинг «Берингия»	265
Глава VI. Морские суда на подводных крыльях	316
§ 22. Морской пассажирский теплоход «Юпитер»	337
§ 23. Морской пассажирский теплоход «Юпитер»	362
Литература	382